

2 MAR 1972

INSTYTUT GEOFIZYKI
POLSKIEJ AKADEMII NAUK

MATERIAŁY I PRACE

52

PUBLICATIONS
OF THE INSTITUTE OF GEOPHYSICS
POLISH ACADEMY OF SCIENCES

RÉSULTATS
DES ENREGISTREMENTS SÉISMOLOGIQUES
DANS LES OBSERVATOIRES POLONAIS

1967

PAŃSTWOWE WYDAWNICTWO NAUKOWE
WARSZAWA 1972



International
Seismological
Centre

From the ISC collection scanned by SISMOS

Polska Akademia

POLAND

INSTYTUT GEOFIZYKI
POLSKIEJ AKADEMII NAUK

MATERIAŁY I PRACE

52

PUBLICATIONS
OF THE INSTITUTE OF GEOPHYSICS
POLISH ACADEMY OF SCIENCES

RÉSULTATS
DES ENREGISTREMENTS SÉISMOLOGIQUES
DANS LES OBSERVATOIRES POLONAIS

1967

PAŃSTWOWE WYDAWNICTWO NAUKOWE
WARSZAWA 1972

Editor
Roman TEISSEYRE

Editorial Address

All correspondence regarding editorial matter
and exchange publications should be addressed to:
Instytut Geofizyki Polskiej Akademii Nauk
Warszawa, ul. Pasteura 3, Poland

Editorial Secretary
Wacław KOWALSKI

All inquiries regarding the subscription rate
and the price of each issue should be addressed to:
Export — Import Enterprise „Ruch”
ul. Wronia 23, Warszawa, Poland

Wykonano z oryginałów tekstowych
dostarczonych przez Instytut Geofizyki PAN

Printed in Poland

Państwowe Wydawnictwo Naukowe
Oddział w Łodzi 1972

Wydanie I. Nakład 370+90. Ark. wyd. 17,00. Ark. druk. 12 2/16.
Papier druk. sat. kl. III. 80 g. 70×100. Podpisano do druku 3.1.1972 r.
Druk ukończono w styczniu 1972 r. Zam. 597. U-91. Cena zł 51,—

Zakład Graficzny Wydawnictw Naukowych
Łódź, ul. Gdańska 162

INTRODUCTION

La publication que nous vous présentons ici est un recueil des résultats d'enregistrement séismologique des observatoires de l'Institut de Géophysique de l'Académie Polonaise des Sciences à Warszawa /WAR/, Kraków /KRA/, Niedzica /NIE/, Racibórz /RAC/ et Rybnik /RBN/, dans les observatoires de l'Institut Central des Mines /GIG/ à Dąbrowa Górnicza /DGP/, Bytom /BYT/, Zabrze /GIG/, ainsi qu'à la Station Séismologique de l'Observatoire Astronomique et du Planétarium à Chorzów /CHZ/.

La première partie de la publication comprend l'élaboration des secousses distantes ainsi que des secousses locales mais qui ne proviennent pas de la région silésienne. L'identification des secousses distantes s'appuie sur des données accessibles des centres séismologiques de BCIS, USCGS, ISC et Moskva. Les distances épacentrales calculées d'après les coordonnées géocentriques avec exactitude $\pm 0,01^{\circ}$. Les valeurs des magnitudes des secousses dont les distances épacentrales sont $> 5^{\circ}$ furent notées dans les observatoires de Kraków, Niedzica et Racibórz à aide des amplitudes des ondes volumétriques /m/ et des ondes superficielles /M/.

La deuxième partie comporte une étude comparative des secousses de Haute Silésie, enregistrées par les observatoires de Chorzów, Kraków, Niedzica, Racibórz et Rybnik. Les premières phases des secousses silésiennes, enregistrées par les observatoires de GIG, à Dąbrowa Górnicza, Bytom et Zabrze ont été indiquées avant chaque secousse élaborée. Les phases, mentionnées dans les publications de GIG, sont marquées /GIG/. Les coordonnées des épacentres ainsi que le temps de l'apparition des secousses dans le foyer sont calculés sur la base des temps d'arrivée des ondes longitudinales et latitudinales ainsi que des intervalles des ondes S - P. Les magnitudes furent calculées d'après la formule $M = \log A/T + a \log \Delta \text{ km} + b$. Les coefficients a, b, furent déterminés séparément pour chaque station et chaque appareillage.

La première partie de cette publication a été rédigée par H. Lewandowska-Marciniak, B. Guterch et M. Mazur, la deuxième partie par D. Draber et M. Wernik.

OBSERVATOIRE SÉISMOLOGIQUE À WARSZAWA

Coordonnées géographiques : $\varphi = 52^{\circ}14'30''N$, $\lambda = 21^{\circ}01'25''E$,
h = 110 m.

Sous-sol : sables, dépôts glacières.

Appareils : trois séismographes Galitzine - Wilip à enregistrement galvanométrique et amortissement magnétique. La régularité des pendules des contacts sont vérifiées par rapport signaux de la radio.

Après avoir remise à neuf la cave l'enregistrement préliminaire à été recommencé en mois d'août.

OBSERVATOIRE SÉISMOLOGIQUE À KRAKÓW

Coordonnées géographiques : $\varphi = 50^{\circ}03'22''N$, $\lambda = 19^{\circ}56'23''E$,
h = 223 m.

Sous-sol : calcaire jurassique.

Appareils : deux séismographes horizontaux Galitzine - Wilip /NS, EW/, les séismographes Charin /NS, EW, vertical/, les séismographes type SKM-3 /NS, EW, vertical/. Tous séismographes à enregistrement galvanométrique. La régularité de la pendule de contact est vérifiée par rapport aux signaux de la radio.

Constantes des séismographes

Galitzine-Wilip /GW/ du 1 I au 31 XII 1967

	N	E
T _s	11,97 sec	8,92 sec
T _g	3,12 sec	4,07 sec
D _s	0,763	0,465
D _g	0,922	0,687
σ^2	0,0227	0,0338
V _o	2675	3900
R	30 mm/mn	30 mm/mn

Charin /Ch/ du 1 I au 31 XII 1967

	N	E	Z
T _s	1,517 sec	1,480 sec	1,113 sec
T _g	0,4167 sec	0,333 sec	0,2727 sec
D _s	0,70	0,70	0,70
D _g	2,00	2,00	2,00
σ^2	0,217	0,205	0,307
V _o	15000	15000	15000
R	60 mm/mn	60 mm/mn	60 mm/mn

SKM-3 /SKM/ du 1 I au 31 XII 1967

	N	E	Z
T _s	1,583 sec	1,586 sec	1,611 sec
T _g	0,166	0,096 sec	0,100 sec
D _s	0,69	0,79	0,68
D _g	2,37	4,00	1,46
σ^2	0,042	0,190	0,056
V _o	46600	57300	41300
R	60 mm/mn	60 mm/mn	60 mm/mn



STATION SÉISMOLOGIQUE À NIEDZICA

Coordonnées géographiques : $\varphi = 49^{\circ}25'25''N$, $\lambda = 20^{\circ}19'19''E$,
h = 555 m.

Sous-sol : calcaire jurassique.

Appareils : les séismographes type SK-58 /NS, EW, vertical/ à enregistrement galvanométrique. La régularité de la pendule de contact est vérifiée par rapport aux signaux de la radio.

Constantes des séismographes

SK-58 /SK/ du 1 I au 31 XII 1967

	N	E	Z
T _s	1,823 sec	2,01 sec	1,771 sec
T _g	0,366 sec	0,312 sec	0,426 sec
D _s	3,626	3,438	2,339
D _g	4,499	4,071	4,854
σ^2	0,8131	0,9039	0,9499
V _o	39500	37800	40480
R	60 mm/mn	60 mm/mn	60 mm/mn

STATION GÉOPHYSIQUE SILÉSIEENNE À RACIBÓRZ

Coordonnées géographiques : $\varphi = 50^{\circ}05'00,3''N$, $\lambda = 18^{\circ}11'39''E$,
h = 209 m.

Sous-sol : argiles plastiques miocène.

Appareils : les séismographes Mainka /NS, EW, vertical/ à enregistrement mécanique, les séismographes type SK-58 /NS, EW, vertical/ à enregistrement galvanométrique. La régularité des pendules de contacts sont vérifiées par rapport aux signaux de la radio

Constantes des séismographes

Mainka /M/ du 1 I au 29 V 1967

	N	E	Z
M	1050 kg	1050 kg	750 kg
T _s	6,2 sec	5,9 sec	2,0 sec
D _s	0,192	0,211	0,158
V _o	120	177	120
R	30 mm/mn	30 mm/mn	30 mm/mn

Mainka /M/ du 30 V au 31 XII 1967

	N	E	Z
M	1050 kg	1050 kg	750 kg
T _s	6,0 sec	6,0 sec	2,0 sec
D _s	0,242	0,331	0,158
V _o	136	191	120
R	30 mm/mn	30 mm/mn	30 mm/mn

SK-58 /SK/ du 1 I au 31 XII 1967

	N	E	Z
T _s	2,37 sec	2,30 sec	2,16 sec
T _g	0,394 sec	0,540 sec	0,517 sec
D _s	0,70	0,70	0,70
D _g	3,00	3,00	3,00

σ^2	0,023	0,022	0,038
V_0	1500	1500	1500
R	60 mm/mn	60 mm/mn	60 mm/mn

STATION SÉISMOLOGIQUE À RYBNIK

Coordonnées géographiques : $\varphi = 50^{\circ}05'53''N$, $\lambda = 18^{\circ}32'01''E$,
 $h = 250$ m.
 Sous-sol : sables et graviers fluvioglaciers déposés sur des argiles plastiques miocène.

Appareils : les sismographes type SK-58 /NS, EW, vertical/ à enregistrement galvanométrique. La régularité de la pendule de contact est vérifiée par rapport aux signaux de la radio.

Constantes des sismographes

SK-58 /SK/ du 1 I au 31 XII 1967

	N	E	Z
T_s	2,02 sec	2,01 sec	1,91 sec
T_g	0,425 sec	0,425 sec	0,360 sec
D_s	0,70	0,70	0,70
D_g	3,0	3,0	3,0
σ^2	0,012	0,010	0,018
V_0	1000	1000	1000
R	60 mm/mn	60 mm/mn	60 mm/mn

STATION SÉISMOLOGIQUE DE L'OBSERVATOIRE ASTRONOMIQUE
ET DU PLANÉTARIUM À CHORZÓW

Coordonnées géographiques : $\varphi = 50^{\circ}17'33''N$, $\lambda = 18^{\circ}59'30''E$,
 $h = 316$ m.

Sous-sol : grès carbonifère.

Appareils : les sismographes type SK-58 /NS, EW, vertical/ à enregistrement galvanométrique. La régularité de la pendule de contact Auricoste est vérifiée par rapport aux signaux de la radio.

Constantes des sismographes

SK-58 /SK/ du 1 I au 31 XII 1967

	N	E	Z
T_s	1,77 sec	1,75 sec	1,75 sec
T_g	0,25 sec	0,32 sec	0,47 sec
D_s	0,70	0,70	0,70
D_g	3,00	3,00	3,00
σ^2	0,035	0,007	0,008
V_0	1000	1000	000
R	60 mm/mn	60 mm/mn	60 mm/mn

OBSERVATOIRES DE L'INSTITUT CENTRAL DES MINES

STATION SÉISMOLOGIQUE À BYTOM

Coordonnées géographiques : $\varphi = 50^{\circ}21'44''N$, $\lambda = 18^{\circ}54'52''E$,
 $h = 283$ m.

Sous-sol : sables et argiles plastiques.

Appareils : les sismographes mécaniques type Mainka /NS, EW/.

STATION SÉISMOLOGIQUE À DĄBROWA GÓRNICZA

Coordonnées géographiques : $\varphi = 50^{\circ}19'45''N$, $\lambda = 19^{\circ}13'40''E$,
 $h = 275$ m.

Sous-sol : schistes carbonifère.

Appareils : les sismographes électrodynamiques type SK-58 /NS, EW, vertical/.

STATION SÉISMOLOGIQUE À ZĄBRZE

Coordonnées géographiques : $\varphi = 50^{\circ}18'05''N$, $\lambda = 18^{\circ}47'40''E$,
 $h = 258$ m.

Sous-sol : sables et argiles plastiques.

Appareils : les sismographes mécaniques type Mainka /NS, EW/ du 1 I au 31 V,
 les sismographes électrodynamiques type SU /NS, EW, vertical/ du 1 VI au 31 XII.

Symboles

M - masse pendulaire

T_s - période du pendule

T_g - période du galvanomètre

D_s - amortissement du pendule

D_g - amortissement du galvanomètre

σ^2 - coefficient du couplage

V_0 - amplification statique $V_0 = \frac{2A}{1} \sqrt{\frac{K_s}{K_g}} \sqrt{\frac{D_s}{D_g} \frac{T_g}{T_s}} \sigma^2$

R - vitesse d'enregistrement

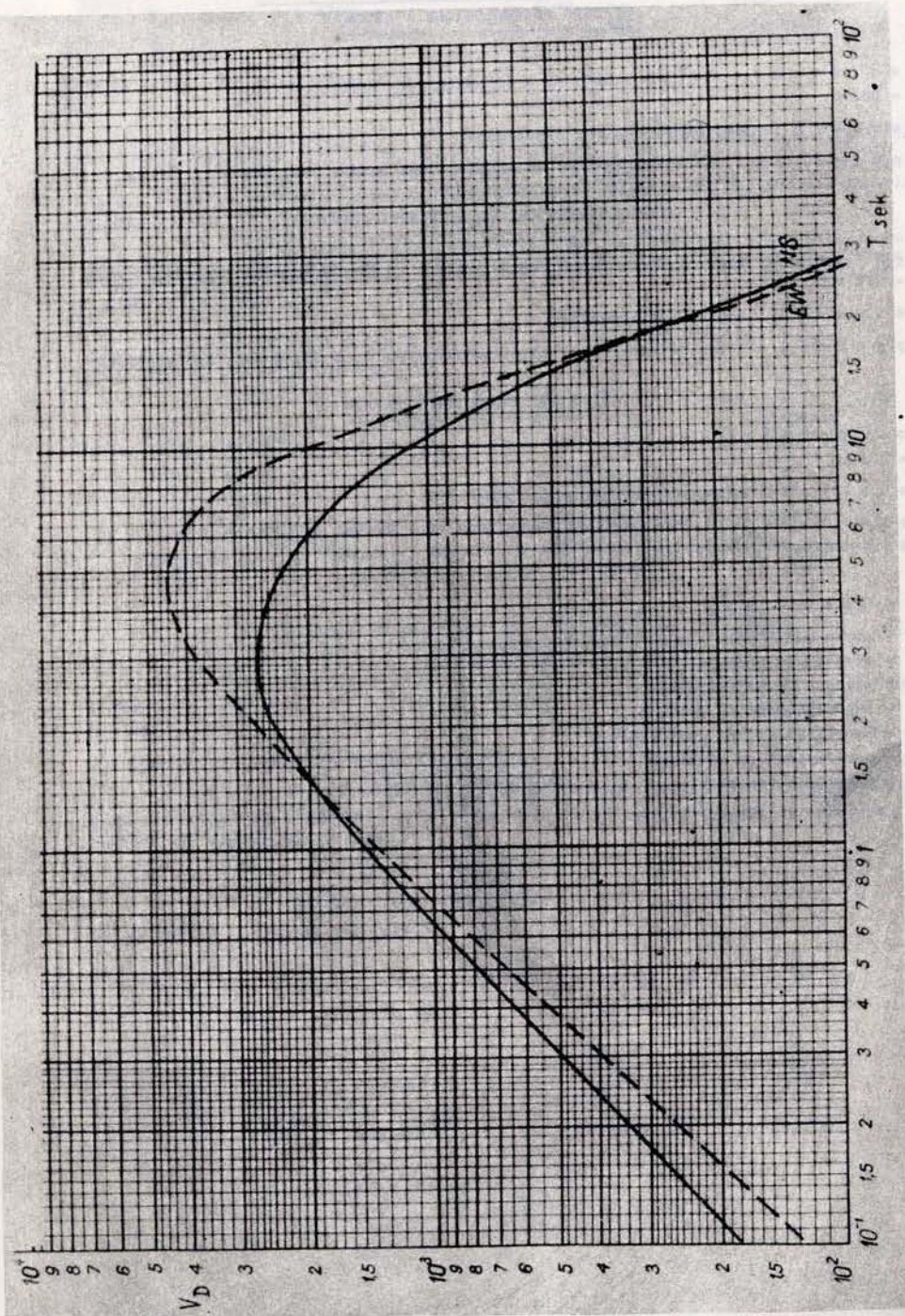


Fig. 1. L'amplification dynamique des séismographes Galitzine-Wilip
 Kraków, du 1 I au 31 XII 1967.

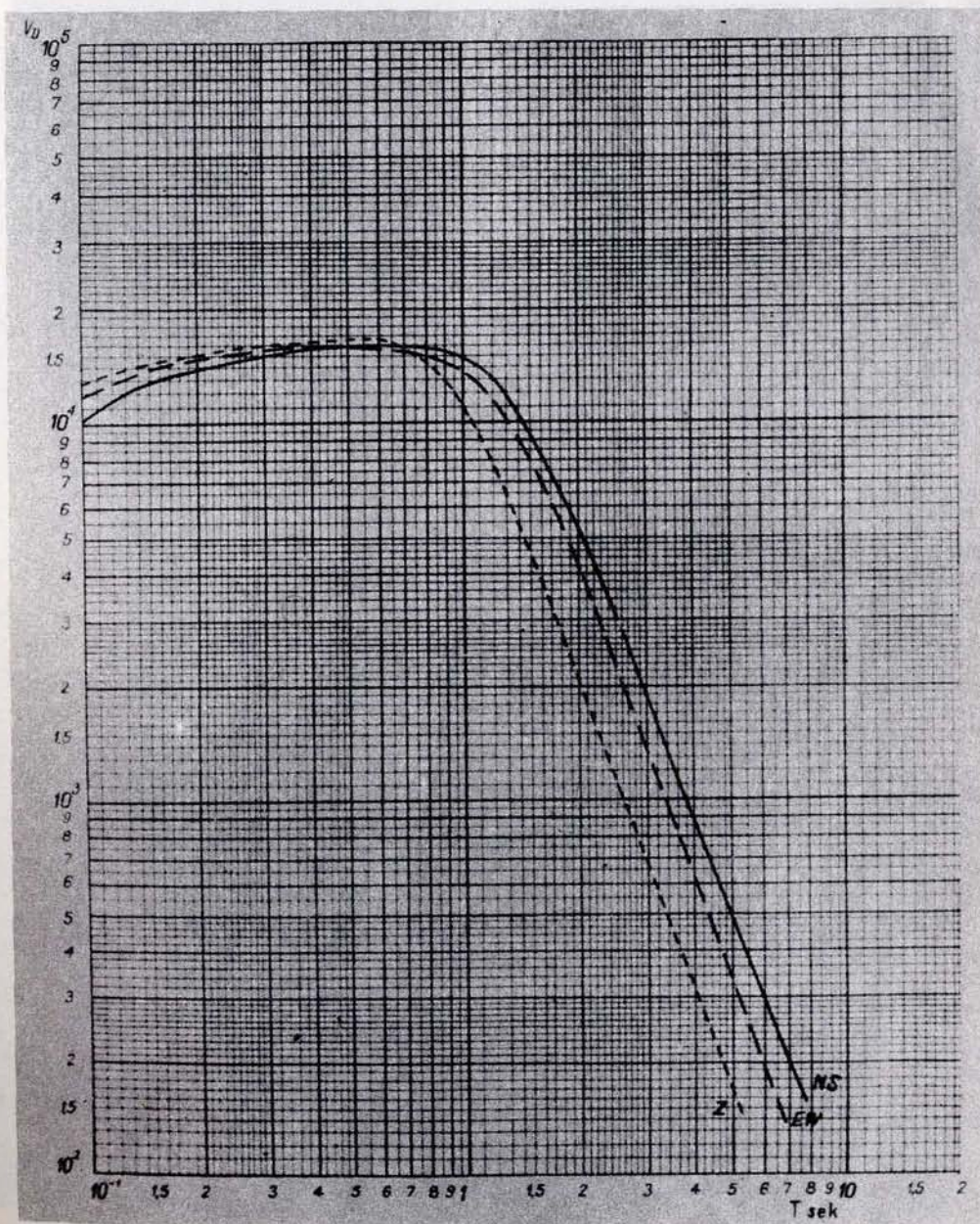


Fig. 2. L'amplification dynamique des séismographes Charin
 Kraków, du 1 I au 31 XII 1967.

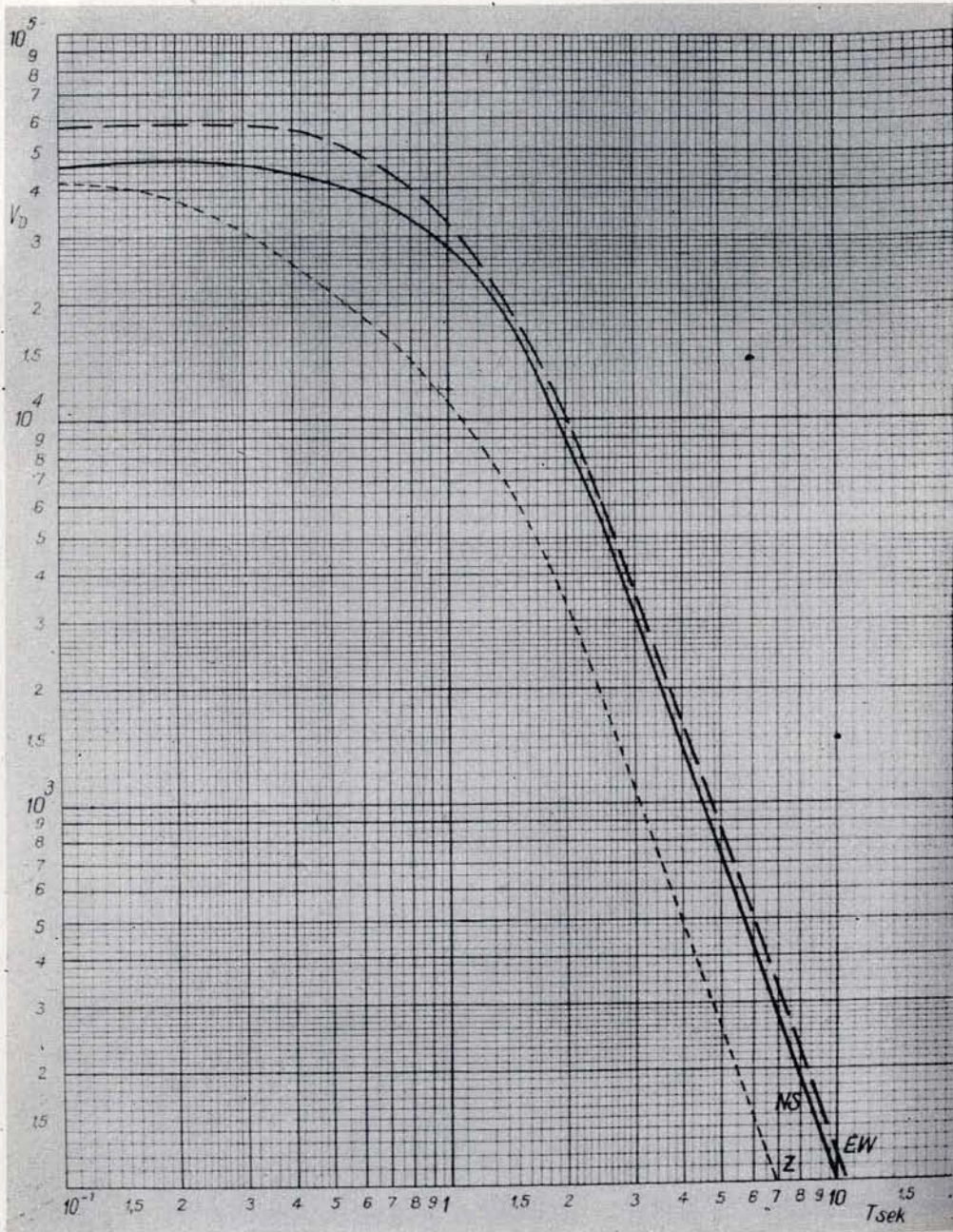


Fig.3. L'amplification dynamique des séismographes type SKM-3
Kraków, du 1 I au 31 XII 1967.

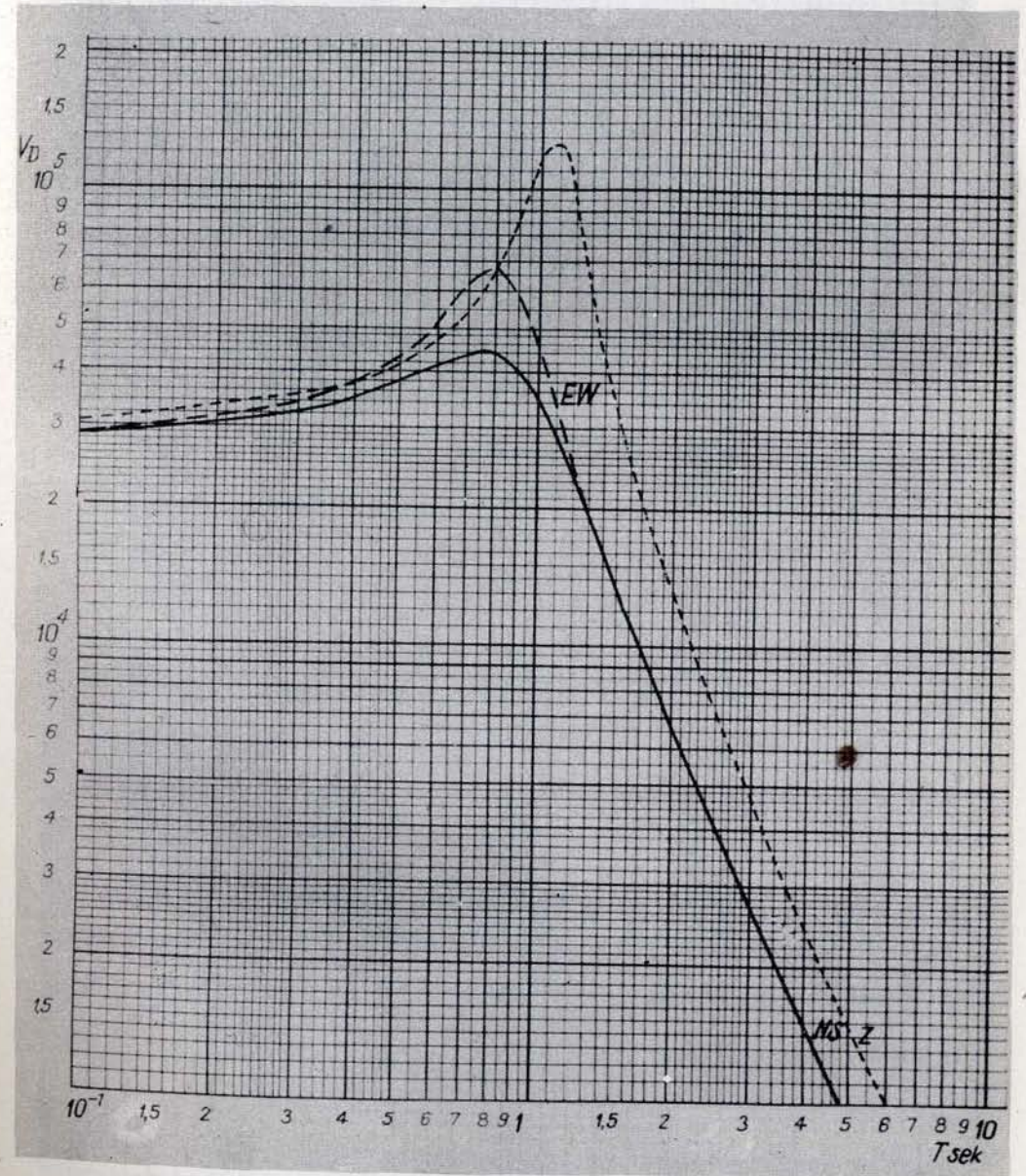


Fig.4. L'amplification dynamique des séismographes type SK-58
Niedzica, du 1 I au 31 XII 1967.

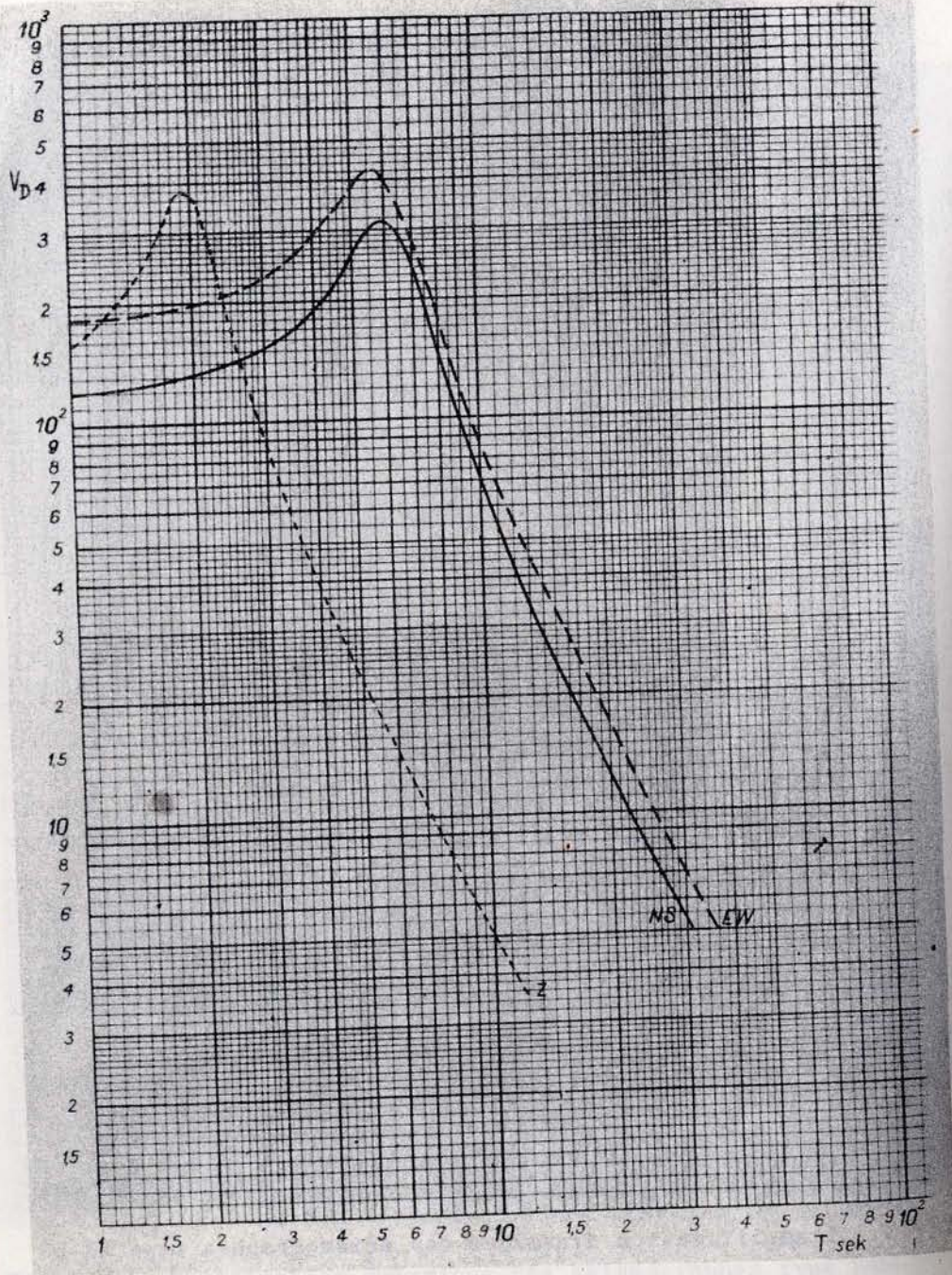


Fig. 5. L'amplification dynamique des séismographes Mainka Racibórz, du 1 I au 29 V 1967.

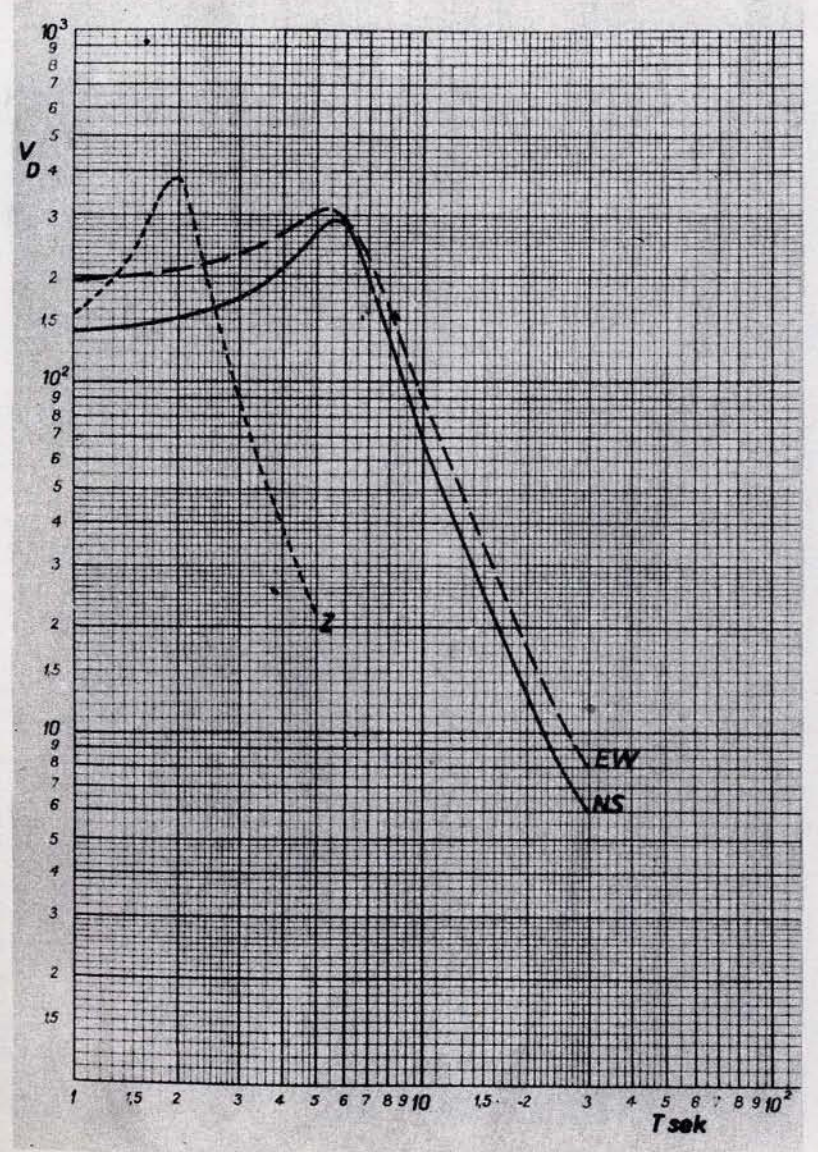


Fig. 6. L'amplification dynamique des séismographes Mainka Racibórz, du 30 V au 31 XII 1967.

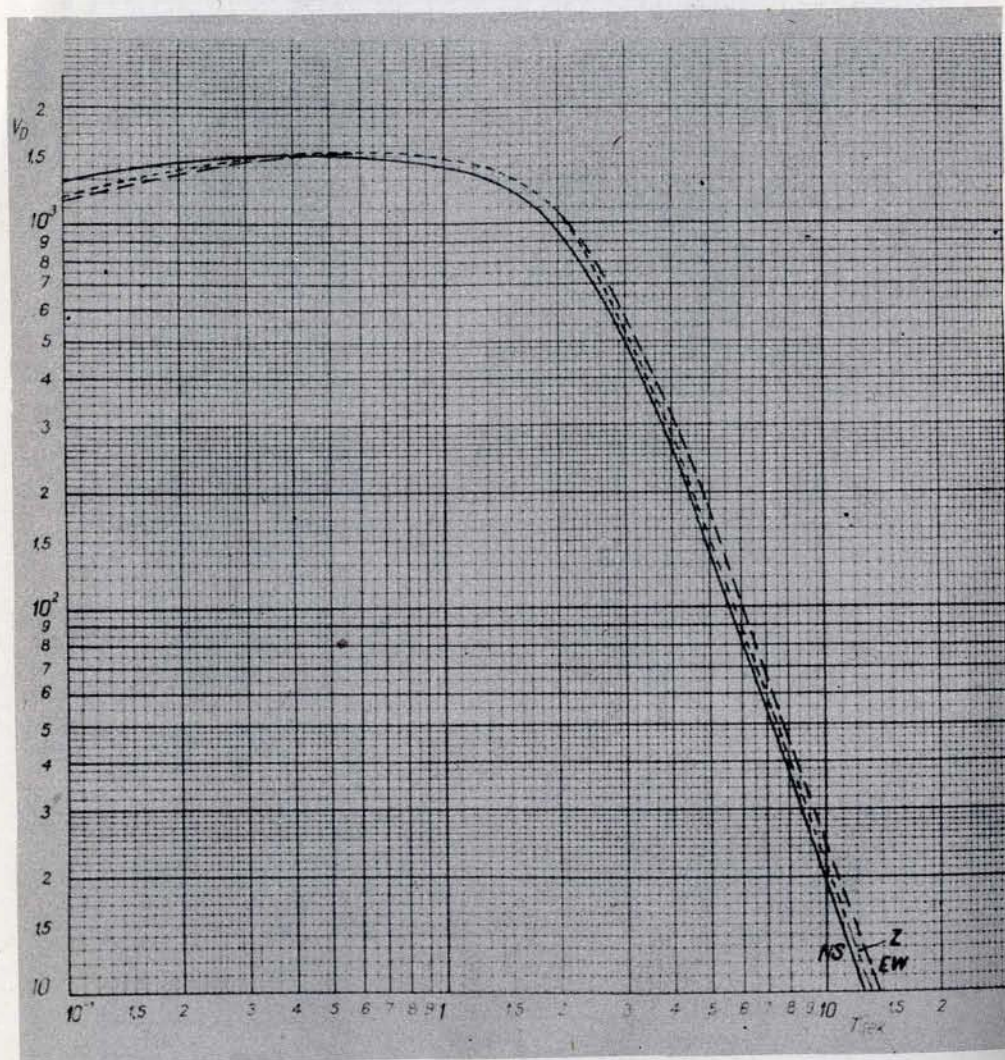


Fig.7. L'amplification dynamique des séismographes type SK-58
Racibórz, du 1 I au 31 XII 1967.

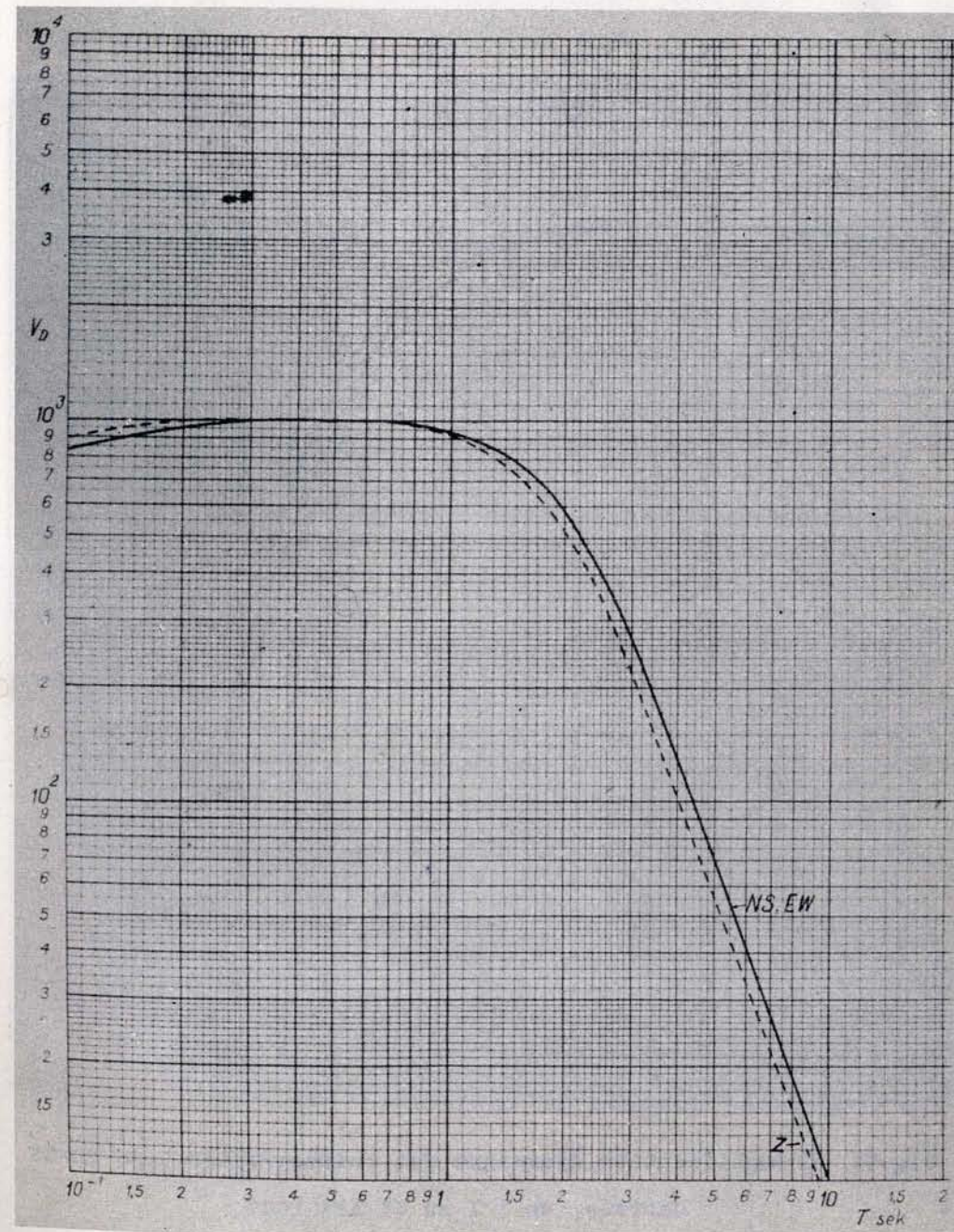


Fig.8. L'amplification dynamique des séismographes type SK-58
Rybnik, du 1 I au 31 XII 1967.

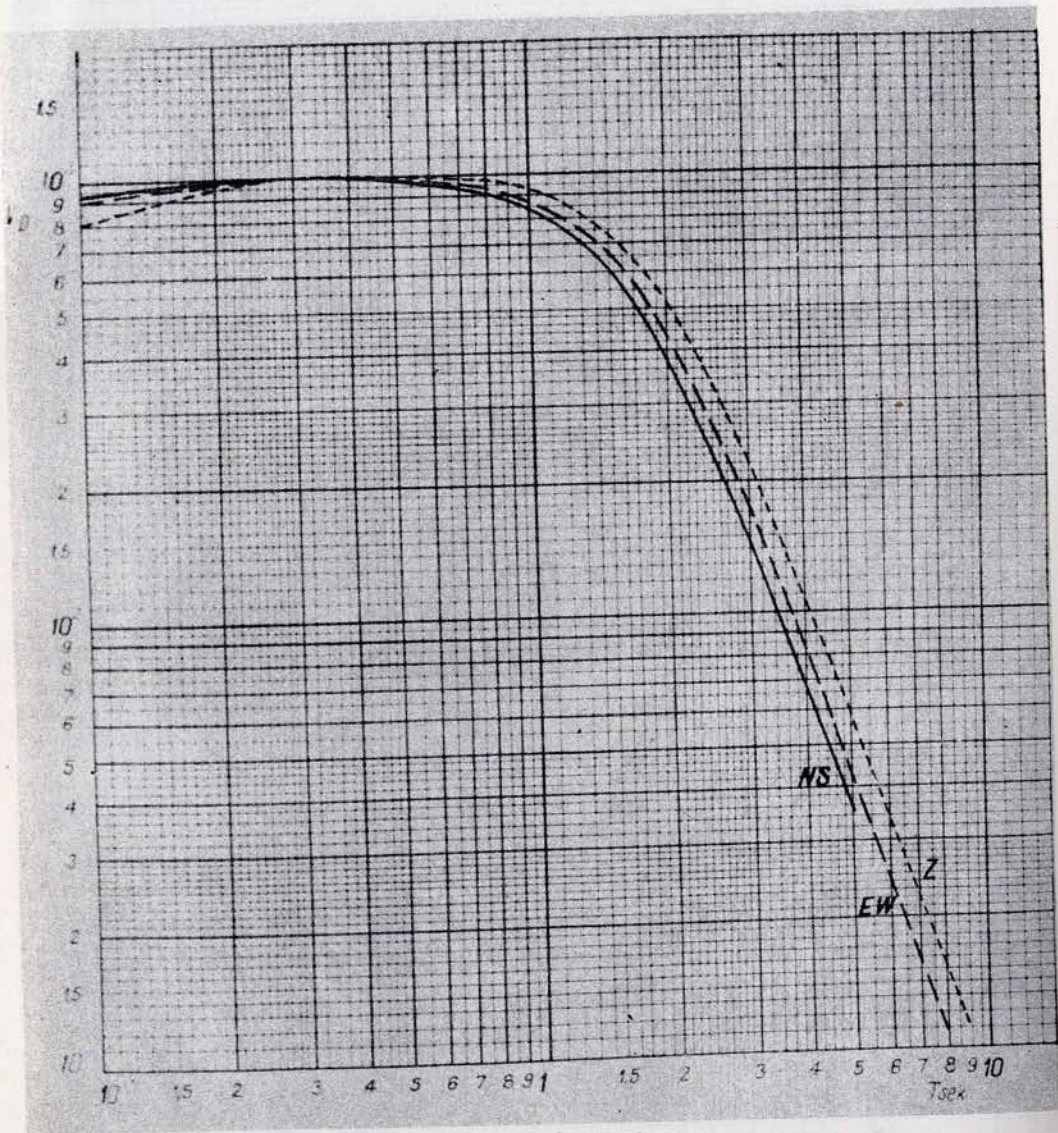


Fig.9. L'amplification dynamique des séismographes type SK-58
Chorzów, du 1 I au 31 XII 1967.

RÉSULTATS DES ENREGISTREMENTS
DES TREMBLEMENTS DE TERRE DISTANTS

Date	Station	Phase	G.M.T. h m s	Date	Station	Phase	G.M.T. h m s
1967				J A N V I É R			
1967				1967			
1.I	KRA /SKM/	Iles Santa Cruz, USCGS: 12,1°S, 166,2°E, H=00 ^h 21 ^m 06,6 ^s , h=33 km; mb=4,9 /USCGS/ Δ=133,3°	00 40 21 ePKP eIPP ePKS	1.I	NIE	Iles Santa Cruz, USCGS: 12,4°S, 165,8°E, H=14 ^h 18 ^m 51 ^s , h=33 km; mb=5,0 /USCGS/ Δ=133,6°. Traces	14 38 06 ePKP
	NIE	Δ=133,5°	ePKP 00 40 22 ePP 42 50	1.I	KRA /SKM/	Iles Santa Cruz, USCGS: 11,1°S, 165,5°E, H=21 ^h 58 ^m 57,8 ^s , h=33 km; mb=5,4 /USCGS/ Δ=132,1°. Traces	22 18 11 ePKP
1.I	NIE	Région des Iles Andaman, USCGS: 10,7°N, 92,8°E, H=02 ^h 59 ^m 33,8 ^s , h=60 km; mb=5,2 /USCGS/ Δ=70,6°	eP 03 10 45 ePeP 11 05	2.I	NIE	Cyrénaïque, BCIS: 32,4°N, 22,6°E, H=08 ^h 19 ^m 32 ^s ; MLH=4,4 /Pruhonice/ Δ=16,8°	08 23 38 1PP 45 eL 26,9
	KRA /SKM/	Δ=70,8°	eIP 03 10 46 D eiPeP 11 04	2.I	KRA /SKM/	Congo, USCGS: 10,2°S, 28,5°E, H=09 ^h 47 ^m 53,3 ^s , h=33 km; mb=5,6 /USCGS/ Δ=59,5°	09 57 57,5 C 1P
1.I	NIE	Δ=144,4°	1PKP ₁ 07 25 23,0 D eIPPKP 34 eI 45	2.I	NIE	SW Iran, USCGS: 30,6°N, 50,4°E, H=13 ^h 50 ^m 06,2 ^s , h=40 km; mb=5,2 /USCGS/ Δ=29,3°	13 56 08 eP 20 epP 57 03 eIPPP 14
	KRA /SKM/	Δ=143,5°	ePKP ₁ 07 25 19 eIPPKP ₂ 22 eIPPKP ₂ 32 ePP 28 36 ePKS ₂ 29 26	2.I	KRA /SKM/	Région des Iles Philippines, USCGS: 20,1°N, 122,4°E, H=14 ^h 47 ^m 11,6 ^s , h=33 km; mb=4,9 /USCGS/	13 56 13,2 1pP 26 i 35 ePP 57 06

Date	Station	Phase	G.M.T. h m s	Date	St	Phase	G.M.T. h m s
2.I	KRA /suite//SKM/	Δ=82,6°	eP 14 59 32	3.I	NIE	Δ=133,8°	ePKP 21 42 38 epPKP 45 1PP 45 08 ePKS 46 08
	NIE	Δ=82,6°. Traces	eP 14 59 33 ePeP 46	4.I	KRA /SKM/	Région des Iles Philippines, USCGS: 20,3°N, 120,0°E, H=03 ^h 41 ^m 36,4 ^s , h=33 km; mb=5,6 /USCGS/, mPV=5,4 /Niedzica/ Δ=81,0°	eIP 03 53 50 D 1PeP 54 00 ei 24
2.I	KRA /SKM/	Iles Santa Cruz, USCGS: 12,3°S, 166,4°E, H=19 ^h 59 ^m 58,2 ^s , h=33 km; mb=5,2 /USCGS/ Δ=133,6°	ePKP 20 19 14 eIPP 21 42		NIE	Δ=81,0°	1P 03 53 50,0 D Z: 1,1 ^s ; 0,038μ 1PeP 54 00 i 25 1PP 56 55
	NIE	Δ=133,8°	ePKP 20 19 14 e 50		RAC /SK/	Δ=82,0°	eP 03 53 54
3.I	NIE	Iles Santa Cruz, USCGS: 10,9°S, 165,5°E, H=05 ^h 35 ^m 46,6 ^s , h=33 km; mb=5,2 /USCGS/ Δ=132,1°. Traces	ePKP 05 55 02	4.I	NIE	Roumanie, ISC, Edinburgh: 45,66°N, 26,22°E, H=05 ^h 58 ^m 26 ^s , h=150 km Δ=5,5°	1Pn 05 59 46,5
3.I	KRA /GW/	Iles Santa Cruz, USCGS: 11,2°S, 165,5°E, H=05 ^h 52 ^m 51,8 ^s , h=33 km; mb=5,3 /USCGS/ Δ=132,2°	eP 06 11 58 ePP 14 28 eSKP 15 30 eL 43,0	4.I	NIE	Grèce, BCIS: 38,4°N, 22,2°E, H=05 ^h 58 ^m 56 ^s ; mb=5,2 /USCGS/ Δ=10,8°	eP 06 01 36 ePPP 51
	NIE	Δ=132,4°. Traces	ePKP 06 12 07		KRA /SKM/	Δ=11,5°	eP 06 01 44 eIPPP 59 eIPPP 02 07 eIS 04 02
3.I	NIE	Iles Santa Cruz, USCGS: 11,2°S, 165,4°E, H=11 ^h 05 ^m 15,4 ^s , h=33 km; mb=5,3 /USCGS/ Δ=132,4°	ePKP 11 24 30		RAC /SK/	Δ=11,7°	eP 06 01 52
3.I	KRA /SKM/	Iles Santa Cruz, USCGS: 12,4°S, 166,4°E, H=21 ^h 23 ^m 22 ^s , h=33 km; mb=5,0 /USCGS/ Δ=133,6°	ePKP 21 42 36 epPKP 44 ePP 45 05	4.I	NIE	Birmanie, BCIS: 23,4°N, 93,9°E, H=11 ^h 26 ^m 45 ^s , h=58 km; mb=5,4 /USCGS/	

Date	Station	Phase	G.M.T. h m s	Date	Station	Phase	G.M.T. h m s
4.I	NIE	$\Delta=62,0^\circ$. Traces		5.I	KRA	IS	00 31 07
/suite/	eP		11 37 04		RAC	$\Delta=52,6^\circ$	
	epP		21		/SK/	eP	00 23 53
	ePcP		44		Lm		50
4.I	Local					NEZ: 10^S ; 184μ , 146μ , 167μ	
	NIE			5.I		Mongolie, USCGS: $48,4^\circ N$, $103,1^\circ E$, $H=00^h 42^m 13,3^s$, $h=33$ km; $mb=5,6$	
	e1P _{NEZ}		12 23 26		/USCGS/		
	e1 _{NEZ}		33		KRA	$\Delta=51,7^\circ$	
	e1 _{NEZ}		51		/Ch/	e1P	00 51 17,5
	F		26,0	5.I		Ile Mindoro, Philippines, USCGS: $13,8^\circ N$, $120,7^\circ E$, $H=06^h 13^m 31,6^s$, $h=166$ km; $mb=5,4$ /USCGS/	
4.I		Au Sud de Hondo, Japon, USCGS: $33,6^\circ N$, $135,8^\circ E$, $H=18^h 00^m 59^s$, $h=416$ km; $mb=4,3$ /USCGS/			NIE	$\Delta=86,3^\circ$	
	NIE	$\Delta=79,6^\circ$			e1P		06 25 56
	e1P		18 12 22 C		e1pP		26 34
	ePcP		37		KRA	$\Delta=86,4^\circ$	
4.I		Près de la côte du Vénézuéla, USCGS: $10,7^\circ N$, $62,5^\circ W$, $H=20^h 15^m$ $55,8^s$, $h=74$ km; $mb=5,5$ /USCGS/			/SKM/	eP	06 25 56 C
	KRA	$\Delta=77,0^\circ$			epP		26 34
	/SKM/		20 27 44 C		e1sP		44
	e1PcP		58		ePP		29 22
	e1pP		28 07	5.I		Kirghiz, URSS; USCGS: $39,4^\circ N$, $72,9^\circ E$, $H=10^h 07^m 58,3^s$, $h=11$ km; $mb=5,3$ /USCGS/, $MLH=5,0$ /Kraków/	
	NIE	$\Delta=77,3^\circ$			NIE	$\Delta=38,2^\circ$	
	1P		20 27 44,5 C		1P		10 15 19,5 C
	1PcP		50		epP		29
	e1pP		28 10		i		46
	ePP		30 42		e		16 18
5.I		Mongolie, USCGS: $48,1^\circ N$, $102,8^\circ E$, $H=00^h 14^m 40,4^s$, $h=33$ km; $ML=7\frac{1}{4}-7\frac{1}{2}$ /USCGS/, $MLH=8,2$ /Niedzica/			ePP		55
	NIE	$\Delta=51,9^\circ$			KRA	$\Delta=38,4^\circ$	
	1P		00 23 45,5 C		/SKM/	e1P	10 15 20,0 C
	1pP		53		e1pP		16 58
	e1SPP		31 28		eS		21 15
	Lm		43,5		/GW/	Lm	36,1
		NEZ: 10^S ; 10^S ; 8^S ; $ca 880\mu$, $ca 640\mu$, $ca 160\mu$				NE: 9^S ; 1μ , 1μ	
	KRA	$\Delta=51,7^\circ$		5.I	Local		
	/SKM/		00 23 46		Traces		
	/GW/		51		eP _{NEZ}		13 44 19,5
	ePP		25 39	6.I		Mongolie, USCGS: $48,1^\circ N$, $102,9^\circ E$, $H=23^h 58^m 21,4^s$, $h=33$ km;	



Date	Station	Phase	G.M.T. h m s	Date	Station	Phase	G.M.T. h m s
6.I		$mb=5,4$ /USCGS/, $mpV=5,4$ /Niedzica/		7.I	KRA	$\Delta=126,3^\circ$	
/suite/	KRA	$\Delta=51,8^\circ$			/SKM/	e1PKP	00 46 26
	/SKM/	e1P	00 07 26 C		ePP		47 48
	/GW/	esP	37	7.I		Tchécoslovaquie, ISC, Edinburgh: $49,68^\circ N$, $17,34^\circ E$, $H=12^h 14^m$, explosion	
		ePcP	08 37		NIE	$\Delta=1,96^\circ$	
		ePP	09 28		eP _Z		12 15 14,1
		eS	14 39		eZ		23,1
	NIE	$\Delta=51,9^\circ$			eLZ		43,0
	1P		00 07 28,2 C		F		16 20
		Z: 1^S ; $0,04\mu$			RAC	$\Delta=0,68^\circ$ Traces	
	esP		38		/SK/	NEZ	12 15-17
	e		09 10	7.I		Mongolie, USCGS: $48,2^\circ N$, $102,8^\circ E$, $H=13^h 03^m 44,9^s$, $h=33$ km; $mb=5,0$	
	ePP		24		/USCGS/		
	RAC	$\Delta=52,6^\circ$			NIE	$\Delta=52,0^\circ$	
	/SK/	eP	00 07 34		e1P		13 12 50,6
	esP		45		ePP		14 51
6.I		Région de Hokkaido, USCGS: $41,8^\circ N$, $143,3^\circ E$, $H=00^h 04^m 02,7^s$, $h=35$ km; $mb=5,5$ /USCGS/, $MLH=5,9$ /Kraków/		8.I			
	KRA	$\Delta=76,1^\circ$			NIE		
	/Ch/	e1P	00 15 48 C		eP		05 05 04
	/GW/	e1pP	58	8.I		Région de Kamtchatka, USCGS: $56,0^\circ N$, $162,9^\circ E$, $H=05^h 02^m 52,1^s$, $h=33$ km; $mb=5,1$ /USCGS/, $MLH=$ $5,8$ /Kraków/	
		ePP	18 43		KRA	$\Delta=70,1^\circ$	
		eS	25 23		/SKM/	eP	05 14 01 C
		eSKS	50		e1pP		10
		Lm	30 36		ePcP		21
		NE: 15^S ; $4,6\mu$, $3,7\mu$			/GW/	eS	23 01
	NIE	$\Delta=76,5^\circ$			eL		42,1
	1P		00 15 50,5 C		Lm		48 30
	1PcP		16 01			NE: 17^S ; $4,5\mu$, $3,8\mu$	
	i		22		Lm		50 23
	esS		25 50			NE: 14^S ; $2,0\mu$, $4,3\mu$	
	ePPS		26 30		RAC	$\Delta=70,5^\circ$	
	RAC	$\Delta=76,8^\circ$			/SK/	eP	05 14 03
	/SK/	eP	00 15 53		NIE	$\Delta=70,5^\circ$	
	ePcP		16 03		1P		05 14 05,0 C
7.I		Crête médiane de l'Océan Indien, USCGS: $48,8^\circ S$, $112,7^\circ E$, $H=00^h 27^m$ $25,2^s$, $h=33$ km; $mb=5,8$ /USCGS/		8.I		Région de Kamtchatka, USCGS:	
	NIE	$\Delta=125,7^\circ$					
	ePKP		00 46 25				
	e1		55				

Date	Station	Phase	G.M.T. h m s	Date	Station	Phase	G.M.T. h m s
8.I		56,1°N, 162,8°E, H=06 ^h 43 ^m 32,3 ^s , h=44 km; mb=4,9 /USCGS/ Δ=70,0°		10.I	NIE	ePcP	08 42 35
/suite/	RAC	eP	06 54 39	10.I		Iles Tonga, USCGS: 19,6°S, 175,8°W, H=13 ^h 34 ^m 06 ^s , h=33 km; mb=5,0 /USCGS/ Δ=147,8°	
	/SK/	eP			NIE	ePKP ₁	13 53 49
	KRA	Δ=70,1°. Traces		11.I	NIE	1P	06 07 06,0 D
	/Ch/	eP	06 54 41 C	11.I		Région Nord de Célèbes, USCGS: 0,1°S, 120,1°E, H=05 ^h 54 ^m 00 ^s , h=23 km; mb=5,6 /USCGS/ Δ=96,5°	
	NIE	Δ=70,5°			NIE	eP	06 07 28
	1P		06 54 44,0 C		KRA	ePP	11 34
	epP		55		/SKM/	eP	06 07 29
8.I		Région de Kamtchatka, USCGS: 56,2°N, 162,7°E, H=08 ^h 31 ^m 59,7 ^s , h=24 km; mb=4,9 /USCGS/ Δ=69,9°. Traces		11.I		Frontière Irak-Iran, BCIS: 34,2°N, 45,6°E, H=11 ^h 20 ^m 46 ^s ; M=5% /Rzym/ MLH=5 /Pruhonice/, MLH=4,8 /Kra- ków/ Δ=23,9°	
	KRA	eP	08 43 10 C		NIE	eP	11 26 01,0 C
	/SKM/	ePcP	32			eP	08
	NIE	Δ=70,4°				1PP	37
	eP		08 43 13			e	27 02
9.I		Région de Lar, Iran, USCGS: 27,7°N, 54,5°E, H=01 ^h 55 ^m 13,6 ^s , h=17 km; mb=5,3 /USCGS/ Δ=33,8°				1	57
	NIE	eP	02 02 00			eP	28 05
	eP		08		KRA	Δ=24,4°	
	KRA	Δ=34,4°			/SKM/	eP	11 26 05 C
	/Ch/	eP	02 02 04			1	10
	ePcP		04 32		/GW/	1PP	43
9.I		Local				eP	29 41
	NIE	Traces				eS	30 29
	eZ		11 29 16		/GW/	e/L/	50
	eZ		36			Lm	38 20
9.I		Grèce, Athènes: 38,6°N, 21,9°E, H=20 ^h 33 ^m 34,5 ^s ; ML=3,4 /Athènes/ Δ=10,6°				Lm	31
	NIE	eP	20 37 04			E: ca 10 ^s ; 1,4μ	
	ePP		16			E: ca 10 ^s ; 1,1μ	
10.I		Hondo, Japon, USCGS: 36,6°N, 138,0°E, H=08 ^h 30 ^m 26 ^s , h=33 km; mb=4,4 /USCGS/ Δ=78,2°			RAC	Δ=25,5°	
	NIE	eP	08 42 24		/SK/	eP	11 26 14
						e	19
						ePPP	47

Date	Station	Phase	G.M.T. h m s	Date	Station	Phase	G.M.T. h m s
11.I		Traces		15.I		Région du Lac Baikal, USCGS: 55,7°N, 110,7°E, H=19 ^h 55 ^m 45,6 ^s , h=32 km; mb=5,1 /USCGS/ Δ=51,5°. Traces	
	NIE	eP	22 00 11,2		KRA	eP	20 07 48 C
12.I		Local			/SKM/	eL	27,4
	NIE	eP _{NEZ}	14 02 31,0	16.I		Hondo, Japon, USCGS: 36,2°N, 138,2°E, H=03 ^h 32 ^m 12,3 ^s , h=38 km; mb=4,6 /USCGS/ Δ=78,7°. Traces	
		e1/Sg/NEZ	47,5		NIE	eP	03 44 13,0
		Lm	55	16.I		Iles Santa Cruz, USCGS: 11,2°S, 165,7°E, H=14 ^h 26 ^m 22,9 ^s , h=6 km; mb=5,3 /USCGS/ Δ=132,3°	
					KRA	ePKP	14 45 41
	KRA			17.I		Argentine, USCGS: 27,4°S, 63,3°W, H=01 ^h 07 ^m 54,3 ^s , h=590 km; mb=5,5 /USCGS/ Δ=106,5°	
	/SKM/	e/Pg/NEZ	14 02 43		KRA	ePP	01 25 37
		e1/Sg/NEZ	03 07	17.I		Près de la côte Est de Hondo, Japon, USCGS: 38,3°N, 142,1°E, H=11 ^h 59 ^m 31,5 ^s , h=44 km; mb=5,9 /USCGS/, MLH=7,0 /Kraków, Nie- dzica/ Δ=78,5°	
13.I		Iles Salomon, USCGS: 10,6°S, 161,4°E, H=13 ^h 48 ^m 11,7 ^s , h=32 km; mb=5,7 /USCGS/ Δ=129,8°			KRA	Δ=78,5°	
	NIE	ePKP	14 07 21		/SKM/	eP	12 11 30 C
		ePP	09 28		/GW/	1PcP	35
13.I		Région des Iles Tonga, USCGS: 20,0°S, 174,0°W, H=21 ^h 48,0 ^m Δ=148,7°. Traces				1pP	40
	NIE	ePKP	22 08 02			ePP	14 20
14.I		Iles aux Rats, USCGS: 52,1°N, 175,4°E, H=12 ^h 04 ^m 50,7 ^s , h=41 km; mb=5,1 /USCGS/ Δ=76,4°. Traces				eS	21 22
	KRA	eP	12 16 36 C			eS	40
	/SKM/	ePcP	48			eScS	44
	NIE	Δ=76,8°				eSP	56
	1P		12 16 40,5 C			eSPP	22 19
	esP		52			Lm	49 10
14.I		Sinkiang, Chine, USCGS: 44,6°N, 81,5°E, H=15 ^h 29 ^m 15 ^s , h=33 km; mb=5,0 /USCGS/ Δ=41,1°. Traces				NE: 15,5 ^s ; 58μ, 33μ	
	KRA	1P	15 36 57 C		NIE	Δ=78,8°	
	/SKM/	1pP	37 07		1P		12 11 31,2 C
		1	12		1pP		44
	NIE	Δ=41,1°			1		12 10
	1P		15 36 57,5 D				
	1pP		37 08				

Date	Station	Phase	G.M.T. h m s	Date	Station	Phase	G.M.T. h m s
17.I	NIE	e	12 12 16	18.I	NIE	$\Delta=55,8^\circ$	
/suite/		iPP	14 28			1P	05 44 10,5
		eS	21 26			i	21
		eScS	46			i	47
		Lm	49,5			iS	51 58
		NEZ: 15^S ; 50μ , 25μ , 42μ			RAC	$\Delta=56,1^\circ$	
	RAC	$\Delta=79,3^\circ$		/SK/	eP	05 44 15	
	/SK/	eP	12 11 34 C		Lm	36	
		epP	46			E: 3^S ; $15,6\mu$	
		ePS	22 06		Lm	41	
						N: 3^S ; $13,9\mu$	
17.I		Japon, USCGS: $38,3^\circ N$, $142,1^\circ E$, $H=12^h 26^m 20,8^s$, $h=37$ km; $mb=4,7$ /USCGS/		18.I		Iles aux Renards, USCGS: $52,5^\circ N$, $168,3^\circ W$, $H=08^h 18^m 22,0^s$, $h=37$ km; $mb=5,7$ /USCGS/	
	NIE	$\Delta=78,8^\circ$			RAC	$\Delta=77,8^\circ$	
		eP	12 38 21	/M/	eP	08 30 15	
		epP	33		esP	31	
17.I		Iles Kouriles, USCGS: $43,2^\circ N$, $147,2^\circ E$, $H=12^h 41^m 12^s$, $h=33$ km; $mb=3,8$ /USCGS/			KRA	$\Delta=77,8^\circ$	
	NIE	$\Delta=76,9^\circ$		/SKM/	eiP	08 30 17	
		eP	12 53 03	/GW/	eipP	25	
					esS	40 15	
18.I		Iles Kouriles, USCGS: $48,9^\circ N$, $154,9^\circ E$, $H=04^h 20^m 52,9^s$, $h=40$ km; $mb=5,4$ /USCGS/			NIE	$\Delta=78,4^\circ$	
	KRA	$\Delta=74,3^\circ$. Traces			eiP	08 30 20 C	
	/SKM/	eiP	04 32 27		esP	32	
	NIE	$\Delta=74,8^\circ$		18.I		Région de Hokkaido, USCGS: $42,0^\circ N$, $142,4^\circ E$, $H=06^h 29^m 03,4^s$, $h=65$ km; $mb=4,8$ /USCGS/	
		eP	04 32 29		NIE	$\Delta=75,9^\circ$	
		ePcP	40		iP	08 40 44,8 C	
		epP	47		ePcP	56	
					iPP	41 02	
18.I		Région Est de la Russie, USCGS: $56,6^\circ N$, $120,8^\circ E$, $H=05^h 34^m 32,6^s$, $h=11$ km; $mb=6,1$ /USCGS/, $MLH=7,1$ /Kraków/, $7,0$ /Racibórz/			KRA	$\Delta=75,6^\circ$	
	KRA	$\Delta=55,5^\circ$		/SKM/	eP	08 40 45	
	/GW/	eiP	05 44 08,0	18.I		Région Sud de l'Alaska, USCGS: $60,4^\circ N$, $152,5^\circ W$, $H=10^h 41^m 54,0^s$, $h=96$ km; $mb=4,4$ /USCGS/	
		ePPP	47 24		NIE	$\Delta=70,6^\circ$	
		ePcS	49 10		eP	10 52 59	
		eiS	51 50		e	53 10	
		Lm	06 06 15				
		NE: ca 11^S ; ca 100μ , ca 60μ					

Date	Station	Phase	G.M.T. h m s	Date	Station	Phase	G.M.T. h m s
18.I	NIE	Local		19.I	KRA	$\Delta=133,1^\circ$	
		ePgEZ	12 33 02,3	/SKM/	ePKP	12 57 31	
		F	34 00		NIE	$\Delta=133,4^\circ$	
18.I		Iles Tonga, USCGS: $17,9^\circ S$, $175,4^\circ W$, $H=14^h 29^m 51,5^s$, $h=226$ km; $mb=4,6$ /USCGS/			ePKP	12 57 31	
	NIE	$\Delta=146,2^\circ$			e	44	
		e1PKP ₁	14 49 08		epPKP	58 09	
		ePKP ₂	13		Lm	13 06,7	
						NEZ: 5^S ; $1,9\mu$, $1,1\mu$, $2,0\mu$	
18.I		Iles Kouriles, USCGS: $47,3^\circ N$, $152,1^\circ E$, $H=15^h 28^m 03^s$, $mb=4,8$ /USCGS/, $h=140$ km		19.I		Région des Iles Fidji, USCGS: $14,8^\circ S$, $178,8^\circ W$, $H=12^h 40^m 12,6^s$, $h=18$ km; $ML=6,8$ /USCGS/, $MLH=7,0$ /Kraków/	
	NIE	$\Delta=75,2^\circ$			KRA	$\Delta=141,9^\circ$	
		eP	15 39 30	/SKM/	ePKP	12 59 40	
18.I		Mongolie, USCGS: $48,1^\circ N$, $102,9^\circ E$, $H=21^h 49^m 25,8^s$, $h=33$ km; $mb=5,2$ /USCGS/			e	13 00 01	
	KRA	$\Delta=51,8^\circ$		/GW/	Lm	14 00 19	
	/SKM/	eiP	21 58 31			NE: 22^S ; 37μ , 22μ	
		eipP	35	19.I		Iles aux Renards, USCGS: $52,4^\circ N$, $169,6^\circ W$, $H=14^h 41^m 37^s$, $h=55$ km; $mPV=5,5$ /Niedzica/, $mb=5,2$ /USCGS/	
	NIE	$\Delta=52,0^\circ$			KRA	$\Delta=77,8^\circ$	
		iP	21 58 32,3 C	/SKM/	eiP	14 53 29 D	
		i	36		ePcP	39	
		ePP	22 00 31		ei	54 12	
	RAC	$\Delta=52,7^\circ$			NIE	$\Delta=78,5^\circ$	
	/SK/	eP	21 58 37		eiP	14 53 33 D	
19.I		Local, Pruhonice: eiPg 09 02 22,5				Z: $0,9^S$; $0,036\mu$	
	NIE				ePcP	40	
		ePz	09 02 13,5	19.I		Nevada, explosion souterraine, BCIS: $37,0^\circ N$, $116,0^\circ W$, $H=16^h 45^m 00^s$	
		eZ	24,5		KRA	$\Delta=85,2^\circ$	
		eEZ	44	/SKM/	eiP	16 57 37 D	
		F	03 30	20.I		Mongolie, USCGS: $48,0^\circ N$, $102,9^\circ E$, $H=01^h 57^m 23,1^s$, $h=33$ km; $M=6\frac{3}{4}$ /Pasadena/, $MLH=6,8$ /Niedzica/	
19.I		Iles Santa Cruz, USCGS: $11,8^\circ S$, $166,4^\circ E$, $H=12^h 38^m 31,3^s$, $h=156$ km; $mb=5,5$ /USCGS/			NIE	$\Delta=52,0^\circ$	
					eiP	02 06 30,0 C	

Date	Station	Phase	G.M.T. h m s	Date	Station	Phase	G.M.T. h m s
20.I	NIE	i	02 06 32	20.I	KRA	$\Delta = 52,0^\circ$	
/suite/		e	08 38	/SKM/	eiP		06 32 24 C
		e	16 28		epP		38
		eL	18,5	20.I		Local	
		Lm	26,5	NIE			
			NEZ: 6^s ; 28μ , $7,5\mu$, $17,5\mu$		eiP _{NEZ}		13 59 42,5
KRA		$\Delta = 51,8^\circ$		e/Sg/NEZ			14 00 04,5
/SKM/		eiP	02 06 28 C	F			01 00
/GW/		isP	37	20.I		Local	
		ePcP	07 43	NIE			
		ePP	08 27	eiP _Z			14 12 13,5
		ePPP	09 33	^e EZ			32,5
		eS	13 49	F			13 10
		eScS	16 07	20.I		Nevada, BCIS: $37,0^\circ N$, $116,0^\circ W$, $H=17^h 40,0^m$	
RAC		$\Delta = 52,8^\circ$		NIE		$\Delta = 85,9^\circ$	
/SK/		eP	02 06 36	eiP			17 52 49
20.I		Mongolie, USCGS: $48,0^\circ N$, $103,0^\circ E$, $H=03^h 27^m 13,9^s$, $h=33$ km; $mb=5,0$		e			58
		/USCGS/		20.I		Mongolie, USCGS: $48,0^\circ N$, $103,2^\circ E$, $H=21^h 19^m 39^s$, $h=33$ km; $mb=4,5$	
KRA		$\Delta = 52,0^\circ$		/USCGS/			
/SKM/		eiP	03 36 20 C	NIE		$\Delta = 52,1^\circ$	
NIE		$\Delta = 52,0^\circ$		eP			21 28 48
		eiP	03 36 21,5	21.I		Mongolie, USCGS: $48,1^\circ N$, $102,9^\circ E$, $H=00^h 41^m 32,2^s$, $h=33$ km; $mb=4,9$	
20.I		Mongolie, USCGS: $47,8^\circ N$, $102,8^\circ E$, $H=03^h 28^m 45^s$, $h=33$ km; $mb=5,1$		/USCGS/			
		/USCGS/		NIE		$\Delta = 52,0^\circ$. Traces	
KRA		$\Delta = 52,0^\circ$		eP			00 50 38
/SKM/		eiP	03 37 52	21.I		Sud-Est du Pacifique, USCGS: $49,8^\circ S$, $114,8^\circ W$, $H=02^h 54^m 00,8^s$, $h=33$ km; $mb=5,3$ /USCGS/	
		epP	38 05	RAC		$\Delta = 150,1^\circ$	
NIE		$\Delta = 52,0^\circ$		/SK/		ePKP ₁	03 13 49
		eiP	03 37 54			ePKP ₂	14 05
20.I		Pakistan occidental, USCGS: $32,3^\circ N$, $69,8^\circ E$, $H=05^h 16^m 39,8^s$, $h=70$ km; $mb=5,1$ /USCGS/		KRA		$\Delta = 151,1^\circ$	
		$\Delta = 40,3^\circ$		/Ch/		ePKP ₁	03 13 52
		iP	05 24 29,0 D			eSPKP	58
		eisP	36			ePKP ₂	14 04
20.I		Mongolie, USCGS: $47,9^\circ N$, $103,1^\circ E$, $H=06^h 23^m 16,3^s$, $h=33$ km; $mb=5,0$		NIE		$\Delta = 151,2^\circ$	
		/USCGS/		ePKP ₁			03 13 52
				ePP			17 40

Date	Station	Phase	G.M.T. h m s	Date	Station	Phase	G.M.T. h m s
21.I		Local		22.I		Région des Iles Fidji, USCGS: $18,0^\circ S$, $178,5^\circ W$, $H=22^h 35^m 51^s$, $h=600$ km; $mb=4,5$ /USCGS/	
NIE		eP _{NEZ}	12 41 05	NIE		$\Delta = 145,4^\circ$	
		iSg _{NE}	26,0	eiPKP ₁			22 54 23,1 C
		F	42 00	22.I		Région de Formose, USCGS: $21,8^\circ N$, $121,8^\circ E$, $H=23^h 08^m 17,4^s$, $h=63$ km; $mb=4,9$ /USCGS/	
22.I		Iles aux Renards, USCGS: $53,5^\circ N$, $165,3^\circ W$, $H=10^h 30^m 03,0^s$, $h=69$ km; $mb=5,0$ /USCGS/		KRA		$\Delta = 80,9^\circ$	
		$\Delta = 77,6^\circ$. Traces		/SKM/		eP	23 20 27
NIE		eP	10 42 00			eiPcP	34
		esP	09	23.I		Iles Kermadec, USCGS: $27,7^\circ S$, $176,9^\circ W$, $H=11^h 09^m 51,8^s$, $h=$ 60 km; $mb=5,1$ /USCGS/	
22.I		Mongolie, USCGS: $48,1^\circ N$, $102,9^\circ E$, $H=12^h 01^m 49^s$, $h=33$ km; $mb=5,1$		NIE		$\Delta = 154,5^\circ$. Traces	
		/USCGS/		ePKP ₁			11 29 46
NIE		$\Delta = 51,9^\circ$		23.I		Région de l'Ile Ascension, USCGS: $1,6^\circ S$, $15,6^\circ W$, $H=20^h 47^m$ $56,7^s$, $h=33$ km; $mb=5,1$ /USCGS/	
		eiP	12 10 55,5 C	NIE		$\Delta = 59,3^\circ$. Traces	
		ePP	12 52	eP			20 57 59
KRA		$\Delta = 51,8^\circ$		KRA		$\Delta = 59,6^\circ$	
/SKM/		eiP	12 10 58	/SKM/		eP	20 58 01
22.I		Région des Iles Nicobar, USCGS: $8,8^\circ N$, $93,7^\circ E$, $H=12^h 09^m 52,3^s$, $h=36$ km; $mb=4,9$ /USCGS/		epP			13
		$\Delta = 72,5^\circ$		24.I		Région d'Hokkaido, Japon, USCGS: $41,4^\circ N$, $141,9^\circ E$, $H=03^h 05^m 39,0^s$, $h=69$ km; $mb=5,7$ /USCGS/, $mPV=6,2$	
NIE		$\Delta = 72,5^\circ$		KRA		$\Delta = 75,9^\circ$	
		eP	12 21 17	/SKM/		iP	03 17 19,0 C
		eiPcP	42			ei	26
KRA		$\Delta = 72,9^\circ$		NIE		$\Delta = 76,2^\circ$	
/SKM/		eP	12 21 19			iP	03 17 21,5 C
		epP	29			Z: $0,8^s$; $0,174\mu$	
22.I		Mongolie, USCGS: $48,0^\circ N$, $102,9^\circ E$, $H=12^h 16^m 02^s$, $h=33$ km; $mb=5,0$				eIPcP	34
		/USCGS/				eisP	44
NIE		$\Delta = 52,0^\circ$				ePP	20 10
		eiP	12 25 08 C	24.I		RAC	$\Delta = 76,6^\circ$
		e	23	/SK/		eP	03 17 24
KRA		$\Delta = 52,0^\circ$				epP	42
/SKM/		eiP	12 25 08 D				
22.I		Iles Tonga, USCGS: $16,5^\circ S$, $173,8^\circ W$, $H=21^h 34^m 35^s$, $h=33$ km; $mb=4,2$ /USCGS/		24.I		Crête médiane de l'Atlantique,	
		$\Delta = 145,5^\circ$					
NIE		eiPKP	21 54 10,1				

DRUK – IMPRIMÉ



From the ISC collection scanned by SISMOS

Handwritten notes in blue ink, including the words 'station', 'first', 'station', 'station', and 'station'.

POLSKA AKADEMIA NAUK
ZAKŁAD GEOFIZYKI

WARSZAWA 22

ul. Pasteura 3

skrytka pocztowa 155

POLSKA — POLOGNE

Potwierdzamy odbiór następujących wydawnictw.

Подтверждаем получение следующих изданий:

Nous accusons réception des publications suivantes:

We acknowledge the receipt of the following publications:

.....

.....

.....

.....

.....

.....

.....

.....

Inytucja i adres:

Institution et adresse:

Podpis
Signature

Date	Station	Phase	G.M.T. h m s	Date	Station	Phase	G.M.T. h m s
24.I		USCGS: 0,6°S, 21,0°W, H=09 ^h 29 ^m 12,3 ^s , h=33 km; mb=4,9 /USCGS/ MLH=6,0 /Racibórz, Kraków/ Δ=60,4°		24.I	NIE	Local	
	RAC	eP	09 39 22			eP _E NEZ	19 21 47
	/M/	epP	35			eNEZ	22 05,5
		ePcP	40 11			F	30
		ePP	41 38	25.I		Région frontière URSS-Aghani- stan, USCGS: 36,6°N, 71,6°E, H=01 ^h 50 ^m 19,4 ^s , h=281 km; mb= 5,7 /USCGS/, mPV=6,1 /Niedzica/ Δ=38,9°	
		eL	10 01,0		NIE	1P	01 57 21,0 C
		Lm	09 12			Z: 1 ^s ; 0,32μ	
		N: 8 ^s ; 6,6μ				i	43
		Lm	38			ipP	58 17
		E: 10 ^s ; 5,2μ				isP	49
	NIE	Δ=61,0°			KRA	Δ=39,1°	
		eP	09 39 24		/SKM/	1P	01 57 21,0 C
		ipP	38			ipP	58 17
		isP	46			isP	48
		e1PP	41 50		/GW/	1PP	56
		eSPP	48 11			1PcP	59 32
		Lm	10 09 55			i	02 00 12
		N: 15 ^s ; 40 μ				is	03 21
		Lm	10,5			ei/L/	06 06
		EZ: 15 ^s ; 30 μ, 36 μ			RAC	Δ=40,2°	
	KRA	Δ=61,2°			/M/	eP	01 57 31
	/SKM/	eP	09 39 27			epP	58 26
		eipP	39			eSS	02 06 28
		ePcP	40 15	25.I		Région des Iles Fidji, USCGS: 20,6°S, 178,4°W, H=07 ^h 31 ^m 35 ^s , h=517 km; mb=4,8 /USCGS/ Δ=147,8°	
	/GW/	ePS	48 03		NIE	1PKP ₁	07 50 21
		e1SPP	15	25.I		Région des Iles Fidji, USCGS: 19,9°S, 178,1°W, H=10 ^h 44 ^m 27 ^s , h=599 km; mb=4,2 /USCGS/ Δ=147,3°	
		eScS	49 15		NIE	ePKP ₁	11 03 05
		Lm	10 09 06	26.I		Hindou-Kouch, USCGS: 37,7°N, 71,8°E, H=05 ^h 25 ^m 23 ^s , h=122 km Δ=38,4°	
		NE: 13,5 ^s ; 18,2μ, 13,3μ			NIE	1P	05 32 35,2 C
24.I		Local					
	NIE	eP _E NEZ	14 37 04				
		eiNEZ	16,5				
		F	40				
24.I		Szechuan, Chine, USCGS: 30,1°N, 104,1°E, H=14 ^h 45 ^m 16,0 ^s , h=33 km mb=5,4 /USCGS/ Δ=64,0°					
	NIE	eP	14 55 58				
		isP	56 04				

Date	Station	Phase	G.M.T. h m s	Date	Station	Phase	G.M.T. h m s
26.I		Local		28.I	KRA	Lm	14 49 26
	NIE	Traces				E: 14 ^s ; 10,5μ	
		eP _E EZ	13 21 44,8		RAC	Δ=77,9°	
		eNEZ	22 08		/SK/	eP	14 04 51
		F	23 00			i	53
26.I		Tunisie, BCIS: 34,7°N, 10,5°E, H=16 ^h 11 ^m 43 ^s ; mb=5,0 /USCGS/ Δ=16,2°				epP	05 05
	NIE	eP	16 15 34		NIE	Δ=78,5°	
		1P	16 15 34			1P	14 04 55,2 C
	KRA	Δ=16,6°. Traces		28.I		Iles aux Renards, USCGS: 52,3°N, 169,5°W, H=14 ^h 05 ^m 58,1 ^s , h=54 km; mb=5,0 /USCGS/ Δ=77,9°	
	/SKM/	eP	16 15 44		KRA	eP	14 17 17
		ePP	59		/SKM/	eP	14 17 17
26.I		Région frontière Mexique-Guate- mala, USCGS: 15,0°N, 92,8°W, H= 16 ^h 10 ^m 34,3 ^s , h=56 km; mb=5,3 /USCGS/ Δ=93,2°. Traces			/GW/	ePP	20 44
	NIE	eP	16 23 43		NIE	Δ=78,6°	
		esP	24 10			eP	14 17 55
28.I		Formose, USCGS: 24,8°N, 121,8°E, H=01 ^h 40 ^m 26,9 ^s , h=90 km; mb=5,2 /USCGS/ Δ=78,6°				epP	19 08
	KRA	1P	01 52 20,0 C	28.I		Iles aux Renards, USCGS: 52,4°N, 169,4°W, H=14 ^h 23 ^m 26,7 ^s , h=47 km; mb=5,2 /USCGS/ Δ=77,9°	
	/SKM/	eipP	44		KRA	eP	14 35 20 D
		ePP	55 25		/SKM/	eipP	36
	NIE	Δ=78,7°		28.I		Iles aux Renards, USCGS: 52,3°N, 169,3°W, H=16 ^h 31 ^m 21,1 ^s , h=32 km; mb=5,6 /USCGS/ Δ=78,0°	
		1P	01 52 21,2		KRA	eipP	16 43 17
		ipP	47		/SKM/	eipP	25
28.I		Iles aux Renards, Aléoutiennes, USCGS: 52,4°N, 169,5°W, H=13 ^h 52 ^m 58,3 ^s , h=47 km; MLH=6,7 /USCGS/ MLH=6,0 /Kraków/ Δ=77,9°			RAC	Δ=77,9°	
	KRA	eipP	14 04 51		/SK/	eP	16 43 19
	/GW/	ePcP	05 01		NIE	Δ=78,6°	
		eS	14 37			eipP	16 43 21
		esS	59			eisP	33
		eSP	15 19	28.I		Iles aux Renards, USCGS: 52,3°N, 169,5°W, H=17 ^h 19 ^m 32,7 ^s h=41 km; mb=4,7 /USCGS/ Δ=78,0°	
		ePS	28		KRA	eipP	17 31 28
		Lm	48 36		/SKM/	epP	38
		N: 17 ^s ; 36,5μ					

Date	Station	Phase	G.M.T. h m s	Date	Station	Phase	G.M.T. h m s
28.I	NIE	$\Delta = 78,6^\circ$. Traces		29.I	KRA	$\Delta = 4,2^\circ$	
/suite/		eP	17 31 30	/SKM/	ePn		00 13 18
		epP	40		eP ^x		30
28.I		Iles aux Renards, USCGS: 52,3°N, 169,4°W, H=17 ^h 26 ^m 32,8 ^s , h=33 km; mb=4,3 /USCGS/			ePPP		37
NIE		$\Delta = 78,6^\circ$. Traces			ePg		39
		iP	17 38 31,7		eS		14 15
28.I		Iles aux Renards, USCGS: 52,4°N, 169,4°W, H=17 ^h 42 ^m 01,5 ^s , h=50 km; mb=5,6 /USCGS/			eSS		24
NIE		$\Delta = 78,6^\circ$		NIE	$\Delta = 4,2^\circ$		
		eP	17 53 54		iPn		00 13 18,9 C
KRA		i	56		i		26
/SKM/		eipP	54 15		iPPP		38
		eipP	56 44		eSSS		14 12
/GW/		eIS	18 03 49	29.I		Sud de l'Iran, USCGS: 26,5°N, 55,3°E, H=03 ^h 53 ^m 58,8 ^s , h=42 km; mb=5,1 /USCGS/	
RAC		$\Delta = 78,0^\circ$		NIE	$\Delta = 35,2^\circ$. Traces		
/SK/		eP	17 53 57		eP		04 00 53
		ePcP	54 04	KRA	$\Delta = 35,7^\circ$		
		epP	12	/SKM/	eipP		04 00 57
NIE		$\Delta = 78,6^\circ$			epP		01 05
		eP	17 53 58	29.I		Sud de l'Iran, USCGS: 26,5°N, 55,3°E, H=07 ^h 12 ^m 05 ^s , h=33 km; mb=4,7 /USCGS/	
28.I		Iles aux Renards, USCGS: 52,5°N, 169,4°W, H=20 ^h 46 ^m 34 ^s , h=47 km; mb=4,4 /USCGS/		KRA	$\Delta = 35,7^\circ$		
NIE		$\Delta = 78,5^\circ$. Traces		/SKM/	eipP		07 20 11
		eP	21 00 31		i		33
28.I		Kamchatka, USCGS: 55,0°N, 160,2°E, H=22 ^h 28 ^m 01,2 ^s , h=113 km; mb=5,1 /USCGS/		29.I		Sud de l'Iran, ISC Edinburgh, 26,5°N, 55,3°E, H=07 ^h 13 ^m 38 ^s	
NIE		$\Delta = 70,9^\circ$		NIE	$\Delta = 35,2^\circ$. Traces		
		eP	22 39 06		eP		07 20 29
		epP	39		esP		49
29.I		Haute Autriche, BCIS: 47,9°N, 14,2°E, H=00 ^h 12 ^m 14 ^s ; mb=4,6 /USCGS/		29.I		Iran méridional, BCIS: 26,5°N, 55,2°E, H=07 ^h 56 ^m 37 ^s ; MLH=5 ¹ / ₂ /Strasbourg/	
RAC		$\Delta = 3,3^\circ$		KRA	$\Delta = 35,7^\circ$		
/SK/		ePn	00 13 13	/SKM/	eipP		08 03 37,5
		ePP	15	/GW/	ePP		05 02
		eISn	53		eIS		09 12
					eSSS		12 04
					Lm		23 43
							N: 12 ^s ; 3,8 μ



Date	Station	Phase	G.M.T. h m s	Date	Station	Phase	G.M.T. h m s
29.I	KRA	Lm	08 24 28	30.I	NIE	$\Delta = 17,8^\circ$	
/suite/		E: 7 ^s ; 0,9 μ			eipP		12 29 10
	NIE	$\Delta = 35,2^\circ$			ePPP		38
		eP	08 03 37				
	RAC	$\Delta = 36,7^\circ$			KRA	$\Delta = 18,3^\circ$. Traces	
	/SK/	eP	08 03 48	/SKM/	eipP		12 29 14
		esP	04 05		ei		22
29.I		Iles Tonga, USCGS: 16,2°S, 173,8°W, H=17 ^h 46 ^m 33,3 ^s , h=134 km; mb=4,5 /USCGS/		30.I		Birmanie, USCGS: 26,2°N, 96,2°E, H=21 ^h 05 ^m 30,4 ^s , h=44 km; mb=5,5 /USCGS/	
NIE		$\Delta = 145,2^\circ$		KRA	$\Delta = 61,8^\circ$		
		ePKP ₁	18 05 57	/SKM/	iP		21 15 46 C
		epPKP ₂	06 32		eipP		16 06
					ei		09
30.I		Arménie, URSS, BCIS: 41,0°N, 44,2°E, H=01 ^h 20 ^m 27 ^s ; M=5 $\frac{1}{2}$ /Moskva/		NIE	$\Delta = 61,6^\circ$		
NIE		$\Delta = 18,7^\circ$			eipP		21 15 48
		iP	01 24 49		ePcP		16 26
		i	53	31.I		Mongolie, USCGS: 47,9°N, 102,8°E, H=03 ^h 35 ^m 36,3 ^s , h=33 km; mb=4,9 /USCGS/	
		iPP	25 05	KRA	$\Delta = 51,9^\circ$. Traces		
		e	31	/SKM/	eipP		03 44 42 C
	KRA	$\Delta = 19,1^\circ$		NIE	$\Delta = 52,0^\circ$		
/GW/		eipP	01 24 54		eipP		03 44 45,2 C
		eipP	25 08	31.I		Au large de la côte de l'Amérique centrale, USCGS: 2,8°N, 84,4°W, H=13 ^h 37 ^m 34,3 ^s , h=33 km; mb=5,3 /USCGS/	
		eS	28 21	KRA	$\Delta = 97,1^\circ$. Traces		
	RAC	$\Delta = 20,2^\circ$		/SKM/	eipP		13 51 06 D
	/SK/	eP	01 25 10	31.I		Région d' Hokkaido, USCGS: 42,8°N, 145,4°E, H=17 ^h 43 ^m 56,2 ^s , h=44 km; mb=5,1 /USCGS/, mPV=5,6 /Niedzica/ $\Delta = 76,2^\circ$	
		ePP	22	KRA	$\Delta = 76,2^\circ$		
30.I		Kazakstan, URSS, BCIS: 50,0°N, 78,0°E, H=04 ^h 02 ^m 00 ^s ; M=5,0 /Uppsala/		/SKM/	iP		17 55 40 C
NIE		$\Delta = 36,6^\circ$. Traces			iPcP		52
		eipP	04 09 08		eisP		56 05
30.I		Local		NIE	$\Delta = 76,5^\circ$		
NIE		e1P _{NEZ}	11 45 00,3		iP		17 55 43,5 C
		eNEZ	17,6		Z: 1 ^s ; 0,060 μ		
30.I		Anatolie, Turquie, BCIS: 39,5°N, 41,3°E, H=12 ^h 25 ^m 06 ^s ; mb=4,8 /USCGS/			ei		56 00

Date	Station	Phase	G.M.T. h m s	Date	Station	Phase	G.M.T. h m s
31.I	Iran méridional, BCIS: 26,5°N, 55,3°E, H=19 ^h 00 ^m 21 ^s ; mb=5,2 /USCGS/			31.I	KRA /SKM/	Δ=35,7°. Traces eP	19 07 24
	NIE Δ=35,2°. Traces eP		19 07 20				
F É V R I E R 1967							
1.II	Iran, BCIS: 26,8°N, 55,3°E, H=01 ^h 07 ^m 22 ^s ; mb=5,0 /USCGS/			2.II	NIE	1PP ePcP	07 47 03 30
	NIE Δ=35,0°. Traces eP		01 14 18		KRA /SKM/	Δ=39,9° 1P	07 45 26,0 D 36
	KRA Δ=35,5° /GW/		01 14 21		/GW/	1pP eiPP eS	47 02 51 29
	eS		19 55		/GW/	eSS	54 24
	RAC Δ=36,4° /SK/		01 14 29	2.II		Région d'Hokkaido, Japon, USCGS: 41,6°N, 139,7°E, H=16 ^h 24 ^m 39,1 ^s , h=176 km; mb=5,4 /USCGS/	
1.II	Région Sud de Sumatra, USCGS: 4,8°S, 103,2°E, H=15 ^h 19 ^m 56,8 ^s , h=33 km; mb=5,3 /USCGS/				KRA /SKM/	Δ=74,8° eiP e	16 36 00 38 46
	NIE Δ=88,9° eiP		15 32 50,7 D		/GW/	eiS	45 20
	ePcP		57		NIE	Δ=75,1° eiP	16 36 02,7 D
	KRA Δ=89,3° /SKM/		15 32 52			epP e	44 38 43
	e1pP		33 10		RAC /SK/	Δ=75,5° eP ePcP	16 36 05 14
2.II	Région des Iles Sandwich, USCGS: 57,9°S, 25,7°W, H=06 ^h 25 ^m 49,8 ^s , h=81 km; mb=5,8 /USCGS/			2.II		Région de la Nouvelle Irlande, USCGS: 4,3°S, 153,7°E, H=18 ^h 18 ^m 17,4 ^s , h=247 km; mb=5,0 /USCGS/	
	NIE Δ=113,2° ePKP		06 44 28		NIE	Δ=120,4°. Traces eiPKP	18 36 41,4 D
	ePP		45 18	3.II		Hondo, Japon, USCGS: 36,5°N, 138,0°E, H=08 ^h 17 ^m 05,4 ^s , h=26 km; mb=4,7 /USCGS/	
	KRA Δ=113,7° /SKM/		06 44 32		KRA /SKM/	Δ=78,1° eP	08 29 04
	ePKP ePP		45 19				
2.II	Sinkiang, Chine, USCGS: 39,7°N, 75,5°E, H=07 ^h 37 ^m 54,9 ^s , h=39 km; mb=5,3 /USCGS/						
	NIE Δ=39,7° eiP		07 45 25,0 C				

Date	Station	Phase	G.M.T. h m s	Date	S	Phase	h m s
3.II	NIE /suite/	Δ=78,4° eP	08 29 05	6.II	NIE	Δ=150,7° ePKP ₁ ePKP ₂	03 30 16 25
3.II		Mer de Java, USCGS: 5,6°S, 110,5°E, H=12 ^h 48 ^m 09,2 ^s , h=560 km; mb=5,4 /USCGS/		7.II		ISC, Edinburgh; Tchécoslovaquie explosion de 11,4 tonnes. 49,70°N, 17,79°E, H=09 ^h 27 ^m Δ=0,36°	
	NIE	Δ=94,3° 1P	13 00 31,5 C		RAC /SK/	ⁱ NEZ ^e N	09 28 03,5 06
		epP ei eiPP i	02 33 03 43 04 27 05 30	7.II		Péninsule de l'Alaska, USCGS: 56,7°N, 157,2°W, H=14 ^h 53 ^m 13,9 ^s ; mb=5,6 /USCGS/, h=63 km	
	KRA /SKM/	Δ=94,6° eiP epP eiPP ePPP eSKS	13 00 33 02 34 04 32 06 42 10 19		RAC /SK/	Δ=73,7° eP	15 04 41
4.II		Local			KRA /SKM/	Δ=73,8° eiP eiPcP	15 04 42 58
	NIE	ePEz eiNEZ	08 02 52,6 03 14,1		NIE	Δ=74,5° eiP isP	15 04 45,7 D 05 04
4.II		Région des Iles Volcano, USCGS: 25,5°N, 142,7°E, H=17 ^h 49 ^m 02,4 ^s ; mb=4,9 /USCGS/		8.II		Iles Tonga, ICS Edinburgh: 17,834°S, 178,480°W, H=23 ^h 49 ^m 22,4 ^s , h=579 km	
	NIE	Δ=89,7° eiP	18 01 57,7 D		NIE	Δ=145,1° eiPKP ₁	00 07 56,5 D
	KRA /SKM/	Δ=89,5° eiP	18 01 58	8.II		Région frontalière Pologne-Tchécoslovaquie, 18°23'E, 49°58'N, H=12 ^h 05 ^m 41,5 ^s	
5.II		Région de l'île Ascension, USCGS: 4,9°S, 11,6°W, H=18 ^h 55 ^m 50 ^s ; mb=5,2 /USCGS/			RBN /SK/	Δ=13 km iPz ⁱ PNE ⁱ NEZ ⁱ NE Lm	12 05 44,5 45 48 52 53
	NIE	Δ=60,6° eiP ePP	19 06 02 08			Z: 1 ^s ; 5,8μ Lm NE: 1 ^s ; 14,4μ, 2,9μ F	55 08
	KRA /SKM/	Δ=60,9° eP eiP eisP	19 06 04 11 22		RAC /SK/	Δ=22 km ⁱ PNEZ ⁱ N ⁱ EZ	12 05 46,0 49,5 50,0
6.II		Sud des Iles Fidji, USCGS: 22,8°S, 176,1°W, H=03 ^h 10 ^m 33,4 ^s , h=90 km; mb=5,1 /USCGS/					

Date	Station	Phase	G.M.T. h m s	Date	Station	Phase	G.M.T. h m s
8.II	CHZ	$\Delta=57$ km	12 05 52	9.II	NIE	$\Delta=9,1^\circ$	14 10 40,7 D
/suite/	/SK/	ePg _{NZ}	58			iPP	49
		e _E	08			i	12 17
		F				eSg	13 29
	KRA	$\Delta=116$ km	12 06 02,3		KRA	$\Delta=9,8^\circ$	14 10 50 D
/Ch/	/Ch/	e1Pg _{EZ}	09,5	/SKM/	e1P		58
		e1NEZ	17,5		e1PP		11 08
		1Sg _{NE} , e1Sg _Z			e1PPP		12 48
	NIE	$\Delta=154$ km	12 06 09,3		iS		14 35
		1Pg _{EZ}	11,8		Lm		
		iEZ	28,8			E: 10^S ; $7,8\mu$	42
		1Sg _{EZ}				N: 12^S ; $3,5\mu$	41
8.II		Région frontière Birmanie-Inde, USCGS: $23,2^\circ N$, $93,9^\circ E$, $H=17^{h17} m$ $45,7^S$, $h=33$ km; $mb=5,1$ /USCGS/ $\Delta=62,2^\circ$			RAC	$\Delta=10,0^\circ$	14 10 51
	NIE		17 28 06	/SK/	eP		11 03
		eP	15		ei		09
		epP			ePPP		
9.II		Tchécoslovaquie, région de Patra		9.II		Colombie, USCGS: $2,9^\circ N$, $74,9^\circ W$, $H=15^{h24} m 47,2^S$, $h=58$ km; $M=7,0$	
	NIE		11 59 43,7 D		/Moskva/		
		ePg _Z	44,2	RAC	$\Delta=89,8^\circ$		15 37 43
		ePg _E	44,7	/M/	eP		38 01
		ePg _N	51,2		esPP		48 38
		e1 Sg Z	52,7		eScS		16 02
		e1Sg _{NE}	12 00 01,7		eL _{NE}		
		iNZ	04	KRA	$\Delta=90,9^\circ$		15 37 47,0 C
		Lm		/SKM/	1P		58
		NEZ: $0,7^S$; $0,7^S$; $0,8^S$; $0,14\mu$ $0,07\mu$, $0,04\mu$			eipP		38 05
		F	01,0		eipPcP		41 28
	KRA		11 59 48,3 C	/GW/	1PP		40
	/Ch/	e1Pg _{NEZ}	12 00 04,3		ipPP		48 08
		e1Sg _{NE}	07,8		1SKS		36
		e1NEZ			iS		
	RAC		12 00 01,5	NIE	$\Delta=91,2^\circ$		15 37 49,2 C
	/SK/	e _{NEZ}	06		1P		
		e _N	12,5		isP		38 07
		e _E	01		i		41 24
		F			ePP		48 16
9.II		Région frontière Grèce-Albanie, BCIS: $40,0^\circ N$, $20,1^\circ E$, $H=14^{h08} m$ 23^S ; $mb=5,6$ /USCGS/, $M=5,3$ /Athènes/			eSKS		

Date	Station	Phase	G.M.T. h m s	Date	Station	Phase	G.M.T. h m s
10.II		Inde, USCGS: $33,0^\circ N$, $75,5^\circ E$, $H=05^{h46} m 30^S$; $mb=4,9$ /USCGS/ $\Delta=43,6^\circ$	05 54 31	11.II		Iles Kouriles, USCGS: $48,2^\circ N$, $154,8^\circ E$, $H=14^{h33} m 06,3^S$, $h=26$ km; $mb=4,7$ /USCGS/ $\Delta=75,3^\circ$. Traces	14 44 48
	NIE				NIE		
10.II		Sinkiang, Chine, USCGS: $41,6^\circ N$, $86,2^\circ E$, $H=05^{h51} m 01,9^S$, $h=23$ km; $mb=5,1$ /USCGS/ $\Delta=45,5^\circ$	05 59 13	11.II		Mer du Groenland, USCGS: $79,6^\circ N$, $3,4^\circ E$, $H=15^{h31} m 27,1^S$, $h=33$ km; $mb=4,9$ /USCGS/ $\Delta=39,5^\circ$	15 37 36 D
	NIE		21	KRA			38 44
10.II		Local	15 42 30,8	/SKM/	e1P		15 37 36 D
	NIE		48,8		ePP		38 44
		ePg _{NEZ}		NIE	$\Delta=31,1^\circ$		15 37 42
		e/Sg/NEZ			e1P		54
11.II		Au large de la côte Est du Kamchatka, USCGS: $51,7^\circ N$, $159,5^\circ E$, $H=02^{h39} m 47,1^S$, $h=21$ km; $mb=4,6$ /USCGS/ $\Delta=73,2^\circ$	02 51 17,0 C		epP		38 00
	KRA		24	12.II		Iles Tonga, ISC, Edinburgh: $23,34^\circ S$, $174,72^\circ W$, $H=00^{h24} m 17,2^S$, $h=33$ km $\Delta=151,4^\circ$	00 44 06
	/SKM/	1P	30	NIE			
		eipP			ePKP ₁		
		eiPcP		12.II		Région de l'Hindou-Kouch, USCGS: $35,8^\circ N$, $71,0^\circ E$, $H=16^{h06} m 48^S$, $h=100$ km; $mb=5,2$ /USCGS/ $\Delta=39,0^\circ$	16 14 07
	NIE	$\Delta=73,7^\circ$	02 51 20		eP		
		eP	53 55	12.II		Région des Iles Tonga, BCIS: $18,0^\circ S$, $174,0^\circ W$, $H=21^{h04} m 7^m$ $\Delta=146,8^\circ$. Traces	21 24 30
		1PP		NIE			
11.II		Région frontière Afghanistan- URSS, USCGS: $36,7^\circ N$, $71,1^\circ E$, $H=06^{h05} m 08^S$, $h=58$ km; $mb=4,6$ /USCGS/ $\Delta=38,5^\circ$. Traces	08 12 29	13.II		Iles Aléoutiennes, USCGS: $52,5^\circ N$, $169,6^\circ W$, $H=10^{h07} m 34,5^S$, $h=51$ km; $mb=4,5$ /USCGS/ $\Delta=78,4^\circ$. Traces	10 19 30
	NIE				NIE		
		eP		13.II		Hondo, Japon, USCGS: $36,2^\circ N$, $139,7^\circ E$, $H=11^{h21} m 08,4^S$, $h=58$ km; $mb=4,9$ /USCGS/ $\Delta=79,4^\circ$	11 33 09 C
11.II		Région du Lac Baikal, USCGS: $52,0^\circ N$, $106,2^\circ E$, $H=09^{h27} m 29,6^S$, $h=5$ km; $mb=5,4$ /USCGS/ $\Delta=51,3^\circ$	09 36 36 D		NIE		
	KRA		42	13.II		Région des Iles Kouriles, USCGS: $43,9^\circ N$, $148,4^\circ E$, $H=11^{h30} m 45^S$; $mb=4,6$ /USCGS/	
	/SKM/	e1P					
		eipP					
	NIE	$\Delta=51,5^\circ$. Traces	09 36 37				
		eP	44				
		epP					

Date	Station	Phase	G.M.T. h m s	Date	Station	Phase	G.M.T. h m s
13.II	NIE	$\Delta=76,8^{\circ}$		14.II		Mer Tyrrhénienne, BCIS: vers	
/suite/	iP		11 42 34,0			40,0 ^N , 14,0 ^E , H=14 ^h 42,3 ^m	
	epP		44		NIE	$\Delta=10,2^{\circ}$. Traces	
13.II		Iles Kouriles, USCGS: 43,6 ^N ,			eP	14 45 07	
		147,4 ^E , H=17 ^h 05 ^m 10,3 ^s , h=30 km			KRA	$\Delta=10,6^{\circ}$. Traces	
		mb=4,7 /USCGS/		/SKM/	eIP	14 45 17	
	NIE	$\Delta=76,7^{\circ}$		14.II		Région des Iles Tonga, USCGS:	
	eP		17 17 00			19,4 ^S , 172,8 ^W , H=18 ^h 13 ^m 14 ^s ,	
13.II		Crête médiane de l'Atlantique,			KRA	$\Delta=148,0^{\circ}$	
		Nord, USCGS: 52,7 ^N , 34,1 ^W ,		/SKM/	eIPKP ₁	18 32 57	
		H=23 ^h 14 ^m 19,6 ^s , h=10 km; mb=6,3			NIE	$\Delta=148,5^{\circ}$	
		/USCGS/, MLH=7,1 /Niedzica/,			ePKP ₁	18 33 00	
		6,8 /Kraków/			epPKP	20	
	RAC	$\Delta=32,2^{\circ}$		15.II		Iran occidental, USCGS: 34,5 ^N ,	
/SK/	eP		23 20 50			47,6 ^E , H=01 ^h 47 ^m 27,7 ^s , h=38 km;	
	KRA	$\Delta=33,3^{\circ}$			NIE	$\Delta=24,9^{\circ}$. Traces	
/SKM/	eIP		23 20 57		eP	01 52 51	
	ipP		21 02		KRA	$\Delta=25,4^{\circ}$	
/GW/	iPP		22 07	/Ch/	eIP	01 52 55	
	iS		26 21	15.II		Birmanie, USCGS: 20,4 ^N , 94,1 ^E ,	
	Lm		35,3			H=05 ^h 57 ^m 24,6 ^s , h=10 km; mb=5,5	
		E: 10 ^s ; 22 μ			NIE	$\Delta=64,3^{\circ}$	
		Lm	36 07		eIP	06 08 03	
		N: 10 ^s ; 100 μ			isP	23	
	NIE	$\Delta=33,8^{\circ}$			KRA	$\Delta=64,5^{\circ}$	
	eIP		23 21 02,5 C	/Ch/	eP	06 08 03 C	
	i		07		e	17	
	i		22 24	15.II		Local	
	Lm		36,5		NIE		
		NEZ: 10,5 ^s ; 180 μ , 52 μ , 100 μ			ePg _{NEZ}	10 08 34	
14.II		Région des Iles Andaman, USCGS:			e _{NE} e _{iZ}	38,2	
		13,7 ^N , 96,5 ^E , H=01 ^h 36 ^m 04,7 ^s ,			iS _{NEZ}	51,7	
		h=27 km; mb=6,8 /USCGS/			F	10,0	
	NIE	$\Delta=70,7^{\circ}$		15.II		Région frontiere Pérou-Bésil,	
	eP		01 47 20,8 D			USCGS: 9,0 ^S , 71,3 ^W , H=16 ^h 11 ^m	
	ePcP		48		RAC	$\Delta=96,5^{\circ}$	
	eI		50 41	/SK/	eP	16 23 41 D	
	KRA	$\Delta=71,0^{\circ}$					
/SKM/	eIP		01 47 21 D				
	i		26				
	isP		29				
	eIPPP		50 17				
/GW/	eIS		56 37				

Date	Station	Phase	G.M.T. h m s	Date	Station	Phase	G.M.T. h m s
15.II	RAC	eI	16 24 02	18.II		Région de la Nouvelle Irlande,	
/suite/	KRA	$\Delta=97,6^{\circ}$				USCGS: 5,9 ^S , 153,2 ^E , H=02 ^h 39 ^m	
/SKM/	eIP		16 23 45 D			19,4 ^S , h=41 km; mb=5,4 /USCGS/	
	iPcP		49		KRA	$\Delta=121,3^{\circ}$	
	ipP		25 54	/SKM/	ePKP	02 58 09	
	eIPPP		27 55		eIPPP	59 36	
	eISKS		33 25	19.II		Iles Tonga, USCGS: 21,7 ^S ,	
	eS		34 12			174,9 ^W , H=14 ^h 21 ^m 53 ^s , h=33 km;	
	NIE	$\Delta=97,8^{\circ}$				mb=4,4 /USCGS/	
	eP		16 23 47		KRA	$\Delta=149,6^{\circ}$	
	iPcP		49	/SKM/	ePKP ₁	14 41 41	
	e		24 16		ePKP ₂	48	
	ipP		25 59	19.II		Sinkiang, Chine, USCGS: 42,9 ^N ,	
17.II		Région des Iles Tonga, USCGS:				83,5 ^E , H=20 ^h 08 ^m 20,9 ^s , h=30 km;	
		23,7 ^S , 175,2 ^W , H=10 ^h 10 ^m 51,5 ^s ,				mb=5,1 /USCGS/	
		h=19 km; mb=6,4 /USCGS/			KRA	$\Delta=43,2^{\circ}$	
	KRA	$\Delta=151,4^{\circ}$		/SKM/	eIP	20 16 25 C	
/SKM/	eIPKP ₁		10 30 39 D	19.II		Sud de Java, USCGS: 9,2 ^S ,	
	ipPKP ₁		45			113,1 ^E , H=22 ^h 14 ^m 35,6 ^s , h=80 km,	
	iPKP ₂		51			mb=6,2 /USCGS/	
/GW/	ePKS		34 20		NIE	$\Delta=98,7^{\circ}$	
	ePP		29		eP	22 28 12	
	ePPP		37 54		ePP	32 09	
	eL		11 04		KRA	$\Delta=99,0^{\circ}$	
	Lm		39,6	/SKM/	eIP	22 28 09	
		NE: 20 ^s ; 17 ^s ; 16,3 μ , 7,5 μ			eIPPP	20	
	NIE	$\Delta=151,8^{\circ}$			eIPPP	32 18	
	eIPKP ₁		10 30 40,0 D		isPP	37	
	RAC	$\Delta=151,8^{\circ}$			eSKS	38 40	
/SK/	ePKP ₁		10 30 47		RAC	$\Delta=100,1^{\circ}$	
	ePKP ₂		31 05	/SK/	eP	22 28 24	
17.II		Tchécoslovaquie, explosion de		19.II		Mer des Moluques, USCGS: 0,0 ⁰ ,	
		13,2 tonnes, ISC, Edinburgh:				124,2 ^E , H=23 ^h 28 ^m 28,0 ^s , h=	
		49,70 ^N , 17,79 ^E , H=14 ^h 00 ^m				101 km; mb=5,7 /USCGS/	
	RAC	$\Delta=0,36^{\circ}$			KRA	$\Delta=99,2^{\circ}$. Traces	
/SK/	e _{NE}		14 00 06,6	/SKM/	eIP	23 42 00	
	e _N		14,1		eIPPP	39	
	F		03	20.II		Région Est du Cachemire, USCGS:	
	KRA	$\Delta=1,43^{\circ}$				33,7 ^N , 75,3 ^E , H=15 ^h 18 ^m 39,9 ^s ;	
/Ch/	eIPg _Z		14 00 19			mb=5,7 /USCGS/, h=18 km	
	eISg _Z		39				

Date	Station	Phase	G.M.T. h m s	Date	Station	Phase	G.M.T. h m s
20.II	NIE	$\Delta=43,0^\circ$ iP ipP	15 26 40,0 C 43	23.II	KRA /SKM/	$\Delta=149,7^\circ$. Traces ePKP ₁	06 18 20
	KRA /SKM/	$\Delta=43,3^\circ$ iP ipP eiPP eiPoP eS	15 26 41,5 C 52 28 25 35 33 09	23.II		Explosion souterraine en Nevada, BCIS: 37,6°N, 116,2°W, H=18 ^h 50 ^m 00°S; M=6,1 /Uppsala/, mPV=6,2 /Kraków/ KRA /SKM/	$\Delta=84,7^\circ$ iP 19 02 36,0 C Z: 1,3 ^s ; 0,3 ^μ
21.II		Détroit de Mona, USCGS: 19,2°N, 67,9°W, H=04 ^h 16 ^m 21,1 ^s , h=44 km; mb=4,8 /USCGS/		23.II	NIE	$\Delta=85,4^\circ$ iP ei	19 02 40,9 49
	KRA /SKM/	$\Delta=74,2^\circ$ eP	04 28 00	23.II		Iles Riou-Kiou, USCGS: 26,1°N, 128,5°E, H=20 ^h 38 ^m 56,3 ^s , h=30 km; mb=5,4 /USCGS/	
21.II	NIE	Local ePg _{NE} , eiPg _Z eiZ ei _{NE} F	09 41 38,8 42,3 42,8 42,5		KRA /SKM/	$\Delta=81,3^\circ$ iP eiPoP eipP	20 51 12,4 C 20 25
21.II		Région Est du Cachemire, USCGS: 33,6°N, 75,3°E, H=12 ^h 37 ^m 44,5 ^s , h=31 km; mb=5,2 /USCGS/			NIE	$\Delta=81,6^\circ$ iP eiPoP	20 51 13,4 C 24
	NIE	$\Delta=43,1^\circ$. Traces eP	12 45 44	23.II		Drnis, Yougoslavie, BCIS: 43,7°N, 15,9°E, H=22 ^h 38 ^m 50 ^s ; M=4,4 /Skopje/	
22.II		Nouvelles Hébrides, USCGS: 19,5°S 169,0°E, H=16 ^h 26 ^m 46,7 ^s , h=87 km; mb=5,6 /USCGS/			NIE	$\Delta=6,3^\circ$ eP ei	22 40 26,9 41,4
	KRA /SKM/	$\Delta=141,0^\circ$ ePKP epPKP ei	18 46 08 29 49 37		KRA /SKM/	$\Delta=6,8^\circ$ iPn eiPP eiPg iSn	22 40 34,0 44,5 41 05,5 50,0
	NIE	$\Delta=141,2^\circ$ ePKP eSKP ₂	18 46 10 49 34	25.II		Région Est de la Mer du Japon, USCGS: 43,9°N, 139,1°E, H=00 ^h 16 ^m 36 ^s , h=209 km; mb=4,6 /USCGS/	
23.II		Iles Tonga, USCGS: 21,6°S, 174,4°W, H=05 ^h 58 ^m 29 ^s , h=21 km; mb=4,8 /USCGS/			KRA /Ch/	$\Delta=72,6^\circ$ eiP	00 29 42
	NIE	$\Delta=150,1^\circ$. Traces ePKP ₁ ePKP ₂	06 18 20 31	25.II		Région Nord de Célèbes, USCGS: 0,0°, 123,9°E, H=11 ^h 20 ^m 47,4 ^s	

Date	Station	Phase	G.M.T. h m s	Date	Station	Phase	G.M.T. h m s
25.II		mb=5,8 /USCGS/ /suite/ KRA /SKM/		27.II	KRA	iSn ISS eiSg	21 03 46 53 04 29
		$\Delta=99,0^\circ$ eP	11 34 22		RAC	$\Delta=7,3^\circ$ eP sPP e eSS	21 02 36 44 03 18 04 09
26.II		Kazakstan, région de Semipala- tinak, USCGS: 49,8°N, 78,1°E, H=03 ^h 57 ^m 57,7 ^s ; mb=6,0 /USCGS/			KRA /SKM/	$\Delta=36,7^\circ$ iP ei i i iPP	04 05 07,5C C 16 37 06 16 27
	KRA /SKM/	$\Delta=36,7^\circ$ iP ei i i iPP	04 05 07,5C C 16 37 06 16 27	28.II		Sud de Hondo, Japon, USCGS: 32,7°N, 141,7°E, H=09 ^h 37 ^m 18,0 ^s , h=23 km; mb=5,5 /USCGS/	
	NIE	$\Delta=36,7^\circ$ eP ei i i i	04 05/08/ 26 06 18 07 01 17 27 18 05		KRA /SKM/	$\Delta=83,0^\circ$ eiP eisP	09 49 41 53
	RAC /SK/	$\Delta=37,7^\circ$ eP	04 05 16		NIE	$\Delta=83,3^\circ$ eiP epP	09 49 44 51
27.II		Roumanie, BCIS: 44,9°N, 26,0°E, H=21 ^h 00 ^m 43 ^s ; M=5,0 /Moskva/ $\Delta=5,7^\circ$			RAC /M/	$\Delta=83,7^\circ$ eP	09 49 47
	NIE	$\Delta=5,7^\circ$ iPn iPP ei ei ei i	21 02 15,4 24 52 03 17 25 58	28.II		Iles Ioniennes, USCGS: 37,5°N, 21,3°E, H=14 ^h 21 ^m 54 ^s , h=77 km; mb=4,6 /USCGS/	
	KRA /SKM/	$\Delta=6,4^\circ$ iPn iPP iPPP iP ^x i eiPg i	21 02 24,0 32 36 40 48 56 03 14		NIE	$\Delta=11,7^\circ$ eP ePP	14 24 38 53
		$\Delta=12,3^\circ$ eP ePPP	14 24 49 25 07	28.II		Près de la côte Est du Kamchat- ka, USCGS: 53,1°N, 159,9°E, H=15 ^h 15 ^m 56,0 ^s , h=33 km; mb=4,6 /USCGS/	
		$\Delta=72,5^\circ$. Traces eP	15 27 20				

Date	Station	Phase	G.M.T. h m s	Date	Station	Phase	G.M.T. h m s				
1967				M A R S				1967			
1.III	KRA /SKM/	Sud de l'Iran, USCGS: 28,3°N, 57,1°E, H=10 ^h 12 ^m 49,4 ^s , h=39 km; mb=4,9 /USCGS/ Δ=35,4°	10 19 45,1 C	2.III	NIE	Kirgiz, URSS; USCGS: 41,4°N, 71,4°E, H=09 ^h 51 ^m 48 ^s ; h=59 km; mb=4,2 /USCGS/ Δ=36,2°. Traces	09 58 47				
		eipP	53			eP					
1.III	NIE	Local		2.III	KRA /SKM/	Au large de la côte du Kamtchatka, USCGS: 52,4°N, 160,5°E, H=20 ^h 47 ^m 37,6 ^s , h=18 km; mb=4,6 /USCGS/ Δ=72,8°	20 59 06				
		ePg _{NEZ}	11 58 50,2			eipP	18				
		eisg _{NEZ}	52,8		NIE	Δ=73,3°	20 59 10				
1.III	KRA /SKM/	Iles Aléoutiennes, USCGS: 51,4°N, 179,3°W, H=22 ^h 16 ^m 30,4 ^s , h=33 km; mb=5,3 /USCGS/ Δ=77,9°. Traces	22 28 26			eP	22				
		eipP	39			ePcP					
	NIE	Δ=78,4°	22 28 28	2.III	KRA /SKM/	Près de la côte Est du Kamtchatka, USCGS: 53,8°N, 160,5°E, H=23 ^h 03 ^m 39,7 ^s , h=21 km; mb=5,0 /USCGS/ Δ=71,6°	23 15 00 C				
		eP				eipP					
2.III	KRA /SKM/	Equateur, USCGS: 0,3°S, 78,7°W, H=02 ^h 47 ^m 31,7 ^s , h=121 km; mb=5,8 /USCGS/ Δ=95,8°	03 00 40,0 D	4.III	KRA /SKM/	Région de Formose, USCGS: 21,4°N, 121,8°E, H=05 ^h 09 ^m 24,2 ^s , h=134 km; mb=5,5 /USCGS/ Δ=81,2°	05 21 26,7 C				
		eipP	03 00 48 D			iP	33				
	NIE	Δ=96,1°				eipPcP					
		eipP			NIE	Δ=81,3°	05 21 27,2 C				
2.IIII	NIE	Sud des Iles Fidji, USCGS: 24,6°S, 179,6°W, H=05 ^h 58 ^m 28 ^s , h=480 km; mb=4,5 /USCGS/ Δ=150,9°. Traces	06 17 27			i	33				
		ePKP ₁				ePP	24 36				
2.III	RAC /SK/	Près de la côte Sud de Hondo, Japon, USCGS: 35,7°N, 139,9°E, H=08 ^h 17 ^m 44,5 ^s , h=75 km; mb=4,6 /USCGS/ Δ=79,9°	08 29 47	4.III	NIE	Iles Tonga, USCGS: 18,5°S, 175,4°W, H=06 ^h 16 ^m 21,9 ^s , h=225 km; mb=5,7 /USCGS/	05 21 32				
		eP	30 12			ePcP	35				
		esP									



Date	Station	Phase	G.M.T. h m s	Date	Station	Phase	h m s
4.III	NIE	Δ=144,3°	06 35 37,2 D	4.III	NIE	Δ=5,5°	17 24 18,8 D
/suite/		eipKP ₁	40			iPn	28
		eipKP ₂				ei	39
		i				eSn	25 17
	KRA /SKM/	Δ=146,4°	06 35 38 C		KRA /SKM/	Δ=6,1°	17 24 25,5 D
		eipKP ₁	44			eiPn	27,5
		iPKP ₂	38 58			i	36
		eISKP	39 04			iPP	42
		eIPP	23			eiP ^x	25 14
		eIPKS				i	31
						eiSn	
	RAC /SK/	Δ=146,6°	06 35 40	5.III		Roumanie, USCGS: 45,1°N, 25,3°E, H=18 ^h 54 ^m 18 ^s , h=57 km; mb=4,1 /USCGS/ Δ=5,3°	18 55 44,8 C
		ePKP ₁	37 00			eiPn	54
		epPKP ₂				eP ^x	56 02
4.III		Mer Egée, BCIS: 39,2°N, 24,6°E, H=17 ^h 58 ^m 01 ^s ; mb=5,9 /USCGS/, M=6,8 /Athènes/ Δ=10,4°	18 00 38		KRA /Ch/	Δ=6,0°	18 55 52,5
	NIE	Δ=10,4°	18 00 38			eiPn	56 00
		eP	18 00 38			eipP	
		iPP	43	6.III		Sud de Hondo, Japon, USCGS: 30,5°N, 137,6°E, H=04 ^h 40 ^m 17,8 ^s , h=490 km; mb=5,1 /USCGS/ Δ=82,8°	04 51 50
		i	06 19			eipP	55
						eipPcP	52 06
	KRA /Ch/	Δ=11,1°	18 00 49			ei	53 39
		eP	18 00 49			eipP	46
		iPP	52		NIE	Δ=83,0°	04 51 52
		iPPP	01 02			eP	53 48
		iPPPP	18			epPcP	
		i	02 20	6.III		Sud des Iles Fidji, USCGS: 22,7°S, 177,5°W, H=08 ^h 11 ^m 58,8 ^s , h=227 km; mb=4,7 /USCGS/ Δ=149,7°	08 31 21
	RAC /SK/	Δ=11,6°	18 00 56			eipKP ₁	08 31 21
		eipP	01 03		NIE	Δ=150,1°	08 31 24,0 D
		eipPP	03 25			iPKP ₁	30
		iSS	58			i	41
		i	04	5.III		Région de Vrancea, Roumanie, BCIS: 45,7°N, 26,7°E, H=17 ^h 22 ^m 55 ^s ; h=150 km	
		eL	06 08			ePKP ₂	
		Lm	16				
		E: 2,8 ^s ; 123μ					
		N: 3 ^s ; 149μ					
4.III		Mer Egée, USCGS: 39,0°N, 24,6°E, H=18 ^h 38 ^m 02 ^s ; mb=4,4 /USCGS/ Δ=10,6°	18 40 41				
	NIE	Δ=10,6°	18 40 41				
		eP					



Date	Station	Phase	G.M.T. h m s	Date	Station	Phase	G.M.T. h m s
6. III		Région Nord de Sumatra, USCGS: 3,7°N, 95,8°E, H=11 ^h 29 ^m 49,4 ^s ; h=57 km; mb=5,1 /USCGS/		9. III	KRA	epPP	07 20 26
	NIE	Δ=77,7°		9. III	KRA	Local	
	eiP	11 40 44		/Ch/	eiPg _{NEZ}	07 51 20	
	KRA	Δ=78,0°			1/Sg/NE	39	
	/Ch/	eiP	11 40 44 D	9. III		Atlantique du Nord, BCIS: 56,0°N, 34 1/2°W, H=21 ^h 00 ^m 50 ^s ; mb=4,4 /USCGS/	
	eiPcP	41 00		KRA	Δ=32,7°. Traces		
7. III		Région des Iles Tonga, BCIS: vers 16,0°S, 177,0°W, H=04 ^h 21,3 ^m Δ=144,0°		/SKM/	eP	21 07 21	
	NIE	iPKP	04 40 27,2 D	NIE	Δ=33,2°. Traces		
				eP	eP	21 07 28	
7. III		Yougoslavie, BCIS: 43,3°N, 17,6°E H=08 ^h 00 ^m 33 ^s ; mb=4,2 /USCGS/, M=4,0 /Skopje/		9. III		Sud de Hondo, Japon, USCGS: 30,3°N, 139,4°E, H=21 ^h 06 ^m 35,6 ^s , h=248 km; mb=4,8 /USCGS/	
	NIE	Δ=6,1°		NIE	Δ=84,1°		
	ePn	08 02 08		iP	iP	21 14 53,8 D	
	i	30		9. III		Atlantique du Nord, USCGS: 56,1°N, 34,4°W, H=21 ^h 22 ^m 48,9 ^s , h=33 km; mb=4,9 /USCGS/	
	ei	04 02		KRA	Δ=32,6°		
RAC	Δ=6,6°			/SKM/	eiP	21 29 17	
/SK/	ePP	08 02 27		eiP	eipP	28	
KRA	Δ=6,7°			10. III		Région des Iles Fidji, USCGS: 17,8°S, 178,6°W, H=10 ^h 13 ^m 22 ^s , h=517 km; mb=4,2 /USCGS/	
/Ch/	eP ^κ	08 02 34		NIE	Δ=145,2°		
ePg	45			iPKP	iPKP	10 32 00,8 C	
eiSn	03 36			10. III		Local	
eiSS	52			NIE			
eSg	04 19			ePg _{NEZ}	10 46 12,1		
7. III		Local		e _{NEZ}	21,0		
NIE				F	47,2		
ePg _{NEZ}	19 36/10/			11. III		Roumanie, BCIS: 45 3/4°N, 27,0°E, H=04 ^h 16,3 ^m	
eL _{NEZ}	37			NIE	Δ=5,7°		
F	37,0			eiPn	04 17 41,7		
8. III		Sud de France, BCIS: vers 43,0°N, 3,0°E, H=03 ^h 18 ^m 42 ^s		11. III		Région de l'Hindou-Kouch, USCGS: 36,4°N, 70,7°E, H=06 ^h 31 ^m 09,0 ^s ; h=220 km; mb=5,0 /USCGS/	
NIE	Δ=13,5°. Traces			11. III			
eP	03 22 59			KRA	Δ=132,0°. Traces		
9. III		Iles Santa Cruz, USCGS: 10,6°S, 166,3°E, H=06 ^h 58 ^m 35,7 ^s , h=30 km; mb=6 /USCGS/, M=6 1/2 /Pasadena/		/SKM/	eiPP	07 20 10 D	

Date	Station	Phase	G.M.T. h m s	Date	Station	Phase	G.M.T. h m s
11. III	NIE	Δ=38,4°. Ag.mi.		12. III	NIE	i	03 03 41
/suite/	eiP	06 38 12		RAC	Δ=76,0°		
11. III		Iles Santa Cruz, USCGS: 10,7°S, 166,2°E, H=08 ^h 33 ^m 27,4 ^s , h=49 km; mb=6,1 /USCGS/		/SK/	eP	03 03 40	
NIE	Δ=132,3°. Traces Ag.mi.			12. III			
ePKP	08 52 38			NIE			
11. III		Vera Cruz, Mexique, USCGS: 19,1°N, 95,8°W, H=14 ^h 44 ^m 59,2 ^s , h=33 km; mb=5,5 /USCGS/		eP	15 39 26		
NIE	Δ=91,6°. Traces Ag.mi.			ei	38		
eP	14 58 01			12. III			
KRA	Δ=91,0°. Traces			Mer Rouge, BCIS: 19,4°N, 39,0°E, H=18 ^h 35 ^m 23 ^s			
/SKM/	eP	14 58 03		KRA	Δ=33,9°. Traces		
ePcP	12			/SKM/	eP	18 42 04	
ei	31			ei/pP/	13		
11. III		Région frontière Inde-Chine, USCGS: 28,4°N, 94,4°E, H=16 ^h 56 ^m 48,7 ^s , h=7 km; mb=5,3 /USCGS/		12. III			
NIE	Δ=59,0°. Traces Ag.mi.			Mer Rouge, USCGS: 19,7°N, 38,9°E, H=21 ^h 44 ^m 33 ^s , h=33 km; Δ=33,6°			
eP	17 06 50			KRA	Δ=33,6°		
KRA	Δ=59,1°. Traces			/SKM/	eiP	21 51 14 C	
/SKM/	eP	17 06 57		ei	18		
11. III		Népal, USCGS: 29,2°N, 81,4°E, H=18 ^h 45 ^m 41 ^s , h=8 km; mb=4,0 /USCGS/		13. III			
NIE	Δ=49,9°. Traces Ag.mi.			NIE			
eP	18 54 38			eP	05 21 41		
11. III		Mer Rouge, USCGS: 19,6°N, 38,7°E H=19 ^h 38 ^m 22 ^s ; mb=5,2 /USCGS/		13. III			
KRA	Δ=33,6°			Région des Iles Fidji, USCGS: 20,6°S, 178,4°W, H=07 ^h 37 ^m 37,5 ^s , h=586 km; mb=4,6 /USCGS/			
/SKM/	eiP	19 45 03 D		NIE	Δ=147,8°		
eiP	06			eiPKP ₁	07 56 16,6 D		
12. III		Région de Hokkaido, Japon, USCGS: 42,6°N, 143,0°E, H=02 ^h 51 ^m 54,7 ^s , h=33 km; mb=5,3 /USCGS/		ePKP ₂	33		
KRA	Δ=75,4°. Traces			13. III			
/SKM/	eiP	03 03 36 C		Tchécoslovaquie, explosion de 37,7 tonnes, BCIS: 50°35,2'N, 14°03'E, H=11 ^h 22 ^m 52 ^s			
ei	41			NIE	Δ=4,3°		
NIE	Δ=75,7°			ePg _Z	11 24 13,1		
eiP	03 03 39			eS _{NEZ}	25 05,6		
				ei _{NEZ}	16,6		
				RAC	Δ=2,7°		
				/SK/	eSg _{NEZ}	11 24 20	
				KRA	Δ=3,8°		
				/SKM/	iS _N	11 24 48	
				iSS _N	51		
				iE	55		
				iSg _{NZ}	59		
				i _{NEZ}	25 08		

Date	Station	Phase	G.M.T. h m s	Date	Station	Phase	G.M.T. h m s
13.III	Iles Aléoutiennes, USCGS: 53,7°N, 165,4°W, H=14 ^h 44 ^m 07 ^s , h=33 km; mb=5,2 /USCGS/ Δ=77,4°. Traces	NIE eP	14 55 59	14.III	NIE	Δ=58,9° iP eisP ei	07 08 03,1 C 13 10 54
13.III	Au large de la côte Sud du Chili, USCGS: 40,1°S, 74,5°W, H=16 ^h 06 ^m 54,3 ^s , h=33 km; mb=6,0 /USCGS/ Δ=121,7°	NIE iPKP	16 25 45,6 C		KRA /SKM/	Δ=59,0° iP	07 08 05,0
		KRA /SKM/	e1PKP 16 25 46			eipP ei	11 33
13.III	Célebes, USCGS: 3,6°N, 126,6°E, H=17 ^h 27 ^m 09,4 ^s , h=44 km; mb=5,3 /USCGS/ Δ=97,8°	NIE eP	17 40 43		/GW/	eiPcP	53
13.III	Célebes, USCGS: 3,6°N, 126,5°E, H=19 ^h 01 ^m 01,4 ^s , h=35 km; mb=5,4 /USCGS/ Δ=97,9°. Traces	KRA /SKM/	eP 19 14 35			ePP eSP eL	10 17 16 21 29 19
		NIE	eP 19 14 36 esP 57			Lm	37 13
13.III	Mer Rouge, USCGS: 19,7°N, 38,7°E, H=19 ^h 22 ^m 19,5 ^s , h=31 km; mb=5,7 /USCGS/ Δ=32,9°	NIE e1P esP ePP	19 28 55,6 C 29 07 30 14				NE: 11 ^s ; 5,8 μ, 4,5 μ
		KRA /SKM/	Δ=33,5° iP 19 29 00,0 D esP 12	14.III	Terre François Joseph, USCGS: 82,5°N, 36,2°E, H=07 ^h 50 ^m 19,3 ^s , h=33 km; M=5 1/2 /Moskva/, MLH=5,7 /Kraków/ Δ=33,2°	KRA /SKM/	e1P 07 56 52 epP 57 06
		RAC /SK/	Δ=34,2° eP 19 29 06			/GW/	eL 08 06 45 Lm 08 43
14.III	Région frontière Inde-Chine, USCGS: 28,4°N, 94,3°E, H=06 ^h 58 ^m 04,6 ^s , h=24 km; mb=5,9 /USCGS/, MLH=6 /Kraków/	NIE	23 43 25,1 D 32			NIE	Δ=33,8° e1P 07 56 57 ei 57 45 ePcS 08 03 31



Date	Station	Phase	G.M.T. h m s	Date	Station	Phase	G.M.T. h m s
16.III	Mer Rouge, BCIS: 19,6°N, 38,6°E, H=03 ^h 11 ^m 56 ^s ; mb=5,4 /USCGS/ Δ=32,9°. Traces	NIE eP	03 18 36	17.III	Région de la Nouvelle Irlande, USCGS: 3,6°S, 150,9°E, H=11 ^h 24 ^m 45,7 ^s , h=33 km; mb=5,4 /USCGS/ Δ=118,2°	NIE ePKP	11 43 37
		KRA /SKM/	Δ=33,6° e1P 03 18 42 C ei 57	18.III	Région des Iles Fidji, USCGS: 20,7°S, 179,4°W, H=09 ^h 27 ^m 42,7 ^s , h=650 km; mb=4,9 /USCGS/ Δ=147,5°. Traces	NIE	ePKP ₁ 09 46 18
16.III	Région des Iles Loyauté, USCGS: 22,1°S, 170,5°E, H=12 ^h 09 ^m 37,7 ^s , h=66 km; mb=5,4 /USCGS/ Δ=144,1°	NIE ePKP ₁ epPKP ₂	12 29 06 23	18.III	Hondo, Japon, USCGS: 36,3°N, 139,8°E, H=17 ^h 49 ^m 50,8 ^s , h=105 km; mb=5,0 /USCGS/ Δ=79,1°	KRA /SKM/	e1P 18 01 46 eiPcP 48 eiPp 02 09
		RAC /SK/	Δ=144,7°. Traces ePKP ₁ 12 29 07			NIE	Δ=79,4° eP 18 01 46 epP 02 06
16.III	Mer Rouge, USCGS: 19,7°N, 38,9°E, H=14 ^h 45 ^m 12,6 ^s , h=33 km; mb=5,1 /USCGS/ Δ=33,6°	KRA /SKM/	e1P 14 51 54 C	19.III	Mer de Banda, USCGS: 6,7°S, 129,9°E, H=01 ^h 10 ^m 45,8 ^s , h=60 km; mb=5,9 /USCGS/ Δ=106,5°. Traces	NIE	ePdif 01 25 00 ePP 29 23 ei 56
		KRA /SKM/	Δ=33,6° e1P 16 06 57 C e1pP 07 12			KRA /SKM/	Δ=107,9°. Traces eiPdif 01 25 00 ei 33 ePKP 29 00 ePP 36
16.III	Nouvelles Hébrides, USCGS: 13,7°S, 170,7°E, H=17 ^h 33 ^m 07,6 ^s , h=637 km; mb=4,7 /USCGS/ Δ=137,1°. Traces	NIE ePKP	17 51 21	19.III	Iles Riou Kiou, USCGS: 28,0°N, 130,5°E, H=02 ^h 54 ^m 22,4 ^s , h=48 km; mb=4,9 /USCGS/ Δ=81,1°	KRA /SKM/	iP 03 06 33,7D D eisP 47
17.III	Local Traces	KRA /Ch/	ei/Pg/EZ 02 13 40,7 ei/Sg/NEZ 14 01			NIE	Δ=81,2° eP 03 06 35
17.III	Région d' Hokkaido, Japon, USCGS: 42,0°N, 142,5°E, H=02 ^h 22 ^m 37,9 ^s , h=57 km; mb=4,7 /USCGS/ Δ=76,0°. Traces	NIE	eP 02 34 19				

Date	Station	Phase	G.M.T. h m s	Date	Station	Phase	G.M.T. h m s
19.III		Iles Kouriles, USCGS: 45,4°N, 151,3°E, H=04 ^h 01 ^m 36 ^s , h=33 km; M=6 1/2 /Pasadena/, MLH=6,9 /Niedzica/		20.III		Iles Kouriles, USCGS: 45,5°N, 150,9°E, H=05 ^h 13 ^m 58 ^s , h=33 km; mb=4,5 /USCGS/	
	KRA	Δ=76,2°			KRA	Δ=75,9°	05 25 42
	/SKM/	eIP	04 13 21 C		/SKM/	eIP	05 25 44,7 D
		iPcP	34	20.III		Iles Kouriles, USCGS: 45,6°N, 151,5°E, H=09 ^h 30 ^m 36,4 ^s , h=33 km; mb=4,4 /USCGS/	
		i	46		NIE	Δ=76,5°	09 42 24
	/GW/	eS	23 08	20.III		Iles Kouriles, USCGS: 45,6°N, 151,4°E, H=13 ^h 31 ^m 34 ^s , h=51 km; mb=5,7 /USCGS/	
		ePS	38		NIE	Δ=76,0°	
	NIE	Δ=76,6°			KRA	Δ=76,0°	13 43 17,0 C
		eP	04 13 23		/SKM/	iP	24
		i	25			i	30
		isP	43		NIE	Δ=76,5°	13 43 20,7 C
		i	47			iP	30
		i	14 03			iPcP	34
		ePP	16 20			eI	44 22
		eS	23 09		RAC	Δ=76,6°	
		Lm	55,9		/SK/	eIP	13 43 22
		NEZ: 15°; 45,4μ, 22,7μ, 20,0μ		20.III		Iles Kouriles, USCGS: 45,7°N, 151,6°E, H=13 ^h 38 ^m 53,7 ^s , h=50 km; mb=4,6 /USCGS/	
	RAC	Δ=76,7°			KRA	Δ=76,0°	13 50 36 C
	/SK/	eP	04 13 23		/SKM/	eIP	13 50 38
19.III		NIE			NIE	Δ=76,4°	13 50 38
		eP	04 37 37	20.III		Iles Kouriles, USCGS: 45,6°N, 151,4°E, H=17 ^h 11 ^m 34,8 ^s , h=33 km; mb=5,0 /USCGS/	
19.III		Mindoro, Philippines, USCGS: 13,7°N, 120,6°E, H=05 ^h 55 ^m 03 ^s , h=96 km; mb=4,9 /USCGS/			KRA	Δ=76,1°	13 52 36,0 C
	KRA	Δ=86,4°			/SKM/	iP	41
	/SKM/	eIP	06 07 37 C			eI	49
	NIE	Δ=86,3°				eIPcP	
		eP	06 07 37	20.III		Iles Kouriles, USCGS: 45,5°N, 151,4°E, H=17 ^h 11 ^m 34,8 ^s , h=33 km; mb=5,0 /USCGS/	
		ePcP	42		KRA	Δ=76,1°	17 23 20 C
19.III		Roumanie, BCIS: 46,0°N, 26,0°E, H=17 ^h 11,4 ^m			/SKM/	eIP	39
	NIE	Δ=5,0°		20.III		Iles Kouriles, USCGS: 45,5°N, 151,4°E, H=17 ^h 11 ^m 34,8 ^s , h=33 km; mb=5,0 /USCGS/	
		eP	17 12 40			ePcP	
19.III		Iles Kouriles, USCGS: 45,6°N, 151,0°E, H=21 ^h 50 ^m 47 ^s , h=33 km; mb=4,1 /USCGS/					
	NIE	Δ=76,1°					
		eP	22 02 33				

Date	Station	Phase	G.M.T. h m s	Date	Station	Phase	G.M.T. h m s
20.III		Iles Kouriles, USCGS: 45,6°N, 151,5°E, H=13 ^h 52 ^m 05,5 ^s , h=32 km; mb=5,4 /USCGS/		20.III		Région des Iles Loyauté, USCGS: 22,1°S, 170,6°E, H=19 ^h 07 ^m 25,2 ^s , h=28 km; mb=5,5 /USCGS/	
	NIE	Δ=76,5°			NIE	Δ=144,2°	
	/suite/	iP	13 52 38,2 C			ePKP	19 26 59
		iPcP	45			epPKP	27 05
		iPcP	50		RAC	Δ=144,8°	
	RAC	Δ=76,6°			/SK/	ePKP	19 27 02
	/SK/	eP	13 52 41	20.III		Hondo, Japon, USCGS: 36,3°N, 139,7°E, H=21 ^h 54 ^m 48 ^s , h=57 km; mb=4,7 /USCGS/	
20.III		Iles Kouriles, USCGS: 45,6°N, 151,5°E, H=13 ^h 52 ^m 05,5 ^s , h=32 km; mb=5,4 /USCGS/			KRA	Δ=79,1°	22 06 47 C
	KRA	Δ=78,1°			/Cb/	eIP	22 06 49
	/SKM/	eIP	14 03 50 C		NIE	Δ=79,4°	
		eIPcP	55			eP	22 06 49
		eIPcP	04 03			Z: 1°; 0,017μ	
		eI	12			epP	07 02
	RAC	Δ=76,6°		20.III		Irak, USCGS: 35,8°N, 44,2°E, H=22 ^h 30 ^m 44 ^s , h=43 km; M=5,0 /Moskva/	
	/SK/	eP	14 03 56		NIE	Δ=22,0°	
20.III		Iles Kouriles, USCGS: 45,4°N, 151,5°E, H=14 ^h 44 ^m 17,8 ^s , h=50 km; mb=4,6 /USCGS/				eP	22 35 39
	KRA	Δ=76,3°				epP	51
	/SKM/	eIP	14 56 02			ePP	36 06
		eIP	14 56 05,3 D		KRA	Δ=22,5°	Traces
		Z: 1°; 0,019μ			/SKM/	eIP	22 35 46
20.III		Iles Kouriles, USCGS: 45,6°N, 151,2°E, H=15 ^h 46 ^m 29,4 ^s , h=60 km; mb=5,1 /USCGS/				eIPcP	59
	KRA	Δ=76,0°		20.III		Iles Kouriles, USCGS: 45,5°N, 151,4°E, H=17 ^h 11 ^m 34,8 ^s , h=33 km; mb=5,0 /USCGS/	
	/SKM/	eIP	15 53 11 D				
	NIE	Δ=76,4°			KRA	Δ=76,1°	17 23 20 C
		eP	15 58/12/		/SKM/	eIP	39
20.III		Iles Kouriles, USCGS: 45,5°N, 151,4°E, H=17 ^h 11 ^m 34,8 ^s , h=33 km; mb=5,0 /USCGS/		20.III		Région des Iles Tonga, USCGS: 23,6°S, 175,2°W, H=11 ^h 24 ^m 44,6 ^s , h=33 km; mb=5,4 /USCGS/	
					NIE	Δ=151,9°	
						ePKP ₁	11 44 29
						i	38
						eisPKP ₁	53
						eisPKP ₂	45 10

Date	Station	Phase	G.M.T. h m s	Date	Station	Phase	G.M.T. h m s
21.III	KRA	$\Delta=151,5^{\circ}$		24.III		Hondo, Japon, USCGS: $40,2^{\circ}\text{N}$, $144,6^{\circ}\text{E}$, $H=04^{\text{h}}11^{\text{m}}29,6^{\text{s}}$, $h=27$ km;	
/suite//SKM/	1PKP ₁		11 44 37,0 C			$mb=5,0$ /USCGS/	
	esPKP ₁		59	NIE	$\Delta=78,4^{\circ}$. Traces		
RAC	$\Delta=151,9^{\circ}$. Traces			eP		04 23 28	
/SK/	ePKP ₁		11 44 39	esP		45	
21.III		Région Nord de la Colombie, USCGS: $6,8^{\circ}\text{N}$, $73,0^{\circ}\text{W}$, $H=18^{\text{h}}11^{\text{m}}42,2^{\text{s}}$, $h=150$ km; $mb=5,4$ /USCGS/		KRA	$\Delta=78,0^{\circ}$		
KRA	$\Delta=86,7^{\circ}$			/SKM/	eiP	04 23 28 D	
/SKM/	eiP		18 24 53	24.III		Mer de Java, USCGS: $6,0^{\circ}\text{S}$, $112,3^{\circ}\text{E}$, $H=09^{\text{h}}00^{\text{m}}19,5^{\text{s}}$, $h=600$ km;	
22.III		Italie, BCIS: $46,3^{\circ}\text{N}$, $12,6^{\circ}\text{E}$, $H=19^{\text{h}}14^{\text{m}}51^{\text{s}}$		NIE	$\Delta=95,8^{\circ}$		
RAC	$\Delta=5,2^{\circ}$			eP		09 12 44 D	
/SK/	eSn		19 17 39	ipP		14 54	
KRA	$\Delta=6,0^{\circ}$			ipp		16 47	
/SKM/	1Sg		19 18 16,0		Z: $1,3^{\text{s}}$; $0,144\mu$		
22.III				ipPP		18 35	
NIE				ePPP		19 24	
eP			22 04 15,6	KRA	$\Delta=96,1^{\circ}$		
22.III		Afrique, USCGS: $19,6^{\circ}\text{N}$, $38,6^{\circ}\text{E}$, $H=22^{\text{h}}59^{\text{m}}50,5^{\text{s}}$, $h=33$ km; $mb=5,6$ /USCGS/		/SKM/	1P	09 12 46,0 C	
KRA	$\Delta=33,6^{\circ}$			ipP		14 56	
/SKM/	eiP		23 06 32 C	eisP		15 53	
	eisP		38	ipp		16 50	
23.III		Iles Kouriles, USCGS: $45,8^{\circ}\text{N}$, $151,9^{\circ}\text{E}$, $H=13^{\text{h}}41^{\text{m}}58^{\text{s}}$, $h=33$ km; $mb=4,7$ /USCGS/, $mPV=5,2$ /Niedzica/		ipPP		18 39	
NIE	$\Delta=76,4^{\circ}$			/GW/	e1SKS	22 24	
1P			13 53 44,6 D	eS		23 12	
	Z: 1^{s} ; $0,021\mu$			eiPS		25 59	
epP			56	24.III		Valais, Suisse, BCIS: $46,4^{\circ}\text{N}$, $7,4^{\circ}\text{E}$, $H=17^{\text{h}}38^{\text{m}}15^{\text{s}}$; $mb=4,2$ /USCGS/	
24.III				RAC	$\Delta=8,0^{\circ}$		
KRA				/SK/	eP	17 40 14	
/SKM/	eiP		02 00 09 C	eSS		41 59	
24.III		Mer Rouge, BCIS: $20,4^{\circ}\text{N}$, $38,4^{\circ}\text{E}$, $H=01^{\text{h}}57^{\text{m}}50^{\text{s}}$; $mb=5,0$ /USCGS/		eiSg		42 46	
KRA	$\Delta=33,2^{\circ}$			KRA	$\Delta=9,0^{\circ}$		
/SKM/	eiP		02 04 25	/SKM/	e P	17 40 26	
	ei		29	eiPP		38	
				eiPPP		51	
				i		41 17	
				eiSS		42 27	
				i		43 02	

Date	Station	Phase	G.M.T. h m s	Date	Station	Phase	G.M.T. h m s
24.III	NIE	$\Delta=9,1^{\circ}$		25.III	KRA	Lm	23 34 24
/suite/	eP		17 40 29			E: 17^{s} ; 7μ	
	ePP		38		Lm		32
	ePPP		46			N: 16^{s} ; $6,5\mu$	
	i		43 06	RAC	$\Delta=76,8^{\circ}$		
	i		51	/SK/	eP		22 59 47
24.III		Région des Iles Fidji, USCGS: $20,2^{\circ}\text{S}$, $179,0^{\circ}\text{W}$, $H=22^{\text{h}}59^{\text{m}}47,3^{\text{s}}$, $h=654$ km; $mb=4,7$ /USCGS/		epP			23 00 01
KRA	$\Delta=146,8^{\circ}$. Traces			NIE	$\Delta=76,6^{\circ}$		
/SKM/	1PKP ₁		23 18 22	1P			22 59 48,0 D
	eiPKP ₁		20 49	epP			23 00 00
NIE	$\Delta=147,2^{\circ}$			ei			13
	ePKP ₁		23 18 24	26.III		Pakistan Occidental, USCGS: $27,2^{\circ}\text{N}$, $67,5^{\circ}\text{E}$, $H=03^{\text{h}}08^{\text{m}}28,4^{\text{s}}$, $h=21$ km; $mb=4,5$ /USCGS/	
	epPKP		20 47	NIE	$\Delta=42,2^{\circ}$		
25.III		Kazakistan, URSS; BCIS: $50,0^{\circ}\text{N}$, $78,0^{\circ}\text{E}$, $H=05^{\text{h}}58^{\text{m}}00^{\text{s}}$; $M=5,5$ /Moxa/		eP			03 16 21
	$mPV=5,3$ /Niedzica/			KRA	$\Delta=42,6^{\circ}$		
NIE	$\Delta=36,6^{\circ}$			/SKM/	eP		03 16 25
	1P		06 05 09,5 C	26.III		Région Est de la Nouvelle Guinée, USCGS: $9,3^{\circ}\text{S}$, $148,6^{\circ}\text{E}$, $H=22^{\text{h}}39^{\text{m}}01,5^{\text{s}}$, $h=14$ km; $mb=5,3$ /USCGS/	
	Z: 1^{s} ; $0,043\mu$			NIE	$\Delta=121,5^{\circ}$		
	i		06 20	eiPKP			22 57 56
KRA	$\Delta=36,6^{\circ}$			esPKP			58 04
/SKM/	1P		06 05 09,0 C	27.III		Golfe de Bengale, Moskva: $15,1^{\circ}\text{N}$, $80,5^{\circ}\text{E}$, $H=08^{\text{h}}09^{\text{m}}44^{\text{s}}$; $M=4\frac{3}{4}$ /Moskva/	
25.III		Région Sud de l'Iran, USCGS: $28,8^{\circ}\text{N}$, $60,3^{\circ}\text{E}$, $H=22^{\text{h}}26^{\text{m}}29^{\text{s}}$, $h=41$ km; $mb=4,9$ /USCGS/		KRA	$\Delta=59,7^{\circ}$		
	$\Delta=37,0^{\circ}$			/SKM/	eiP		08 19 47,4 C
KRA				27.III		Région ouest du Brésil, USCGS: $8,9^{\circ}\text{S}$, $71,3^{\circ}\text{W}$, $H=08^{\text{h}}26^{\text{m}}34,5^{\text{s}}$, $h=603$ km; $mb=5,3$ /USCGS/	
/SKM/	eiP		22 33 37 D	NIE	$\Delta=97,7^{\circ}$		
	ei		41	eP			08 39 08
25.III		Iles Kouriles, USCGS: $45,4^{\circ}\text{N}$, $151,4^{\circ}\text{E}$, $H=22^{\text{h}}47^{\text{m}}58,4^{\text{s}}$, $h=41$ km; $mb=5,5$ /USCGS/, $mPV=6,3$ /Niedzica/, $MLH=6,1$ /Kraków/		epP			41 20
KRA	$\Delta=76,2^{\circ}$			KRA	$\Delta=97,5^{\circ}$		
/SKM/	eiP		22 59 44	/SKM/	eiP		08 39 08 C
	eiPcP		52	ipP			41 19
	ipP		58	eiPP			43 21
/GW/	eSKS		23 09 36				
	eScS		55				
	eL		23,0				

Date	Station	Phase	G.M.T. h m s	Date	Station	Phase	G.M.T. h m s	
1967				A V R I L				1967
1.IV		Iles Kouriles, USCGS: 45,8°N, 151,8°E, H=05 ^h 54 ^m 19,1 ^s , h=40 km; mb=5,7 /USCGS/, MLH=6,1 /Kraków/		1.IV	KRA	Δ=76,0°		
	NIE	Δ=76,4°			/SKM/	e1P	12 35 19 C	
		1P	06 06 04,0C C		/GW/	e1sP	34	
		iPcP	13			e1pP	46	
		esP	22			e1	44 40	
		iPP	08 53			e1S	54	
		i	09 10			eL	57 41	
	KRA	Δ=76,0°				Lm	13 09,9	
	/SKM/	e1P	06 06 04 C				E: 12 ^s ; 2,6 ^μ	
	/GW/	esP	19				N: 14 ^s ; 6,0 ^μ	
		e1PP	08 51		NIE	Δ=76,4°		
		eS	15 50			iP	12 35 21,6 C	
		eSKS	16 18			i	23	
		eSPP	35			e1sP	36	
		eL	34			ePP	38 19	
		Lm	36,5		RAC	Δ=76,6°		
		NE: 22 ^s ; 11,5 ^μ , 11,5 ^μ			/SK/	eP	12 35 24	
	RAC	Δ=76,5°		1.IV		Iles Kouriles, USCGS: 45,8°N, 151,7°E, H=14 ^h 00 ^m 33,8 ^s , h=23 km; mb=5,4 /USCGS/		
	/SK/	eP	06 06 08			KRA	Δ=76,0°	
		esP	23			/SKM/	iP	14 12 20,0 C
1.IV		Iles Kouriles, USCGS: 46,3°N, 152,0°E, H=05 ^h 57 ^m 09 ^s , h=40 km; mb=5,5 /USCGS/				RAC	Δ=76,1°	
	RAC	Δ=76,2°			/SK/	eP	14 12 22	
	/SK/	eP	06 08 59			NIE	Δ=76,4°	
		ePcP	09 10			iP	14 12 22,7 C	
1.IV		Iles Kouriles, USCGS: 45,9°N, 152,0°E, H=07 ^h 48 ^m 28 ^s , h=40 km; mb=5,0 /USCGS/				e1	43	
	KRA	Δ=76,0°		1.IV		Iles Kouriles, USCGS: 46,1°N, 151,9°E, H=17 ^h 18 ^m 45,3 ^s , h=44 km; mb=4,4 /USCGS/		
	/SKM/	e1P	08 00 12			NIE	Δ=76,3°	
		esP	25			e1P	17 30 33	
	/GW/	eS	09 44	1.IV		Iles Kouriles, USCGS: 45,6°N, 151,9°E, H=17 ^h 21 ^m 09,3 ^s , h=40 km; mb=4,7 /USCGS/		
	RAC	Δ=76,5°. Traces				KRA	Δ=76,2°	
	/SK/	eP	08 00 13			/SKM/	e1P	17 32 54 C
1.IV		Iles Kouriles, USCGS: 45,7°N, 151,8°E, H=12 ^h 23 ^m 35,5 ^s , h=40 km; mb=5,9 /USCGS/, MLH=6,1 /Kraków/				epP	33 07	

Date	Station	Phase	G.M.T. h m s	Date	Station	Phase	G.M.T. h m s
1.IV	NIE	Δ=76,6°		3.IV	RAC	eSg	16 40 18
/suite/		e1P	17 32 56 C		KRA	Δ=7,9°	
		epP	33 06		/GW/	ePn	16 38 11
	RAC	Δ=76,5°			/SKM/	e1Pg	59
	/SK/	eP	17 32 57			eSg	40 35
		ePcP	33 10	4.IV		Région des Iles Kouriles, USCGS: 45,5°N, 152,2°E, H=03 ^h 54 ^m 26,6 ^s , h=42 km; mPV= 5,2 /Niedzica/	
2.IV		Région de la Nouvelle Bretagne, USCGS: 6,3°S, 148,8°E, H=17 ^h 40 ^m 38,8 ^s , h=37 km; mb=5,0 /USCGS/			KRA	Δ=76,4°	
	NIE	Δ=119,2°. Traces			/SKM/	e1P	04 06 11 C
		ePKP	17 59 26		/GW/	e1PcP	25
3.IV		Mer Rouge, BCIS: 20,0°N, 38,4°E, H=07 ^h 38 ^m 30 ^s				eS	15 47
	NIE	Δ=32,5°			NIE	Δ=76,8°	
		eP	07 45 02			iP	04 06 14,0 C
	KRA	Δ=33,2°				Z: 1,2 ^s ; 0,033 ^μ	
	/SKM/	e1P	07 45 07 C			iPcP	26
		eS	50 28	4.IV		Près de la côte Sud de Hondo, Japon, USCGS: 33,4°N, 137,5°E, H=09 ^h 06 ^m 01,1 ^s , h=353 km; mb=5,2 /USCGS/	
3.IV		Région de la Nouvelle Bretagne, USCGS: 6,1°S, 151,5°E, H=08 ^h 04 ^m 15,4 ^s , h=16 km; M=5 ^¼ /Moskva/			NIE	Δ=80,2°	
	NIE	Δ=122,9°				eP	09 17 36 D
		ePKP	08 23 09	4.IV		Méditerranée, à l'Ouest de la Crête, BCIS: 35,5°N, 23,4°E, H=16 ^h 59 ^m 05 ^s , h=75 km; mb=4,8 /USCGS/, ML=4,8 /Athènes/	
		e1	30		NIE	Δ=13,8°	
3.IV		Iles Tonga, USCGS: 20,2°S, 173,7°W, H=12 ^h 58 ^m 40,9 ^s , h=48 km; mb=5,3 /USCGS/				eP	17 02 20
	NIE	Δ=148,3°		4.IV		Foyer de Vrancea, Roumanie, BCIS: 45,8°N, 26,3°E, H=18 ^h 06 ^m 05 ^s , h=160 km	
		ePKP ₁	13 18 24		NIE	Δ=5,2°	
		e1	27			iPn	18 07 29,2 D
	KRA	Δ=148,5°				Z: 1 ^s ; 0,115 ^μ	
	/SKM/	e1PKP ₁	13 18 26			i	38
		epPKP ₂	36			e1Sn	08 22
		e1	19 46		KRA	Δ=5,8°	
3.IV		Italie du Nord, BCIS: 44,8°N, 10,9°E, H=16 ^h 36 ^m 18 ^s ; M=4,5 /Roma/			/GW/	ePn	18 07 36
	NIE	Δ=7,8°. Traces				eSn	08 43
		ePn	16 38 20		RAC	Δ=6,8°	
		e1	40 30		/SK/	ePn	18 07 48
	RAC	Δ=7,1°		5.IV		Iles Mariannes, USCGS: 20,0°N,	
	/SK/	ePg	16 38 47				

Date	Station	Phase	G.M.T. h m s	Date	Station	Phase	G.M.T. h m s
5. IV		147,1°E, H=02 ^h 34 ^m 11,1 ^s , h=50 km; mb=5,1 /USCGS/		6. IV		Iran, BCIS: 29,9°N, 51,0°E, H=12 ^h 57 ^m 11 ^s ; M=5,1 /Moxa/	
	KRA	Δ=96,3°			KRA	Δ=30,7°	
	/Ch/	eP	02 47 35		/GW/	eP	13 03 31
		ePP	51 29		eS		08 32
	NIE	Δ=96,5°			RAC	Δ=31,7°. Traces	
	eP		02 47 36 D		/SK/	eP	13 03 40
	isP		44	6. IV		Près de la côte Sud de Hondo, Japon, USCGS: 34,3°N, 139,1°E, H=23 ^h 28 ^m 51 ^s , h=15 km; mb=5,1	
	e		50 56		/USCGS/		
	iPP		51 30		KRA	Δ=80,4°	
	RAC	Δ=97,1°. Traces			/SKM/	eP	23 41 03
	/SK/	eP	02 47 39		eipP		10
5. IV		Région des Iles Fidji, USCGS: 17,6°S, 178,4°W, H=21 ^h 30 ^m 53 ^s , h=546 km; mb=4,4 /USCGS/		6. IV		Près de la côte Est de Hondo, Japon, USCGS: 36,3°N, 140,5°E, H=23 ^h 32 ^m 10,6 ^s , h=44 km; mb=5,2	
	NIE	Δ=145,0°. Traces			/USCGS/		
	ePKP ₁		21 49 30		KRA	Δ=79,5°	
5. IV		Région de l'île Macquarie, USCGS: 53,2°S, 140,6°E, H=22 ^h 29 ^m 35 ^s , h=33 km; mb=5,0 /USCGS/			/SKM/	eipP	23 44 14 C
	KRA	Δ=143,8°			eipPeP		20
	/SKM/	ePKP ₁	22 49 00		NIE	Δ=79,7°	
	RAC	Δ=144,8°. Traces			eipP		23 44 15
	/SK/	ePKP ₁	22 49 02		esP		37
5. IV		Iles Kermadec, USCGS: 31,1°S, 178,2°W, H=23 ^h 33 ^m 06 ^s , h=60 km			RAC	Δ=80,2°	
	NIE	Δ=157,2°			/SK/	eP	23 44 18
	ePKP ₁		23 52 55	7. IV		Tchécoslovaquie, explosion de 9,6 tonnes, ISC, Edinburgh: 49,31°N, 16,44°E, H=09 ^h 28 ^m	
	iPKP ₂		53 28		RAC	Δ=1,26°	
6. IV		Iles Riou-Kiou, USCGS: 29,6°N, 129,8°E, H=02 ^h 34 ^m 24,1 ^s , h=31 km; mb=5,2 /USCGS/			/SK/	eNEZ	09 29 18
	NIE	Δ=79,6°. Traces			eE		33
	eP		02 46 31		F		31
6. IV		Région des Iles Mariannes, USCGS: 20,1°N, 147,2°E, H=12 ^h 21 ^m 57 ^s , h=22 km; M=5 ³ / ₄ /Moskva/		7. IV		Anatolie Sud Orientale, BCIS: 37,3°N, 36,2°E, H=17 ^h 07 ^m 14 ^s ; MLH=5-5 ³ / ₄ /Strasbourg/, 4,5	
	KRA	Δ=96,2°			/Pruhonice/		
	/SKM/	eP	12 35 25		NIE	Δ=16,5°	
	ePP		39 13		eP		17 11 07
					eipp		30

Date	Station	Phase	G.M.T. h m s	Date	Station	Phase	G.M.T. h m s
7. IV	KRA	Δ=17,1°		8. IV	KRA	Δ=146,7°	
/suite/	/GW/	eP	17 11 13		/SKM/	eipPKP ₁	05 53 52
		ePP	29			iPKP ₂	56
		ePPP	40			ipPKP ₂	56 12
		eSS	14 52		RAC	Δ=147,2°. Traces	
		eSSS	15 02		/SK/	ePKP ₁	05 53 54
7. IV		Anatolie Sud Orientale, BCIS: 37,3°N, 36,4°E, H=18 ^h 33 ^m 31 ^s ; MLH=5 ³ / ₄ -5 ¹ / ₂ /Strasbourg/, mb=5,0		8. IV		NIE	
	NIE	Δ=16,6°			eP		12 07 11
	eP		18 37 24 D		e1		08 16
	ePP		47	8. IV		Tchécoslovaquie, BCIS: vers 50°N, 17°E, H=12 ^h 59,5 ^m	
	KRA	Δ=17,2°			RAC	Δ=0,8°	
	/SKM/	eipP	18 37 32 C		/SK/	eNE	13 00 14
		eipp	43		eNE		40
	/GW/	eipPPP	51		NIE	Δ=2,3°. Traces	
		eSS	40 56		eZ		13 00 16,6
		eL	42		eNE		01 04,6
		Lm	47,6		KRA	Δ=1,9°	
					/SKM/	eiz	13 00 36,5
		N: 10 ^s ; 1,6μ			1/Se/NEZ		46,5
		E: 7 ^s ; 0,7μ			iNZ		52,0
	RAC	Δ=18,1°		9. IV		Région des Iles Fidji, USCGS: 19,7°S, 178,0°W, H=01 ^h 27 ^m 57,6 ^s , h=415 km; mb=4,5 /USCGS/	
	/SK/	eP	18 37 44		NIE	Δ=147,1°	
7. IV		Mer d'Okhotsk, USCGS: 47,0°N, 146,0°E, H=19 ^h 39 ^m 13 ^s ; h=296 km; mb=5,0 /USCGS/			ePKP ₁		01 46 51
	KRA	Δ=72,9°. Traces		10. IV		Région des Iles Tonga, USCGS: 17,7°S, 173,0°W, H=23 ^h 57 ^m 24,9 ^s , h=70 km	
	/SKM/	eipP	19 50 10		KRA	Δ=146,3°	
	NIE	Δ=73,3°			/SKM/	eipPKP	00 16 59 C
	eP		19 50 12		NIE	Δ=146,8°	
		Z: 1 ^s ; 0,017μ			ePKP		00 17 01
8. IV		Région des Iles Fidji, USCGS: 19,9°S, 178,6°W, H=05 ^h 35 ^m 17 ^s , h=616 km; mb=5,3 /USCGS/			esPKP		34
	NIE	Δ=147,1°		10. IV		Mer Rouge, USCGS: 20,0°N, 38 ¹ / ₂ °E, H=04 ^h 30 ^m 55 ^s	
	eipPKP ₁		05 53 53		KRA	Δ=33,2°	
	iPKP ₂		58		/SKM/	eP	04 37 33
	ipPKP ₂		56 14				
	i		36				

Date	Station	Phase	G.M.T. h m s	Date	Station	Phase	G.M.T. h m s
10.IV		Iles Salomon, USCGS: 7,4°S, 155,7°E, H=04 ^h 59 ^m 53,9 ^s ; M=5 ³ / ₄ /Moskva/ NIE Δ=124,0° ePKP	05 18 49	11.IV		Petites Antilles, USCGS: 18,8°N, 62,7°W, H=12 ^h 42 ^m 47,7 ^s ; mb=5,2 /USCGS/ NIE Δ=71,5° eP	12 54 05
10.IV		Iles Salomon, USCGS: 7,3°S, 155,8°E, H=15 ^h 02 ^m 42,2 ^s , h=29 km; mb=5,6 /USCGS/ KRA Δ=123,9° /SKM/ e1PKP ePP	15 21 38,5 23 23	11.IV		Sud de Hondo, USCGS: 31,9°N, 141,7°E, H=13 ^h 43 ^m 23,7 ^s , h=53 km NIE Δ=83,9° eP ei	13 55 49 56 33
		NIE Δ=124,0° e1PKP epPKP	15 21 40 D 53	12.IV		Petites Antilles, USCGS: 19,3°N, 63;6°W, H=04 ^h 40 ^m 53 ^s , h=38 km; mb=4,5 /USCGS/ NIE Δ=71,7° eP	04 52 15
10.IV		Péninsule de l'Alaska, USCGS: 58,6°N, 154,3°W, H=19 ^h 57 ^m 34,4 ^s , h=86 km KRA Δ=71,9° /SKM/ e1P ePcP	20 08 48 C 09 08	12.IV		Région Nord de Sumatra, USCGS: 5,3°N, 96,5°E, H=04 ^h 51 ^m 40,2 ^s , h=55 km; mb=6,1 /USCGS/, MLH= 6,3 /Kraków/ NIE Δ=77,0° e1P e1PcP isP i	05 03 28,3 C 40 52 04 34
		NIE Δ=72,5° e1P iPcP	20 08 53 C 09 11			KRA Δ=77,3° /SKM/ e1P e1PcP /GW/ e1S eSKS eISS eL Lm	05 03 30 C 37 13 15 37 17 52 34,4 43 20
10.IV		Iles Salomon, USCGS: 7,4°S, 155,7°E, H=21 ^h 07 ^m 47,5 ^s , h=103 km mb=5,4 /USCGS/ NIE Δ=124,0° ePd1f ePKP	21 23 07 27 38			NE: 17 ^s ; 9,7μ, 9,0μ RAC Δ=78,4° /SK/ eP	05 03 36
10.IV		Iles Salomon, Moskva: 7,3°S, 155,9°E, H=21 ^h 49 ^m 09,5 ^s ; mb=5,3 /USCGS/ NIE Δ=124,0° ePKP epPKP	22 08 16 26	12.IV		Région Nord de Sumatra, USCGS: 5,5°N, 96,7°E, H=05 ^h 11 ^m 14,1 ^s , h=33 km; mb=5,7 /USCGS/ NIE Δ=76,9° eP	05 23 06
10.IV		Traces /SKM/ e e	23 43 15 34			KRA Δ=77,3° Traces /SKM/ e1P	05 23 07
		NIE Traces e	23 43 31,2				

Date	Station	Phase	G.M.T. h m s	Date	Station	Phase	G.M.T. h m s
12.IV		Région Nord de Sumatra, USCGS: 5,6°N, 96,7°E, H=05 ^h 18 ^m 12 ^s , h= 102 km NIE Δ=76,9°. Traces eP	05 29 56	13.IV		KRA eNEZ Local	09 19 08,7
12.IV		Iles Salomon, USCGS: 7,5°S, 155,8°E, H=13 ^h 46 ^m 05 ^s , h=49 km; mb=5,1 /USCGS/ NIE Δ=124,2°. Traces ePKP	14 05 01	13.IV		NIE eP _{NEZ} eS _{NEZ}	12 52 43,4 50,4
12.IV		Iles Salomon, USCGS: 7,3°S, 155,6°E, H=13 ^h 54 ^m 57,2 ^s , h=52 km; mb=5,2 /USCGS/ NIE Δ=124,2° ePKP	14 13 53	13.IV		NIE Traces eP	15 36 39
12.IV		Iles Salomon, USCGS: 7,4°S, 155,7°E, H=14 ^h 51 ^m 49,4 ^s , h=21 km; mb=5,3 /USCGS/ NIE Δ=124,2°. Traces ePKP	15 10 49	13.IV		Région des Iles Fidji, USCGS: 18,0°S, 178,6°W, H=17 ^h 13 ^m 45,5 ^s , h=610 km; mb=5,0 /USCGS/ NIE Δ=145,3° iPKP ₁	17 32 16 C
12.IV		Région Nord de Sumatra, USCGS: 5,2°N, 96,7°E, H=19 ^h 33 ^m 47,3 ^s , h=56 km NIE Δ=77,2° eP	19 45 37	13.IV		Iles Riou-Kiou, USCGS: 27,3°N, 128,7°E, H=19 ^h 53 ^m 42,4 ^s , h=38 km; mb=6,0 /USCGS/ KRA Δ=80,7° /SKM/ iP i iPcP epP	20 05 52,6 C 55 59 06 07
12.IV		Au large de la côte du Chili Central, USCGS: 35,5°S, 73,3°W, H=21 ^h 22 ^m 09,3 ^s , h=12 km; mb=5,3 /USCGS/ NIE Δ=118,0° ePKP	21 40 57			NIE Δ=80,8° iP ePcP isP ePP	20 05 53,4 C 06 04 20 08 53
13.IV		Région Nord de Sumatra, USCGS: 5,5°N, 96,6°E, H=08 ^h 25 ^m 43,8 ^s , h=68 km NIE Δ=76,9° eP	08 37 30			RAC Δ=81,6° /SK/ eP ePcP	20 05 58 06 05
13.IV		Local NIE e1P _{NEZ}	09 18 48,5	13.IV		Guerrero, Mexique, USCGS: 18,5°N, 100,2°W, H=19 ^h 59 ^m 51,9 ^s , h=86 km; mb=5,6 /USCGS/ KRA Δ=94,3° /SKM/ iP NIE Δ=94,5° eP	20 13 01,0 D 20 13 04
13.IV		Traces /Ch/ eP _{NEZ}	09 18 52,2	14.IV		Guerrero, Mexique, USCGS: 17,5°N, 100,2°W, H=05 ^h 18 ^m 35,8 ^s , h=62 km; mb=4,9 /USCGS/	

Date	Station	Phase	G.M.T. h m s	Date	Station	Phase	G.M.T. h m s
14. IV	NIE	$\Delta=95,3^{\circ}$		16. IV		Iles Kouriles, USCGS: 46,4 ^o N, 153,3 ^o E, H=10 ^h 10 ^m 06,7 ^s , h=24 km	
/suite/	eP		05 31 55	KRA	$\Delta=76,0^{\circ}$		
14. IV		Local		/SKM/	e1P	10 21 52 C	
NIE					e1pP	56	
	e1P _{NEZ}		14 42 01,2		e1PcP	22 02	
14. IV				NIE	$\Delta=76,4^{\circ}$		
NIE		Traces		1P	10 21 55,3 C		
	eP		23 51 45	1pP	59		
15. IV				1PcP	22 06		
		Youngslavie, BCIS: 44,3 ^o N, 16,3 ^o E, H=02 ^h 08 ^m 04 ^s		RAC	$\Delta=76,5^{\circ}$		
NIE		$\Delta=5,6^{\circ}$		/SK/	eP	10 21 56	
	ePn		02 09 32	19. IV		Région de la République Dominicaine, USCGS: 18,8 ^o N, 69,6 ^o W, H=21 ^h 57 ^m 05,1 ^s , h=103 km; mb=5 /USCGS/	
	ePg		54			$\Delta=75,5^{\circ}$. Traces	
KRA		$\Delta=6,0^{\circ}$. Traces		KRA			
/SKM/	ePn		02 09 37	/SKM/	eP	22 08 42	
	eP ^x		55		e1pP	09 09	
	e1		10 34	NIE	$\Delta=76,0^{\circ}$		
	e1Sg		11 33	eP	22 08 45		
15. IV				epP	09 11		
		Région de Hokkaido, Japon, USCGS: 41,9 ^o N, 142,3 ^o E, H=23 ^h 35 ^m 51,1 ^s , h=66 km; mb=4,9 /USCGS/		20. IV		Kazakstan, BCIS: 50,0 ^o N, 78,0 ^o E, H=04 ^h 08 ^m 00 ^s ; mb=5,7 /USCGS/	
KRA		$\Delta=75,6^{\circ}$		KRA	$\Delta=36,4^{\circ}$		
/SKM/	e1P		23 47 30	/SKM/	e1P	04 15 08 C	
NIE	$\Delta=76,1^{\circ}$			NIE	$\Delta=36,6^{\circ}$		
eP			23 47 32 C	eP	04 15/09/		
ePcP			44	e	15		
16. IV				1PP	16 32		
		Sud des Iles Fidji, USCGS: 19,4 ^o S, 175,9 ^o E, H=07 ^h 18 ^m 11,8 ^s , h=38 km		22. IV		Mer du Groënland, USCGS: 73,4 ^o N, 8,4 ^o E, H=12 ^h 17 ^m 35 ^s , h=33 km	
NIE	$\Delta=144,4^{\circ}$			KRA	$\Delta=23,8^{\circ}$		
ePKP			07 37 43	/SKM/	eP	12 22 51	
RAC	$\Delta=144,8^{\circ}$			NIE	$\Delta=24,9^{\circ}$		
/SK/	ePKP		07 37 45	eP	12 22 57		
16. IV				22. IV		Iles Andaman, ISC, Edinburgh: 5,12 ^o N, 96,39 ^o E, H=13 ^h 07 ^m 38 ^s , h=44 km; mb=5,4 /USCGS/	
		Iles Tonga, USCGS: 21,6 ^o S, 176,1 ^o W, H=07 ^h 29 ^m 48 ^s		NIE	$\Delta=77,0^{\circ}$		
KRA	$\Delta=149,1^{\circ}$			e1P	13 19 28,0 C		
/SKM/	ePKP ₁		07 49 28				
NIE	$\Delta=149,5^{\circ}$						
ePKP ₁			07 49 31				
ePKP ₂			40				

Date	Station	Phase	G.M.T. h m s	Date	Station	Phase	G.M.T. h m s
22. IV	NIE	ePoP	13 19 33	24. IV		Nord-Est de la Chine, USCGS: 42,4 ^o N, 131,0 ^o E, H=15 ^h 12 ^m 48,2 ^s , h=52 km; mb=4,2 /USCGS/	
/suite/	esP		51			$\Delta=70,4^{\circ}$	
KRA		$\Delta=77,2^{\circ}$. Traces		NIE		1P	15 23 09,7 D
/SKM/	e1P		13 19 29,5	25. IV		Chine, ISC, Edinburgh: 43,34 ^o N, 87,06 ^o E, H=10 ^h 30 ^m 36,3 ^s , h=22 km; M=5,2 /ISC/	
22. IV				KRA	$\Delta=45,1^{\circ}$		
NIE		Traces		/SKM/	1P	10 38 52,7 C	
eP			20 00 18	1sP	39 02		
22. IV				e1pP	07		
		Iles Tonga, ISC, Edinburgh: 18,54 ^o S, 177,88 ^o W, H=22 ^h 02 ^m 02,5 ^s , h=454 km; M=4,1 /ISC/		NIE	$\Delta=45,1^{\circ}$		
NIE		$\Delta=145,9^{\circ}$. Traces		1P	10 38 53,0 C		
ePKP ₁			22 20 51	1sP	39 02		
23. IV				1pP	06		
		Algérie, BCIS: 36,3 ^o N, 2,4 ^o E, H=09 ^h 30 ^m 23 ^s		26. IV		Iles Tonga, USCGS: 15,6 ^o S, 173,6 ^o W, H=06 ^h 35 ^m 24,7 ^s , h=140 km; mb=4,4 /USCGS/	
NIE		$\Delta=18,3^{\circ}$				$\Delta=144,6^{\circ}$. Traces	
1P			09 34 38,3 C	NIE		e1PKP ₁	06 54 45,5 C
KRA	$\Delta=18,8^{\circ}$			26. IV			
/SKM/	e1P		09 34 39 C	NIE	e		11 05 31,0
/GW/	e1PP		59	26. IV		Tchécoslovaquie, explosion de 13 tonnes, ISC, Edinburgh: 49,70 ^o N, 17,79 ^o E, H=13 ^h 59 ^m $\Delta=0,36^{\circ}$	
eS			38 15	RAC		eNEZ	13 59 26
eSS			33	/SK/		eNE	32
23. IV						eNE	43
		Iles Philippines, USCGS: 8,6 ^o N, 126,5 ^o E, H=12 ^h 50 ^m 24,9 ^s , h=43 km; mb=5,3 /USCGS/		NIE	$\Delta=1,70^{\circ}$		
NIE		$\Delta=93,9^{\circ}$		eEZ	13 59 46,4		
eP			13 03 39	eNEZ	59,0		
24. IV				e/Sg/NEZ	14 00 10,4		
		Tadzjik, URSS; USCGS: 37,4 ^o N, 72,7 ^o E, H=08 ^h 51 ^m 10,9 ^s , h=31 km; mb=5,6 /USCGS/		27. IV		Local	
NIE		$\Delta=39,2^{\circ}$		NIE			
e1P			08 58 38	e1Pg _Z	07 45 19,4		
esP			56	e1NEZ	32,2		
KRA	$\Delta=39,4^{\circ}$			1NEZ	42		
/SKM/	e1P		08 58 39 D				
	epP		59 02				
	ePP		09 00 11				
	eSS		07 23				
	eScS		08 45				

Date	Station	Phase	G.M.T. h m s	Date	Station	Phase	G.M.T. h m s
27.IV		Iles Tonga, ISC, Edinburgh; 23,61°S, 179,81°E, H=12 ^h 24 ^m 21,8 ^s h=551 km; M=4,3 /ISC/ Δ=149,6°. Traces		29.IV		Iles Aléoutiennes, USCGS: 51,4°N, 178,3°W, H=03 ^h 55 ^m 20,8 ^s , h=50 km; mb=6 /USCGS/ Δ=77,5°	
	NIE	ePKP ₁	12 43 11		KRA		
					/SKM/	e1P	04 07 13 C
27.IV		Sinkiang, Chine, USCGS: 41,7°N, 82,3°E, H=23 ^h 15 ^m 19,7 ^s , h=33 km; mb=5,0 /USCGS/ Δ=43,0°. Traces			RAC	Δ=78,1°	
	KRA				/SK/	eP	04 07 14
	/SKM/	e1P	23 23 17 C			epP	32
		epP	35		NIE	Δ=78,6°	
	NIE	Δ=43,0°				eP	04 07 19
		e1P	23 23 17 C	29.IV		Iles Aléoutiennes, USCGS: 51,5°N, 178,2°W, H=12 ^h 25 ^m 32,7 ^s , h=51 km; mb=5,3 /USCGS/ Δ=78,6°	
		Z: 1 ^s ; 0,021 μ			NIE		
		e1	20			eP	12 37 29
		ePP	25 03	29.IV		Iles Tonga, ISC, Edinburgh: 15,53°S, 173,73°W, H=12 ^h 31 ^m 11 ^s , h=69 km; M=5,0 /ISC/ Δ=144,3°	
28.IV		Région Sud de l'Iran, USCGS: 28,5°N, 57,5°E, H=19 ^h 38 ^m 29 ^s , h=24 km; mb=4,8 /USCGS/ Δ=35,7°			NIE		
	KRA					ePKP	12 50 39
	/SKM/	1P	19 45 26 C	29.IV		Près de la côte E de Hondo, Japon, USCGS: 35,8°N, 140,8°E, H=22 ^h 02 ^m 09,5 ^s , h=49 km; mb=4,9 /USCGS/ Δ=80,3°. Traces	
		1pP	36		NIE		
						eP	22 14 17
29.IV		Région des Iles de la Rein Charlotte, USCGS: 51,2°N, 130,4°W, H=00 ^h 04 ^m 41,8 ^s , h=6 km Δ=75,8°		29.IV		Inde, BCIS: 24,0°N, 93,0°E, H=23 ^h 47 ^m 20 ^s Δ=61,0°. Traces	
	KRA				NIE		
	/SKM/	e1P	00 16 36			eP	23 57 43
		e1	40				

1967 M A I 1967

1.V		Grèce, BCIS: 39,5°N, 21,2°E, H=07 ^h 09 ^m 02 ^s ; MLH=6,3 /Racibórz/ Δ=9,7°		1.V	NIE	eS	07 13 19
	NIE					ISS	31
		1P	07 11 25,5 D			eISSS	45
		1PP	31			eL	14,2
		1	12 16		KRA	Δ=10,3°	
					/SKM/	e1P	07 11 34 D

Date	Station	Phase	G.M.T. h m s	Date	Station	Phase	G.M.T. h m s
1.V	KRA			1.V		Grèce, USCGS: 39,5°N, 21,4°E, H=14 ^h 38 ^m 04,3 ^s , h=33 km; mb=4,5 /USCGS/ Δ=9,7°	
	/suite//GW/	e1PP	07 11 41		NIE		
		ePPP	49			eP	14 40 28
		e1	12 10	1.V		Grèce, BCIS: 39,5°N, 21,4°E, H=16 ^h 40 ^m 06 ^s Δ=9,7°. Traces	
		1S	13 32		NIE		
		eSS	48			eP	16 42 31
	RAC	Δ=10,6°				ePP	40
	/SK/	eP	07 11 37	2.V		Grèce, BCIS: 39,6°N, 21,2°E, H=01 ^h 27 ^m 22 ^s Δ=9,6°	
		e1PP	43		NIE		
		e1S	13 43			eP	01 29 47
		eL	14,8	2.V		Grèce, ISC, Edinburgh: 39,9°N, 21,0°E, H=13 ^h 51 ^m 26 ^s Δ=10,2°	
		Lm	16 29		RAC		
		NEZ: 4 ^s ; 60 μ, 50 μ, 64 μ			/SK/	eP	13 53 51
1.V		Grèce, réplique, BCIS: 39,7°N, 21,0°E, H=08 ^h 15 ^m 45 ^s ; mb=4,4 /USCGS/ Δ=9,5°. Traces		2.V		Région de la Nouvelle Guinée, USCGS: 5,6°S, 147,2°E, H=17 ^h 10 ^m 04,7 ^s , h=148 km; mb=5,4 /USCGS/ Δ=117,7°	
	NIE				NIE		
		eP	08 18 08			ePP	17 29 52
1.V		Grèce, USCGS: 39,5°N, 21,3°E, H=08 ^h 28 ^m 22 ^s , h=33 km Δ=9,7°. Traces		3.V		Mer Noire, USCGS: 42,4°N, 36,4°E, H=05 ^h 19 ^m 42 ^s , h=32 km; mb=4,6 /USCGS/ Δ=13,1°. Traces	
	NIE				NIE		
		eP	08 30 44			eP	05 22 45
1.V		Grèce, réplique, USCGS: 39,8°N, 21,5°E, H=09 ^h 47 ^m 43 ^s , h=27 km Δ=9,4°. Traces		3.V		Grèce, BCIS: 39,6°N, 21,2°E, H=18 ^h 41 ^m 46 ^s ; mb=4,8 /USCGS/ Δ=9,6°	
	NIE				NIE		
		eP	09 50 08			e1P	18 44 12
1.V		Grèce, réplique, BCIS: 39,5°N, 21,2°E, H=09 ^h 50 ^m 06 ^s ; mb=4,9 /USCGS/ Δ=9,7°				e1	15
	NIE					e1	32
		1P	09 52 32,5 D		KRA	Δ=10,2°. Traces	
		ePP	39		/SKM/	e1P	18 44 20
		e1	59			ePP	31
	KRA	Δ=10,3°				ePPP	36
	/SKM/	e1P	09 52 41 D	3.V			
		ePP	48		NIE		
		e1PPP	53 00			eP	20 23 56,3
		eS	54 43				
	RAC	Δ=10,6°					
	/SK/	eP	09 52 43				

Date	Station	Phase	G.M.T. h m s	Date	Station	Phase	G.M.T. h m s
3.V	Grèce, BCIS: 39,5°N, 21,3°E, H=23 ^h 21 ^m 16 ^s	NIE		5.V	NIE	Δ=9,7°	
		eP	23 23 42			eP	14 52 26
		ePP				ePP	33
		ePPP				ePPP	40
4.V	Grèce, BCIS: 39,5°N, 21,2°E, H=04 ^h 46 ^m 17 ^s ; mb=4,4 /USCGS/	NIE		5.V	Iles Salomon, USCGS: 10,5°S, 161,3°E, H=15 ^h 00 ^m 07,7 ^s , h=41 km;		
		eP	04 48 42			mb=5,4 /USCGS/	
		ePP	47			Δ=129,7°	
						eP	15 21 25
4.V	Local	NIE			KRA	Δ=129,5°. Traces	
		eP _{NEZ}	09 00 59,0		/SKM/	e1PP	15 21 25
		e1 _{NEZ}	01 15,5			e1pPP	34
		F	02,0	5.V	Alaska, USCGS: 63,7°N, 148,5°W, H=17 ^h 06 ^m 14,9 ^s , h=102 km; mb=4,9		
4.V	Local	NIE				/USCGS/	
		eP _{NEZ}	10 01 55,0			Δ=60,4°. Traces	
4.V	Iles Fidji, USCGS: 19,7°S, 176,2°W, H=10 ^h 18 ^m 58 ^s , h=33 km; mb=4,9	NIE				eP	17 16 58
		eP	10 38 40			ePcP	17 24
		ePKP ₁	45	5.V	Java, USCGS: 8,0°S, 107,2°E, H=17 ^h 38 ^m 05,3 ^s , h=33 km		
		ePKP ₂				Δ=93,9°. Traces	
		RAC				eP	17 51 23
		/SK/				eP	31
		ePKP ₁	10 38 41			esP	38
4.V	Local	NIE			KRA	Δ=94,3°	
		eP	21 15 17,3		/SKM/	eP	17 51 25
		eE	36			epP	39
		F	16,3			e1PP	55 10
4.V	Hondo, Japon, USCGS: 36,3°N, 138,3°E, H=23 ^h 25 ^m 33 ^s , h=8 km;	NIE		5.V	Crête médiane de l'Océan Indien, USCGS: 23,1°S, 69,3°E, H=23 ^h 10 ^m		
		Δ=78,7°. Traces				27 ^s , h=23 km; mb=4,9 /USCGS/	
		eP	23 37 37			Δ=84,7°	
		ePcP	41			eP	23 22 58
5.V	Grèce, BCIS: 39,5°N, 21,2°E, H=14 ^h 49 ^m 58 ^s , h=33 km; mb=4,4	NIE				e1PcP	23 02
		/USCGS/				epP	11
				6.V	Local		
					NIE	Traces	
						eP _Z	09 30 05,9
						e1/Sg/NE	16,5
						F	30,9

Date	Station	Phase	G.M.T. h m s	Date	Station	Phase	G.M.T. h m s
6.V	Hokkaido, Japon, USCGS: 42,9°N, 139,3°E, H=19 ^h 48 ^m 31,6 ^s , h=33 km;	NIE		9.V		mb=4,5 /USCGS/	
		KRA				Δ=10,7°. Traces	
		/SKM/				eP	04 07 49
		eP	20 00 02 C			ePP	08 06
		NIE		9.V	Iles Kouriles, USCGS: 44,2°N, 149,0°E, H=06 ^h 14 ^m 57,1 ^s , h=40 km;		
		eP	20 00 05			mb=5,3 /USCGS/	
		epP	12			Δ=76,4°	
7.V	Région de la Nouvelle Bretagne, USCGS: 4,1°S, 152,8°E, H=10 ^h 16 ^m	NIE			KRA	iP	06 26 43 D
					/SKM/	e1PcP	55
						ei	27 03
						Δ=77,0°	
					RAC	eP	06 26 47
					/SK/		
					NIE	Δ=76,7°	
						eP	06 26 47
						iPcP	52
8.V	Local	NIE		9.V	Grèce, réplique du séisme du 1 ^{er} Mai à 07 ^h 09 ^m , BCIS: 39,7°N, 21,3°E, H=08 ^h 00 ^m 46 ^s ; mb=4,5		
						/USCGS/	
						Δ=9,5°	
						eP	08 03 08
						ePP	18
					KRA	Δ=10,1°	
					/GW/	eP	08 03 15
						ePPP	33
						eSg	06 19
				9.V	Mer du Japon, USCGS: 44,8°N, 140,6°E, H=11 ^h 00 ^m 09,8 ^s , h=		
						256 km; mb=4,8 /USCGS/	
						Δ=73,0°	
						eP	11 11 13
						ePcP	19
				9.V	Iles Tonga, USCGS: 15,5°S, 173,4°W, H=20 ^h 13 ^m 32,4 ^s , h=		
						89 km; mb=4,8 /USCGS/	
						Δ=144,6°	
						ePKP ₁	20 32 58 D
				9.V	Région des Iles Philippines, USCGS: 5,2°N, 127,5°E, H=21 ^h		
						30 ^m 08,3 ^s , h=119 km; mb=5,5 /USCGS/	

Date	Station	Phase	G.M.T. h m s	Date	Station	Phase	G.M.T. h m s
9.V	KRA	$\Delta=97,2^\circ$		12.V		Région frontière Tadjik-Sinkiang, USCGS: 39,5°N, 73,8°E, H=05 ^h 21 ^m 04,8 ^s , h=5 km; mb=4,9 /USCGS/	
/suite/	/SKM/	eiP	21 43 29 C		NIE	$\Delta=38,8^\circ$. Traces	
		eipP	44 03			eP	05 28 32
		esP	23			ei	35
		ePP	47 33		KRA	$\Delta=38,9^\circ$. Traces	
		epPP	48 10	/SKM/	/SKM/	eiP	05 28 38
	/GW/	eSKS	53 22	12.V		Local	
		eS	54 34		RAC		
		esS	55 34	/SK/	/SK/	eNEZ	12 28 59
		ePS	56 21		NIE		
	NIE	$\Delta=97,2^\circ$				eiPg _{NEZ}	12 29 03,5
		eP	21 43 29			eSg _{NEZ}	22,5
		épP	54			F	30,5
		ePP	47 22	12.V		Iles aux Renards, USCGS: 52,9°N, 167,0°W, H=16 ^h 58 ^m 33,2 ^s , h=32 km; mb=4,9 /USCGS/	
10.V		Local			KRA	$\Delta=77,5^\circ$. Traces	
	NIE			/SKM/	/SKM/	eP	17 10 27
		eP _{NEZ}	03 02 25,5		NIE	$\Delta=78,1^\circ$	
10.V		Formose, USCGS: 23,7°N, 121,5°E, H=17 ^h 40 ^m 06,7 ^s , h=40 km; mb=5,1 /USCGS/				eP	17 10 30
	KRA	$\Delta=79,3^\circ$				ePcP	41
/SKM/	/SKM/	eiP	17 52 09 C	12.V		Nord de l'Italie, BCIS: 44,6°N, 10,4°E, H=17 ^h 53 ^m 24 ^s ; mb=4,2 /USCGS/	
		ePcP	18		NIE	$\Delta=8,2^\circ$. Traces	
		epP	33			eiP	17 55 22
11.V		Région frontière Tadjik-Sinkiang USCGS: 39,4°N, 73,8°E, H=14 ^h 50 ^m 58,8 ^s , h=21 km; mb=5,6 /USCGS/ $\Delta=38,8^\circ$				ei	40
	NIE			13.V		Traces	
		eP	14 58 24	/SKM/	/SKM/	e/P/	03 30 40
		i	27			ei	51
		ei	37	13.V		Région de l'Ile Kodiak, USCGS: 56,5°N, 152,6°W, H=05 ^h 18 ^m 55,4 ^s , h=33 km; mb=5,3 /USCGS/	
		iPP	59 46		KRA	$\Delta=73,9^\circ$	
	KRA	$\Delta=38,9^\circ$		/SKM/	/SKM/	eiP	05 30 28
	/SKM/	eiP	14 58 26			eipP	35
		e1PP	59 45		/GW/	e1S	40 00
		eS	15 04 25			ePS	16
11.V		Région frontière Chili-Bolivie, USCGS: 20,3°S, 68,5°W, H=15 ^h 05 ^m 16,8 ^s , h=67 km; mb=6,1 /USCGS/ $\Delta=104,2^\circ$					
	KRA	$\Delta=104,2^\circ$					
/SKM/	/SKM/	ePP	15 23 27				



Date	Station	Phase	G.M.T. h m s	Date	Station	Phase	G.M.T. h m s
13.V	NIE	$\Delta=74,5^\circ$. Traces		15.V	KRA	$\Delta=83,0^\circ$	
/suite/	/suite/	eP	05 30 29	/SKM/	/SKM/	eiP	02 39 58 C
13.V		Local				isP	40 18
	NIE				RAC	$\Delta=83,8^\circ$	
		ePg _{NE}	16 58 53	/SK/	/SK/	eP	02 40 03
		eSg _{NE}	59 13	15.V		Crète, BCIS: 34,6°N, 26,9°E, H=08 ^h 12 ^m 56 ^s ; mb=4,9 /USCGS/ $\Delta=16,0^\circ$	
		F	17 00,0		KRA		
	KRA	Traces		/GW/	/GW/	eP	08 16 44
	/SKM/	eNEZ	16 59 14			e1PP	17 00
14.V		Sud de la Grèce, USCGS: 37,7°N, 21,2°E, H=04 ^h 16 ^m 00 ^s , h=50 km; mb=4,8 /USCGS/				eS	19 56
	NIE	$\Delta=11,5^\circ$				ePcP	21 43
		eiP	04 18 45			Lm	25 12
							NE: 13 ^s ; 3,3 μ , 3,2 μ
	KRA	$\Delta=12,1^\circ$			RAC	$\Delta=16,5^\circ$	
/SKM/	/SKM/	eP	04 18 54	/SK/	/SK/	eP	08 16 59
		i	56	15.V		Apennins, au Sud de Parme, BCIS: 44,6°N, 10,4°E, H=10 ^h 03 ^m 34 ^s	
		e1PP	19 09		RAC	$\Delta=7,5^\circ$. Traces	
		iPPP	14	/SK/	/SK/	eSS	10 07 05
14.V		Région frontière Tadjik-Sin- kiang, USCGS: 39,2°N, 73,9°E, H=09 ^h 00 ^m 54,8 ^s , h=33 km; mb=5,0 /USCGS/				eSg	44
	KRA	$\Delta=39,1^\circ$		15.V			
/SKM/	/SKM/	eP	09 08 21		KRA		
		epP	28	/SKM/	/SKM/	eP	16 47 17,7
		ePP	09 53			ei	29,7
15.V		Sud de Hondo, Japon, USCGS: 32,9°N, 141,3°E, H=00 ^h 05 ^m 53,3 ^s , h=63 km; mb=4,5 /USCGS/ $\Delta=82,6^\circ$. Traces		16.V		Iles Tonga, USCGS: 15,2°S, 173,5°W, H=16 ^h 14 ^m 22,9 ^s , h=33 km; mb=5,2 /USCGS/ $\Delta=144,3^\circ$	
	KRA				NIE		
/SKM/	/SKM/	eiP	00 18 10			eiPKP	16 33 54
		ePcP	19	16.V		Sud de Hondo, Japon, USCGS: 32,4°N, 141,3°E, H=19 ^h 24 ^m 58,6 ^s , h=36 km; mb=5,3 /USCGS/, mPV= 5,4 /Niedzica/	
15.V		Sud de Hondo, Japon, USCGS: 32,9°N, 141,4°E, H=00 ^h 13 ^m 36,8 ^s , h=58 km; mb=4,5 /USCGS/ $\Delta=82,6^\circ$. Traces			KRA	$\Delta=82,6^\circ$	
	KRA			/SKM/	/SKM/	eiP	19 37 21 C
/SKM/	/SKM/	eiP	00 25 55			ePcP	34
15.V		Sud de Hondo, Japon, USCGS: 32,5°N, 141,4°E, H=02 ^h 27 ^m 36,0 ^s , h=40 km; mb=5,4 /USCGS/			NIE	$\Delta=83,3^\circ$	
						iP	19 37 22,6 C
							Z: 1 ^s ; 0,030 μ
						esP	44

Date	Station	Phase	G.M.T. h m s	Date	Station	Phase	G.M.T. h m s
16.V	NIE	Local Traces eP ₁ NEZ e ₁ NEZ F	22 41 27,6 47,0 43,5	18.V	KRA	Lm N: 15 ^s ; 2 μ Lm E: 15 ^s ; 1,3 μ	04 51 20 26
16.V	NIE	Région des Iles Fidji, USCGS: 21,0°S, 178,8°W, H=23 ^h 08 ^m 16 ^s , h=551 km; mb=3,9 /USCGS/ Δ=148,0° e ₁ PKP ₁	23 30 43,1	18.V	NIE	Δ=76,9° e ₁ P e ₁ sP i	04 18 43,9 50 19 14
17.V	NIE	Région Sud de l'Alaska, USCGS: 60,8°N, 143,7°W, H=00 ^h 33 ^m 12,3 ^s , h=15 km; mb=4,8 /USCGS/ Δ=69,6° eP ipP ePcP	00 44 22 24 38	18.V	KRA /SKM/ /GW/	Région de Hokkaido, Japon, USCGS: 41,9°N, 144,7°E, H=11 ^h 22 ^m 31,6 ^s , h=41 km; mb=4,9 /USCGS/, mPV=5,5 /Niedzica/, MLH=5,6 /Kraków/ Δ=76,6° iP iPcP eS Lm N: 16 ^s ; 1,9 μ Lm E: 16 ^s ; 1,6 μ	11 34 20 C 34 44 02 12 06 58 07 04
17.V	NIE	Région frontière Iran-Turquie, BCIS: 38,2°N, 44,2°E, H=04 ^h 28 ^m 52 ^s , mb=4,6 /USCGS/ Δ=20,4° eP i	04 33 24 28	18.V	NIE	Δ=76,9° iP Z: 1 ^s ; 0,043 μ ePcP ePP	11 34 21,6 C 30 37 11
17.V	NIE	Mer Rouge, USCGS: 19,7°N, 38,7°E, H=17 ^h 50 ^m 39,6 ^s , h=38 km; mb=5,3 /USCGS/ Δ=32,9° eP	17 57 12	18.V	KRA /SKM/	Région de Hokkaido, Japon, USCGS: 42,0°N, 144,7°E, H=14 ^h 00 ^m 56,1 ^s , h=40 km; mb=5,1 /USCGS/ Δ=76,6° e ₁ P e ₁ PcP e ₁ pP	14 12 44 C 54 58
	KRA /SKM/	Δ=33,5° e ₁ P epP ePP	17 57 20 C 36 58 13	18.V	NIE	Ile Kiou-Siou, Japon, USCGS: 31,1°N, 130,7°E, H=23 ^h 39 ^m 15,2 ^s , h=43 km; mb=5,6 /USCGS/, mPV= 5,9 /Niedzica/ Δ=78,8° e ₁ P	23 51 15 C
	RAC /SK/	Δ=34,2° eP	17 57 27	18.V	KRA /SKM/	Δ=76,9° iP Z: 1,3 ^s ; 0,128 μ ipP ei	23 51 16,1 C 32 54 06
18.V	KRA /SKM/ /GW/	Région de Hokkaido, Japon, USCGS: 41,9°N, 144,6°E, H=04 ^h 06 ^m 54,7 ^s , h=44 km; mb=4,7 /USCGS/, MLH=5,6 /Kraków/ Δ=76,6° e ₁ P ePcP eL	04 18 42 56 48,9				

Date	Station	Phase	G.M.T. h m s	Date	Station	Phase	G.M.T. h m s
19.V	KRA /SKM/	Région des Iles Tonga, BCIS: 19,0°S, 173,0°W, H=12 ^h 52 ^m 00 ^s Δ=147,6°. Traces ePKP e	13 10 47 11 00	20.V	NIE	eS	23 25 40
19.V	KRA /SKM/	Ethiopie, en bordure de la Mer Rouge, USCGS: 14,5°N, 40,3°E, H=15 ^h 52 ^m 34,2 ^s , h=13 km; mb=5,1 /USCGS/ Δ=38,9° e ₁ P e ₁	16 00 03 14	21.V	NIE	Local Traces e/Pg/NE e/L/NE	10 19 00,5 26,0
20.V	KRA /SKM/	Kirgiz, URSS, USCGS: 39,2°N, 72,8°E, H=08 ^h 47 ^m 19,8 ^s , h=33 km; mb=5,1 /USCGS/ Δ=38,4° e ₁ P	08 54 40	21.V	NIE	Région Sud de Sumatra, USCGS: 1,0°S, 101,5°E, H=18 ^h 45 ^m 11,7 ^s , h=173 km; mb=6,3 /USCGS/ Δ=85,0° e ₁ P e ₁ PcP e ₁ ipP e ₁ PP iSKS eScS e ₁	18 57 29 34 38 58 17 19 00 46 07 32 48 09 38
20.V	KRA /SKM/	Détroit de Drake, USCGS: 59,2°S, 65,7°W, H=13 ^h 02 ^m 09,3 ^s , h=33 km; mb=5,5 /USCGS/ Δ=128,9° e ₁ PKP	13 21 14,5 D		KRA /GW/	Δ=85,3° e ₁ P e ₁ PcP ipP iPP e ₁ SKS e ₁ S eScS	18 57 30,0 36 58 10 19 00 48 07 33 40 49
20.V	RAC /SK/	Nevada, explosion nucléaire, BCIS: 37,4°N, 116,0°W, H=15 ^h 00 ^m 00 ^s , M=6,2 /Uppsala/ Δ=84,1°. Traces eP	15 12 35		RAC /SK/	Δ=86,4° e ₁ P	18 57 36
	KRA /SKM/	Δ=84,8° iP e ₁	15 12 37,0 C 45	23.V	KRA /Ch/	Région des Iles Kouriles, USCGS: 44,6°N, 150,2°E, H=01 ^h 22 ^m 22,2 ^s , h=33 km; mb=4,3 /USCGS/ Δ=76,5° e ₁ P e ₁ PcP	01 34 10 C 22
	NIE	Δ=85,5° eP	15 12 41		NIE	Δ=76,9° eP	01 34 13
20.V	KRA /Ch/	Carélie, Nord Ouest de la Russie, BCIS: 66,4°N, 33,4°E, H=23 ^h 18 ^m 11,7 ^s , h=17 km; mb=4,6 /USCGS/ Δ=18,0° eP e ₁ PP e ₁ P eP ePP	23 22 21 26 26 23 22 26 48	23.V	KRA /SKM/	Région des Iles Kouriles, USCGS: 44,6°N, 150,5°E, H=01 ^h 52 ^m 39,1 ^s , h=22 km Δ=76,6° iP e ₁ PcP e ₁	02 04 27,9 C 42 51

Date	Station	Phase	G.M.T. h m s	Date	Station	Phase	G.M.T. h m s
23.V	NIE	$\Delta=77,0^\circ$ eiP ei	02 04 31 05 13	26.V	KRA /SKM/	eiP ei	12 46 18 33,5
23.V	KRA /SKM/	eiP	13 07 33 D	26.V		Roumanie, région de Vrancea, BCIS: 45,5 ^o N, 26,3 ^o E, H=17 ^h 33 ^m 00 ^s ; mb=4,2 /USCGS/, h=145 km	
23.V	NIE	Local Traces eiNE eNE	13 30 26 38,5	26.V	NIE	$\Delta=5,5^\circ$ eiP	17 34 23
23.V	KRA /SKM/	$\Delta=84,9^\circ$ eiP ei	14 12 33 14 12 37 48	26.V	KRA /SKM/	$\Delta=6,1^\circ$. Traces eiP	17 34 31
23.V	NIE	$\Delta=85,5^\circ$ eiP ei	14 12 41 51	27.V		Sinkiang, Chine, USCGS: 39,9 ^o N, 77,3 ^o E, H=01 ^h 42 ^m 47,1 ^s , h=33 km; mb=5,4 /USCGS/	
24.V	NIE	Local eiP ei	14 12 41 51	27.V	KRA /SKM/	$\Delta=40,9^\circ$ eiP	01 50 28
24.V	NIE	Local eiP ei	14 12 41 51	27.V		Algérie, BCIS: 35,7 ^o N, 0,2 ^o W, H=01 ^h 54 ^m 24 ^s ; mb=4,7 /USCGS/	
24.V	NIE	Local eiP ei	14 12 41 51	27.V	KRA /SKM/	$\Delta=20,3^\circ$ eiP	01 59 03 15
24.V	NIE	Local eiP ei	14 12 41 51	27.V		Région frontière Afghanistan, URSS, USCGS: 36,2 ^o N, 71,5 ^o E, H=12 ^h 42 ^m 54,1 ^s , h=109 km; mb= 4,9 /USCGS/	
24.V	NIE	Local eiP ei	14 12 41 51	27.V	NIE	$\Delta=39,1^\circ$ eiP esP	12 50 13 47
24.V	NIE	Local eiP ei	14 12 41 51	27.V		Iles Aléoutiennes, USCGS: 51,9 ^o N, 176,1 ^o E, H=17 ^h 22 ^m 58,7 ^s , h=34 km; mb=5,8 /USCGS/	
24.V	NIE	Local eiP ei	14 12 41 51	27.V	KRA /SKM/	$\Delta=76,7^\circ$ eiP eiP eiPP	17 34 47 C 35 02 37 39
24.V	NIE	Local eiP ei	14 12 41 51	27.V		Région frontière Cachemire-Sin- kiang, USCGS: 36,1 ^o N, 77,8 ^o E, H=19 ^h 05 ^m 48,5 ^s , h=35 km; mb=5,4 /USCGS/	
24.V	NIE	Local eiP ei	14 12 41 51	27.V	NIE	$\Delta=43,2^\circ$ eiP i ei iPP esS eSS ei	19 13 49 53 14 44 15 29 20 23 23 23 25 23
24.V	NIE	Local eiP ei	14 12 41 51	27.V	KRA /SKM/	$\Delta=43,4^\circ$ eiP i eiPP	19 13 50 D 52 15 31
24.V	NIE	Local eiP ei	14 12 41 51	27.V	RAC /SK/	$\Delta=44,4^\circ$ eiP eiPP eL	19 14 00 15 43 24,4
24.V	NIE	Local eiP ei	14 12 41 51	27.V		Iles aux Rats, USCGS: 52,1 ^o N, 175,0 ^o E, H=01 ^h 31 ^m 56,7 ^s , h=45 km; mb=5,2 /USCGS/	
24.V	NIE	Local eiP ei	14 12 41 51	27.V	KRA /SKM/	$\Delta=76,3^\circ$ eiP	01 43 42 C
24.V	NIE	Local eiP ei	14 12 41 51	27.V	NIE	$\Delta=76,7^\circ$ eiP	01 43 43
24.V	NIE	Local eiP ei	14 12 41 51	28.V		Kazakstan, région de Semipala- tinsk, BCIS: 50,0 ^o N, 78,0 ^o E, H=04 ^h 08 ^m 00 ^s ; M=6,2 /Uppsala/, mpV=5,6 /Moxa/, 5,4 /Niedzica/ $\Delta=35,8^\circ$	
24.V	NIE	Local eiP ei	14 12 41 51	28.V	KRA /SKM/	$\Delta=76,7^\circ$ eiP	04 15 07 C
24.V	NIE	Local eiP ei	14 12 41 51	28.V		Région de Hokkaido, Japon, USCGS: 43,3 ^o N, 145,7 ^o E, H=21 ^h 01 ^m 44,3 ^s , h=88 km; mb=5,3 /USCGS/ $\Delta=75,9^\circ$	
24.V	NIE	Local eiP ei	14 12 41 51	28.V	KRA /SKM/	$\Delta=76,3^\circ$ eiP eiP eiP eiP ePP eS	21 13 22 C 28 45 54 16 36 22 55
24.V	NIE	Local eiP ei	14 12 41 51	28.V	NIE	$\Delta=76,2^\circ$ iP eiP	21 13 24 C 47
24.V	NIE	Local eiP ei	14 12 41 51	28.V	RAC /SK/	$\Delta=76,7^\circ$ eiP	21 13 29

Date	Station	Phase	G.M.T. h m s	Date	Station	Phase	G.M.T. h m s
27.V	RAC /suite/	$\Delta=76,9^\circ$ eP ePcP	17 34 48 35 05	28.V	KRA	e1PP	04 16 30
27.V	NIE	$\Delta=77,2^\circ$ iP i ePcP eiPP eSKS	17 34 50,5 C 51 35 00 37 44 55 10	28.V	NIE	$\Delta=36,6^\circ$ iP Z: 1 ^s ; 0,056 μ	04 15 07,8 C 16 19 32
27.V		Région frontière Cachemire-Sin- kiang, USCGS: 36,1 ^o N, 77,8 ^o E, H=19 ^h 05 ^m 48,5 ^s , h=35 km; mb=5,4 /USCGS/		28.V		Sud des Iles Fidji, USCGS: 23,8 ^o S, 179,7 ^o W, H=06 ^h 29 ^m 45,6 ^s , h=441 km; mb=4,4 /USCGS/	
27.V	NIE	$\Delta=43,2^\circ$ eiP i ei iPP esS eSS ei	19 13 49 53 14 44 15 29 20 23 23 23 25 23	28.V	NIE	$\Delta=150,2^\circ$ eiPKP ₁	06 48 45,0
27.V	KRA /SKM/	$\Delta=43,4^\circ$ eiP i eiPP	19 13 50 D 52 15 31	29.V		Sud des Iles Mariannes, USCGS: 11,9 ^o N, 143,3 ^o E, H=04 ^h 45 ^m 43,5 ^s , h=33 km	
27.V	RAC /SK/	$\Delta=44,4^\circ$ eiP eiPP eL	19 14 00 15 43 24,4	29.V	KRA /SKM/	$\Delta=101,1^\circ$. Traces eiP eiP	04 59 32 04 59 34
27.V		Iles aux Rats, USCGS: 52,1 ^o N, 175,0 ^o E, H=01 ^h 31 ^m 56,7 ^s , h=45 km; mb=5,2 /USCGS/		29.V	NIE	$\Delta=101,3^\circ$ eiP	04 59 34
27.V	KRA /SKM/	$\Delta=76,3^\circ$ eiP	01 43 42 C	29.V		Région des Iles Fidji, USCGS: 19,2 ^o S, 176,3 ^o W, H=11 ^h 09 ^m 54 ^s , h=236 km; mb=5,1 /USCGS/	
27.V	NIE	$\Delta=76,7^\circ$ eiP	01 43 43	29.V	NIE	$\Delta=147,3^\circ$ eiPKP ₁ eiPKP ₂ ei	11 29 07 09 23
28.V		Kazakstan, région de Semipala- tinsk, BCIS: 50,0 ^o N, 78,0 ^o E, H=04 ^h 08 ^m 00 ^s ; M=6,2 /Uppsala/, mpV=5,6 /Moxa/, 5,4 /Niedzica/ $\Delta=35,8^\circ$		29.V	KRA /SKM/	$\Delta=146,8^\circ$. Traces eiPKP	11 29 08
28.V	KRA /SKM/	$\Delta=76,7^\circ$ eiP	04 15 07 C	29.V		Région de Hokkaido, Japon, USCGS: 43,3 ^o N, 145,7 ^o E, H=21 ^h 01 ^m 44,3 ^s , h=88 km; mb=5,3 /USCGS/ $\Delta=75,9^\circ$	
28.V	NIE	$\Delta=76,2^\circ$ iP eiP	21 13 24 C 47	29.V	KRA /SKM/	$\Delta=75,9^\circ$ eiP eiP eiP eiP ePP eS	21 13 22 C 28 45 54 16 36 22 55
28.V	RAC /SK/	$\Delta=76,7^\circ$ eiP	21 13 29	29.V	NIE	$\Delta=76,2^\circ$ iP eiP	21 13 24 C 47

Date	Station	Phase	G.M.T. h m s	Date	Station	Phase	G.M.T. h m s				
29.V	Région des Iles Samoa, USCGS: 15,8°S, 172,5°W, H=21 ^h 55 ^m 14 ^s , h=33 km; mb=4,6 /USCGS/ NIE Δ=145,1°. Traces ePKP		22 14 49	30.V	34,1°N, 28,7°E, H=23 ^h 53 ^m 31 ^s ; mb=4,5 /USCGS/ KRA Δ=16,9° /SKM/ eP		23 57 20				
30.V	Iles Tonga, USCGS: 19,4°S, 175,8°W H=07 ^h 06 ^m 20 ^s , h=185 km; mb=4,2 /USCGS/ NIE Δ=147,6° ePKP		07 25 41	31.V	Petites Antilles, USCGS: 12,5°N, 60,3°W, H=11 ^h 38 ^m 39,0 ^s , h=60 km; mb=5,1 /USCGS/ NIE Δ=74,5°. Traces eP		11 50 14				
30.V	Méditerranée Orientale, BCIS:										
1967				J U I N				1967			

1.VI	Iles Aléoutiennes, USCGS: 53,7°N, 165,6°W, H=03 ^h 36 ^m 19,0 ^s , h=60 km; M=5,0 /ISC/ KRA Δ=76,8° /SKM/ e1P		03 48 04	1.VI	RAC Δ=15,3° /SK/ eP		10 43 07
	esP		26	1.VI	Iles Kouriles, USCGS: 44,5°N, 149,0°E, H=11 ^h 03 ^m 52,4 ^s , h=58 km; mb=5,1 /USCGS/ KRA Δ=76,1° /SKM/ eP		11 15 35
	NIE Δ=77,4° eP		03 48 08		epP		52
	i		09	NIE Δ=76,5° eP		11 15 38	
	ePcP		17	epP		47	
	esP		30	esP		57	
1.VI	Iles Kouriles, ISC, Edinburgh: 53,96°N, 160,58°E, H=10 ^h 16 ^m 11,7 ^s , h=43 km; mb=5,0 /USCGS/ NIE Δ=71,7° eP		10 27 30	1.VI	Iles Salomon, USCGS: 6,8°S, 155,0°E, H=20 ^h 47 ^m 45,6 ^s , h=31 km; mb=5,6 /USCGS/ NIE Δ=123,2° ePKP		21 06 40
1.VI	Taurus Cilicien, BCIS: 36,8°N, 29,2°E, H=10 ^h 39 ^m 19 ^s ; mb=5,0 /USCGS/ NIE Δ=13,9° eP		10 42 44	2.VI	Sinkiang, Chine, USCGS: 41,0°N, 88,1°E, H=04 ^h 27 ^m 33,2 ^s , h=33 km; mb=4,9 /USCGS/ NIE Δ=47,1° eP		04 36 03
	iPP		51				
	KRA Δ=14,6° /Ch/ eP		10 42 53	2.VI	Côte Occidentale de la Mer Caspienne, BCIS: 43,6°N, 47,4°E, H=05 ^h 10 ^m 56 ^s ; mb=5,0 /USCGS/ NIE Δ=72,6° e1P		09 20 21,0 C
	/SKM/ e1PP		59				
	e1PPP		43 13				

Date	Station	Phase	G.M.T. h m s	Date	Station	Phase	G.M.T. h m s
2.VI	NIE Δ=19,4° /suite/ eP		05 15 21	3.VI	NIE e1sP		09 20 30
	i		24		ePcP		45
	e1		30	3.VI	Mer Egée, BCIS: 39,0°N, 24,8°E, H=16 ^h 27 ^m 06 ^s ; M=4,1 /Athènes/ NIE Δ=10,6°. Traces eP		16 29 44
	eS		18 50				
	KRA Δ=19,7° /SKM/ eP		05 15 25	4.VI	Au large de la Côte Est du Kamchatka, USCGS: 51,4°N, 159,3°E, H=05 ^h 26 ^m 44,6 ^s , h=9 km; mb=4,8 /USCGS/, mPV=5,6 /Niedzica/ KRA Δ=73,4° /SKM/ 1P		05 38 17,0C C
	ePPP		53		isP		28
	e1		16 39		e1PcP		40
	e1		18 48	RAC Δ=73,8° /SK/ eP		05 38 20	
	e1S		19 09	NIE Δ=73,9° 1P		05 38 20,5 C	
	e/SS/		29		Z: 1 ^s ; 0,05 μ		31
	RAC Δ=20,9° /SK/ eP		05 15 34	4.VI	Au large de la Côte Est du Kamchatka, USCGS: 51,5°N, 159,3°E, H=06 ^h 23 ^m 38,4 ^s , h=12 km; mb=4,6 /USCGS/, mPV=5,1 /Niedzica/ KRA Δ=73,3° /SKM/ e1P		06 35 10 C
2.VI	Crête médiane de l'Océan Atlantique, USCGS: 0,9°N, 28,4°W, H=06 ^h 31 ^m 28,2 ^s , h=33 km NIE Δ=63,6° eP		06 41 59 C		e1pP		18
	KRA Δ=63,7° /SKM/ eP		06 42 00	NIE Δ=73,8° 1P		06 35 13,5 C	
	e1pP		08		Z: 1 ^s ; 0,02 μ		22
	e1		19	4.VI	Au large de la Côte Est du Kamchatka, USCGS: 51,5°N, 159,2°E, H=06 ^h 34 ^m 26,3 ^s , h=33 km; mb=4,5 /USCGS/ KRA Δ=73,3°. Traces /SKM/ e1P		06 45 55
2.VI	Local NIE				NIE Δ=73,8°. Traces eP		06 45 58
	ePgNEZ		17 19 21		iPP		46 08
	e1SgE		35				
	e1SgNZ		38				
	F		20,0				
3.VI	Région de l'île Kodiak, USCGS: 58,4°N, 151,2°W, H=09 ^h 08 ^m 56,4 ^s , h=32 km; mb=5,5 /USCGS/ RAC Δ=71,7° /SK/ eP		09 20 16				
	KRA Δ=71,9° /SKM/ e1P		09 20 16 C				
	e1pP		24				
	e1PcP		30				
	ePP		22 55				
	eS		29 36				
	eSS		34 34				

Date	Station	Phase	G.M.T. h m s	Date	Station	Phase	G.M.T. h m s
4.VI	NIE	Local, Karpathes ?		7.VI	KRA	Méditerranée, ISC, Edinburgh: 34,78°N, 26,68°E, H=15 ^h 54 ^m 36,1 ^s , h=52 km;	
		1P _g NEZ	13 58 27		/SKM/	Δ=15,4°. Traces	
		1S _g NEZ	44		eP	15 58 19	
		eNEZ	59 04	7.VI	RAC	Haute Autriche, région de Molln, BCIS: 47,9°N, 14,3°E, H=16 ^h 19 ^m 25 ^s ; MLH=3,2 /Pruhonice/ Δ=3,2°	
		F	14 00,5		/SK/	ePP	16 20 25
	KRA					eS ^x	21 05
	/SKM/	e1P _g NEZ	13 58 37			eSS	09
		e1/S _g /NE	58			1Sg	12
		e1NE	59 04			1SSS	18
5.VI	NIE	Iles Tonga, USCGS: 21,3°S, 174,5°W, H=01 ^h 21 ^m 20,2 ^s , h=33 km; mb=5,2 /USCGS/ Δ=149,8°		NIE		Δ=4,2°	
		ePKP ₁	01 41 04			ePn	16 20 31
		1PKP ₂	09			eSn	21 24
		i	59			eS ^x	34
	KRA	Δ=149,3°				e	22 03
	/SKM/	e1PKP ₁	01 41 06 C	KRA		Δ=4,2°	
		e1pPKP	17	/SKM/		e1P ^x	16 20 45
		ePP	44 39			e1Sn	21 26
	RAC	Δ=149,8°				e1SS	38
	/SK/	ePKP ₁	01 41 09			e1S ^x	41
		ePKP ₂	15			e1Sg	49
5.VI	NIE	Au large de la Côte Est du Kamtschatka, USCGS: 51,5°N, 159,1°E H=16 ^h 38 ^m 36,3 ^s , h=33 km Δ=73,2°		7.VI	KRA	Région frontière URSS-Mongolie, USCGS: 49,4°N, 97,2°E, H=17 ^h 01 ^m 12,9 ^s , mb=5,0 /USCGS/ Δ=47,9° Traces	
		Δ=73,7°			/SKM/	eP	17 09 49
	KRA			NIE		Δ=48,0°. Traces	
	/Ch/	eP	16 50 04			eP	17 09 50
	NIE			7.VI	KRA	Région des Iles Kouriles, USCGS: 45,5°N, 155,4°E, H=18 ^h 16 ^m 31,4 ^s , h=29 km; mb=5,2 /USCGS/ Δ=77,5°	
		iP	16 50 08,0 C		/SKM/	e1P	18 28 16 D
		ipP	15			e1PcP	30
6.VI	NIE	Nouvelle Bretagne, USCGS: 6,2°S, 152,0°E, H=06 ^h 35 ^m 16,1 ^s , h=58 km mb=5,4 /USCGS/ Δ=121,0°		NIE		Δ=77,9°	
		e1PKP	06 54 04,3 C			eP	18 28 20
7.VI	NIE	Islande, USCGS: 63,8°N, 19,0°W, H=02 ^h 57 ^m 49 ^s , h=33 km; mb=4,5 /USCGS/ Δ=25,7°					
		eP	03 03 16				



Date	Station	Phase	G.M.T. h m s	Date	Station	Phase	G.M.T. h m s
8.VI	NIE	Local		9.VI	NIE	ePKP ₂	17 24 47
		Traces		10.VI		Près de la Côte au Sud du Chili, USCGS: 41,3°S, 73,6°W, H=05 ^h 26 ^m 44,4 ^s , h=37 km; mb=5,7 /USCGS/ Δ=122,0°	
		eP _g Z	01 58 01,5			ePKP	05 45 36
		eZ	10,5	KRA		Δ=122,1°. Traces	
		e/S _g /NEZ	20,5	/SKM/		e1PKP	05 45 36 C
		F	59,0	10.VI		Au nord du l'île Ascension, USCGS: 3,6°S, 12,1°W, H=05 ^h 45 ^m 53 ^s , h=12 km; mb=5,1 /USCGS/ Δ=59,6°	
8.VI	NIE	Iles Talaud, USCGS: 4,6°N, 127,1°E H=12 ^h 01 ^m 57,3 ^s , h=73 km; mb=5,3 /USCGS/ Δ=97,4°. Traces				eP	05 56 01
		eP	12 15 24			epP	07
8.VI	NIE	Région des Iles Loyauté, USCGS: 21,4°S, 170,3°E, H=13 ^h 22 ^m 13,7 ^s , h=90 km; mb=5,3 /USCGS/ Δ=143,4°		KRA		Δ=59,9°	
		ePKP ₁	13 41 36	/SKM/		eP	05 56 02
		e1PP	45 09			ePcP	43
	RAC	Δ=144,0°. Traces		10.VI		Région des Iles Fidji, USCGS: 19,3°S, 178,2°W, H=13 ^h 58 ^m 53,3 ^s , h=596 km; mb=5,1 /USCGS/ Δ=146,3°	
	/SK/	ePKP ₁	13 41 38			1PKP ₁	14 17 27,6
8.VI	NIE	Yougoslavie, BCIS: 43,5°N, 20,8°E H=21 ^h 10 ^m 57 ^s ; M=4,0 /Beograd/ Δ=5,7°. Traces				i	28
		ePn	21 12 29			epPKP	19 50
9.VI	NIE	Tchécoslovaquie, explosion de 11,2 tonnes, BCIS: 50°25'N, 13°50'E Δ=2,9°				1SKP	20 12
		e	12 01 07	NIE		Δ=146,7°	
		e	16			ePKP ₁	14 17 27
		F	03			1PKP ₂	29
	NIE	Δ=4,4°. Traces				epPKP	19 49
		e	12 01 42			e1SKP	20 13
		e	44	10.VI		Océan Atlantique Nord, USCGS: 16,4°N, 46,6°W, H=18 ^h 04 ^m 39,6 ^s , h=33 km; mb=4,9 /USCGS/ Δ=62,7°. Traces	
		e	48			eP	18 15 04
	KRA	Δ=4,0°		KRA		Δ=62,5°	
	/SKM/	e	12 01 34	/SKM/		eP	18 15 03
		e	44			epP	10
		e	48	11.VI		Grèce, BCIS: 38,1°N, 22,9°E, H=05 ^h 35 ^m 04 ^s ; mb=4,4 /USCGS/ Δ=11,2°. Traces	
9.VI	NIE	Région des Iles Fidji, USCGS: 20,6°S, 178,6°W, H=17 ^h 05 ^m 59 ^s , h=546 km; mb=4,5 /USCGS/ Δ=147,7°					
		e1PKP ₁	17 24 42,0 D				

Date	Station	Phase	G.M.T. h m s	Date	Station	Phase	G.M.T. h m s
11.VI	NIE	eP	05 37 47	12.VI	KRA	e	00 23 29
/suite/	KRA	$\Delta = 11,8^\circ$			RAC	Traces	
/SKM/	eP		05 37 56	/SK/	eP		00 23 18
/GW/	e1PPP		38 16	NIE			
	eS		40 20	eP			00 23 20
11.VI	NIE	Local, Karpathes		12.VI		Iles Tonga, USCGS: 21,1°S, 174,4°W, H=00 ^h 48 ^m 59,2 ^s , h=13 km;	
	eP _{NEZ}		10 39 27		NIE	$\Delta = 149,6^\circ$	
	e _{NEZ}		39		ePK ₁		01 08 45
	eS _{NEZ}		/54/		isPKP		50
	F		41,2	RAC	$\Delta = 149,6^\circ$		
KRA				/SK/	ePK ₁		01 08 47
/SKM/	e1Pg _Z		10 39 34	KRA	$\Delta = 149,2^\circ$		
	e1Sn _Z		40 01	/SKM/	e1PKP ₁		01 08 48 C
	e1Sg _Z		10	e			55
RAC	Traces						
/SK/	e _{NEZ}		10 39 41	12.VI		Grèce, BCIS: 37,1°N, 22,8°E, H=01 ^h 29 ^m 07 ^s ; mb=4,5 /USCGS/	
	F		42	NIE	$\Delta = 12,2^\circ$. Traces		
11.VI	NIE	Iles Kouriles, USCGS: 47,5°N, 154,4°E, H=11 ^h 50 ^m 17,4 ^s , h=36 km;		eP			01 31 53
	KRA	$\Delta = 75,4^\circ$		KRA	$\Delta = 12,8^\circ$		
/SKM/	e1P		12 01 57	/SKM/	eP		01 32 03
RAC	$\Delta = 75,9^\circ$			e1PP			11
/SK/	eP		12 02 00	12.VI		Crête médiane de l'Océan Atlan- tique Nord, USCGS: 16,7°N, 44,7°W, H=01 ^h 59 ^m 28,1 ^s , h=33 km;	
NIE	$\Delta = 75,8^\circ$				NIE	$\Delta = 61,2^\circ$	
eP			12 02 01 C	eP			02 09 50
12.VI	NIE	Crête médiane de l'Océan Atlan- tique, USCGS: 16,6°N, 46,6°W, H=00 ^h 05 ^m 06,8 ^s , h=33 km; mb=5,1 /USCGS/		e			10 10
KRA	$\Delta = 62,4^\circ$. Traces			12.VI		Grèce, BCIS: 38,1°N, 22,8°E, H=02 ^h 51 ^m 05 ^s ; mb=4,8 /USCGS/,	
/SKM/	eP		00 15 28		NIE	$\Delta = 11,2^\circ$	
	epP		34		eP		02 53 49
	e1PoP		45		ePP		54 01
NIE	$\Delta = 62,5^\circ$. Traces			KRA	$\Delta = 11,8^\circ$		
eP			00 15 30	/GW/	eP		02 53 59
12.VI	KRA			ePP			54 12
/SKM/	eP		00 23 19				



Date	Station	Phase	G.M.T. h m s	Date	Station	Phase	G.M.T. h m s
12.VI	KRA	eS	02 56 11	12.VI	KRA	e1PoP	23 34 39
/suite/	eSS		28	/GW/	ePP		37 26
	Lm		03 00,01		e1S		44 00
		E: 6,2 ^s ; 1,4 μ			e1ScS		33
	Lm		24		eL		52,6
		N: 5,5 ^s ; 1,4 μ		NIE	$\Delta = 75,9^\circ$		
	RAC	$\Delta = 12,2^\circ$. Traces		1P			23 34 25,5 C
/SK/	eP		02 54 07		Z: 1,2 ^s ; 0,071 μ		
12.VI		Région des Iles du Prince Edouard, USCGS: 44,9°S, 35,7°E, H=05 ^h 21 ^m 11 ^s , h=36 km; mb=5,6 /USCGS/		esP			35
KRA	$\Delta = 95,3^\circ$			RAC	$\Delta = 75,9^\circ$		
/SKM/	ePP		05 38 24	/SK/	eP		23 34 26
12.VI		Grèce, BCIS: 38,0°N, 22,8°E, H=11 ^h 00 ^m 15 ^s ; mb=4,5 /USCGS/		13.VI		Sud de Sumatra, USCGS: 3,0°S, 100,6°E, H=01 ^h 10 ^m 06 ^s , h=33 km;	
NIE	$\Delta = 11,3^\circ$. Traces				NIE	$\Delta = 85,9^\circ$. Traces	
eP			11 03 04	eP			01 22 44
12.VI		Grèce, BCIS: 39,2°N, 21,5°E, H=18 ^h 12 ^m 48 ^s ; mb=4,5 /USCGS/		epP			52
NIE	$\Delta = 10,0^\circ$			KRA	$\Delta = 86,3^\circ$		
eP			18 15 14	/SKM/	e1P		01 22 47 D
ePP			22	ePcP			54
KRA	$\Delta = 10,6^\circ$			13.VI		Région du Spitzberg, USCGS: 78,6°N, 8,2°E, H=09 ^h 45 ^m 22 ^s , h=33 km;	
/GW/	eP		18 15 25		NIE	$\Delta = 29,9^\circ$	
12.VI		Région Sud de Sumatra, USCGS: 3,1°S, 100,6°E, H=21 ^h 17 ^m 48 ^s , h=33 km; mb=5,4 /USCGS/		eP			09 51 28
NIE	$\Delta = 86,0^\circ$			13.VI		Région de la Nouvelle Bretagne, USCGS: 5,6°S, 148,1°E, H=15 ^h 39 ^m . 29,7 ^s , h=213 km; mb=5,4 /USCGS/	
eP			21 30 28		NIE	$\Delta = 118,2^\circ$. Traces	
isP			38	ePP			15 59 38
e			31 12	13.VI		Haute Autriche, région de Molln, BCIS: 47,5°N, 14,3°E, H=17 ^h 39 ^m 46 ^s	
KRA	$\Delta = 86,3^\circ$				KRA	$\Delta = 4,3^\circ$. Traces	
/SKM/	eP		21 30 30	/SKM/	eSn		17 41 45
12.VI		Iles Kouriles, USCGS: 47,4°N, 154,3°E, H=23 ^h 22 ^m 45,3 ^s , h= 56 km; mb=5,4 /USCGS/, mPV=5,6 /Niedzica/		e1Sg			42 16
KRA	$\Delta = 75,5^\circ$			13.VI		Caucase Oriental, USCGS: 42,0°N, 45,3°E, H=23 ^h 09 ^m 52 ^s , h=33 km;	
/SKM/	1P		23 34 23,5 C		NIE	$\Delta = 18,8^\circ$. Traces	
				eP			23 14 10

Date	Station	Phase	G.M.T. h m s	Date	Station	Phase	G.M.T. h m s
13.VI	KRA	$\Delta=19,2^\circ$		14.VI	RAC	$\Delta=75,9^\circ$	
/suite/	/SKM/	e1P	23 14 14 D	/SK/	eP		08 17 40
		ePP	23		ePP		53
14.VI		Près de la côte Est de la Russie,		14.VI		Iles Kouriles, USCGS: 47,5°N,	
		USCGS:45,3°N, 136,9°E, H=03 ^h 46 ^m				154,5°E, H=08 ^h 13 ^m 02,2 ^s , h=53 km;	
		20,3 ^s , h=360 km; mb=4,7 /USCGS/				mb=5,4 /USCGS/, mFV=5,6 /Niedzica/	
KRA		$\Delta=70,6^\circ$		KRA		$\Delta=75,4^\circ$	
/SKM/		e1P	03 56 58	/SKM/		iP	08 24 41 C
NIE		$\Delta=70,9^\circ$				e1PcP	53
		iP	03 57 00,2 D	/GW/		ePP	27 27
		Z: 1 ^s ; 0,030 μ				eS	34 15
14.VI		Iles Tonga, USCGS: 15,2°S, 173,6°W				eL	47,7
		H=05 ^h 06 ^m 16,3 ^s , h=11 km; mb=5,9					
		/USCGS/		RAC		$\Delta=75,9^\circ$	
RAC		$\Delta=144,1^\circ$		/SK/		eP	08 24 43
/SK/		ePKP ₁	05 25 49			ePcP	55
		ePKP ₂	53	NIE		$\Delta=75,8^\circ$	
KRA		$\Delta=143,8^\circ$				iP	08 24 43,3 C
/SKM/		e1PKP ₁	05 25 50			Z: 1 ^s ; 0,047 μ	
		iPKP ₂	53			ePcP	55
		e1pPKP ₁	26 03	15.VI		Iles Tonga, USCGS: 21,6°S,	
		e1pPKP ₂	09			174,7°W, H=04 ^h 49 ^m 41 ^s , h=33 km;	
		e1	25			mb=4,9 /USCGS/	
		e1	50	KRA		$\Delta=149,6^\circ$	
		ePP	29 14	/SKM/		ePKP ₁	05 09 30
		ePKS	46			ePKP ₂	45
NIE		$\Delta=144,3^\circ$		NIE		$\Delta=150,0^\circ$	
		iPKP ₁	05 25 52,5 D			ePKP ₁	05 09 31
		iPKP ₁	26 05	15.VI		Sud de Chypre, BCIS: 34,0°N,	
		e1	45			32,5°E, H=14 ^h 56 ^m 04 ^s ; mb=5,0	
14.VI		Iles Kouriles, USCGS: 47,5°N,				/USCGS/	
		154,4°E, H=08 ^h 05 ^m 58,6 ^s , h=55 km;		NIE		$\Delta=17,6^\circ$. Traces	
		mb=5,3 /USCGS/				eP	15 00 08
KRA		$\Delta=75,4^\circ$				ePPP	36
/SKM/		e1P	08 17 37 C	15.VI		Proche	
		ePcP	48	RAC			
		e1	57	/SK/		e	15 48 12
/GW/		eS	27 14	KRA		Traces	
NIE		$\Delta=75,8^\circ$		/SKM/		e	15 48 41
		iP	08 17 39,0 C			e1	45
		e1	45	15.VI		Crête médiane de l'Océan Atlan-	
		e1pP	51			tique, USCGS: 9,1°N, 40,4°W,	

Date	Station	Phase	G.M.T. h m s	Date	Stat	Phase	G.M.T. h m s
15.VI		H=18 ^h 41 ^m 57,7 ^s , h=33 km; mb=4,8		17.VI		Région des Iles Sandwich du Sud,	
/suite/		/USCGS/				BCIS: 58,3°S, 26,6°W, H=05 ^h 00 ^m	
RAC		$\Delta=63,1^\circ$				11,8 ^s , h=140 km; mb=6,1 /USCGS/	
/SK/		eP	18 52 27	KRA		$\Delta=114,3^\circ$	
NIE		$\Delta=64,2^\circ$		/Ch/		ePKP	05 18 34
		eP	18 52 33	/GW/		e1PP	19 42
		ePP	41			e1pPP	20 37
		eSP	46			1SKS	25 06
16.VI		Carpathes, BCIS: 48,4°N, 17,5°E,				1SKKS	26 21
		H=00 ^h 20 ^m 37 ^s		NIE		$\Delta=113,8^\circ$	
		$\Delta=2,0^\circ$				ePKP	05 18 35
		ePn _Z	00 21 10,5			iPP	19 31
		iSn _{NE}	38,5			1	20 11
		iSg _{NE}	46,0			eSKS	25 03
		F	23,0			eSKKS	26 08
RAC		$\Delta=1,5^\circ$. Traces				eScSP	29 03
/SK/		NEZ	00 21-23			ePKK	20
KRA		$\Delta=2,1^\circ$. Traces		17.VI		Est du Caucase, USCGS: 41,7°N,	
/SKM/		ePn	00 21 18			45,3°E, H=09 ^h 56 ^m 10 ^s , h=33 km;	
		ePg	23			mb=4,4 /USCGS/	
		e	36	NIE		$\Delta=16,8^\circ$. Traces	
		e1Sn	46			ePPP	10 00 33
		e1Sg	52	17.VI		Petites Karpathes, BCIS: 48,4°N,	
16.VI		A l'ouest de l'île Macquarie,				17,5°E, H=17 ^h 45 ^m 41 ^s ; MLH=4,0	
		USCGS: 55,7°S, 146,8°E, H=05 ^h				/Pruhonice/	
		44 ^m 02 ^s , h=27 km; mb=5,4 /USCGS/		RAC		$\Delta=1,5^\circ$	
		$\Delta=147,4^\circ$. Traces		/SK/		e1Pn _{NEZ}	17 46 08,6
		ePKP	06 03 43			e _{EZ}	20
16.VI		Iles Tonga, USCGS: 19,4°S,				e1S _N	28
		175,2°W, H=20 ^h 12 ^m 15,1 ^s , h=90 km				e1Sn _E	30
		mb=5,0 /USCGS/				e1SS _{EZ}	33
		$\Delta=147,8^\circ$				i _{EZ}	39
		ePKP ₁	20 31 48			e1SSS _{EZ}	47
		iPKP ₂	51			F	51
16.VI		Serbie, Yougoslavie, BCIS:		NIE		$\Delta=2,0^\circ$	
		44,0°N, 20,0°E, H=22 ^h 56 ^m 57 ^s ;				iPn _{EZ}	17 46 15,3
		M=3,7 /Beograd/				e1P _{EZ}	16,8
		$\Delta=5,1^\circ$. Traces				iPP _Z	25
		e/Pn/	22 58 12			iSng	43,3
		e/Sg/	59 52			iSg _{EZ}	51,8
						i _{EZ}	47 00,2
						F	50,5

Date	Station	Phase	G.M.T. h m s	Date	Station	Phase	G.M.T. h m s
17.VI	KRA	$\Delta=2,1^{\circ}$		19.VI	RAC	eSn _{NE}	00 23 49
/suite//SKM/	eiPn _{NEZ}	17 46 23,5	C			eSS _Z	59
	ei _{NEZ}	28,5			NIE	$\Delta=1,96^{\circ}$	
	ei _{NEZ}	36,5			ePn _{EZ}	00 23 35	
	1Sn _N	46,5			1P _Z	37	
	eiS _N	51,0			1P _E	41	
	1S _{NZ}	56,0			1Sn _E	24 03,5	
17.VI		Suisse, BCIS: 46,4°N, 7,4°E, H=20 ^h 22 ^m 02 ^s			eiS _E	12	
	RAC	$\Delta=8,0^{\circ}$			iZ	15	
/SK/	eSg	20 26 23		KRA	$\Delta=2,1^{\circ}$		
18.VI		Turquie, USCGS: 36,8°N, 29,5°E, H=05 ^h 28 ^m 54,1 ^s , h=43 km; mb=4,8 /USCGS/		/SKM/	1Pn _{NEZ}	00 23 45	
	KRA	$\Delta=14,7^{\circ}$			eiS _{NEZ}	24 09,5	
/SKM/	eP	05 32 26			eiSS _{NEZ}	16	
18.VI		Région frontière Afghanistan - URSS; USCGS: 37,4°N, 71,9°E, H=16 ^h 39 ^m 11,7 ^s , h=83 km;		19.VI		Mer Rouge, USCGS: 20,6°N, 38,4°E, H=14 ^h 35 ^m 20,2 ^s , h=35 km; mb=4,5 /USCGS/	
	NIE	$\Delta=38,6^{\circ}$. Traces			NIE	$\Delta=31,9^{\circ}$. Traces	
	eP	16 46 27			eP	14 41 47	
	epP	50		KRA	$\Delta=32,6^{\circ}$		
18.VI		Région de la Nouvelle Irlande, USCGS: 3,9°S, 151,6°E, H=20 ^h 04 ^m 56,7 ^s , h=301 km; mb=4,9 /USCGS/		/SKM/	eiP	14 41 52	
	NIE	$\Delta=118,9^{\circ}$. Traces			epP	59	
	ePKP	20 23 11		RAC	$\Delta=33,3^{\circ}$. Traces		
18.VI		Petites Carpathes, BCIS: 48,5°N, 17,5°E, H=21 ^h 47 ^m 45 ^s		/SK/	eP	14 41 59	
	NIE	$\Delta=1,96^{\circ}$		19.VI		Ouganda, USCGS: 0,6°N, 30,2°E, H=16 ^h 43 ^m 07 ^s , h=38 km, mb=4,6 /USCGS/	
	ePn _{EZ}	21 48 20			NIE	$\Delta=52,7^{\circ}$	
	eP _{EZ}	23			eP	16 56 44	
	eiSn _{EZ}	48			eipP	58	
	eSg _{EZ}	56		19.VI		Iles Aléoutiennes, USCGS: 52,7°N, 166,9°W, H=17 ^h 07 ^m 45,4 ^s , h=33 km; mb=5,7 /USCGS/, MLH=6,4 /Kraków/	
	eiSS _{EZ}	59			KRA	$\Delta=77,7^{\circ}$	
	RAC	$\Delta=1,5^{\circ}$		/SKM/	eiP	17 19 39	
/SK/	ePPP _{NEZ}	21 48 29			eipP	50	
	1Sn _E	39			eiPoP	58	
19.VI		Petites Carpathes, BCIS: H=00 ^h 23 ^m 00 ^s			eipPcP	20 17	
	RAC	$\Delta=1,5^{\circ}$			ePP	22 45	
/SK/	eP _{NEZ}	00 23 31		/GW/	eS	29 28	
					eL	48,1	
					Lm	56,0	
						NE: 18 ^s ; 15 ^s ; 12,5 μ , 7,1 μ	

Date	Station	Phase	G.M.T. h m s	Date	Station	Phase	G.M.T. h m s
19.VI	RAC	$\Delta=77,7^{\circ}$		20.VI		mb=4,6 /USCGS/	
/suite/ /SK/	eP	17 19 40		NIE	$\Delta=78,1^{\circ}$		
	NIE	$\Delta=78,3^{\circ}$		eP	12 37 51		
	iP	17 19 44,0	C	21.VI		Crête médiane de l'Océan Atlantique, BCIS: 8,7°N, 39,7°W, H=02 ^h 06 ^m 07,9 ^s , h=30 km; mb=4,7 /USCGS/	
	i	46			KRA	$\Delta=64,1^{\circ}$	
	1sP	20 06		/SKM/	eiP	02 16 41	C
	i	13		21.VI		Local	
20.VI		Iles Aléoutiennes, USCGS: 52,8°N, 167,1°W, H=05 ^h 25 ^m 22,4 ^s , h=31 km; mb=4,5 /USCGS/		NIE			
	KRA	$\Delta=77,5^{\circ}$			1P _{EZ}	15 00 58	
/SKM/	eiP	05 37 17			eZ	01 01	
	NIE	$\Delta=78,2^{\circ}$			1S _{NE}	08	
	eP	05 37 20	C		iZ	11	
	esP	32			F	02,0	
20.VI		Iles Aléoutiennes, USCGS: 52,7°N, 166,9°W, H=06 ^h 20 ^m 49,5 ^s , h=9 km; mb=4,5 /USCGS/		KRA			
	NIE	$\Delta=78,3^{\circ}$. Traces		/Ch/	eP _{NEZ}	15 01 10	
	eP	06 32 50			e _{NEZ}	29	
20.VI		Iles Aléoutiennes, USCGS: 52,9°N, 166,9°W, H=07 ^h 35 ^m 45 ^s , h=29 km; mb=4,0 /USCGS/		21.VI		Iles Philippines, USCGS: 12,7°N, 123,1°E, H=15 ^h 45 ^m 28,3 ^s , h=56 km; mb=5,2 /USCGS/, MLH=6,0 /Kraków/	
	NIE	$\Delta=78,1^{\circ}$. Traces			NIE	$\Delta=88,7^{\circ}$	
	eP	07 47 42			eP	15 58 17	
20.VI		Iles Aléoutiennes, USCGS: 52,8°N, 167,1°W, H=07 ^h 38 ^m 44,9 ^s , h=11 km; mb=5,2 /USCGS/		KRA	$\Delta=88,7^{\circ}$		
	KRA	$\Delta=77,5^{\circ}$		/GW/	epP	15 58 45	
/SKM/	eiP	07 50 42	C		ePP	16 01 22	
	ePoP	52			eS	09 19	
	eiS	08 00 29			Lm	33 38	
	RAC	$\Delta=77,6^{\circ}$				NE: 20 ^s ; 7,0 μ , 2,2 μ	
/SK/	eP	07 50 43		21.VI		Alaska Central, USCGS: 64°45,4'N, 147°22,3'W, H=18 ^h 04 ^m 49,5 ^s , h=165 km; mb=5,9 /USCGS/	
	NIE	$\Delta=78,2^{\circ}$			KRA	$\Delta=65,4^{\circ}$	
	eP	07 50 44		/GW/	eP	18 15 29	
	i	46			epP	52	
	iPoP	57			eiS	23 47	
	i	51 04			eIPS	24 29	
20.VI		Iles Aléoutiennes, USCGS: 52,8°N, 166,9°W, H=12 ^h 25 ^m 50,2 ^s , h=11 km;		RAC	$\Delta=65,1^{\circ}$		
				/SK/	eP	18 15 31	

Date	Station	Phase	G.M.T. h m s	Date	Station	Phase	G.M.T. h m s
21.VI	NIE	$\Delta=66,0^\circ$ eP epP	18 15 35 40	21.VI	NIE	h=23 km; mb=5,7 /USCGS/ $\Delta=109,1^\circ$ ePKP	20 28 00
21.VI	KRA /SKM/	Alaska Central, USCGS: 64,8°N, 147,4°W, H=18 ^h 13 ^m 02,9 ^s , h=17 km; $\Delta=65,4^\circ$ eP epP ePcP eS	18 23 47 56 24 33 32 29	21.VI	NIE	Région des Iles Fidji, USCGS: 17,6°S, 178,7°W, H=22 ^h 05 ^m 54,0 ^s , h=574 km; mb=4,6 /USCGS/ $\Delta=145,1^\circ$ iPKP	22 24 29,0 C
	RAC /SK/	$\Delta=65,1^\circ$ eP	18 23 47	22.VI	NIE	Turquie, USCGS: 40,8°N, 34,0°E, H=07 ^h 25 ^m 00,3 ^s ; mb=4,5 /USCGS/ $\Delta=12,8^\circ$ iP	07 28 03,0 D
	NIE	$\Delta=66,0^\circ$ eP	18 23 51	22.VI	NIE	Grèce, BCIS: 39°N, 20°E, H=10 ^h 58 ^m 36 ^s $\Delta=9,9^\circ$. Traces eP	11 01 05
21.VI	KRA /SKM/	Alaska Central, USCGS: 64,8°N, 147,4°W, H=18 ^h 24 ^m 45,7 ^s , h=17 km; mb=5,8 /USCGS/ $\Delta=65,4^\circ$ eP ei	18 35 28 36 52	22.VI	NIE	Iles Kermadec, USCGS: 15,8°S, 172,7°W, H=10 ^h 50 ^m 05,3 ^s , h=33 km; mb=4,5 /USCGS/ $\Delta=145,0^\circ$ ePKP	11 09 39
	RAC /SK/	$\Delta=65,1^\circ$ eP	18 35 29	23.VI	KRA /SKM/	Région des Iles Samoa, USCGS: 15,0°S, 172,3°W, H=00 ^h 25 ^m 29,8 ^s ; h=33 km $\Delta=143,9^\circ$ ePKP epPKP	00 45 00 29
	NIE	$\Delta=66,0^\circ$ eP	18 35 33		NIE	$\Delta=144,4^\circ$ eiPKP	00 45 01,0
21.VI	KRA /SKM/	Sud des Iles Fidji, USCGS: 23,5°S 180,0°W, H=19 ^h 10 ^m 31,1 ^s , h=546 km; mb=5,0 /USCGS/ $\Delta=149,4^\circ$ iPKP ₁ iPKP ₂	19 29 20 27	23.VI	KRA /SKM/	Iles Samoa, USCGS: 14,9°S, 172,4°W, H=00 ^h 42 ^m 13,4 ^s , h=33 km $\Delta=143,7^\circ$ eiPKP eiPKP ₁	01 01 43 C 59
	NIE	$\Delta=149,8^\circ$ iPKP ₁ Z: 1 ^s ; 0,038 μ ePKP ₂	19 29 20,2 D 26		RAC /SK/	$\Delta=144,1^\circ$ ePKP	01 01 44
	RAC /SK/	$\Delta=150,1^\circ$ ePKP ₁ ePKP ₂	19 29 20 28		NIE	$\Delta=144,3^\circ$ eiPKP	01 01 45
21.VI		Région Nord du Chili, USCGS: 25,2°S, 70,5°W, H=20 ^h 09 ^m 28,4 ^s .		23.VI		Mer de Banda, USCGS: 5,8°S, 130,5°E, H=05 ^h 05 ^m 04,8 ^s , h= 85 km; mb=5,9 /USCGS/	

Date	Station	Phase	G.M.T. h m s	Date	Station	Phase	G.M.T. h m s
23.VI	NIE	$\Delta=107,5^\circ$ ePdif ei	05 19 01 23 13	23.VI		Région des Iles Fidji, USCGS: 21,3°S, 179,3°W, H=14 ^h 38 ^m 35,7 ^s , h=605 km; mb=5,1 /USCGS/ $\Delta=148,3^\circ$ RAC /SK/ ePKP	14 57 15
23.VI	NIE	Local eiPg _{NEZ} eSg _{NE} F	09 16 32 52 18,0		NIE	$\Delta=148,1^\circ$ iPKP	14 57 15,0 D
23.VI	NIE	Turquie, BCIS: 40,7°N, 33,6°E, H=10 ^h 06 ^m 58 ^s , h=55 km; mb=4,8 /USCGS/ $\Delta=12,6^\circ$ iP i eiPP eS	10 09 55,0 59 10 05 12 18	23.VI	NIE	Région des Nouvelles Hébrides, USCGS: 19,2°S, 167,7°E, H=21 ^h 30 ^m 11,5 ^s , h=37 km; mb=5,3 /USCGS/ $\Delta=140,3^\circ$. Traces ePKP	21 49 38
	KRA /GW/	$\Delta=13,2^\circ$. Traces e/P/ ei ei	10 10 14 19 32	24.VI	NIE	Local eiPg _{NEZ} eNEZ eiNEZ F	13 34 00 10 19 35,4
	RAC /SK/	$\Delta=14,3^\circ$. Traces eP	10 10 29	24.VI	KRA /SKM/	Sud des Iles Mariannes, USCGS: 12,5°N, 141,6°E, H=21 ^h 00 ^m 23,9 ^s , h=18 km; mb=5,5 /USCGS/ $\Delta=99,5^\circ$. Traces eP	21 14 06
23.VI	RAC /SK/	Tchécoslovaquie, explosion de 3,425 tonnes, BCIS: 51°22,3'N, 12°53,5'E $\Delta=3,7^\circ$ e e e F	14 08 40 48 09 01 11		NIE	$\Delta=99,8^\circ$ eP ei	21 14 07 18
	NIE	$\Delta=5,2^\circ$ eiP e F	14 09 03 26 10,3	24.VI	NIE	Iles Philippines, USCGS: 11,4°N, 125,7°E, H=21 ^h 03 ^m 36 ^s , h=53 km; mb=5,0 /USCGS/ $\Delta=91,3^\circ$ eP ei	21 16 37 49
23.VI	NIE	Local eNEZ iNEZ eNEZ F	14 30 11 14 21 31,5		KRA /SKM/	$\Delta=91,3^\circ$. Traces eP	21 16 46
				25.VI	NIE	Iles Kouriles, USCGS: 46,7°N, 152,5°E, H=00 ^h 54 ^m 30,7 ^s , h=33 km; mb=4,7 /USCGS/ $\Delta=75,9^\circ$ eP	01 06 15

Date	Station	Phase	G.M.T. h m s	Date	Station	Phase	G.M.T. h m s
25.VI		Hondo, Japon, USCGS: 33,4°N, 141,4°E, H=21 ^h 27 ^m 41,8 ^s , h=59 km		28.VI		Iles Kouriles, USCGS: 46,0°N, 151,5°E, H=01 ^h 10 ^m 03,9 ^s , h=33 km; mb=5,4 /USCGS/	
	NIE	Δ=82,5°			KRA	Δ=75,7°	
		eP	21 39 59		/SKM/	iP	01 21 46 C
		ePcP	40 11			eipP	52
25.VI		Sud des Iles Mariannes, USCGS: 12,4°N, 141,8°E, H=23 ^h 18 ^m 04,3 ^s , h=42 km; mb=5,6 /USCGS/			NIE	Δ=76,1°	
	KRA	Δ=99,7°				iP	01 21 48,9 C
	/SKM/	eP	23 31 46			iPcP	22 22
		eipP	54		RAC	Δ=76,3°. Traces	
		ePP	35 57		/SK/	eP	01 21 50
	/GW/	eIS	43 17	28.VI		Iles Samoa, USCGS: 14,4°S, 172,6°W, H=05 ^h 34 ^m 06,4 ^s , h=40 km; mb=4,8 /USCGS/	
	NIE	Δ=100,0°			NIE	Δ=143,7°	
		eP	23 31 46			ePKP	05 53 34
		eIPP	35 57			eipPKP	48
26.VI		Nevada, ISC, Edinburgh: 37,1°N, 116,2°W, H=16 ^h 00 ^m 02,2 ^s , h=20 km		28.VI		Local	
	NIE	Δ=85,5°. Traces			NIE	e/Pg/Z	10 00 08
		eP	16 12 41			eINEZ	13,0
26.VI		Local				ISNE	19,5
	NIE	eZ	18 29 36,5			F	01,0
	KRA	Traces		28.VI		Local	
	/SKM/	eipGN	18 29 43,8 C		NIE	e/Pg/Z	13 16 01
27.VI		Région des Iles Samoa, USCGS: 15,3°S, 171,8°W, H=19 ^h 42 ^m 10 ^s , h=33 km;		28.VI		Au large Ouest de la côte de l'île du Sud, USCGS: 47,0°S, 165,8°E, H=14 ^h 34 ^m 04,5 ^s , h=37 km; mb=5,6 /USCGS/	
	NIE	Δ=144,8°. Traces			NIE	Δ=156,9°	
		ePKP ₁	20 01 40			ePKP ₁	14 53 58
		ePKP ₂	47	29.VI		Kazakstan, région de Semipalatinsk, BCIS: 50,0°N, 78,0°E, H=02 ^h 57 ^m 00 ^s ; mPV=5,4 /Niedzica/	
27.VI		Taiwan, USCGS: 23,6°N, 121,5°E, H=23 ^h 06 ^m 47,0 ^s , h=45 km; mb=4,8 /USCGS/			KRA	Δ=36,6°	
	NIE	Δ=79,4°			/SKM/	eip	03 04 06 C
		eP	23 18 49			eipP	05 29
	KRA	Δ=79,4°			NIE	Δ=36,6°	
	/SKM/	eip	23 18 49 C			iP	03 04 08,0 C
		ePcP	56			Z: 1 ^s ; 0,055μ	
		ePP	19 01				

Date	Station	Phase	G.M.T. h m s	Date	Station	Phase	G.M.T. h m s
29.VI	NIE	ei	03 05 05	29.VI		Mer de Banda, USCGS: 7,2°S, 128,6°E, H=16 ^h 36 ^m 15,7 ^s , h=121 km; mb=5,4 /USCGS/	
/suite/					NIE	Δ=107,3°. Traces	
29.VI		Région ouest du Caucase, USCGS: 41,6°N, 44,0°E, H=08 ^h 22 ^m 47,9 ^s , h=25 km; mb=4,9 /USCGS/				ePKP	16 54 29
	NIE	Δ=18,2°			KRA	Δ=107,5	
		eP	08 27 01		/GW/	ePKP	16 54 31
		eipP	07			eIPP	56
		ePP	23			ePP	55 24
	KRA	Δ=18,6°				esPP	41
	/GW/	eP	08 27 05	30.VI		Région de l'île Jan Mayen, BCIS: 74,3°N, 15,6°W, H=00 ^h 13 ^m 51 ^s ; mb=4,6 /USCGS/	
		ePP	23		KRA	Δ=28,8°	
		eS	30 33		/SKM/	eip	00 19 26
		eISS	57			eP	36
29.VI		Région des Iles Samoa, USCGS: 15,8°S, 172,4°W, H=09 ^h 25 ^m 47,4 ^s , h=14 km; mb=4,8 /USCGS/				ePP	20 01
	NIE	Δ=145,1°. Traces			NIE	Δ=29,5°	
		ePKP	09 45 22			eP	00 19 32
29.VI		Local		1967	J U I L L E T		1967
	NIE	Traces		1.VII		Younglavie, BCIS: 43,9°N, 19,2°E, H=02 ^h 55 ^m 30 ^s ; M=5,0 /Moxa/, 4,2 /Beograd/	
		ePgZ	15 00 55		KRA	Δ=5,9°	
					/SKM/	ePn	02 57 02
						eSn	58 16
					RAC	Δ=6,0°	
					/SK/	ePg	02 57 34
				1.VII		Sumatra, USCGS: 0,8°S, 98,7°E, H=07 ^h 28 ^m 57 ^s , h=26 km	
					NIE	Δ=83,0°	
						eip	07 41 23
						eipP	31
				1.VII		Traces	
					KRA	Traces	
					/SKM/	eP	12 22 43
				1.VII		Péninsule de l'Alaska, USCGS: 54,0°N, 161,0°W, H=21 ^h 22 ^m 10,0 ^s , h=19 km; mb=4,5 /USCGS/	
					NIE	Δ=77,2°	
						eP	21 34 04
						ePcP	15
				1/2.VII		Sud de l'Alaska, USCGS: 54,4°N, 158,0°W, H=23 ^h 10 ^m 07,2 ^s , h=33 km; M=6¼ /Pasadena/, MLH=6,5 /Kra-ków/	
					RAC	Δ=76,0°	
					/SK/	eP	23 21 53
					KRA	Δ=76,1°	
					/SKM/	eip	23 21 54 D
					/GW/	ePP	24 44
						IS	31 33

Date	Station	Phase	G.M.T. h m s	Date	Station	Phase	G.M.T. h m s
1/2.VII	KRA	Lm	23 54 58	2.VII	KRA	ePcP	07 15 43
/suite/		N: 20 ^s ; 22,5 μ				ePP	18 09
		Lm	55 11			ePPP	19 51
		E: 18 ^s ; 11,0 μ				eIS	24 42
	NIE	$\Delta=76,5^{\circ}$				eSPP	25 31
		iP	23 21 56,8 D			eL	44,3
		ePcP	22 05		RAC	$\Delta=74,1^{\circ}$	
		ei	21	/SK/	eP	07 15 29	
		ePP	24 49	2.VII		Région de Hondo, USCGS: 33,0 ^N , 141,6 ^E , H=07 ^m 38 ^m 15,0 ^s , h=39 km;	
		iS	31 44			mb=5,0 /USCGS/	
		iScS	32 04		NIE	$\Delta=83,0^{\circ}$	
		ei	36 16			eP	07 50 34 C
2.VII		Yougoslavie, réplique du séisme, du 1.VII à 02 ^h 55 ^m , BCIS: 43,9 ^N , 19,2 ^E , H=00 ^h 31 ^m 37 ^s ; M=4,2 /Beo- grad/				eisP	48
	NIE	$\Delta=5,3^{\circ}$		2.VII		Sud de Hondo, Japon, USCGS: 32,9 ^N , 141,7 ^E , h=16 ^h 15 ^m 53 ^s , h=19 km; mb=5,0 /USCGS/	
		ePn	00 33 00		NIE	$\Delta=83,1^{\circ}$	
		eSSS	34 32			eiP	16 28 13 C
						ei	27
2.VII		Yougoslavie, réplique du séisme du 1.VII à 02 ^h 55 ^m , BCIS: H=01 ^h 14 ^m 06 ^s ; M=4,0 /Beograd/		2.VII		Kiou-Siou, Japon, USCGS: 31,2 ^N , 130,1 ^E , H=20 ^h 34 ^m 36,2 ^s , h=181 km	
	NIE	$\Delta=5,3^{\circ}$				mb=4,9 /USCGS/	
		eiPn	01 15 30		KRA	$\Delta=78,5^{\circ}$	
		eSg	17 19	/SKM/	iP	20 46 17,5 C	
	KRA	$\Delta=5,9^{\circ}$				ePcP	26
	/GW/	ePn	01 15 43		NIE	$\Delta=78,5^{\circ}$	
		ei	17 22			iP	20 46 18,0 C
		eL	20,4			Z: 0,8 ^s ; 0,078 μ	
2.VII		Yougoslavie, ISC, Edinburgh: 43,6 ^N , 20,3 ^E , H=01 ^h 17 ^m 10 ^s , h=0				eiPcP	22
	NIE	$\Delta=5,8^{\circ}$				epP	47 02
		iPn	01 18 36,0	3.VII		Yougoslavie, USCGS: 44,2 ^N , 19,2 ^E , H=02 ^h 53 ^m 48 ^s , h=60 km;	
						M=4,8 /Beograd/	
2.VII		Région des Iles Nicobar, USCGS: 8,7 ^N , 93,8 ^E , H=07 ^h 03 ^m 52,9 ^s , h=33 km; mb=5,7 /USCGS/			NIE	$\Delta=5,0^{\circ}$	
	NIE	$\Delta=72,7^{\circ}$				iPn	02 55 07,0 C
		eP	07 15 16			i	13
		i	20			eiPP	22
		eipP	30			i	31
	KRA	$\Delta=73,0^{\circ}$				eL	56,1
/GW/	eiP	07 15 23				Lm	57,1
						NEZ: 1,2 ^s ; 1,2 ^s ; 1 ^s ; 0,4 μ , 0,18 μ 0,1 μ	

Date	Station	Phase	G.M.T. h m s	Date	Stat	Phase	G.M.T. h m s
3.VII	KRA	$\Delta=5,6^{\circ}$		4.VII	KRA	eiS	00 02 56
/suite/	/SKM/	ePn	02 55 15			eScS	03 30
		ePP	24			eL	15,5
	/GW/	eSn	56 37		NIE	$\Delta=75,0^{\circ}$	
		eS ^K	55			iP	23 53 38,0 C
	RAC	$\Delta=5,7^{\circ}$				Z: 0,8 ^s ; 0,211 μ	
	/SK/	ePn	02 55 24			ei	45
		ePP	33			ipP	54 18
		eS	54			i	56 04
3.VII		Iles Kouriles, USCGS: 43,6 ^N , 147,0 ^E , H=05 ^h 09 ^m 28,1 ^s , h=33 km;				eS	00 03 03
		mb=4,2 /USCGS/			RAC	$\Delta=75,3^{\circ}$	
	NIE	$\Delta=76,5^{\circ}$		/SK/	eP	23 53 41	
		eP	05 21 16			ePcP	53
		epP	27			epP	54 17
3.VII		Local		5.VII		Mer Ionienne, BCIS: 36,7 ^N , 21,5 ^E , H=00 ^h 53 ^m 15 ^s ; ML=4,6	
	NIE	Traces				/Athènes/	
		ePNEZ	19 14 23,5		NIE	$\Delta=12,5^{\circ}$	
		eNEZ	30,5			eP	00 56 15
		eL/NEZ	42			ePPP	34
3.VII		Région de l'Ile Ascension, USCGS: 7,5 ^S , 13,4 ^W , H=21 ^h 48 ^m 50,9 ^s , h= 33 km; mb=4,8 /USCGS/				e	54
	KRA	$\Delta=64,0^{\circ}$. Traces			KRA	$\Delta=13,1^{\circ}$	
	/SKM/	eP	21 59 16		/GW/	eP	00 56 24
		epP	24			ePP	42
	NIE	$\Delta=63,6^{\circ}$				ei	01 00 54
		eP	21 59 23		RAC	$\Delta=13,4^{\circ}$	
4.VII		Près de la côte du Chili, Moskva: 36,0 ^S , 75,1 ^W , H=14 ^h 16 ^m 53 ^s ; M=5 $\frac{1}{2}$ /Moskva/			/SK/	eP	00 56 29
	NIE	$\Delta=119,5^{\circ}$		5.VII		Sud de l'Alaska, USCGS: 54,5 ^N , 157,0 ^W , H=04 ^h 03 ^m 06 ^s , h=33 km;	
		ePKP	14 35 40			mb=4,8 /USCGS/	
		ei	47		NIE	$\Delta=76,7^{\circ}$	
4.VII		Hokkaido, Japon, USCGS: 43,2 ^N , 142,5 ^E , H=23 ^h 42 ^m 13,7 ^s , h=160 km;				eP	04 14 55
	KRA	$\Delta=74,7^{\circ}$				ePcP	15 05
	/SKM/	iP	23 53 36,0 C				
		Z: 0,5 ^s ; 0,23 μ		5.VII		Iles Riou-Kiou, USCGS: 25,6 ^N , 126,0 ^E , H=09 ^h 01 ^m 05 ^s , h=33 km;	
	/GW/	ePcP	52			mb=4,7 /USCGS/	
		eipP	54 14		NIE	$\Delta=80,5^{\circ}$. Traces	
						eP	09 13 18
				5.VII		Mer Ionienne, BCIS: 36,7 ^N , 21,5 ^E , H=16 ^h 49 ^m 34 ^s ; ML=4,0	
						/Athènes/	

Date	Station	Phase	G.M.T. h m s	Date	Station	Phase	G.M.T. h m s
5.VII	NIE	$\Delta=12,5^\circ$ eP	16 52 34	6.VII		Iles aux Renards, USCGS: 52,6°N, 168,2°W, H=13 ^h 42 ^m 22,5 ^s , h=14 km; mb=5,9 /USCGS/	
5.VII	NIE	Local			KRA	$\Delta=77,7^\circ$	
		eP _{NEZ}	19 22 20,7		/SKM/	iP	13 54 19,0C C
		e _{NEZ}	38,7		/GW/	eiPoP	32
5.VII		Laçon, Philippines, USCGS: 13,8°N 122,2°E, H=21 ^h 09 ^m 06 ^s , h=40 km				eiS	14 04 12
	NIE	$\Delta=87,3^\circ$				eSKS	26
		eP	21 21 51			eL	13,8
6.VII		Péninsule de l'Alaska, USCGS: 62,4°N, 147,4°W, H=05 ^h 06 ^m 13,4 ^s , h=59 km; mb=5,1 /USCGS/			RAC	$\Delta=77,8^\circ$	
	NIE	$\Delta=68,4^\circ$			/SK/	eP	13 54 21
		eP	05 17 09			esP	37
		ei	23		NIE	$\Delta=78,4^\circ$	
6.VII		Mer Ionienne, BCIS: 36,6°N, 21,4°E, H=08 ^h 21 ^m 49 ^s ; ML=4,2 /Athènes/				eP	13 54 22 C
	NIE	$\Delta=12,6^\circ$				eiPoP	35
		eP	08 24 50			e	56 15
		ePP	25 02			eS	14 04 03
	KRA	$\Delta=13,2^\circ$				eSKS	31
	/GW/	eP	08 25 04	6.VII		Petites Antilles, USCGS: 18,9°N, 61,9°W, H=18 ^h 32 ^m 15,1 ^s , h=57 km; mb=5,1 /USCGS/	
6.VII		Local			NIE	$\Delta=70,9^\circ$	
	KRA					eP	18 43 29
	/SKM/	e/P _{NEZ}	12 02 29			eiPoP	44
	e/S _{NEZ}		50	6.VII		Région Est du Golfe du Aden, USCGS: 13,4°N, 50,8°E, H=18 ^h 58 ^m 39,7 ^s , h=44 km; mb=4,9 /USCGS/. M=5 ¹ / ₄ /Moskva/	
	F		03,5		NIE	$\Delta=43,6^\circ$. Traces	
	NIE					eP	19 06 42
		eP _{NEZ}	12 02 30	6.VII		Crête médiane de l'Océan Atlantique, USCGS: 8,0°N, 38,5°W, H=19 ^h 19 ^m 48,4 ^s , h=33 km; mb=4,9 /USCGS/	
		ei _{NEZ}	37,4		NIE	$\Delta=63,8^\circ$	
		iS _{NEZ}	50,4			eP	19 30 20
		i _N	03 05			ei	44
	RAC				KRA	$\Delta=63,8^\circ$. Traces	
	/SE/	e _{NE}	12 02 32		/GW/	eP	19 30 22
		e _{NEZ}	49			ePP	32 42
		F	05			ePPP	34 26
6.VII		Local				eS	38 56
	NIE	Traces				eL	50,5
		eP _{NEZ}	12 30 42				



Date	Station	Phase	G.M.T. h m s	Date	Station	Phase	G.M.T. h m s
6.VII		Région de Kiou-Siou, USCGS: 32,5°N, 130,9°E, H=23 ^h 15 ^m 57,2 ^s , h=159 km; mb=4,8 /USCGS/		8.VII		Nouvelles Hébrides, USCGS: 15,4°S, 167,5°E, H=00 ^h 58 ^m 54,7 ^s , h=137 km; mb=5,2 /USCGS/	
	NIE	$\Delta=78,0^\circ$			KRA	$\Delta=136,8^\circ$	
		eiP	23 27 39 C		/SKM/	eiPKP	01 18 02 D
		epP	28 18		/GW/	ei	20 44
7.VII		Golfe d'Aden, USCGS: 13,5°N, 50,8°E, H=01 ^h 09 ^m 59 ^s , h=32 km; mb=4,8 /USCGS/				eiSKS	21 49
	NIE	$\Delta=43,6^\circ$. Traces		7.VII		Nouvelles Hébrides, USCGS: 16,3°S, 166,8°E, H=06 ^h 22 ^m 52,8 ^s , h=9 km; mb=5,0 /USCGS/	
		eP	01 18 03		NIE	$\Delta=137,0^\circ$	
7.VII		Mer du Japon, USCGS: 41,5°N, 132,9°E, H=04 ^h 37 ^m 34,8 ^s , h=474 km; mb=4,6 /USCGS/			RAC	$\Delta=137,5^\circ$	
	NIE	$\Delta=72,0^\circ$. Traces			/SK/	ePKP	01 18 04
		eiP	04 48 12	8.VII		Nouvelles Hébrides, USCGS: 16,3°S, 166,8°E, H=06 ^h 22 ^m 52,8 ^s , h=9 km; mb=5,0 /USCGS/	
7.VII		Région des Iles Fidji, USCGS: 20,3°S, 177,7°W, H=09 ^h 42 ^m 08 ^s , h=540 km; mb=4,6 /USCGS/			NIE	$\Delta=137,4^\circ$	
	NIE	$\Delta=147,8^\circ$				ePKP	06 42 19
		ePKP ₁	10 00 50	8.VII		Région des Iles Fidji, USCGS: 19,9°S, 178,1°W, H=13 ^h 13 ^m 29,1 ^s , h=520 km; mb=4,3 /USCGS/	
		iPKP ₂	53		NIE	$\Delta=147,3^\circ$	
7.VII		Mindanao, Philippines, USCGS: 8,7°N, 126,1°E, H=13 ^h 28 ^m 39,1 ^s , h=195 km; mb=5,5 /USCGS/				iPKP ₁	13 32 14,4 D
	NIE	$\Delta=93,6^\circ$. Traces		9.VII		Région de Hokkaido, USCGS: 44,0°N, 144,7°E, H=03 ^h 09 ^m 03,2 ^s , h=100 km; mb=4,6 /USCGS/	
		eiP	13 41 34		NIE	$\Delta=75,2^\circ$	
		Z: 1 ^s ; 0,08 μ				iP	03 20 36,0 C
7.VII		Région frontière Inde-Chine, USCGS: 27,8°N, 92,9°E, H=22 ^h 56 ^m 30,8 ^s , h=33 km; mb=4,9 /USCGS/		9.VII		Crête médiane de l'Océan Atlantique, USCGS: 19,2°N, 46,0°W, H=21 ^h 31 ^m 07,8 ^s , h=18 km; mb=4,6 /USCGS/	
	NIE	$\Delta=58,4^\circ$. Traces			NIE	$\Delta=60,3^\circ$. Traces	
		eiP	23 06 22,5			eP	21 41 19
7.VII		Traces		10.VII		Kamchatka, USCGS: 59,8°N, 161,1°E, H=03 ^h 17 ^m 37 ^s , h=33 km; mb=4,4 /USCGS/	
	NIE	Traces					
		eiP	23 50 14				
8.VII		Près de la côte de Hondo, USCGS: 38,2°N, 141,7°E, H=00 ^h 42 ^m 18 ^s , h=68 km; mb=4,2 /USCGS/					
	NIE	$\Delta=78,7^\circ$. Traces					
		eP	00 54 14				

Date	Station	Phase	G.M.T. h m s	Date	Station	Phase	G.M.T. h m s
10.VII	NIE	$\Delta=66,8^\circ$. Traces		12.VII	NIE		
/suite/	eP		03 28 26		eiP		05 35 17,5
10.VII		Kamchatka, USCGS: 59,8°N, 161,1°E		12.VII		Péninsule de l'Alaska, USCGS:	
		H=03 ^h 36 ^m 39 ^s , h=33 km; mb=4,5				54,9°N, 161,1°W, H=10 ^h 32 ^m 01,6 ^s ,	
	NIE	$\Delta=66,8^\circ$. Traces			NIE	$\Delta=76,3^\circ$. Traces	
	eP		03 47 28		eP		10 43 51
10.VII		Mer de Java, USCGS: 5,9°S, 113,1°E			ePcP		44 02
		H=12 ^h 01 ^m 31,5 ^s , h=591 km; mb=5,4		12.VII		S Panama, USCGS: 5,6°N, 82,6°W,	
		/USCGS/				H=21 ^h 00 ^m 20,9 ^s , h=33 km; M=6,5	
	NIE	$\Delta=96,2^\circ$				/Pasadena/	
	eP		12 13 58		KRA	$\Delta=93,8^\circ$	
	epP		16 06		/SKM/	eP	21 13 45
	ePP		18 02		NIE	$\Delta=94,2^\circ$. Traces	
	KRA	$\Delta=96,5^\circ$			eiP		21 13 48
	/GW/	eiSKS	12 23 41	13.VII		Algérie, BCIS: 35,4°N, 0,2°W,	
	eS		24 29			H=02 ^h 10 ^m 24 ^s ; MLH=5,1 /Strasbourg/	
10.VII		Sud de Mindanao, Moskva: 4,8°N,			NIE	$\Delta=20,4^\circ$	
		127,1°E, H=19 ^h 18 ^m 14,7 ^s , h=118 km;			iP		02 15 00,0 D
		mb=5,2 /USCGS/			i		02
	KRA	$\Delta=97,3^\circ$			ePP		19
	/SKM/	eP	19 31 36		KRA	$\Delta=20,6^\circ$	
	e		48		/SKM/	eP	02 15 01
11.VII		Yougoslavie, BCIS: 44,5°N, 17,3°E,		13.VII		Albanie, USCGS: 40,7°N, 19,5°E,	
		H=12 ^h 41 ^m 19 ^s ; M=4,3 /Beograd/				H=14 ^h 38 ^m 54 ^s , h=23 km; M=4,6	
	NIE	$\Delta=5,1^\circ$				/Beograd/	
	ePn		12 42 40		NIE	$\Delta=8,4^\circ$	
	eiP ^x		54		eiP		14 41 04
	ePg		43 03		eS		42 59
	KRA	$\Delta=5,6^\circ$. Traces			KRA	$\Delta=9,1^\circ$	
	/SKM/	ePn	12 42 46		/GW/	eP	14 41 11
	RAC	$\Delta=5,4^\circ$			eiPPP		31
	/SK/	ePn	12 42 47		eS ^x		43 30
11.VII		Région des Iles Fidji, USCGS:		14.VII		Crête médiane de l'Océan	
		19,4°S, 177,7°W, H=17 ^h 31 ^m 23 ^s ,				Indien, USCGS: 16,4°S, 66,8°E,	
		h=381 km; mb=4,2 /USCGS/				H=18 ^h 35 ^m 46,7 ^s , h=33 km; mb=5,2	
	NIE	$\Delta=147,0^\circ$. Traces				/USCGS/	
	ePKP ₁		17 50 19		NIE	$\Delta=77,1^\circ$	
	ePKP ₂		22		eiP		18 47 40

Date	Station	Phase	G.M.T. h m s	Date	Station	Phase	G.M.T. h m s
15.VII		Kazakstan, URSS; BCIS: 50,0°N,		16.VII	NIE	$\Delta=5,6^\circ$. Traces	
		78,0°E, H=03 ^h 27 ^m 00 ^s ; mb=5,4			ePPP		19 03 32
		/USCGS/			eSS		04 33
	KRA	$\Delta=36,6^\circ$		16.VII		Iles Tonga, USCGS: 16,8°S,	
	/SKM/	eiP	03 34 08 C			173,4°W, H=21 ^h 11 ^m 16,5 ^s , h=24 km;	
	NIE	$\Delta=36,6^\circ$				mb=4,9 /USCGS/	
	iP		03 34 08,4 C		NIE	$\Delta=145,6^\circ$	
		Z: 0,9 ^s ; 0,1 μ			ePKP ₁		21 30 56
	ei		19		esPKP ₂		31 03
	ePP		35 29	18.VII		Traces	
15.VII		Local			NIE	eP	00 03 05,6
	NIE			18.VII		Près de la côte E de Hondo,	
	eiPg _Z		14 32 52,1			USCGS: 40,1°N, 142,4°E, H=16 ^h 59 ^m	
	eSg _{NEZ}		33 08,6			21,9 ^s , h=52 km; mb=4,4 /USCGS/	
	F		34 00		NIE	$\Delta=77,5^\circ$	
15.VII		Mindanao, Philippines, USCGS:			eiP		17 11 13,5 C
		6,8°N, 126,3°E, H=14 ^h 40 ^m 35,0 ^s ,			epP		27
		h=37 km; mb=5,3 /USCGS/		19.VII		Sud Ouest de l'Anatolie, BCIS:	
	NIE	$\Delta=95,2^\circ$				38,1°N, 28,9°E, H=09 ^h 06 ^m 22 ^s ;	
	eP		14 53 57			ML=4,6 /Athènes/, MLH=4,6 /Kra-	
15.VII		Région des Iles Fidji, USCGS:				ków/	
		21,9°S, 179,6°W, H=17 ^h 04 ^m 13 ^s ,			NIE	$\Delta=12,7^\circ$	
		h=574 km; mb=4,1 /USCGS/			eP		09 09 24
	NIE	$\Delta=148,5^\circ$			ePPPP		48
	eiPKP ₁		17 22 56,1 D		KRA	$\Delta=13,3^\circ$	
		Z: 1 ^s ; 0,01 μ			/GW/	eiP	09 09 30
16.VII		Local			eS		12 20
	NIE	Traces			Lm		16 09
	ePg _{NEZ}		10 46 29,8			NE: 7,0 ^s ; 6,0 ^s ; 1,4 μ , 1,0 μ	
16.VII		Région de la Nouvelle Guinée,		19.VII		Local, Carpathes ?	
		USCGS: 0,8°S, 132,6°E, H=13 ^h 34 ^m			NIE		
		29,9 ^s , h=33 km; M=6,0 /Pasadena/			iPg _{NEZ}		11 33 35,5 C
	NIE	$\Delta=105,0^\circ$. Traces			iSg _{NEZ}		41,5
	ePKP		13 48 45		Lm		48
16.VII		France, BCIS: 47,3°N, 5,4°E,				EZ: 0,8 ^s ; 1 ^s ; 0,11 μ , 0,06 μ	
		H=14 ^h 04 ^m 11 ^s , h=20 km			F		34 50
	RAC	$\Delta=8,9^\circ$. Traces		20.VII		Iles Kouriles, USCGS: 44,4°N,	
	/SK/	e	14 08 54			149,3°E, H=06 ^h 57 ^m 31 ^s , h=33 km;	
	eSg		09 00			mb=4,4 /USCGS/	
16.VII		Yougoslavie, BCIS: 44,0°N,					
		17,0°E, H=19 ^h 01 ^m 49 ^s					

Date	Station	Phase	G.M.T. h m s	Date	Station	Phase	G.M.T. h m s
20.VII	NIE	$\Delta=76,7^\circ$. Traces		20.VII	KRA	$\Delta=151,5^\circ$	
/suite/	eP	07 09 20		/SKM/	eiPKP ₁	23 31 41,7 D	
20.VII		Iles aux Rats, USCGS: 51,4 ⁰ N, 178,3 ⁰ E, H=14 ^h 26 ^m 14,1 ^s , h=33 km;			RAC	$\Delta=152,2^\circ$	
	NIE	$\Delta=78,1^\circ$		/SK/	ePKP ₁	23 31 44	
	eP	14 38 10		21.VII		Région des Iles Fidji, USCGS: 21,3 ⁰ S, 176,2 ⁰ W, H=12 ^h 45 ^m 57 ^s , h=199 km; mb=4,5 /USCGS/	
	RAC	$\Delta=77,7^\circ$			NIE	$\Delta=149,2^\circ$	
/SK/	eP	14 38 11			ePKP ₁	13 05 27	
20.VII		A l'Ouest des Iles Carolines, USCGS: 7,7 ⁰ N, 134,9 ⁰ E, H=15 ^h 36 ^m 20,1 ^s , h=8 km; mb=5,8 /USCGS/		22.VII		Sud des Iles Kermadec, USCGS: 33,5 ⁰ S, 179,0 ⁰ W, H=03 ^h 58 ^m 02,4 ^s , h=39 km; mb=5,0 /USCGS/	
	NIE	$\Delta=99,8^\circ$			RAC	$\Delta=159,3^\circ$	
	eP	15 50 06		/SK/	ePKP ₁	04 17 52	
	i	08			ePKP ₂	18 32	
	ei	36		KRA	$\Delta=158,5^\circ$		
	RAC	$\Delta=100,8^\circ$		/SKM/	ePKP ₁	04 17 56	
/SK/	eP	15 50 11			e	18 42	
20.VII		Yougoslavie, BCIS: 45,6 ⁰ N, 14,5 ⁰ E H=16 ^h 20 ^m 02 ^s ; mb=4,3 /USCGS/			NIE	$\Delta=158,8^\circ$	
	NIE	$\Delta=5,3^\circ$. Traces			ePKP ₁	04 17 57	
	ePg	16 21 48			ePKP ₂	18 32	
20.VII		Albanie, BCIS: 40,7 ⁰ N, 19,7 ⁰ E, H=19 ^h 03 ^m 28 ^s ; ML=4,2 /Athènes/		22.VII			
	NIE	$\Delta=8,5^\circ$			KRA	Traces	
	iP	19 05 35,5 C		/SKM/	eP	04 27 45	
	ei	40			i	56	
	eiPPP	54			NIE		
	eSg	08 19			eP	04 27 49	
	KRA	$\Delta=9,0^\circ$			e	28 09	
/SKM/	eiP	19 05 44		22.VII		Pas de Calais, explosion, USCGS: 51,4 ⁰ N, 1,3 ⁰ E, H=10 ^h 59 ^m 05 ^s ; mb=4,7 /USCGS/	
	ePP	52			RAC	$\Delta=10,8^\circ$	
	eSS	07 37		/SK/	eL	11 05 13	
20.VII		Sud des Iles Fidji, USCGS: 26,5 ⁰ S 178,5 ⁰ E, H=23 ^h 12 ^m 54,4 ^s , h=596 km		22.VII		Turquie, BCIS: 40,7 ⁰ N, 30,8 ⁰ E, H=16 ^h 56 ^m 53,1 ^s , h=4 km; M=7¼	
	NIE	$\Delta=151,7^\circ$			NIE	$\Delta=11,2^\circ$	
	ePKP ₁	23 31 36			iP	16 59 39,6 D	
	i	43			KRA	$\Delta=11,8^\circ$	
				/SKM/	iP	16 59 46,7 D	

Date	Station	Phase	G.M.T. h m s	Date	Station	Phase	G.M.T. h m s
22.VII	KRA	1S	17 01 46	22.VII	NIE	$\Delta=11,1^\circ$	
/suite/	i	02 49		eP	20 38 24		
	RAC	$\Delta=12,7^\circ$		e	39 11		
/SK/	eiP	17 00 00		22.VII		Turquie, USCGS: 40,5 ⁰ N, 30,5 ⁰ E, H=21 ^h 21 ^m 34 ^s , h=16 km; mb=4,4	
	ePP	09		/USCGS/	NIE	$\Delta=11,3^\circ$. Traces	
	eS	02 29			eP	21 24 18	
22.VII		Turquie, Athènes: 40,4 ⁰ N, 30,2 ⁰ E H=17 ^h 30 ^m 11 ^s		22.VII		Turquie, USCGS: 40,7 ⁰ N, 30,7 ⁰ E, H=22 ^h 08 ^m 30 ^s , h=33 km; mb=4,5	
	NIE	$\Delta=11,2^\circ$		/USCGS/	NIE	$\Delta=11,1^\circ$. Traces	
	eiP	17 32 43,6		e/P/	22 11 16		
22.VII		Turquie, BCIS: 40,7 ⁰ N, 30,6 ⁰ E, H=17 ^h 48 ^m 06,1 ^s ; mb=5,0 /USCGS/		22.VII		Turquie, BCIS: 40,8 ⁰ N, 30,8 ⁰ E, H=23 ^h 41 ^m 56 ^s ; mb=4,7 /USCGS/	
	NIE	$\Delta=11,1^\circ$			NIE	$\Delta=11,2^\circ$	
	eP	17 50 51			eiP	23 44 43	
	KRA	$\Delta=11,8^\circ$			ePP	53	
/SKM/	eP	17 50 59			KRA	$\Delta=11,9^\circ$	
	RAC	$\Delta=12,6^\circ$		/SKM/	eP	23 44 51	
/SK/	eP	17 51 00			ei	56	
22.VII		Turquie, ISC, Edinburgh: 40,7 ⁰ N, 30,8 ⁰ E, H=18 ^h 04 ^m 42 ^s		23.VII		Région frontiere URSS-Afghani- stan, USCGS: 36,9 ⁰ N, 71,4 ⁰ E, H=01 ^h 16 ^m 43 ^s , h=180 km; mb=4,6	
	NIE	$\Delta=11,4^\circ$		/USCGS/	NIE	$\Delta=38,6^\circ$. Traces	
	eP	18 07 21,6			eP	01 23 52	
22.VII		Turquie, BCIS: 40,9 ⁰ N, 30,4 ⁰ E, H=18 ^h 09 ^m 52 ^s , h=33 km			epP	24 17	
	NIE	$\Delta=10,9^\circ$		23.VII		Turquie, Moskva: 41,2 ⁰ N, 30,7 ⁰ E, H=02 ^h 07 ^m 54 ^s	
	eP	18 12 36			NIE	$\Delta=10,8^\circ$. Traces	
	ePP	45			eP	02 10 34	
	KRA	$\Delta=11,5^\circ$		23.VII		Nouvelles Hébrides, USCGS: 15,7 ⁰ S, 167,1 ⁰ E, H=03 ^h 08 ^m 43,7 ^s , h=33 km; mb=4,9 /USCGS/	
/SKM/	eP	18 12 45			NIE	$\Delta=137,0^\circ$. Traces	
	ePP	57			ePKP	03 28 06	
	RAC	$\Delta=12,4^\circ$		23.VII		Turquie, BCIS: 40,7 ⁰ N, 30,8 ⁰ E, H=04 ^h 03 ^m 35 ^s ; mb=4,5 /USCGS/	
/SK/	eP	18 13/00/					
22.VII		Turquie, USCGS: 40,8 ⁰ N, 30,9 ⁰ E, H=19 ^h 47 ^m 26 ^s , h=33 km; mb=4,6					
	NIE	$\Delta=11,2^\circ$. Traces					
	eP	19 50 07					
22.VII		Turquie, USCGS: 40,6 ⁰ N, 30,4 ⁰ E, H=20 ^h 35 ^m 40,8 ^s , h=16 km					

Date	Station	Phase	G.M.T. h m s	Date	Station	Phase	G.M.T. h m s
23.VII	NIE	$\Delta=11,1^\circ$. Traces /suite/ eP	04 06 23	26.VII	NIE	e	09 19 17
23.VII	NIE	Turquie, BCIS: 40,7°N, 30,8°E, H=04 ^h 48 ^m 48 ^s ; mb=4,5 /USCGS/ $\Delta=11,1^\circ$ eP iPP	04 51 34 43	26.VII	NIE	Mer du Groenland, USCGS: 73,4°N, 7,2°E, H=09 ^h 30 ^m 43 ^s , h=33 km $\Delta=25,0^\circ$ eP epP	09 36/06/ 13
23.VII	NIE	Turquie, BCIS: 40,7°N, 30,8°E, H=07 ^h 42 ^m 26 ^s ; mb=4,1 /USCGS/ $\Delta=11,1^\circ$ eP eiPP	07 45 06 14	26.VII	NIE	Anatolie orientale, BCIS: 39,6°N, 40,4°E, H=18 ^h 52 ^m 59,2 ^s ; MLH=6,4 /Strasbourg/, 5,9 /Niedzica/ $\Delta=17,2^\circ$ eP iPP iPPP eiSS i Lm	18 57 02 12 22 19 00 30 01 16 06,0
23.VII	NIE	Iles Tonga, USCGS: 20,0°S, 175,5°W, H=18 ^h 44 ^m 13,6 ^s , h=77 km; mb=4,9 /USCGS/ $\Delta=148,3^\circ$ ePKP ₁ eiPKP ₂	19 03 48 51	26.VII	RAC /SK/	NEZ: 9 ^s ; 9 ^s ; 8 ^s ; 30 μ , 18 μ , 9 μ $\Delta=18,7^\circ$ eP	18 57 22
25.VII	NIE	Région frontière Grèce-Bulgarie, USCGS: 41,9°N, 24,6°E, H=08 ^h 37 ^m 26 ^s , h=33 km; mb=4,2 /USCGS/ $\Delta=7,8^\circ$ eP e	08 39 21 40 13	27.VII	NIE	Crète, USCGS: 34,3°N, 26,7°E, H=04 ^h 54 ^m 52 ^s , h=53 km; mb=4,2 /USCGS/ $\Delta=15,6^\circ$. Traces e/P/	04 58 42
25.VII	NIE	Roumanie, USCGS: 45,8°N, 26,5°E, H=12 ^h 33 ^m 23,5 ^s , h=146 km; mb=3,9 /USCGS/ $\Delta=5,4^\circ$ iPn Z: 0,8 ^s ; 0,08 μ ePP	12 34 47,5 D 55	27.VII	RAC /SK/	Islande, BCIS: 63,9°N, 21,0°W, H=05 ^h 17 ^m 52,4 ^s ; MLH=4,8 /Stras- bourg/ $\Delta=25,0^\circ$ eP	05 23 17
26.VII	NIE	Iles Kermadec, USCGS: 31,8°S, 178,7°W, H=06 ^h 31 ^m 10,6 ^s , h=37 km, mb=5,1 /USCGS/ $\Delta=157,5^\circ$. Traces ePKP ₁ ePKP ₂	06 51 03 52 32	27.VII	NIE	Sud de l'Océan Indien, USCGS: 35,1°S, 54,0°E, H=11 ^h 35 ^m 33,8 ^s , h=33 km; mb=5,0 /USCGS/ $\Delta=89,1^\circ$ eP epP	11 48 27 35
26.VII	NIE	Turquie, BCIS: 40,7°N, 30,8°E, H=09 ^h 16 ^m 00 ^s ; mb=4,5 /USCGS/ $\Delta=11,1^\circ$ eiP	09 18 50,2	27.VII	NIE	Local eiPg _{NEZ} eiSg _E	14 05 09,6 12,6

Date	Station	Phase	G.M.T. h m s	Date	Station	Phase	G.M.T. h m s
27.VII	NIE	eiSg _{NZ} F	14 05 12,9 05,6	29.VII	NIE	$\Delta=77,1^\circ$. Traces eP ePoP	03 09 11 21
28.VII	NIE	Région de Hokkaido, USCGS: 42,6°N, 145,4°E, H=09 ^h 44 ^m 21,1 ^s , h=142 km; mb=3,9 /USCGS/ $\Delta=76,7^\circ$. Traces eP epP	09 56 01 20	29.VII	RAC /SK/	Région Nord de la Colombie, USCGS: 6,8°N, 73,0°W, H=10 ^h 24 ^m 24 ^s , h=161 km; mb=6,0 /USCGS/ $\Delta=85,6^\circ$ eP	10 36 49
28.VII	NIE	Région des Iles Fidji, USCGS: 20,7°S, 178,5°W, H=14 ^h 25 ^m 50,1 ^s , h=555 km; mb=4,7 /USCGS/ $\Delta=147,9^\circ$ iPKP ₁ Z: 1 ^s ; 0,02 μ iPKP ₂ e	14 44 33,3 D 38 51	29.VII	NIE	$\Delta=87,1^\circ$ eP i i iSKKS iS	10 36 54 37 42 38 13 44 47 09 48 33
28.VII	RAC /SK/	$\Delta=148,0^\circ$ ePKP ₁	14 44 34	29.VII	NIE	Proche eP _{NEZ} e _{NE} iEZ	13 35 45 36 18 31
28.VII	RAC /SK/	République Fédérale Allemande explosion, BCIS: 51°14,0'N, 9°51,6'E, H=15 ^h 05 ^m 11 ^s ; M=3¼ /Bensberg/ $\Delta=5,5^\circ$ eL	15 08 07	29.VII	NIE	Région des Iles Fidji, USCGS: 17,1°S, 177,1°W, H=22 ^h 04 ^m 27 ^s , h=187 km; mb=4,2 /USCGS/ $\Delta=145,0^\circ$. Traces eP	22 23 45
28.VII	RAC /SK/	Islande, BCIS: 64,0°N, 20,6°W, H=15 ^h 35 ^m 02,4 ^s ; mb=4,6 /USCGS/ $\Delta=24,9^\circ$ eP	15 40 28	30.VII	RAC /SK/	Près de la côte du Vénézuéla, USCGS: 10,6°N, 67,3°W, H=23 ^h 59 ^m 58,7 ^s , h=10 km; M=6,5 /Pa- sadena/ $\Delta=79,1^\circ$ eP epP	00 12 06 13
28.VII	NIE	$\Delta=26,4^\circ$ eP epP	15 40 38 46	30.VII	NIE	$\Delta=80,5^\circ$ eP i eS	00 12 14 35 22 15
28.VII	NIE	Nord de Sumatra, USCGS: 2,1°N, 98,0°E, H=17 ^h 27 ^m 35,7 ^s , h=32 km; mb=5,1 /USCGS/ $\Delta=80,3^\circ$ eiP	17 39 45,4 C	30.VII	NIE	Turquie, BCIS: 40,7°N, 30,6°E, H=01 ^h 31 ^m 02 ^s ; mb=5,6 /USCGS/ $\Delta=11,1^\circ$ eiP	01 33 44 D

Date	Station	Phase	G.M.T. h m s	Date	Station	Phase	G.M.T. h m s
30.VII	NIE	1	01 33 46	30.VII	NIE	$\Delta=121,1^\circ$	
/suite/		iPP	57			ePKP	13 54 08
		eL	36,6	30.VII		Région des Iles Fidji, USCGS:	
RAC		$\Delta=12,6^\circ$				17,8°S, 178,8°W, H=17 ^h 24 ^m 43,1 ^s ,	
/SK/		eP	01 34 08			h=564 km; mb=5,1 /USCGS/	
		ePP	14	NIE		$\Delta=145,1^\circ$	
		ePPP	24			iPKP ₁	17 43 18,6 C
30.VII		Turquie, Uppsala: H=10 ^h 25 ^m 09 ^s				Z: 1 ^s ; 0,03 μ	
NIE		Traces				i	46 04
		eP	10 27 52	RAC		$\Delta=145,2^\circ$	
30.VII		A l'Ouest de l'Ile Macquarie,		/SK/		ePKP ₁	17 43 19
		USCGS: 56,2°S, 146,9°E, H=10 ^h		30.VII		Turquie, BCIS: 40,7°N, 30,8°E,	
		49 ^m 32,8 ^s , h=33 km; mb=5,1				H=18 ^h 58 ^m 41 ^s	
		/USCGS/		NIE		$\Delta=11,1^\circ$. Traces	
NIE		$\Delta=147,6^\circ$				eP	19 01 27
		ePKP ₁	11 09 13	30.VII		Iles Kouriles, USCGS: 46,0°N,	
		ei	10 16			153,1°E, H=23 ^h 03 ^m 15,8 ^s , h=33 km;	
RAC		$\Delta=149,1^\circ$				mb=4,5 /USCGS/	
/SK/		ePKP ₁	11 09 19	NIE		$\Delta=76,7^\circ$. Traces	
		ePKP ₂	25			eP	23 15 03
30.VII		Région de la Nouvelle Irlande,					
		USCGS: 5,3°S, 153,6°E, H=13 ^h 35 ^m					
		14,4 ^s , h=50 km; mb=5,2 /USCGS/					
1967 A O Û T 1967							
1.VIII		Turquie, USCGS: 40,8°N, 30,4°E,		1.VIII		Proche	
		H=00 ^h 13 ^m 35 ^s , h=33 km; mb=4,5				NIE	
		/USCGS/				eP	07 05 42
NIE		$\Delta=11,0^\circ$				i	06 12
		eF	00 16 14	1.VIII		Sud de la Nouvelle Zélande,	
		ei	18			USCGS: 60,0°S, 159,2°E, H=09 ^h	
		eiPP	20			05 ^m 49,3 ^s , h=33 km; mb=5,5	
1.VIII		Turquie, USCGS: 40,8°N, 30,3°E,				/USCGS/	
		H=01 ^h 05 ^m 11 ^s , h=33 km; mb=4,3		NIE		$\Delta=154,2^\circ$. Traces	
		/USCGS/				ePKP ₁	09 25 38
NIE		$\Delta=10,9^\circ$		1.VIII		Iles Kouriles, USCGS: 43,9°N,	
		eP	01 07 52			147,9°E, H=13 ^h 59 ^m 58,6 ^s , h=52 km;	
		ePPP	08 12			mb=4,7 /USCGS/	

Date	Station	Phase	G.M.T. h m s	Date	Station	Phase	G.M.T. h m s
1.VIII	NIE	$\Delta=76,6^\circ$		2.VIII	NIE	$\Delta=25,3^\circ$	
/suite/		iP	14 11 44,0 C			iP	14 11 45,8 C
1.VIII		URSS, Turkménie, BCIS: 40,0°N,				i	48
		52,9°E, H=16 ^h 54 ^m 12 ^s ; mb=4,5				i	12 11
		/USCGS/				e	40
NIE		$\Delta=24,7^\circ$				iPcS	18 59
		eP	16 59 39	2.VIII		Région sud de Sumatra, USCGS:	
2.VIII		Iles Kouriles, USCGS: 44,6°N,				4,6°S, 103,2°E, H=18 ^h 17 ^m 32,0 ^s ,	
		146,4°E, H=00 ^h 44 ^m 41,4 ^s , h=149 km				h=83 km; mb=5,1 /USCGS/	
		mb=5,0 /USCGS/, mPV=5,7 /Niedzi-		NIE		$\Delta=88,8^\circ$	
		ca/				eP	18 30 19
NIE		$\Delta=75,4^\circ$		3.VIII		Iles Tonga, USCGS: 20,9°S,	
		iP	00 56 10,0 D			174,3°W, H=00 ^h 08 ^m 13 ^s , h=43 km;	
		Z: 1 ^s ; 0,06 μ				mb=4,4 /USCGS/	
		ePcP	22	NIE		$\Delta=149,5^\circ$	
RAC		$\Delta=75,7^\circ$				ePKP ₁	00 27 59 C
/SK/		eP	00 56 13			ePKP ₂	28 09
2.VIII		Région de l'Ile Jan Mayen, BCIS:		3.VIII		Iles aux Renards, USCGS: 53,0°N,	
		70,8°N, 7,3°W, H=11 ^h 06 ^m 38 ^s ; M=				166,7°W, H=21 ^h 37 ^m 26,7 ^s , h=29 km;	
		6 /Pasadena/				mb=4,6 /USCGS/	
RAC		$\Delta=24,1^\circ$		NIE		$\Delta=78,0^\circ$	
/SK/		eP	11 11 55			eP	21 49 23
		ePP	12 23	4.VIII		Crête médiane de l'Océan Atlan-	
		NIE				tique, USCGS: 7,4°N, 36,3°W,	
		$\Delta=25,3^\circ$				H=06 ^h 01 ^m 09,9 ^s , h=33 km; mb=5,0	
		eiP	11 12 06			/USCGS/	
		i	08	NIE		$\Delta=62,9^\circ$	
		eiPP	36			eP	06 11 36
		ei	13 13	4.VIII		URSS, Kazakstan, BCIS: 49,8°N,	
2.VIII		Local				78,1°E, H=06 ^h 58 ^m 00 ^s ; M=5,8	
NIE		Traces				/Uppsala/	
		eP _g ZZ	12 56 18,5			$\Delta=36,2^\circ$	
		eEZ	28,5			iP	07 05 08,5 C
2.VIII		Région de l'Jan Mayen, BCIS:				iPP	06 19
		70,8°N, 7,3°W, H=14 ^h 06 ^m 18 ^s ;		4.VIII			
		mPV=5,8 /Moxa/		NIE		iP	13 05 36,6 D
		$\Delta=24,1^\circ$				ei	56
RAC		eP	14 11 36	4.VIII		Mer Adriatique, BCIS: 42,8°N,	
/SK/		ePP	12 06			17,7°E, H=14 ^h 54 ^m 32 ^s ; M=4,5	
		ePPP	17			/Reograd/	
		ePPPP	30				

Date	Station	Phase	G.M.T. h m s	Date	Station	Phase	G.M.T. h m s
4.VIII	NIE	$\Delta=6,6^\circ$ eIPn eIP ^x ePG i eIL	14 56 12,8 C 29 40 57 18 57,5	7.VIII		Région des Iles Kermadec, USCGS: 29,4°S, 177,4°W, H=17 ^h 07 ^m 20,1 ^s , h=147 km; mb=4,8 /USCGS/ $\Delta=156,1^\circ$ ePKP ₁ iPKP ₂	17 26 55 27 25
	RAC	$\Delta=7,1^\circ$ /SK/ ePn eSn	14 56 24 57 43	8.VIII		Turquie, BCIS: 40,7°N, 30,8°E, H=04 ^h 36 ^m 27 ^s $\Delta=11,3^\circ$ eP	04 39 18
4.VIII		Iles Tonga, USCGS: 17,7°S, 173,2°W, H=22 ^h 34 ^m 47,7 ^s , h=33 km; mb=4,8 /USCGS/ $\Delta=146,8^\circ$ ePKP	22 54 27	8.VIII		Turquie, Athènes: 40,6°N, 31,1°E, H=04 ^h 38 ^m 44 ^s $\Delta=11,5^\circ$ eP	04 41 33
5.VIII		Iles Kouriles, USCGS: 43,3°N, 147,5°E, H=01 ^h 44 ^m 43,2 ^s , h=33 km; mb=4,4 /USCGS/ $\Delta=76,9^\circ$ eP ePcP	01 56 35 53	8.VIII		Local NIE ePg _{NEZ} iS _{NE} F	13 33 56,8 34 17,0 35,2
5.VIII		Iles Kouriles, USCGS: 43,3°N, 147,6°E, H=05 ^h 29 ^m 21,8 ^s , h=33 km; mb=4,8 /USCGS/ $\Delta=77,0^\circ$ iP epP	05 41 12,6 C 24	10.VIII		Iles Kouriles, USCGS: 45,4°N, 150,3°E, H=11 ^h 21 ^m 22,3 ^s , h= 37 km; mb=5,7 /USCGS/ $\Delta=75,8^\circ$ /GW/ eIP eSKS	11 33 06 43 17
6.VIII		Région frontière Tadjik-Sinkiang, USCGS: 38,0°N, 75,5°E, H=10 ^h 31 ^m 06 ^s , h=215 km; mb=4,8 /USCGS/ $\Delta=40,0^\circ$ eIP	10 38 22 D			NIE $\Delta=76,2^\circ$ iP ePcP eI	11 33 07,8 C 17 30
6.VIII		Région des Iles Fidji, USCGS: 21,4°S, 179,5°W, H=13 ^h 14 ^m 09 ^s , h=561 km; mb=4,2 /USCGS/ $\Delta=148,1^\circ$. Traces eIPKP	13 32 52			RAC /SK/ $\Delta=76,4^\circ$ eP ePcP	11 33 09 22
7.VIII		Hindou-Kouch, USCGS: 36,5°N, 71,2°E, H=05 ^h 49 ^m 57,5 ^s , h=229 km; mb=5,0 /USCGS/ $\Delta=38,7^\circ$ eP epP	05 57 02 49	11.VIII		Région des Iles Volcano, USCGS: 22,1°N, 144,0°E, H= 18 ^h 54 ^m 28,8 ^s , h=125 km; mb= 5,3 /USCGS/ $\Delta=93,2^\circ$ eP	19 07 28
				12.VIII		Près de la côte de Hondo, USCGS: 38,5°N; 141,9°E, H=04 ^h 30 ^m 38,5 ^s , h=53 km; mb= 5,4 /USCGS/	

Date	Station	Phase	G.M.T. h m s	Date	Station	Phase	G.M.T. h m s
12.VIII	KRA	$\Delta=78,3^\circ$ /suite/ /SKM/ eP	04 42 32	12.VIII		Turquie, USCGS: 41,0°N, 34,3°E, H=16 ^h 59 ^m 21 ^s , h=33 km; mb=4,4 /USCGS/ $\Delta=12,8^\circ$. Traces eP	17 02 20
		NIE $\Delta=78,6^\circ$ eIP eIP ePP	04 42 35 D 43 03 45 32	12.VIII		Région frontière URSS-Afghani- stan, USCGS: 37,0°N, 71,4°E, H=22 ^h 54 ^m 38,6 ^s , h=121 km; mb=5,1 /USCGS/ $\Delta=38,5^\circ$ eIP eIP ePcP	23 01 51 02 24 04 01
12.VIII		Local KRA /SKM/ eIPg _{NEZ}	09 18 54,3	13.VIII		NIE eIP	05 34 40 D
12.VIII		Sud des Iles Fidji, USCGS: 24,7°S, 177,5°W, H=09 ^h 39 ^m 44,3 ^s , h=134 km; M=6,5 /Pasadena/, mb= 5,8 /USCGS/ $\Delta=149,0^\circ$ iPKP ₁ eI i iPP	09 59 14 21 56 02 50	13.VIII		NIE Traces e	17 13 44
	KRA	$\Delta=151,5^\circ$ /SKM/ ePKP ₁ i /GW/ ePKP ₂ /SKM/ i /GW/ ePKS eI eI	09 59 16 23 32 10 00 04 02 50 06 10 09 28	13.VIII		Sud de Hondo, USCGS: 35,3°N, 135,3°E, H=20 ^h 06 ^m 50,6 ^s , h= 357 km; M=6 ³ / ₄ /Pasadena/, mb= 6,0 /USCGS/ $\Delta=75,7^\circ$ iP eIPcP epP eI eIPP iS	20 18 00,0 04 19 20 55 20 55 27 10
		NIE $\Delta=151,9^\circ$ eIPKP ₁ i iPKP ₂ iPKP iPP	09 59 18 C 24 31 51 10 03 07			KRA /SKM/ $\Delta=77,8^\circ$ iP i /GW/ iP iPP iPPP iS eSKS	20 18 10,3 C 16 19 32 21 12 22 56 27 25 45
	RAC	$\Delta=152,0^\circ$ /SK/ ePKP ₁ ePKP ₂ epPKP ePP	09 59 18 34 52 10 03 16	12.VIII		Nouvelles Hébrides, USCGS: 14,9°S, 166,7°E, H=12 ^h 30 ^m 56,1 ^s , h=23 km; mb=5,2 /USCGS/ $\Delta=136,2^\circ$. Traces ePKP	12 50 17
		NIE $\Delta=78,0^\circ$ iP iPcP iP	20 18 11 18 19 35				

Date	Station	Phase	G.M.T. h m s	Date	Station	Phase	G.M.T. h m s
13.VIII	NIE	e1PP /suite/ RAC /SK/ e1P eP ePP	20 21 14 27 33 20 18 15 19 36 21 14	13.VIII	KRA	$\Delta=63,3^\circ$ /SKM/ eP	23 54 40
13.VIII	Basses-Pyrénées, France, BCIS: 43°05'N, 0°45'W, H=22 ^h 07 ^m 46 ^s ; M=5 ^h 4 /Strasbourg/, MLH=6,4 /Racibórn/ RAC /SK/ eP ePP eSS eSSS Lm N: 3 ^s ; 19 μ Lm E: 3 ^s ; 40 μ KRA /SKM/ eP i e1PP /GW/ eS /SKM/ eL Lm NEZ: 1,6 ^s ; 2,0 ^s ; 1,6 ^s ; 0,8 μ 1,0 μ , 1,0 μ NIE e1P eL	$\Delta=78,6^\circ$ e1P eP ePP	20 18 15 19 36 21 14	13.VIII	KRA	$\Delta=63,3^\circ$ /SKM/ eP	23 54 40
13.VIII	Région de la Nouvelle Bretagne USCGS: 4,4°S, 152,5°E, H=22 ^h 15 ^m 09,6 ^s , h=29 km; mb=5,3 /USCGS/ NIE ePKP	$\Delta=14,7^\circ$ eP ePP eSS eSSS Lm N: 3 ^s ; 19 μ Lm E: 3 ^s ; 40 μ KRA /SKM/ eP i e1PP /GW/ eS /SKM/ eL Lm NEZ: 1,6 ^s ; 2,0 ^s ; 1,6 ^s ; 0,8 μ 1,0 μ , 1,0 μ NIE e1P eL	22 11 15 27 14 30 41 16 30 17 03 22 11 29 35 49 14 40 16,2 42 1,0 μ , 1,0 μ 22 11 30 16,8	14.VIII	Région Nord de Sumatra, USCGS: 5,4°N, 96,6°E, H=06 ^h 41 ^m 46,2 ^s , h=33 km NIE $\Delta=77,0^\circ$. Traces e1P	$\Delta=77,0^\circ$. Traces e1P 06 53 37 C	
13.VIII	Région de l'île Ascension, USCGS: 7,0°S, 12,6°W, H=23 ^h 44 ^m 11 ^s , h=28 km; mb=5,0 /USCGS/ $\Delta=62,9^\circ$ NIE eP	$\Delta=15,7^\circ$ eP i e1PP /GW/ eS /SKM/ eL Lm NEZ: 1,6 ^s ; 2,0 ^s ; 1,6 ^s ; 0,8 μ 1,0 μ , 1,0 μ NIE e1P eL	22 11 29 35 49 14 40 16,2 42 1,0 μ , 1,0 μ 22 11 30 16,8	14.VIII	Région frontière Italie-Suisse, BCIS: 46,9°N, 10,3°E, H=10 ^h 16 ^m 21 ^s ; MLH=3,8 /Moxa, Pruhonice/ NIE $\Delta=7,1^\circ$ ePn eP ⁿ e1Sn RAC /SK/ eP ⁿ eSS eS ⁿ e1Sg KRA /GW/ eS ⁿ eL	$\Delta=7,1^\circ$ ePn eP ⁿ e1Sn RAC /SK/ eP ⁿ eSS eS ⁿ e1Sg KRA /GW/ eS ⁿ eL	
13.VIII	13.VIII	Région de la Nouvelle Bretagne USCGS: 4,4°S, 152,5°E, H=22 ^h 15 ^m 09,6 ^s , h=29 km; mb=5,3 /USCGS/ NIE ePKP	22 34 01	15.VIII	Sud de la Mer Ionienne, USCGS: 36,5°N, 19,4°E, H=04 ^h 35 ^m 53 ^s , h=33 km; mb=4,5 /USCGS/ NIE $\Delta=12,7^\circ$ eP ePPP eS	04 38 56 39 16 41 17	
13.VIII	13.VIII	Région de l'île Ascension, USCGS: 7,0°S, 12,6°W, H=23 ^h 44 ^m 11 ^s , h=28 km; mb=5,0 /USCGS/ $\Delta=62,9^\circ$ NIE eP	23 54 38	15.VIII	Mer Tyrrhénienne, BCIS: 38,6°N, 15,2°E, H=07 ^h 06 ^m 28 ^s ; mb=4,5 /USCGS/ NIE $\Delta=11,2^\circ$. Traces eP ePP	07 09 13 26	

Date	Station	Phase	G.M.T. h m s	Date	Station	Phase	G.M.T. h m s
15.VIII	Région de l'Hindou Kouch, USCGS: 36,3°N, 70,2°E, H=07 ^h 40 ^m 26,7 ^s , h=189 km; mb=4,7 /USCGS/ $\Delta=38,2^\circ$ NIE e1P	$\Delta=78,0^\circ$ e1P epP	14 43 46 C 44 08	17.VIII	Péninsule de Kenai, Alaska, USCGS: 59,4°N, 151,4°W, H=22 ^h 42 ^m 09,3 ^s , h=55 km; mb=5,0 /USCGS/ $\Delta=70,9^\circ$ KRA /SKM/ eP epP	$\Delta=70,9^\circ$ eP epP	22 53 20 33
15.VIII	Tibet, USCGS: 31,1°N, 93,7°E, H=09 ^h 21 ^m 02,3 ^s , h=33 km; mb=5,7 /USCGS/ NIE $\Delta=56,7^\circ$ iP epP ei	$\Delta=56,7^\circ$ iP epP ei	09 30 44,2 56 31 25	18.VIII	Iles Riou-Kiou, USCGS: 27,8°N, 127,7°E, H=03 ^h 35 ^m 40,5 ^s , h=94 km; mb=5,4 /USCGS/ KRA /SKM/ iP i	$\Delta=79,3^\circ$ iP i	03 47 38,8 D 41
15.VIII	NIE eP	$\Delta=56,8^\circ$ eP iP eiS	09 30 45 53 38 36	18.VIII	Local NIE e1Pg ₂ ei _{NEZ} F	15 57 59,8 D 58 06,0 59 00	
16.VIII	Région Nord de Sumatra, USCGS: 0,9°N, 98,9°E, H=19 ^h 18 ^m 57,6 ^s , h=26 km; mb=5,6 /USCGS/ $\Delta=81,8^\circ$ NIE e1P e1PP KRA /SKM/ eP eS RAC /SK/ eP.	$\Delta=82,2^\circ$ eP eS $\Delta=63,3^\circ$ eP.	19 31 17 D 36 34 24 19 31 18 41 22 19 31 24	19.VIII	Région frontière URSS-Afghani- stan, USCGS: 36,9°N, 71,5°E, H=01 ^h 34 ^m 43,5 ^s , h=127 km; mb= 4,9 /USCGS/ NIE $\Delta=38,7^\circ$ e1P	$\Delta=38,7^\circ$ e1P	01 41 57 D
17.VIII	Crête médiane de l'Océan Atlan- tique, USCGS: 0,8°S, 21,1°W, H=12 ^h 49 ^m 08,9 ^s , h=40 km; mb=4,5 /USCGS/ NIE $\Delta=61,2^\circ$. Traces eP epP	$\Delta=61,2^\circ$. Traces eP epP	12 59 23 47	19.VIII	Au large de la côte E de Hondo, Japon, USCGS: 40,8°N, 143,5°E, H=12 ^h 14 ^m 21,7 ^s , h=45 km; mb=4,8 /USCGS/ NIE $\Delta=76,8^\circ$ eP epP	$\Delta=76,8^\circ$ eP epP	12 26 12 21
17.VIII	Près de la côte de Hondo, Japon, USCGS: 39,4°N, 142,3°E, H=14 ^h 31 ^m 56,4 ^s , h=84 km; mb=	$\Delta=76,8^\circ$ eP epP	12 26 12 21	19.VIII	Région des Iles Philippines, USCGS: 10,4°N, 126,0°E, H=15 ^h 28 ^m 08,5 ^s , h=58 km; mb=5,6 /USCGS/, MLH=5,6 /Kraków/	$\Delta=76,8^\circ$ eP epP	12 26 12 21

Date	Station	Phase	G.M.T. h m s	Date	Station	Phase	G.M.T. h m s
25.VIII		Iles aux Rats, Aléoutiennes, USCGS: 51,7°N, 177,2°E, H=15 ^h 03 ^m 25,1 ^s , h=37 km; mb=4,8 /USCGS/ NIE Δ=77,6° eP 15 15 18 ePcP 34		27.VIII		34 ^m 52,6 ^s , h=24 km; mb=5,1 /USCGS/ KRA Δ=77,1°. Traces /SKM/ eP 13 46 43 NIE Δ=77,8° eP 13 46 47	
26.VIII		Ouest des Iles Carolines, USCGS: 12,2°N, 140,7°E, H=00 ^h 36 ^m 42,1 ^s , h=33 km; mb=6,1 /USCGS/, MLH=6,5 /Kraków/ WAR Δ=97,5° eiP 00 50 14 eiPP 54 17 eiSKS 01 00 52 eiSeS 01 49 KRA Δ=99,4° /SKM/ eP 00 50 22 D /GW/ ePP 54 26 eSKS 01 01/00/ iS 02 02 eL 26,5 Lm 40 46 NE: 15 ^s ; 9,0μ, 8,3μ NIE Δ=99,6° eiP 00 50 23 D ePcP 30 ePP 54 24 RAC Δ=100,3° /SK/ eP 00 50 26		27.VIII		Détroit des Moluques, USCGS: 0,5°N, 126,1°E, H=14 ^h 16 ^m 56,1 ^s , h=62 km; mb=5,4 /USCGS/ NIE Δ=99,9°. Traces eP 14 30 39	
26.VIII		Région des Iles Samoa, USCGS: 15,4°S, 172,7°W, H=18 ^h 19 ^m 58,2 ^s , h=37 km; mb=5,0 /USCGS/ KRA Δ=144,2° /SKM/ ePKP 18 39 30 RAC Δ=144,5° /SK/ ePKP 18 39 32 NIE Δ=144,7° ePKP 18 39 32 i 42 i 40 08		27.VIII		Valais, Suisse, BCIS: 46,5°N, 7,4°E, H=21 ^h 25 ^m 25 ^s KRA Δ=9,0°. Traces /SKM/ eSg 21 30 18	
27.VIII		Région de l'île Vancouver, USCGS: 50,2°N, 130,0°W, H=13 ^h		27.VIII		Région des Iles Fidji, USCGS: 20,4°S, 178,1°W, H=22 ^h 10 ^m 11,6 ^s , h=545 km; mb=4,3 /USCGS/ NIE Δ=147,7° eiPKP 22 28 55	
				28.VIII		NIE eP 13 08 25,8	
				28.VIII		NIE eP 15 33 47	
				28.VIII		Région de l'île Vancouver, USCGS: 50,4°N, 129,8°W, H= 16 ^h 20 ^m 06,6 ^s , h=33 km; mb=5,1 /USCGS/ NIE Δ=77,6°. Traces eP 16 32 05	
				28.VIII		Iles du Dodécanèse, BCIS: 36,7°N, 26,8°E, H=17 ^h 36 ^m 40 ^s NIE Δ=13,3° eP 17 39 53 C	
				28.VIII		Pakistan, Moskva: 30,3°N, 69,9°E, H=18 ^h 34 ^m 44 ^s NIE Δ=41,7° eP 18 42 31 C	

Date	Station	Phase	G.M.T. h m s	Date	Station	Phase	G.M.T. h m s
25.VIII		Sinkiang, Chine, USCGS: 36,5°N, 80,1°E, H=21 ^h 05 ^m 51,7 ^s , h=33 km; mb=4,7 /USCGS/ NIE Δ=44,5° eiP 21 14 03 D epP 13		30.VIII		KRA /GW/ eS 04 40 28 i 49 00 eL 54 Lm 58,0 NE: 10 ^s ; 40μ, 11μ RAC Δ=61,7° /SK/ eP 04 32 24 ei 28 ePcP 33 10	
26.VIII		Bordure Sud du Haut Atlas, BCIS: 31,3°N, 6,3°W, H=21 ^h 15 ^m 29 ^s ; MLH= 4,4 /Pruhonice/ NIE Δ=26,8° eP 21 21 12 KRA Δ=27,0°. Traces /GW/ eP 21 21 15		30.VIII		Près de la côte de Hondo, Japon, USCGS: 36,2°N, 140,0°E, H=08 ^h 09 ^m 40,8 ^s , h=77 km; mb=4,7 /USCGS/ NIE Δ=79,6° eiP 08 21 40	
29.VIII		NIE eiP 16 28 01		30.VIII		Province de Szechwan, Chine, USCGS: 31,6°N, 100,3°E, H=11 ^h 08 ^m 49,6 ^s , h=33 km; mb=5,1 /USCGS/ NIE Δ=60,5° eP 11 18 58 D ei 19 02 KRA Δ=60,6° /GW/ eP 11 19 00 eS 27 18	
30.VIII		Près de la côte de Hondo, Japon, USCGS: 35,6°N, 140,0°E, H=02 ^h 06 ^m 11,1 ^s , h=72 km; mb=4,7 /USCGS/ NIE Δ=80,1° eP 02 18 13 C		30.VIII		NIE eP 12 15 26 i 54	
30.VIII		Local KRA /SKM/ eiPg _{NEZ} 02 40 33,3 eNE 40,0 RAC Traces /SK/ NEZ 02 40-43		30.VIII		Iles Kouriles, USCGS: 45,4°N, 151,5°E, H=13 ^h 33 ^m 26,4 ^s , h= 33 km; mb=5,5 /USCGS/ KRA Δ=76,2° /SKM/ eP 13 45 11 /GW/ eS 54 48 eSKS 55 10 NIE Δ=76,7° iP 13 45 14,5 C i 16 Z: 0,8 ^s ; 0,22μ eiPcP 26 i 46 37	
30.VIII		Province de Szechwan, Chine, USCGS: 31,7°N, 100,3°E, H=04 ^h 22 ^m 01,5 ^s , h=33 km; M=6,9 /Pru- honice, Strasbourg/, MLH=6,9 /Kraków/ WAR Δ=59,3° eP 04 32 08 NIE Δ=60,5° iP 04 32 15 i 56 KRA Δ=60,6° /GW/ eP 04 32 13,0 D /SKM/ i 18 ePP 34 31					

Date	Station	Phase	G.M.T. h m s	Date	Station	Phase	G.M.T. h m s
19.VIII	KRA	$\Delta=92,3^{\circ}$		20.VIII	KRA	Lm	02 24 13
/suite/	/SKM/	e1P	15 41 12 C			N: 12^{S} ; $7,2\mu$	
	/GW/	ePP	44 55			Lm	17
		eSKKS	51 56			E: 12^{S} ; $3,3\mu$	
		eS	52 11		RAC	$\Delta=41,0^{\circ}$	
		Lm	16 24 09	/SK/	eP		02 09 48
		E: 16^{S} ; $2,4\mu$					
		Lm	19	21.VIII		Au large de la cote N de Sumatra,	
		N: 16^{S} ; $3,7\mu$				USCGS: $3,6^{\circ}\text{N}$, $95,8^{\circ}\text{E}$, $H=07^{\text{h}}33^{\text{m}}$	
NIE		$\Delta=92,2^{\circ}$				$00,6^{\text{S}}$, $h=33$ km; $mb=5,9$ /USCGS/,	
		1P	15 41 12,0			MLH= $6,3$ /Krakow/	
		ePcP	14	NIE		$\Delta=77,8^{\circ}$	
		e1P	20			1P	07 44 56,4 C
		ePP	44 57			1PcP	45 10
WAR		$\Delta=90,8^{\circ}$				i	47 51
		eS	15 52 09			eS	54 44
						eSKS	55 05
19.VIII		Iles Santa Cruz, USCGS: $12,4^{\circ}\text{S}$,			KRA	$\Delta=78,2^{\circ}$	
		$166,6^{\circ}\text{E}$, $H=15^{\text{h}}41^{\text{m}}53,3^{\text{S}}$, $h=86$ km;		/SKM/	iP		07 44 58,3 C
		$mb=5,4$ /USCGS/		/GW/	ePP		47 54
NIE		$\Delta=134,0^{\circ}$			iS		54 47
		e1P	16 01 02 C			NE: $4,4^{\text{S}}$; $6,5\mu$, $0,7\mu$	
		ePP	03 32			e	57 14
		e1	04 24			Lm	08 25 55
19.VIII		Iles Tonga, USCGS: $20,5^{\circ}\text{S}$,				E: 18^{S} ; $8,2\mu$	
		$175,8^{\circ}\text{W}$, $H=18^{\text{h}}38^{\text{m}}36^{\text{S}}$, $h=110$ km;				Lm	26 05
		$mb=4,6$ /USCGS/				N: 18^{S} ; 13μ	
NIE		$\Delta=148,6^{\circ}$		RAC		$\Delta=79,3^{\circ}$	
		ePKP ₁	18 58 11	/SK/	eP		07 45/00/
20.VIII		Région frontiere Kazakstan-			ePcP		20
		Sinkiang, USCGS: $45,3^{\circ}\text{N}$, $80,1^{\circ}\text{E}$		/M/	e1S		55 03
		$H=02^{\text{h}}02^{\text{m}}05,2^{\text{S}}$, $h=33$ km; $mb=5,1$			e1SKS		18
		/USCGS/, MLH= $5,8$ /Krakow/				N: 4^{S} ; $15,2\mu$	
NIE		$\Delta=39,9^{\circ}$			ePPS		56 15
		eP	02 09 39	21.VIII		Mer du Nord, BCIS: $57,0^{\circ}\text{N}$,	
		e1PP	11 06			$5,0^{\circ}\text{E}$, $H=13^{\text{h}}41^{\text{m}}49^{\text{S}}$	
		i	19 06	NIE		$\Delta=12,1^{\circ}$	
KRA		$\Delta=39,9^{\circ}$				e1P	13 44 39 C
/SKM/		1P	02 09 42,0 C			ePP	55
		ePP	11 11	22.VIII		Local	
		eS	15 42	NIE		Traces	
		eSS	18 25			eP _{NEZ}	01 19 00,3
						eZ	15,3

Date	Station	Phase	G.M.T. h m s	Date	Station	Phase	G.M.T. h m s
22.VIII	NIE	Traces		24.VIII		Iles Kouriles, USCGS: $43,5^{\circ}\text{N}$,	
		eP	05 19 31,5			$147,5^{\circ}\text{E}$, $H=03^{\text{h}}21^{\text{m}}17,6^{\text{S}}$, $h=70$ km;	
22.VIII		Région des Iles Sandwich du Sud,				$mb=5,4$ /USCGS/, $mPV=5,6$ /Nie-	
		USCGS: $60,8^{\circ}\text{S}$, $24,6^{\circ}\text{W}$, $H=13^{\text{h}}02^{\text{m}}$		KRA		$\Delta=76,4^{\circ}$	
		$06,8^{\text{S}}$, $h=33$ km; $mb=6,1$ /USCGS/,		/GW/	eP		03 33 00
		MLH= $6,7$ /Krakow/		NIE		$\Delta=76,8^{\circ}$	
		$\Delta=115,4^{\circ}$				1P	03 33 02,5 C
NIE		ePKP	13 20 47			Pm	04
		e	21 44			Z: $1,2^{\text{S}}$; $0,060\mu$	
		Lm	14 08 44			1P	25
		E: $17,5^{\text{S}}$; 59μ				e/PP/	35 42
		Lm	48	RAC		$\Delta=77,0^{\circ}$	
		NZ: $17,5^{\text{S}}$; 38μ , 60μ		/M/	eP		03 33 04
KRA		$\Delta=115,9^{\circ}$			ePP		28
/GW/		ePKP	13 20 46	24.VIII		Région des Iles Fidji, USCGS:	
		eSKS	27 38			$21,0^{\circ}\text{S}$, $179,4^{\circ}\text{W}$, $H=05^{\text{h}}30^{\text{m}}05^{\text{S}}$,	
		ePS	31 41			$h=672$ km; $mb=4,7$ /USCGS/	
		i	37 53	NIE		$\Delta=147,8^{\circ}$	
		Lm	14 11 24			1PKP ₁	05 48 38,7 C
		NE: 16^{S} ; 17^{S} ; $11,7\mu$, $12,1\mu$		24.VIII		Nouvelles Hébrides, USCGS:	
WAR		$\Delta=118,5^{\circ}$				$14,9^{\circ}\text{S}$, $166,9^{\circ}\text{E}$, $H=10^{\text{h}}32^{\text{m}}52,6^{\text{S}}$,	
		ePKP	13 20 58			$h=23$ km; $M=5,9$ /Strasbourg/	
		i	22 05	NIE		$\Delta=136,3^{\circ}$	
		1PS	32 00			ePKP	10 52 17
22.VIII		Région du Lac Baikal, USCGS:		24.VIII		Détroit du Mozambique, USCGS:	
		$56,2^{\circ}\text{N}$, $112,6^{\circ}\text{E}$, $H=23^{\text{h}}12^{\text{m}}18,9^{\text{S}}$,				$17,1^{\circ}\text{S}$, $40,3^{\circ}\text{E}$, $H=10^{\text{h}}43^{\text{m}}26^{\text{S}}$,	
		$h=22$ km; $mb=5,0$ /USCGS/				$h=33$ km; $mb=5,1$ /USCGS/	
NIE		$\Delta=52,3^{\circ}$		KRA		$\Delta=69,0^{\circ}$	
		eP	23 21 30	/GW/	eP		10 54 41
23.VIII		Pruhonice: explosion de 9 tonnes			e/S/		11 03 37
		$50^{\circ}37'\text{N}$, $14^{\circ}21'\text{E}$, $H=13^{\text{h}}59^{\text{m}}54^{\text{S}}$		24.VIII		Europe central, BCIS: $H=12^{\text{h}}$	
NIE		$\Delta=4^{\circ}10'$				$30^{\text{m}}10^{\text{S}}$	
		eZ	14 01 38	HAC			
RAC		Traces		/SK/	e		12 30 40
/SK/		NEZ	14 01-03		e		47
23.VIII		Local		25.VIII		NIE	Traces
NIE		Traces				eP	09 35 54
		eZ	16 01 58	25.VIII		NIE	
RAC		Traces				eP	12 32 12
/SK/		NEZ	16 01-03				

Date	Station	Phase	G.M.T. h m s	Date	Station	Phase	G.M.T. h m s
30.VIII	RAC /suite/ /SK/	$\Delta=76,8^\circ$ eiP	13 45 16	31.VIII	NIE	eiP ei	17 49 48,5 D 50 08,5
30.VIII	NIE	Iles Kouriles, USCGS: 45,3 ⁰ N, 151,4 ⁰ E, H=20 ^h 03 ^m 31,7 ^s , h=33 km; mb=4,5 /USCGS/ $\Delta=76,8^\circ$ eiP ePcP	20 15 20,5 D 40	31.VIII	KRA /SKM/	Iles Tonga, USCGS: 17,5 ⁰ S, 175,2 ⁰ W, H=18 ^h 53 ^m 25,2 ^s , h=277 km; mb=5,4 /USCGS/ $\Delta=145,5^\circ$ eiPKP ₁ ePKP ₂	19 12 31 D 45
31.VIII	NIE	Luçon, Philippines, USCGS: 16,3 ⁰ N, 121,3 ⁰ E, H=13 ^h 38 ^m 50,7 ^s , h=99 km; mb=4,8 /USCGS/ $\Delta=83,3^\circ$ eP	13 51 08	31.VIII	RAC /SK/	$\Delta=145,9^\circ$ eiPKP ₁ ei ePKP ₂ epPKP	19 12 32 36 44 13 44
31.VIII	NIE	eP	16 42 42	31.VIII	NIE	$\Delta=146,0^\circ$ ePKP ₁ i i	19 12 33 50 13 38
31.VIII	RAC /SK/	eP	17 49 46				

SEPTEMBRE

1967

1.IX	NIE	Région de la Nouvelle Guinée, USCGS: 5,6 ⁰ S, 147,2 ⁰ E, H=03 ^h 31 ^m 10,5 ^s , h=182 km; mb=5,6 /USCGS/ $\Delta=117,7^\circ$ iPKP	03 49 36,6 D	1.IX	RAC /SK/	eNEZ	11 17 18
1.IX	NIE	Traces eP	08 52 34	1.IX	KRA /SKM/	Iles Kouriles, USCGS: 44,9 ⁰ N, 147,0 ⁰ E, H=22 ^h 42 ^m 01,8 ^s , h= 134 km; mb=5,4 /USCGS/ $\Delta=75,1^\circ$ eiP ePcP	22 53 30 44
1.IX	NIE	Local, Pruhonice: e eiSg 18 14,8	11 17 00,5 10,5 21 24	1.IX	/GW/	eS eSKS ePS	23 02 51 03 14 48
	KRA /SKM/	ePKP ₁ eNEZ	11 17 02,9 19,4	1.IX	NIE	$\Delta=75,4^\circ$ iP ePcP	22 53 32,5 D 47
				1.IX	RAC /SK/	$\Delta=75,6^\circ$ iP	22 53 33



Date	Station	Phase	G.M.T. h m s	Date	Stat:	Phase	G.M.T. h m s
2.IX	NIE	Région de l'île Jan Mayen, USCGS: 71,6 ⁰ N, 8,2 ⁰ W, H=03 ^h 16 ^m 13,9 ^s , h=33 km; mb=4,4 /USCGS/ $\Delta=26,0^\circ$ eiP ei	03 51 43,5 52 07	4.IX	NIE	esPKP ₁ ePP	04 12 57 15 33
3.IX	NIE	Kiou-Siou, Japon, USCGS: 31,0 ⁰ N, 129,8 ⁰ E, H=04 ^h 45 ^m 57 ^s , h=165 km; mb=4,6 /USCGS/ $\Delta=78,5^\circ$ eP	04 57 42	4.IX	KRA /SKM/	$\Delta=156,6^\circ$ ePKP ₁ iPKP ₂ esPKP ₁	04 11 26 12 06 58
3.IX	RAC /SK/	Au large de la côte de Pérou, USCGS: 10,6 ⁰ S, 79,8 ⁰ W, H=21 ^h 07 ^m 30,8 ^s , h=38 km; mb=6,5 /USCGS/, MLH=6,8 /Kraków/ $\Delta=103,2^\circ$ eP ePP ePPP	21 21 30 25 44 28 07	4.IX	NIE	Près de la côte de Kamchatka, USCGS: 54,8 ⁰ N, 159,1 ⁰ E, H=19 ^h 30 ^m 13,7 ^s , h=182 km; mb=4,6 /USCGS/ $\Delta=70,8^\circ$ eP	19 41 10
	KRA /GW/	$\Delta=104,3^\circ$ eiP iPP i eSKS Lm E: 23 ^s ; 32 μ Lm N: 22 ^s ; 22 μ	21 21 32 25 50 26 38 32 19 22 01 57 02 03	5.IX	NIE	Yougoslavie, BCIS: 45,7 ⁰ N, 14,2 ⁰ E, H=11 ^h 37 ^m 04 ^s $\Delta=5,4^\circ$ ePn ePg eiSn eiS ^x	11 38 26 54 39 38 52
	WAR	$\Delta=105,0^\circ$ eP	21 21 35 49 25 53 28 07	5.IX	RAC /SK/	Yougoslavie, BCIS: 45,7 ⁰ N, 14,2 ⁰ E, H=15 ^h 21 ^m 01 ^s $\Delta=5,0^\circ$ eS ^x eSg	11 39 28 46 57 15 23 58
4.IX	NIE	Iles Kermadec, USCGS: 31,4 ⁰ S, 179,4 ⁰ W, H=03 ^h 51 ^m 58,9 ^s , h=231 km mb=5,5 /USCGS/ $\Delta=156,9^\circ$ eiPKP ₁ ei iPKP ₂	04 11 27 C 39 58	6.IX	NIE	Région des Iles Kouriles, USCGS: 46,7 ⁰ N, 154,0 ⁰ E, H= 03 ^h 19 ^m 12 ^s , h=33 km; mb=4,8 /USCGS/ $\Delta=76,4^\circ$ eP ePcP	02 53 39,6 49,1 03 30 59 C 31 14
				6.IX	NIE	Crête, BCIS: 35,1 ⁰ N, 23,2 ⁰ E, H=04 ^h 59 ^m 20 ^s	

Date	Station	Phase	G.M.T. h m s	Date	Station	Phase	G.M.T. h m s
6. IX	NIE	$\Delta=14,2^{\circ}$		7. IX		/USCGS/	
/suite/	eP		05 02 49	NIE	$\Delta=8,6^{\circ}$	eP	00 34 30,7
	e1PP		58				
	KRA	$\Delta=14,8^{\circ}$		7. IX		Mer des Célèbes, USCGS: 2,7 ⁰ N, 124,3 ⁰ E, H=07 ^h 12 ^m 36,6 ^s , h=274 km;	
/Ch/	eP		05 02 56			mb=5,8 /USCGS/	
	e1PP		03 04	NIE	$\Delta=97,1^{\circ}$	e1P	07 25 39 D
/GW/	eL		08,7			epP	26 42
6. IX		Région des Iles Andreanov, USCGS: 14,7 ⁰ N, 93,6 ⁰ E, H=07 ^h 30 ^m 10,8 ^s , h=33 km; mb=5,6 /USCGS/ $\Delta=68,1^{\circ}$				ePP	29 40
NIE	iP		07 41 10,2 D	KRA	$\Delta=97,2^{\circ}$	eP	07 25 39
	iP		21	/GW/	eP	epP	26 49
	ePcP		35			ePP	29 48
	KRA	$\Delta=68,4^{\circ}$				iSKS	35 48
/Ch/	e1P		07 41 10,3 D			eS	36 38
	e1PP		22	WAR	$\Delta=95,9^{\circ}$	iSKS	07 35 42
6. IX		Local				e1S	36 28
NIE	Traces			7. IX		Iles Kermadec, USCGS: 31,3 ⁰ S, 179,6 ⁰ E, H=11 ^h 08 ^m 13,2 ^s , h= 430 km; mb=5,1 /USCGS/	
	eP _{NEZ}		13 22 56,2			$\Delta=156,8^{\circ}$	
	e _{NEZ}		23 04,7	NIE	ePKP ₁		11 27 18
6. IX		Local				e1PKP ₂	48
NIE	eP _{NEZ}		13 42 31,7	8. IX		Région frontière URSS-Afghanistan, USCGS: 36,9 ⁰ N, 71,6 ⁰ E, H=00 ^h 26 ^m 02,5 ^s , h=111 km; mb=5,0 /USCGS/	
	e1S _{NEZ}		57,2			$\Delta=38,7^{\circ}$. Traces	
6. IX		NIE				eP	00 33 18
	eP		15 11 56,7	8. IX		Albanie, BCIS: 40,9 ⁰ N, 20,2 ⁰ E, H=02 ^h 04 ^m 46 ^s ; M=4,7 /Athènes/	
6. IX		Iles aux Renard, Aléoutiennes, USCGS: 52,6 ⁰ N, 168,5 ⁰ W, H=17 ^h 24 ^m 40,1 ^s , h=33 km; mb=4,8 /USCGS/ $\Delta=78,4^{\circ}$		NIE	$\Delta=8,3^{\circ}$	iP	02 06 58,9 D
NIE	iP		17 36 37,7 C			iPP	07 07
	epP		44			i	29
6. IX		Région de la Nouvelle Bretagne, USCGS: 5,2 ⁰ S, 151,7 ⁰ E, H=19 ^h 44 ^m 07,9 ^s , h=74 km; mb=5,1 /USCGS/ $\Delta=120,0^{\circ}$. Traces				eS	08 36
NIE	ePKP		20 02 52	KRA	$\Delta=8,9^{\circ}$	eP	02 07 06
7. IX		Albanie, USCGS: 40,6 ⁰ N, 19,4 ⁰ E, H=00 ^h 32 ^m 22 ^s , h=33 km; mb=4,4		/GW/	eS ^K		09 18
					eL		09,5

Date	Station	Phase	G.M.T. h m s	Date	Station	Phase	G.M.T. h m s
8. IX	RAC	$\Delta=9,1^{\circ}$		9. IX	KRA	iSS	10 38 50
/suite/	/SK/	eP	02 07 09			Lm	47 10
	eSn		08 47			E: 18 ^s ; 14,8 μ	
	eSS		09 02			Lm	12
						N: 13 ^s ; 7,1 μ	
8. IX		Grèce, BCIS: 38,5 ⁰ N, 21,3 ⁰ E, H= 09 ^h 51 ^m 37 ^s ; ML=4,0 /Athènes/ $\Delta=10,4^{\circ}$. Traces		WAR	$\Delta=108,1^{\circ}$	ePP	10 24 21
NIE	eP		09 54 11			e1PPP	27 33
	KRA	$\Delta=11,0^{\circ}$. Traces				eSKS	30 00
/GW/	eP		09 54 23			e1SP	33 04
8. IX		Iles de la Reine Charlotte, USCGS 12,2 ⁰ N, 140,8 ⁰ E, H=22 ^h 37 ^m 39,5 ^s , h=27 km; mb=5,3 /USCGS/, MLL=6,2 /Kraków/ $\Delta=99,5^{\circ}$				esSKS	53
KRA	/GW/	eP	22 51 20			eL	37,5
		ePP	55 26	9. IX		Local	
		ePPP	57 33	NIE	Traces	eP _{NEZ}	15 14 00
		eSKS	23 01 58			e _{NEZ}	12
		eS	02 56	9. IX		Crête médiane de l'Océan Paci- fique Sud, USCGS: 54,8 ⁰ S, 136,0 ⁰ W, H=16 ^h 52 ^m 01,3 ^s , h=33 km; mb=5,4 /USCGS/ $\Delta=164,4^{\circ}$	
		Lm	38 58			ePKP ₁	17 12 04
		NE: 18 ^s ; 5,6 μ , 5,3 μ				ePKP ₂	13 04
NIE	$\Delta=99,6^{\circ}$	eP	22 51 22 C	11. IX		Région des Nouvelles Hébrides, USCGS: 21,4 ⁰ S, 173,8 ⁰ E, H=01 ^h 22 ^m 43,7 ^s , h=32 km; mb=4,3 /USCGS/ $\Delta=145,2^{\circ}$. Traces	
RAC	$\Delta=100,4^{\circ}$	eP	22 51 24			ePKP	01 42 17
/SK/	ePP		55 36	11. IX		Région des Iles Loyaute, USCGS: 21,4 ⁰ S, 169,7 ⁰ E, H=04 ^h 37 ^m 16,4 ^s , h=11 km; mb=5,0 /USCGS/ $\Delta=143,1^{\circ}$. Traces	
WAR	$\Delta=97,6^{\circ}$	eSKS	23 01 53			ePKP	04 56 48
	eS		02 42	11. IX		Algérie, BCIS: 36,3 ⁰ N, 3,0 ⁰ E, H=07 ^h 00 ^m 28 ^s $\Delta=18,0^{\circ}$	
	ePS		04 04			eP	07 04 41 C
9. IX		Argentine, USCGS: 27,7 ⁰ S, 63,1 ⁰ W H=10 ^h 06 ^m 44,1 ^s , h=578 km; mb=5,8 /USCGS/ $\Delta=106,4^{\circ}$		11. IX		NIE	
NIE	$\Delta=106,4^{\circ}$	eP	10 19 58			eP	07 11 48,9
	KRA	$\Delta=106,4^{\circ}$					
/GW/	eP		10 20 00				
	e1PP		24 26				
	eSKS		29 46				
	ei		33 45				



Date	Station	Phase	G.M.T. h m s	Date	Station	Phase	G.M.T. h m s
11.IX	RAC	Traces		12.IX		Région de la Nouvelle Bretagne, USCGS: 5,5°S, 151,7°E, H=21 ^h 49 ^m 47,6 ^s , h=50 km; mb=5,2 /USCGS/	
/suite/ /SK/		NEZ	07 11-13		NIE	Δ=120,3°. Traces	22 08 34
11.IX		Région des Nouvelles Hébrides, USCGS: 21,3°S, 173,7°E, H=10 ^h 14 ^m 30,4 ^s , h=34 km; mb=4,8 /USCGS/		13.IX		Local	
NIE		Δ=145,0°		NIE		iP _Z	10 14 25,1
		ePKP	10 34 04			eS _{NEZ}	28,6
		eI	14			Lm	34,1
KRA		Δ=144,8°. Traces				NEZ: 0,7 ^s ; 0,7 ^s ; 1,0 ^s ; 0,137 μ, 0,091 μ, 0,08 μ	
/Ch/		ePKP	10 34 05		F		55
RAC		Δ=145,5°		13.IX		Iles Proches, USCGS: 52,7°N, 172,5°E, H=18 ^h 41 ^m 15,4 ^s , h=34 km; mb=5,7 /USCGS/, mPV=5,9 /Niedzica/	
/SK/		ePKP	10 34 08	KRA		Δ=75,3°	
11.IX		Mongolie, USCGS: 45,0°N, 99,3°E, H=12 ^h 53 ^m 34,6 ^s , h=33 km; mb=4,8 /USCGS/		/SKM/		eiP	18 52 55 C
NIE		Δ=75,6°				eL	19 25,2
		eP	13 02 38	NIE		Δ=75,8°	
12.IX		Iles Kouriles, USCGS: 44,6°N, 149,8°E, H=02 ^h 43 ^m 33,1 ^s , h=25 km; mb=5,1 /USCGS/, mPV=5,8 /Niedzica/				eiP	18 53 08 C
KRA		Δ=76,3°				Z: 0,8 ^s ; 0,076 μ	
/Ch/		eiP	02 55 20 C			ePcP	15
		ePcP	34	14.IX		Région Sud de l'Iran, USCGS: 28,4°N, 57,1°E, H=14 ^h 49 ^m 41,9 ^s , h=33 km; mb=4,7 /USCGS/	
NIE		Δ=76,7°		KRA		Δ=35,4°	
		iP	02 55 23,3 C	/SKM/		eiP	14 56 37 C
		Z: 1 ^s ; 0,08 μ		15.IX		Près de la côte E de Hondo, USCGS: 35,6°N, 140,4°E, H=00 ^h 28 ^m 39,8 ^s , h=59 km; mb=5,2 /USCGS/, mPV=5,2 /Niedzica/	
		ePcP	31	NIE		Δ=80,3°	
RAC		Δ=76,9°				eiP	00 40 43 C
/SK/		eP	02 55 24			Z: 1,0 ^s ; 0,02 μ	
12.IX		Région de l'île Ascension, USCGS: 5,0°S, 11,5°W, H=11 ^h 11 ^m 31,3 ^s , h=33 km; mb=4,9 /USCGS/				epP	41 05.
NIE		Δ=60,7°				epPcP	11
		eP	11 21 43 C			esPP	43 52
12.IX		Grèce occidentale, BCIS: 39,0°N, 21,2°E, H=14 ^h 46 ^m 39 ^s ; ML=4,0 /Athènes/		KRA		Δ=80,0°	
NIE		Δ=10,2°		/SKM/		eiP	00 40 43 C
		eP	14 49 11	/GW/		iPcP	50
		ePP	22			eS	50 42

Date	Station	Phase	G.M.T. h m s	Date	Station	Phase	G.M.T. h m s
15.IX	KRA	eScS	00 51 03	16.IX	NIE	Δ=2°20'	
/suite/		ePS	33			ePn _{NEZ}	20 20 24,5
	RAC	Δ=80,7°				eP _{NEZ}	26
	/SK/	eP	00 40 47			e _{NEZ}	52
15.IX		Bhutan, USCGS: 27,4°N, 91,8°E, H=10 ^h 32 ^m 48,7 ^s , h=57 km; mb=5,8 /USCGS/, mPV=5,7 /Niedzica/				1Sn _{NE}	54
NIE		Δ=57,9°				F	21 30
		iP	10 42 38,0 C	KRA		Δ=2°23'	
		Z: 1,2 ^s ; 0,09 μ		/Ch/		eP _{NEZ}	20 20 34
		i	44			eS _{NE}	21 12
		eipP	56	RAC		Δ=1°44'	
KRA		Δ=58,3°		/SK/		eSn _{NEZ}	20 20 46
/SKM/		eiP	10 42 38 C			eS _{NEZ}	54
		ei	43	17.IX		Région des Iles Bonin, USCGS: 27,5°N, 142,4°E, H=01 ^h 09 ^m 08,4 ^s , h=33 km; mb=4,8 /USCGS/	
RAC		Δ=59,2°		NIE		Δ=87,9°. Traces	
/SK/		eP	10 42 47			eP	01 21 57
15.IX		Local		17.IX		Iles Tonga, USCGS: 18,6°S, 175,0°W, H=01 ^h 21 ^m 52 ^s , h=200 km; mb=4,1 /USCGS/	
NIE		Traces		NIE		Δ=147,1°. Traces	
		eP _{NEZ}	13 30 31,4			ePKP	01 41 12
		F	31 20	17.IX		Chiapas, Mexique, USCGS: 17,2°N, 94,1°W, H=07 ^h 56 ^m 22,7 ^s , h=45 km; mb=5,2 /USCGS/	
16.IX		Taiwan, USCGS: 24,1°N, 120,7°E, H=23 ^h 57 ^m 30,1 ^s , h=50 km; mb=5,0 /USCGS/		NIE		Δ=92,2°	
KRA		Δ=78,6°				eiP	08 09 29 D
/SKM/		eiP	00 09 28 C	18.IX		Ethiopie, USCGS: 15,7°N, 39,0°E, H=02 ^h 02 ^m 59,8 ^s , h=33 km; mb=4,8 /USCGS/	
		eiPcP	37	NIE		Δ=36,7°. Traces	
NIE		Δ=78,6°				eP	02 10 07
		eP	00 09 28	KRA		Δ=37,4°	
		ePcP	38	/SKM/		eiP	02 10 13 C
16.IX		Kazakstan, URSS; BCIS: 49,8°N, 78,0°E, H=04 ^h 04 ^m 00 ^s ; mb=5,3 /USCGS/		18.IX		Hindou-Kouch, USCGS: 35,9°N, 70,4°E, H=08 ^h 26 ^m 36,7 ^s , h=140 km; mb=4,8 /USCGS/	
KRA		Δ=36,7°		NIE		Δ=38,5°. Traces	
/SKM/		eiP	04 11 05 C			eP	08 33 48
		iP	04 11 06,5 C				
NIE		Δ=36,7°					
		Z: 1,0 ^s ; 0,040 μ					
		i	11				
16.IX		Petites Carpathes, BCIS: 48,3°N, 17,1°E, H=20 ^h 19 ^m 46 ^s					

Date	Station	Phase	G.M.T. h m s	Date	Station	Phase	G.M.T. h m s
18. IX	NIE	Local		19. IX	RAC	Traces	
		^e NEZ	12 56 55,2		/SK/	NEZ	09 02-04
		e1/Sg/NE	57 04,2	19. IX		Région de Hokkaido, USCGS:	
		F	30			43,0°N, 145,2°E, H=10 ^h 56 ^m 08,6 ^s ,	
18. IX		Région Est de la Nouvelle Guinée.			WAR	Δ=73,5°	
		USCGS: 5,9°S, 146,6°E, H=15 ^h 33 ^m				iP	11 07 35,0 C
		06,3 ^s , h=39 km; mb=5,5 /USCGS/				ei	42
	NIE	Δ=117,6°				eipP	55
		ePKP	15 51 40			eiS	16 58
		ePP	53 09			iPPS	17 45
18. IX		Région des Iles Fidji, USCGS:			KRA	Δ=75,9°	
		20,7°S, 178,4°W, H=19 ^h 13 ^m 52,5 ^s ,			/Ch/	iP	11 07 47,0 C
		h=562 km; mb=4,0 /USCGS/			/GW/	iPcP	08 04
	NIE	Δ=147,1°. Traces				isPcP	40
		ePKP	19 32 35			iS	17 20
						eScS	48
18. IX		Turquie, USCGS: 41,0°N, 30,2°E,				ePPS	18 10
		H=23 ^h 39 ^m 36 ^s , h=33 km; mb=4,4			NIE	Δ=76,3°	
		/USCGS/				iP	11 07 49,5
	NIE	Δ=10,7°. Traces				iPcP	08 04
		eP	23 42 03			e/PP/	10 24
						eS	17 22
19. IX		Sud des Iles Fidji, USCGS: 24,7°S			RAC	Δ=76,6°	
		177,3°W, H=00 ^h 45 ^m 31 ^s , h=139 km;			/SK/	eP	11 07 51
		mb=4,7 /USCGS/				ei	54
	KRA	Δ=151,6°. Traces				Z: 1,5 ^s ; 1,1μ	
	/SKM/	e1PKP ₁	01 05 09			ePcP	08 03
		eipPKP	49			epP	13
	NIE	Δ=151,0°				ePP	10 44
		ePKP ₁	01 05 04			eS	17 29
		eipPKP	49				
	RAC	Δ=152,1°		19. IX		Sud de Sumatra, USCGS: 1,6°S,	
	/SK/	ePKP ₁	01 05 11			100,5°E, H=19 ^h 01 ^m 47,5 ^s , h=83 km;	
					NIE	Δ=84,8°	
19. IX		Près de la côte de Hondo, USCGS:				e1P	19 14 14
		37,3°N, 142,7°E, H=03 ^h 28 ^m 57 ^s ,				ePcP	30
		h=53 km; mb=4,9 /USCGS/			KRA	Δ=85,1°	
	NIE	Δ=79,9°			/SKM/	eP	19 14 16 C
		eP	03 40 59			ePcP	30
		ePcP	41 11				
19. IX		Local			RAC	Δ=86,3°	
	NIE	Traces			/SK/	eP	19 14 22
		ePg _{NEZ}	09 02 29				

Date	Station	Phase	G.M.T. h m s	Date	Station	Phase	G.M.T. h m s
20. IX		Hondo, Japon, USCGS: 36,0°N,		20. IX	NIE	ei	10 50 57
		139,9°E, H=00 ^h 32 ^m 44,3 ^s , h=94 km;			KRA	Δ=156,5°	
		mb=4,9 /USCGS/			/SKM/	ePKP ₁	10 50 47
	KRA	Δ=79,4°				ePKP ₂	51 18
	/Ch/	eP	00 44 41 C		RAC	Δ=157,7°	
	NIE	Δ=79,7°			/SK/	ePKP ₁	10 50 50
		iP	00 44 43,1 C	20. IX		Nouvelles Hébrides, USCGS: 20,8°S,	
	RAC	Δ=80,2°				169,8°E, H=10 ^h 37 ^m 20,3 ^s , h=129 km;	
	/SK/	eP	00 44 46			mb=5,9 /USCGS/	
20. IX		Yougoslavie, BCIS: 44,2°N,			NIE	Δ=142,7°	
		17,7°E, H=06 ^h 09 ^m 11 ^s ; mb=4,2				e1PKP	10 56 35
		/USCGS/				ei	41
	KRA	Δ=5,8°				e1PKS	11 00 03
	/SKM/	e1Pn	06 10 40,5	20. IX		Local	
	RAC	Δ=5,7°			NIE		
	/SK/	ePn	06 10 44			ePg _{NEZ}	12 12 07,1
		ePP	49			^e NEZ	10,6
		eP ^x	57	20. IX		Local	
		eSn	11 51		NIE		
20. IX		Région des Iles Auckland,				ePg _{NEZ}	13 59 33,6
		USCGS: 49,8°S, 163,4°E, H=09 ^h				i _{NEZ}	36,6
		39 ^m 15,2 ^s , h=30 km; mb=6,1 /USCGS/				e1 _{NEZ}	53,1
	NIE	Δ=156,2°		20. IX		Local, Pruhonice: e1 16 34 47 ,	
		ePKP ₁	09 59 06			e1Sg 35 04,4	
		e1PKP	43		NIE		
		ePP	10 03 23			ePg _{NEZ}	16 34 33,1
		ePoPPKP	09 44			^e NEZ	45,1
	WAR	Δ=156,3°				e1S _{NEZ}	35 02,1
		ePKP ₁	09 59 06	20. IX		Iles Kermadec, USCGS: 28,6°S,	
		e1PKP ₂	50			175,9°W, H=18 ^h 38 ^m 25 ^s , h=39 km;	
	KRA	Δ=156,5°				mb=5,0 /USCGS/	
	/SKM/	ePKP ₁	09 59 09		NIE	Δ=156,0°. Traces	
		ePP	10 03 23			ePKP	18 58 17
	RAC	Δ=157,7°		20. IX		Petites Carpathes, BCIS: 48,4°N,	
	/SK/	ePKP ₁	09 59 10			17,1°E, H=22 ^h 44 ^m 14 ^s ; M=2,5 /Pru-	
		ePKP ₂	53			honice/	
20. IX		Région des Iles Auckland,			RAC	Δ=1°38'	
		USCGS: 49,8°S, 163,4°E, H=10 ^h			/SK/	ePn _{NEZ}	22 44 47
		30 ^m 53,4 ^s , h=19 km; mb=5,8				ePg _{NEZ}	54
		/USCGS/				eSn _{NEZ}	45 11
	NIE	Δ=156,2°				eSg _N	16
		ePKP ₁	10 50 45				

Date	Station	Phase	G.M.T. h m s	Date	Station	Phase	G.M.T. h m s
20.IX	NIE	$\Delta=2^{\circ}20'$		22.IX	KRA	$\Delta=76,3^{\circ}$	
/suite/	ePn _{NEZ}		22 44 54,1	/Ch/	e1P		10 29 43 C
	e1P _{NEZ}		45 00,1	/GW/	eS		39 24
	iS _{NE}		23		iSKS		47
	iSg _{NEZ}		32,6		Lm		11 06 47
	e1 _{NEZ}		44,1			N: 16 ^s ; 11,6 μ	
	F		48,0		Lm		52
						E: 15 ^s ; 4,2 μ	
	KRA	$\Delta=2^{\circ}20'$		NIE	$\Delta=76,7^{\circ}$		
/SKM/	ePn _Z		22 44 55	e1P			10 29 46 C
	e1P _{NEZ}		45 01		Z: 0,7 ^s ; 0,277 μ		
	e1 _{NEZ}		18		1pP		58
	eSn _{EZ}		28	RAC	$\Delta=76,9^{\circ}$		
	e1 _N		31	/SK/	eP		10 29 47
21.IX				22.IX		Iles Kouriles, USCGS: 44,3 ⁰ N, 149,4 ⁰ E, H=11 ^h 19 ^m 21,4 ^s , h=50 km; mb=4,4 /USCGS/	
	KRA			NIE	$\Delta=76,8^{\circ}$		
/SKM/	e1P		12 46 14,5	eP			11 31 09
	e1		21	e1			35
22.IX		Kazakstan, URSS; USCGS: 50,0 ⁰ N, 77,6 ⁰ E, H=05 ^h 03 ^m 57,9 ^s , h=0; mb= 5,3 /USCGS/, mPV=5,7 /Niedzica/		22.IX		Iles Kouriles, USCGS: 44,4 ⁰ N, 149,4 ⁰ E, H=12 ^h 34 ^m 51,6 ^s , h=51 km; mb=4,8 /USCGS/	
NIE	$\Delta=36,4^{\circ}$		05 11 05,7 C	KRA	$\Delta=76,3^{\circ}$		
1P				/Ch/	e1P		12 46 37 C
	Z: 0,7 ^s ; 0,074 μ				ePcP		51
	e1		10	NIE	$\Delta=76,8^{\circ}$		
22.IX		Crête médiane de l'Atlantique, USCGS: 0,7 ⁰ S, 20,1 ⁰ W, H=08 ^h 08 ^m 04,3 ^s , h=33 km; mb=5,3 /USCGS/		RAC	$\Delta=76,8^{\circ}$		
RAC	$\Delta=60,1^{\circ}$			/SK/	eP		12 46 39
/SK/	eP		08 18 11		ePcP		51
NIE	$\Delta=60,6^{\circ}$			RAC	$\Delta=76,8^{\circ}$		
eP			08 18 14	/SK/	eP		12 46 41
KRA	$\Delta=60,9^{\circ}$. Traces			23.IX		Région de Iles Fidji, USCGS: 21,8 ⁰ S, 179,7 ⁰ W, H=06 ^h 56 ^m 43,6 ^s , h=595 km; mb=5,4 /USCGS/	
/Ch/	eP		08 18 16 D	KRA	$\Delta=148,0^{\circ}$		
22.IX		Iles Kouriles, USCGS: 44,5 ⁰ N, 149,4 ⁰ E, H=10 ^h 17 ^m 59,9 ^s , h=60 km; mb=5,6 /USCGS/, mPV=6,5 /Nie- dzica/, MLH=6,3 /Kraków/		/Ch/	iPKP ₁		07 15 23 D
WAR	$\Delta=73,8^{\circ}$				e1		28
1P			10 29 30,0 C	NIE	$\Delta=148,4^{\circ}$		
iS			39 02	iPKP ₁			07 15 24,8
eL			39,8		Z: 0,7 ^s ; 0,203 μ		
					1		30
					iPKP ₂		42,8

Date	Station	Phase	G.M.T. h m s	Date	Station	Phase	G.M.T. h m s
23.IX	NIE	epPKP ₁	07 17 46	25.IX		mb=5,0 /USCGS/ $\Delta=144,2^{\circ}$	
/suite/				NIE	ePKP		04 57 55
23.IX		Sud des Iles Fidji, USCGS: 22,1 ⁰ S 179,6 ⁰ W, H=07 ^h 39 ^m 47,8 ^s , h=600 km; mb=4,6 /USCGS/		25.IX		Traces	
	KRA	$\Delta=148,3^{\circ}$. Traces		NIE	eP		10 17 24
	/Ch/	ePKP ₁	07 58 28	26.IX		Yougoslavie, BCIS: 41,7 ⁰ N, 21,3 ⁰ E, H=05 ^h 05 ^m 36 ^s ; mb=4,4 /USCGS/	
	NIE	$\Delta=148,7^{\circ}$		NIE	$\Delta=7,5^{\circ}$		
	iPKP ₁		07 58 29,8	ePn			05 07 33
	1		36	e1			37
23.IX		Local		ePPP			49
NIE				e/Sn/			08 59
	e1P _{NEZ}		13 19 33,3	KRA	$\Delta=8,2^{\circ}$. Traces		
	eZ		36,8	/Ch/	ePn		05 07 42
	iSg _{NE}		42,8	/GW/	eSg		10 21
	i _{NE}		44,3	26.IX			
24.IX				NIE			
NIE	Traces			eP			07 58 35.2
eP			17 14 13	26.IX		Près de la côte du Chili, central, USCGS: 30,0 ⁰ S, 71,5 ⁰ W, H=16 ^h 11 ^m 23,9 ^s , h=55 km; M=6 ¹ / ₄ /Pasadena/	
24.IX		Albanie, BCIS: 40,7 ⁰ N, 19,7 ⁰ E, H=22 ^h 11 ^m 16 ^s ; ML=4,4 /Athènes/		NIE	$\Delta=113,2^{\circ}$		
NIE	$\Delta=8,5^{\circ}$			ePKP			16 29 54
e1P			22 13 26	KRA	$\Delta=113,1^{\circ}$. Traces		
1			31	/Ch/	ePKP		16 30 05
ePP			35	ePP			56
KRA	$\Delta=9,1^{\circ}$			/GW/	e1		38 38
/SKM/	e1P		22 13 33	ePS			40 22
ePP			46	27.IX		Crête, BCIS: 34,3 ⁰ N, 26,6 ⁰ E, H=07 ^h 24 ^m 27 ^s ; mb=4,7 /USCGS/	
RAC	$\Delta=9,2^{\circ}$			NIE	$\Delta=15,7^{\circ}$		
/SK/	eP		22 13 35	eP			07 28 13
24.IX		Alpes Bergamasques, BCIS: 46,0 ⁰ N 9,4 ⁰ E, H=22 ^h 27 ^m 46 ^s ; M=3,4 /Moxa/		ePP			24
RAC	$\Delta=7,1^{\circ}$			ePPP			35
/SK/	eSn		22 31 10	KRA	$\Delta=16,5^{\circ}$. Traces		
eSg			32 08	/Ch/	eP		07 28 25
KRA	$\Delta=8,1^{\circ}$			ePP			32
/SKM/	eSS		22 31 37	27.IX		Nevada, Uppsala: 37,0 ⁰ N, 116,0 ⁰ W, H=17 ^h 00 ^m 00 ^s ; mPV=5,9 /Niedzica/ 6,0 /Moxa/, 6,5 /Kraków/	
eSg			32 18				
25.IX		Iles Tonga, USCGS: 15,1 ⁰ S, 173,4 ⁰ W, H=04 ^h 38 ^m 26,2 ^s , h=63 km;					

Date	Station	Phase	G.M.T. h m s	Date	Station	Phase	G.M.T. h m s
27.IX	KRA /suite//SKM/	$\Delta = 85,2^\circ$ iP Pm	17 12 36,5 40	28.IX	KRA /Ch/	Traces e/P/Z	15 22 37
	NIE	$\Delta = 85,9^\circ$ iP ei	17 12 41,5 49	28.IX	NIE	eP ei	15 41 12,1 25,6
28.IX		Région d'Alma Ata, USCGS: 42,0°N 79,5°E, H=02 ^h 53 ^m 48,4 ^s , h=33 km; mb=4,6 /USCGS/, mPV=5,2 /Nie- dzica/ $\Delta = 41,1^\circ$ eP	03 01 30	28.IX	KRA /SKM/ /GW/	Golfe de l'Alaska, USCGS: 59,5°N, 147,1°W, H=15 ^h 44 ^m 55,7 ^s , h=28 km; mb=5,6 /USCGS/ $\Delta = 70,6^\circ$ eP eS ePS eL	15 56 08 16 05 20 52 23,0
	NIE	$\Delta = 41,1^\circ$ eP Z: 0,8 ^s ; 0,029 μ eipP i	03 01 32 42 02 29	29.IX	NIE	Tchécoslovaquie, BCIS: 49,0°N, 16,2°E, H=08 ^h 59 ^m 28 ^s $\Delta = 2^\circ 50'$ ePn _{NEZ}	09 00 11,1
28.IX	KRA /SKM/	$\Delta = 41,2^\circ$ eP	03 01 32	29.IX	RAC /M/	Traces Z	09 00-02
28.IX	KRA /SKM/	Nouvelle Bretagne, USCGS: 6,6°S, 153,4°E, H=04 ^h 56 ^m 56,3 ^s , h=44 km mb=5,9 /USCGS/, MLH=6,8 /Kraków/ $\Delta = 122,0^\circ$ ePKP ePP eL Lm	05 15 48 17 26 55 40 59 20	29.IX	NIE	eP	15 31 18,6
	NIE	$\Delta = 122,1^\circ$ eIPKP	05 15 49	30.IX	KRA /Ch/ /GW/	Iles Riou Kiou, USCGS: 28,9°N, 129,9°E, H=07 ^h 57 ^m 19,9 ^s , h= 32 km; mb=5,5 /USCGS/, MLH= 6,0 /Kraków/ $\Delta = 80,1^\circ$ eP eL Lm	08 09 27 40,9 47 06
28.IX	NIE	eP	05 25 47			NE: 13 ^s ; 14 ^s ; 4,3 μ , 4,0 μ Lm NE: 13 ^s ; 12 ^s ; 3,6 μ , 2,1 μ	
28.IX	NIE	Local e/Pg/NEZ ei _{NE} eiS _{NE} F	15 22 26 30,1 34 25,0		RAC /SK/	$\Delta = 81,0^\circ$ eP	06 09 33

Date	Station	Phase	G.M.T. h m s	Date	Station	Phase	G.M.T. h m s
1967				OCT			
				O			
				B			
				R			
				E			
				1967			
1.X		Région des Iles Loyauté, USCGS: 22,7°S, 173,2°E, H=02 ^h 36 ^m 24 ^s , h=33 km; mb=4,4 /USCGS/ $\Delta = 146,0^\circ$ ePKP	02 55 57	3.X	KRA /SKM/ /GW/	$\Delta = 91,7^\circ$ eP eSKS eL Lm	18 29 11 39 48 59 43 19 10 16
1.X	NIE	Iles Tonga, USCGS: 15,1°S, 174,1°W, H=11 ^h 56 ^m 02,8 ^s , h=90 km; mb=4,6 /USCGS/ $\Delta = 144,6^\circ$. Traces ePKP	12 15 27		NIE	$\Delta = 92,2^\circ$ eP	18 29 13
2.X		Région des Iles Fidji, USCGS: 21,0°S, 178,8°W, H=00 ^h 12 ^m 52,8 ^s , h=604 km; mb=5,8 /USCGS/ $\Delta = 147,6^\circ$ ePKP ₁ 1 iPKP ₂ 1	00 31 27 31 35	4.X	KRA /Ch/	Région des Iles Salomon, USCGS: 5,7°S, 153,9°E, H=17 ^h 21 ^m 20,7 ^s , h=52 km; M=6,9 /Moskva/ $\Delta = 121,5^\circ$ ePKP	17 40 18
	KRA /SKM/	$\Delta = 147,9^\circ$ ePKP ₁ 1	00 31 28 32 37	5.X	KRA /Ch/ /GW/	Région des Iles Ioniennes, BCIS: 37,7°N, 20,7°E, H=12 ^h 00 ^m 49 ^s ; ML= 4,8 /Athènes/ $\Delta = 12,1^\circ$ eP eL ePcS	12 03 47 07,8 13 05
	NIE	$\Delta = 147,9^\circ$ ePKP ₁ 1	00 31 28 32 37		RAC /SK/	$\Delta = 12,3^\circ$. Traces ePP	12 04 00
	RAC /SK/	$\Delta = 148,2^\circ$ ePKP ₁ ePKP ₂	00 31 33 40	6.X		Crête médiane de l'Océan Indien, USCGS: 10,3°S, 66,4°E, H=03 ^h 59 ^m 51 ^s , h=33 km $\Delta = 72,3^\circ$. Traces eP	04 11 15 C
2.X		Région des Iles Salomon, USCGS: 6,7°S, 153,4°E, H=14 ^h 54 ^m 08,4 ^s , h=27 km; mb=5,3 /USCGS/ $\Delta = 122,2^\circ$ iPKP	15 13 05,0	7.X	KRA /SKM/	Iles Kouriles, USCGS: 49,2°N, 156,3°E, H=08 ^h 28 ^m 01,2 ^s , h=33 km; mb=5,3 /USCGS/, mPV=6,1 /Niedzica/ $\Delta = 74,5^\circ$ eiP	08 39 36
3.X		Iles Fidji, USCGS: 21,9°S, 179,5°W, H=14 ^h 46 ^m 47 ^s , h=553 km; mb=4,7 /USCGS/ $\Delta = 140,6^\circ$ ePKP	15 05 31		NIE	$\Delta = 74,9^\circ$ iP Z: 0,8 ^s ; 0,111 μ ei	08 39 38,5 C 44
3.X		États-Unis central, USCGS: 10,9°N, 85,9°W, H=18 ^h 16 ^m 03,2 ^s , h=21 km; mb=5,8 /USCGS/, MLH= 6,2 /Kraków/		7.X		Iles Kouriles, USCGS: 49,2°N, 156,3°E, H=09 ^h 06 ^m 52,3 ^s , h=33 km; mb=4,9 /USCGS/, M=5 /Moskva/	

Date	Station	Phase	G.M.T. h m s	Date	Station	Phase	G.M.T. h m s
7.X	KRA	$\Delta=74,4^\circ$. Traces		8.X	NIE	$\Delta=74,9^\circ$. Traces	
/suite/	/Ch/	eP	09 18 27	eP			21 31 24
	NIE	$\Delta=74,9^\circ$		9.X		Océan Atlantique du Nord, USCGS:	
		eIP	09 18 30			19,4°N, 46,2°W, H=08 ^h 27 ^m 05,4 ^s ,	
		epP	41			h=33 km; mb=4,9 /USCGS/	
7.X		Région des Iles Fidji, USCGS:		NIE	$\Delta=60,3^\circ$. Traces		
		17,3°S, 178,9°W, H=10 ^h 33 ^m 08,2 ^s ,		eP			08 37 13
		h=563 km; mb=4,9 /USCGS/		KRA	$\Delta=60,1^\circ$. Traces		
	KRA	$\Delta=144,2^\circ$		/SKM/	eP		08 37 13
	/Ch/	eIPKP ₁	10 51 40 C	9.X		Sud de la Bavière, BCIS: 47,8°N,	
		ePKP ₂	47			11,1°E, h=10 ^h 03 ^m 02 ^s	
	NIE	$\Delta=144,6^\circ$		RAC	$\Delta=5,1^\circ$		
		iPKP ₁	10 51 42,5 C	/SK/	eSn		10 05 28
		Z: 0,8 ^s ; 0,150 μ			eS ^x		42
		ePKP ₂	46		eL		06,0
		eSKP	54 31	NIE	$\Delta=6,3^\circ$		
7.X		Région de Kamtchatka, USCGS:		eSS			10 06 05
		52,2°N, 160,4°E, H=14 ^h 36 ^m 59,5 ^s ,		eS ^x			16
		h=33 km; mb=4,4 /USCGS/, M \approx 5		KRA	$\Delta=6,2^\circ$		
		/Moskva/		/SKM/	eSSS		10 06 14
	NIE	$\Delta=73,5^\circ$. Traces		/GW/	eSg		29
		eP	14 48 30	9.X		Kamtchatka, USCGS: 54,1°N,	
8.X		Nouvelle Guinée, USCGS: 9,5°S,				155,1°E, H=14 ^h 10 ^m 57,4 ^s , h=393 km;	
		148,8°E, H=16 ^h 59 ^m 34,4 ^s , h=17 km;				mb=5,2 /USCGS/	
		mb=5,5 /USCGS/, M=5 /Moskva/		KRA	$\Delta=69,8^\circ$		
	NIE	$\Delta=121,8^\circ$. Traces		/SKM/	iP		14 21 27,0 D
		ePKP	17 18 29	/GW/	eS		30 02
8.X		Iles Salomon, USCGS: 5,6°S,		NIE	$\Delta=70,3^\circ$		
		154,0°E, H=18 ^h 08 ^m 18,1 ^s , h=70 km;		iP			14 21 30,5 D
		mb=5,1 /USCGS/, M=5,7 /Moskva/		ePP			23 01
	NIE	$\Delta=121,6^\circ$. Traces		9.X		Iles Fidji, USCGS: 21,1°S,	
		ePKP	18 27 04			179,3°W, H=17 ^h 21 ^m 49,5 ^s , h=654 km;	
8.X		Iles Kouriles, USCGS: 49,2°N,				M=7-7 $\frac{1}{2}$ /Pasadena/	
		156,3°E, H=21 ^h 09 ^m 13,1 ^s , h=33 km;		WAR	$\Delta=145,1^\circ$. Tres forte ag.mi.		
		mb=4,7 /USCGS/		iPKP ₁			17 40 16,0
	NIE	$\Delta=74,9^\circ$		i			47 11
		eP	21 20 51 D	KRA	$\Delta=147,5^\circ$		
8.X		Iles Kouriles, USCGS: 49,3°N,		/SKM/	ePKP ₁		17 40 18 D
		156,3°E, H=21 ^h 19 ^m 46,3 ^s , h=23 km;		/GW/	iPKP ₂		24
		mb=4,5 /USCGS/			eSKP		51



Date	Station	Phase	G.M.T. h m s	Date	Station	Phase	G.M.T. h m s
9.X	KRA	ipPKP	17 42 46	10.X			
/suite/	/Ch/	iPKS	43 46		KRA	Traces	
		iSKKS	49 37	/Ch/	eP		15 19 11
	NIE	$\Delta=147,9^\circ$			i		17
		iPKP ₁	17 40 20,2	11.X		Local	
	RAC	$\Delta=148,1^\circ$			NIE	Traces	
	/SK/	eIPKP ₁	17 40 21			eP _{NEZ}	08 57 15,6
		i	33			eS _{NEZ}	40
		Z: 2 ^s ; 25,8 μ		11.X		Local	
		iPKP ₂	45		NIE	Traces	
		Z: 2 ^s ; 21,5 μ				eP _{NEZ}	12 49 15,1
		iPKP	42 55			e/S _{NEZ}	37,1
		iSKP	43 20			F	50,0
		Z: 2 ^s ; 14,1 μ		11.X		Local	
		eISKKS	46 56		NIE	Traces	
		eISPP	47 39			eP _{NEZ}	14 18 43,1
9.X		Région des Iles Fidji, USCGS:				e/S _{NEZ}	58,6
		21,3°S, 179,3°W, H=18 ^h 33 ^m 08,2 ^s ,				F	18,2
		h=619 km; mb=5,1 /USCGS/		11.X		Hondo, Japon, USCGS: 30,4°N,	
	NIE	$\Delta=148,1^\circ$				142,6°E, H=15 ^h 52 ^m 16,8 ^s , h=32 km;	
		ePKP ₁	18 51 41			mb=5,5 /USCGS/	
		i	46		KRA	$\Delta=85,3^\circ$	
		eI	52	/SKM/	eP		16 04 52
	RAC	$\Delta=148,3^\circ$		NIE	$\Delta=85,6^\circ$		
	/SK/	ePKP ₁	18 51 43			eIP	16 04 53 D
		ePKP ₂	56			ePoP	05 03
	KRA	$\Delta=147,7^\circ$		RAC	$\Delta=86,1^\circ$		
	/SKM/	eIPKP ₁	18 51 45 D	/SK/	eP		16 04 53
10.X		Région des Iles Dentrecasteaux,		11.X		Traces	
		USCGS: 9,5°S, 155,1°E, H=03 ^h 01 ^m			NIE	eP	17 58 17,1
		47,7 ^s , h=33 km; mb=5,3 /USCGS/		11.X			
	NIE	$\Delta=125,4^\circ$			NIE		
		ePKP	03 20 48			eIP	19 53 02,6
10.X		Hondo, Japon, USCGS: 36,9°N,				ei	11,1
		141,0°E, H=06 ^h 46 ^m 58,5 ^s , h=25 km;		10.X			
		mb=5,0 /USCGS/			KRA	Traces	
	NIE	$\Delta=79,5^\circ$		/Ch/	eIP		11 44 23,5
		eP	06 59 02 C				
10.X				12.X		A l'Est de la Mer de Chine,	
						USCGS: 28,3°N, 126,9°E,	

Date	Station	Phase	G.M.T. h m s	Date	Station	Phase	G.M.T. h m s
12.X		H=03 ^h 50 ^m 03,4 ^s , h=225 km; mb=4,9		12.X	RAC	iPcP	13 04 28
/suite/	NIE	/USCGS/ Δ=79,0°		12.X	KRA		
	eP		04 01 44	/SKM/	eP		13 12 48,4 C
	ePcP		58	12.X	Mer de Banda, USCGS: 7,1°S, 129,8°E, H=18 ^h 31 ^m 37,1 ^s , h=45 km;		
	epP		02 40		mb=6,2 /USCGS/ Δ=108,2°. Traces		
12.X		Région des Iles Fidji, USCGS: 21,1°S, 179,2°W, H=06 ^h 35 ^m 06,7 ^s , h=636 km; M=6 /Pasadena/ Δ=145,1°		KRA	ePdif		18 45 55 C
WAR	iPKP ₁		06 53 36,0 D	/SKM/	ePP		50 28
	ePKP ₂		46	NIE	Δ=108,0°		
	eisPKP		56 59	eipDif		18 45 59	
				epP		46 11	
KRA	Δ=147,6°			iPKP		50 02	
/SKM/	ePKP ₁		06 53 37 C	iPP		38	
	i		41	13.X	Chine, USCGS: 39,7°N, 74,4°E, H=03 ^h 24 ^m 47,0 ^s , h=33 km; mb=5,2		
NIE	Δ=147,9°			/USCGS/ Δ=39,0°			
	ePKP ₁		06 53 38 D	NIE	eP		03 32 11
	eipPKP ₂		54 01	13.X	Local		
	epPP		59 41	NIE	ePg _{NEZ}		08 40 31,5
RAC	Δ=148,3°				eisg _{NEZ}		43,0
/SK/	ePKP ₁		06 53 38		eLz		41 02
	ePKP ₂		54 03	13.X	Local		
12.X		Local		NIE	iPg _Z		09 09 51,5 C
KRA	Traces				e/Sg/NWZ		10 04,5
/Ch/	iPg _{NEZ}		12 20 59,0	13.X	Local		
	eNZ		30 04,4	NIE	iPg _{NEZ}		12 53 17,5
	e/Sg/N		11,9	F			54 00
12.X		Iles Kouriles, USCGS: 52,2°N, 152,5°E, H=12 ^h 53 ^m 46,9 ^s , h=476 km		13.X	Local		
	mb=5,5 /USCGS/ Δ=70,7°			NIE	iPg _{NEZ}		12 53 17,5
KRA	Δ=70,7°				F		54 00
/GW/	eiP		13 04 14	13.X	Local		
NIE	Δ=71,1°			KRA	Traces		
	iP		13 04 16,0 D	/Ch/	eiP		14 00 14,6
	ePcP		05 32	13.X	Hondo, Japon, USCGS: 36,5°N, 138,2°E, H=19 ^h 48 ^m 48,1 ^s , h=30 km;		
	ipPcP		06 42		mb=4,6 /USCGS/		
	isPcP		07 31	13.X			
	ePPP		08 48				
RAC	Δ=71,2°						
/SK/	iP		13 04 17,0				

Date	Station	Phase	G.M.T. h m s	Date	Station	Phase	G.M.T. h m s
13.X	NIE	Δ=78,5°		15.X	KRA		
/suite/	eP		20 00 47	/SKM/	eP		08 39 04,6 D
14.X		Petites Antilles, USCGS: 17,3°N, 60,8°W, H=03 ^h 31 ^m 04,5 ^s , h=29 km;		15.X	Chine, USCGS: 36,8°N, 105,0°E, H=21 ^h 43 ^m 55 ^s , h=55 km; mb=5,1		
		mb=5,3 /USCGS/ Δ=71,0°			/USCGS/, mPV=6,2 /Niedzica/ Δ=60,1°		
	KRA	Δ=71,0°		NIE	eP		21 53 59 C
	/SKM/	eP	03 42 22		Z: 1 ^s ; 0,020μ		
	eipP		34	15.X	Iles Tonga, USCGS: 17,6°S, 173,2°W, H=23 ^h 03 ^m 15,0 ^s , h=40 km;		
	ePcP		51		mb=4,6 /USCGS/ Δ=146,2°		
	NIE	Δ=71,3°		KRA	Δ=146,2°		
	eP		03 42 27	/SKM/	ePKP		23 22 51
	epP		36	NIE	Δ=146,7°		
14.X		Kenya, USCGS: 3,3°S, 38,2°E, H=23 ^h 29 ^m 30 ^s , h=33 km; mb=5,2			eiPKP		23 22 53 C
		/USCGS/ Δ=54,5°		16.X	Iles Vancouver, USCGS: 49,3°N, 129,1°W, H=13 ^h 27 ^m 35,6 ^s , h=33 km;		
	NIE	Δ=54,5°			mb=5,2 /USCGS/ Δ=77,8°		
	eP		23 39 02	KRA	Δ=77,8°		
	KRA	Δ=55,2°		/SKM/	eP		13 39 33
	/SKM/	eiP	23 39 06 D	NIE	Δ=78,4°. Traces		
15.X		Près de la côte du Nicaragua, USCGS: 11,9°N, 86,0°W, H=08 ^h 00 ^m 50,3 ^s , h=162 km; mb=6,2 /USCGS/ Δ=89,9°			eP		13 39 34
	RAC	Δ=89,9°		16.X	Halmahera, USCGS: 1,7°N, 127,5°E, H=16 ^h 58 ^m 02 ^s , h=120 km;		
	/SK/	eP	08 13 33		mb=5,6 /USCGS/ Δ=99,9°. Traces		
	epP		14 10	NIE	Δ=99,9°. Traces		
	ePP		17 03		eP		17 11 34
	epPP		33		ei		12 12
	ePPP		19 07	16.X	Région des Iles Mascareignes, USCGS: 17,3°S, 66,6°E, H=20 ^h 16 ^m 56,1 ^s , h=18 km; mb=5,2 /USCGS/ Δ=77,8°. Traces		
	KRA	Δ=91,0°			Δ=77,8°. Traces		
	/SKM/	eP	08 13 37		eP		20 28 53,5
	i		39	KRA	Δ=78,5°		
	/GW/	ipP	14 16	/SKM/	eiP		20 29 00 D
	iPP		17 21		eiPcP		08
	eSKS		23 50	16.X	Iles Kouriles, USCGS: 43,9°N, 150,1°E, H=23 ^h 31 ^m 00 ^s , h=33 km;		
	e		25 34		mb=4,3 /USCGS/		
	NIE	Δ=91,5°					
	eP		08 13 38				
	i		40				
	e		55				
	iPP		17 19				
	eSKKS		38 44				

Date	Station	Phase	G.M.T. h m s	Date	Station	Phase	G.M.T. h m s
16.X	KRA	$\Delta=77,0^\circ$		18.X	KRA	$\Delta=30,7^\circ$	
/suite/	/SKM/	eiP	23 42 49 C	/SKM/	eiP		01 17 55 C
		ePcP	43 01	NIE	$\Delta=31,4^\circ$		
	NIE	$\Delta=77,4^\circ$		iP			01 18 03,5
	eP		23 42 51	ei			56
	ePcP		43 03				
17.X		Kazakstan, URSS; USCGS: 49,8°N, 78,1°E, H=05 ^h 03 ^m 58,0 ^s , h=0; mb=5,7 /USCGS/, mPV=6,1 /Niedzica/		18.X		Région des Iles Tonga, USCGS: 18,0°S, 172,8°W, H=02 ^h 44 ^m 58,8 ^s , h=44 km; mb=4,4 /USCGS/	
	KRA	$\Delta=36,7^\circ$		NIE	$\Delta=147,2^\circ$. Traces		
/Ch/	eiP		05 11 07 D	ePKP			03 04 40
	ePP		12 28				
	NIE	$\Delta=36,7^\circ$		18.X		Région de Formose, USCGS: 23,7°N, 122,9°E, H=03 ^h 07 ^m 11,9 ^s , h=35 km; mb=5,1 /USCGS/	
	iP		05 11 08,6 C	KRA	$\Delta=80,1^\circ$. Traces		
	ei	Z: 0,7 ^s ; 0,190 μ	12 12	/Ch/	eP		03 19 20
				ePP			30
17.X		Région des Iles Fidji, USCGS: 21,2°S, 179,1°W, H=14 ^h 08 ^m 58,4 ^s , h=636 km; mb=4,8 /USCGS/		NIE	$\Delta=80,2^\circ$		
	NIE	$\Delta=148,1^\circ$		eP			03 19 19
	iPKP ₁		14 27 35,0 D				
	i	Z: 1,1 ^s ; 0,046 μ	40	18.X		Iles Riou-Kiou, USCGS: 25,6°N, 128,7°E, H=10 ^h 29 ^m 48,5 ^s , h=33 km; mb=5,2 /USCGS/	
				NIE	$\Delta=82,1^\circ$		
				eP			10 42 08
17.X		Iles Philippines, USCGS: 17,2°N, 121,8°E, H=21 ^h 05 ^m 22,5 ^s , h=33 km; mb=5,4 /USCGS/		18.X		Probablement explosion au Névada Uppsala: 37,3°N, 116,0°W, H=14 ^h 30 ^m 00 ^s ; M=6,1 /Uppsala/	
	KRA	$\Delta=84,5^\circ$		KRA	$\Delta=84,9^\circ$		
/SKM/	eP		21 17 53	/Ch/	eP		14 42 37
	ePP		18 06	NIE	$\Delta=85,6^\circ$		
	NIE	$\Delta=84,4^\circ$		eP			14 42 38
	eP		21 17 54	e			48
	i		56	ePP			46 02
	ePP		18 04				
18.X		Mer du Groenland, USCGS: 79,8°N, 2,4°E, H=01 ^h 11 ^m 45 ^s , h=33 km; mb=5,7 /USCGS/		18.X		Région des Iles Kermadec, USCGS: 33,9°S, 179,6°W, H=22 ^h 06 ^m 23,5 ^s , h=26 km; mb=5,4 /USCGS/	
	RAC	$\Delta=31,8^\circ$		KRA	$\Delta=158,5^\circ$		
/SKM/	eP		01 17/52/	/SKM/	ePKP ₁		22 26 17
	ePP		19 02	NIE	$\Delta=158,8^\circ$		
	ePPP		14	ePKP ₁			22 26 18
	e		48	iPKP ₂			56

Date	Station	Phase	G.M.T. h m s	Date	Station	Phase	G.M.T. h m s
18.X		Nouvelles Hébrides, USCGS: 13,9°S, 166,5°E, H=23 ^h 35 ^m 11 ^s , h=87 km; mb=5,0 /USCGS/		21.X	RAC	$\Delta=28,4^\circ$	
	NIE	$\Delta=135,2^\circ$		/SK/	eP		05 05 57
	eiP		23 54 23,2	ePP			06 39
				eiPPP			58
				eiPPPP			07 08
20.X		Turquie, USCGS: 37,9°N, 37,7°E, H=06 ^h 47 ^m 38 ^s , h=33 km; mb=4,8 /USCGS/		21.X		Yougoslavie, BCIS: 43,0°N, 17,1°E, H=16 ^h 54 ^m 59 ^s ; mb=4,3 /USCGS/	
	NIE	$\Delta=16,6^\circ$		NIE	$\Delta=6,5^\circ$		
	eP		06 51 34	ePn			16 56 34
	ePP		49	eP ^x			55
	ePPP		52 03	ei			57 07
20.X		Turquie, BCIS: 38,4°N, 38,6°E, H=07 ^h 44 ^m 57 ^s		21.X		Région des Iles Fidji, USCGS: 24,8°S, 177,3°W, H=16 ^h 39 ^m 40,3 ^s , h=107 km; mb=4,8 /USCGS/	
	NIE	$\Delta=17,0^\circ$		RAC	$\Delta=152,2^\circ$. Traces		
	eP		07 49 03	/SK/	ePKP ₁		18 59 25
	ePPP		21	NIE	$\Delta=152,0^\circ$		
				ePKP ₁			18 59 26
20.X		Local		i			32
	NIE	eP _{NEZ}	12 56 11,3	epPKP ₂			19 00 05
		iS _{NEZ}	34,8				
		F	57,0	22.X		Traces	
				eP			21 23 30,2
20.X		Région des Iles Fidji, USCGS: 20,6°S, 178,1°W, H=15 ^h 56 ^m 33,4 ^s , h=556 km; mb=5,0 /USCGS/		22.X		Iles Tonga, USCGS: 18,0°S, 174,8°W, H=22 ^h 18 ^m 14,4 ^s , h=145 km; mb=4,5 /USCGS/	
	RAC	$\Delta=148,0^\circ$. Traces		NIE	$\Delta=146,6^\circ$		
	/SK/	ePKP ₁	16 15 14	ePKP			22 37 39
	KRA	$\Delta=147,5^\circ$					
	/Ch/	ePKP ₁	16 15 15	22.X		Iles Riou-Kiou, USCGS: 27,4°N, 128,3°E, H=23 ^h 04 ^m 14,2 ^s , h=34 km; mb=5,2 /USCGS/	
		ePKP ₂	29	KRA	$\Delta=80,4^\circ$		
				/SKM/	iP		23 16 23,2 C
21.X		Région de la Nouvelle Zélande, USCGS: 73,4°N, 54,8°E, H=04 ^h 59 ^m 58,1 ^s , h=0; mb=5,9 /USCGS/		NIE	$\Delta=80,5^\circ$		
	WAR	$\Delta=25,5^\circ$		eP			23 16 25
	eiP		05 05 30				
	ei		06 37	23.X		Iles Kouriles, USCGS: 43,4°N, 146,9°E, H=02 ^h 53 ^m 30,7 ^s , h=33 km; mb=5,0 /USCGS/	
	ei		10 20	NIE	$\Delta=76,6^\circ$		
	KRA	$\Delta=28,1^\circ$		eP			03 05 19
	/SKM/	iP	05 05 50,1 C	eipP			30
		ei	11 04				
		eL	14,6				

Date	Station	Phase	G.M.T. h m s	Date	Station	Phase	G.M.T. h m s	
1967				NOVEMBRE				1967
1.XI	KRA /SKM/	Sud des Iles Fidji, USCGS: 23,0°S 176,8°W, H=14 ^h 59 ^m 58,9 ^s , h=140 km; mb=5,3 /USCGS/ Δ=150,2°. Traces	15 19 34,2 D	1.XI	RAC	ePcP	19 29 41	
	NIE	Δ=150,6°		2.XI	KRA /SKM/	Mer du Groenland, USCGS: 73,2°N, 7,7°E, H=03 ^h 05 ^m 51 ^s , h=33 km; mb=4,3 /USCGS/ Δ=24,1°. Traces	03 11 06	
	RAC /SK/	Δ=150,7°	15 19 35,3 D 40 51		RAC /SK/	Δ=23,9°	03 11 10	
					NIE	Δ=24,8°	03 11 11 22	
1.XI	NIE	Iles Kouriles, USCGS: 48,2°N, 154,4°E, H=16 ^h 09 ^m 16,7 ^s , h=47 km; mb=5,3 /USCGS/ Δ=75,2°	16 20 54 C	4.XI	NIE	Région de Formose, USCGS: 24,3°N, 122,2°E, H=05 ^h 07 ^m 18,0 ^s , h=76 km; mb=5,0 /USCGS/ Δ=79,3°	05 19 16	
					KRA /Ch/	Δ=79,3° Traces	05 19 16 D	
1.XI	NIE	Iles Kouriles, USCGS: 48,3°N, 154,4°E, H=16 ^h 30 ^m 57,1 ^s , h=40 km; mb=5,5 /USCGS/ mPV=5,6 /Niedzica/ Δ=75,2°	16 42 36 C	4.XI	KRA /Ch/	Local	08 57 13,9 21,4	
			Z: 0,8 ^s ; 0,041μ					
	RAC /SK/	Δ=75,2°	39 51	4.XI	RAC /SK/	Région des Iles Fidji, USCGS: 17,8°S, 179,0°W, H=10 ^h 17 ^m 14,7 ^s , h=573 km; M=6¼ /Pasadena/ Δ=145,0°	10 35 47 38 37	
					NIE	Δ=145,0°	10 35 48,6 C	
1.XI	NIE	Région de la Nouvelle Guinée, USCGS: 4,8°S, 135,7°E, H=18 ^h 56 ^m 54,8 ^s , h=14 km; mb=5,8 /USCGS/ M=5½ /Moskva/ Δ=110,0°	19 15 28		KRA /Ch/	Δ=144,6°	10 35 51,0 C	
							55	
	RAC /SK/	Δ=79,9°	19 29 29	4.XI	RAC /SK/	Δ=145,1°	10 35 51,0	
							NEZ: 1 ^s ; 0,9μ, 0,7μ, 1,3μ	
							54	
				4.XI		Près de la côte E de Hondo, USCGS: 37,4°N, 141,6°E, H=13 ^h 26 ^m 47,7 ^s , h=46 km; mb=5,7 /USCGS/, MLH=6,1 /Kraków/		

Date	Station	Phase	G.M.T. h m s	Date	Station	Phase	G.M.T. h m s
4.XI	KRA /suite/ /Ch/ /GW/	Δ=79,1° eIP eS eL	13 38 48 C 48 44 14 06,6	4.XI	NIE	Lm	15 25 00
							E: 10 ^s ; 11,9μ
	NIE	Δ=79,3°	13 38 50,0	4.XI	NIE	eIP	16 15 12,7
			39 03	4.XI	KRA /SKM/	Région frontière Pérou-Equateur, USCGS: 2,8°S, 77,7°W, H=16 ^h 26 ^m 48,2 ^s , h=99 km; mb=6,0 /USCGS/ Δ=97,1°	16 40 11
	RAC /SK/	Δ=79,8°	41 49				38
4.XI			13 38 52		/GW/	iSKS	44 05 50 41
					NIE	Δ=97,3°	16 40 13
	KRA /Ch/ /GW/	Région de Hokkaido, Japon, USCGS: 43,5°N, 144,1°E, H=14 ^h 30 ^m 37,5 ^s , h=30 km; mb=5,8 /USCGS/, MLH=6,7 /Kraków/ Δ=75,1°	14 42 18 C 30 51 56 15 09 14 08				38 44 06
				5.XI	NIE	Traces	21 51 32,8
				6.XI	NIE	Local	03 59 29,8 43,3
	NIE	Δ=75,4°	14 42/20/	7.XI	KRA /Ch/ /SK/	Région des Iles Samoa, USCGS: 14,9°S, 173,0°W, H=03 ^h 49 ^m 17,4 ^s , h=43 km; mb=5,6 /USCGS/ Δ=143,7°	04 08 46 04 08 48
	RAC /SK/	Δ=75,7°	14 42 22 38				04 08 48
			15 13		NIE	Δ=144,1°	04 08 48 58
4.XI							
	KRA /Ch/ /SK/	Région de Hokkaido, Japon, USCGS: 43,5°N, 144,0°E, H=14 ^h 46 ^m 01,9 ^s , h=33 km; mb=5,4 /USCGS/ Δ=75,1°	14 57 42 C	7.XI		Afghanistan, USCGS: 37,0°N, 71,7°E, H=19 ^h 57 ^m 26,1 ^s , h= 136 km; mb=5,3 /USCGS/ Δ=38,7°	20 04 40 05 18 06 15
	NIE	Δ=75,4°	14 57 43				
			52				
			15 21 37				
			N: 10 ^s ; 11,9μ				
			24 56				
			Z: 10 ^s ; 10,0μ				

Date	Station	Phase	G.M.T. h m s	Date	Station	Phase	G.M.T. h m s
8.XI		Hondo, Japon, USCGS:	35,5°N, 140,8°E, H=01 ^h 56 ^m 15,1 ^s , h=56 km	9.XI	NIE	$\Delta=105,4^\circ$ eP	02 31 51
	NIE	mb=4,3 /USCGS/ $\Delta=80,5^\circ$ eP	02 08 22			i/PP/ ei	36 04 37 16
8.XI		Péninsule de l'Alaska, USCGS:	59,0°N, 150,2°W, H=02 ^h 41 ^m 34,1 ^s , h=34 km; mb=4,4 /USCGS/ $\Delta=71,9^\circ$	9.XI		Péninsule de l'Alaska, USCGS:	54,8°N, 162,1°W, H=07 ^h 47 ^m 16,0 ^s , h=40 km; mb=4,7 /USCGS/ $\Delta=76,4^\circ$. Traces
	NIE	eP	02 52 54		NIE	eP	07 59 02
		epP	53 03	9.XI		Méditerranée, BCIS: 35,5°N, 27,7°E, H=14 ^h 48 ^m 45 ^s , h=50 km; mb=5,7 /USCGS/ $\Delta=14,7^\circ$. Traces	
8.XI		Mer des Caraïbes, USCGS: 16,8°N 85,9°W, H=03 ^h 10 ^m 53,3 ^s , h=28 km; mb=5,4 /USCGS/ $\Delta=87,2^\circ$. Traces			NIE	eP	14 52 20
	KRA	eP	03 23 37			ePP	33
	/SKM/	$\Delta=87,6^\circ$		9.XI		Hondo, Japon, USCGS: 35,5°N, 140,1°E, H=18 ^h 19 ^m 35,0 ^s , h=68 km; mb=5,3 /USCGS/, mPV=5,4 /Niedzica/ $\Delta=80,0^\circ$	
	NIE	eP	03 23 40		KRA	eiP	18 31 37 C
		epP	52		/Ch/	ePcP	44
		ei	24 18		NIE	$\Delta=80,2^\circ$ eiP	18 31 38 C
8.XI		Iles Aléoutiennes, USCGS: 51,1°N 178,5°E, H=17 ^h 09 ^m 27,1 ^s , h=29 km; mb=5,3 /USCGS/ $\Delta=77,8^\circ$				Pm	39
	KRA	eP	17 21 23 C			Z: 1,0 ^s ; 0,034 μ	
	/Ch/	$\Delta=78,0^\circ$				ipP	59
	RAC	eP	17 21 25			i	32 37
	/SK/	$\Delta=78,4^\circ$			RAC	$\Delta=80,7^\circ$	
	NIE	eiP	17 21 32		/SK/	eP	18 31 41
		epP	43	9.XI		Iles Tonga, USCGS: 15,1°S, 173,2°W, H=20 ^h 11 ^m 32,1 ^s , h=65 km; mb=4,9 /USCGS/ $\Delta=144,3^\circ$	
8.XI		Iles Aléoutiennes, USCGS: 51,1°N 178,4°E, H=17 ^h 22 ^m 32,1 ^s , h=10 km; mb=5,2 /USCGS/ $\Delta=77,8^\circ$. Traces			NIE	ePKP	20 31 00
	KRA	eP	17 34 30	10.XI		Iran, BCIS: 35 $\frac{3}{4}$ °N, 53 $\frac{3}{4}$ °E, H=02 ^h 50 ^m 52 ^s ; M=4,6 /Moskva/ $\Delta=27,8^\circ$. Traces	
	/Ch/	$\Delta=78,4^\circ$			NIE	eP	02 56 46
	NIE	eP	17 34 34	10.XI		Crête médiane de l'Atlantique, USCGS: 45,1°N, 28,1°W, H=04 ^h 40 ^m 15,0 ^s , h=33 km; mb=4,8 /USCGS/ $\Delta=4^\circ 08'$	
		ePcP	45			eZ	11 21 47,5

Date	Station	Phase	G.M.T. h m s	Date	Station	Phase	G.M.T. h m s
10.XI	NIE	$\Delta=32,7^\circ$. Traces eP	04 46 46	11.XI	RAC	Traces	
	/suite/				/SK/	NEZ	11 21-23
10.XI		Crête médiane de l'Atlantique, USCGS: 44,8°N, 28,1°W, H=05 ^h 50 ^m 27,6 ^s , h=33 km; mb=4,7 /USCGS/ $\Delta=32,9^\circ$. Traces		11.XI		Local	
	NIE	eP	05 56 58		NIE	eiP _{NEZ} eiS _{NE}	11 30 48,5 59,0
10.XI		Région des Iles Fidji, USCGS: 18,0°S, 178,5°W, H=13 ^h 11 ^m 18,1 ^s , h=592 km; mb=5,0 /USCGS/ $\Delta=145,0^\circ$. Traces		11.XI		Crête médiane Indienne, USCGS: 6,0°S, 71,4°E, H=11 ^h 55 ^m 55,6 ^s , h=37 km; mb=5,6 /USCGS/ $\Delta=70,6^\circ$	
	KRA	eiPKP ₁	13 29 50 C		NIE	eP	12 07 10
	/Ch/	ePKP ₂	30 12			ePcP	34
	NIE	$\Delta=145,4^\circ$ iPKP ₁ iPKP ₂	13 29 51,5 30 08	11.XI		Iles Chagos, USCGS: 6,0°S, 71,3°E, H=12 ^h 14 ^m 57,3 ^s , h=34 km; mb=5,7 /USCGS/ $\Delta=70,6^\circ$	
	RAC	$\Delta=145,5^\circ$ ePKP ₁	13 29 52		NIE	eP	12 26 10 D
	/SK/					eiPcP	34
10.XI		Crête médiane Indienne, USCGS: 6,0°S, 71,4°E, H=18 ^h 38 ^m 37,6 ^s ; mb=5,4 /USCGS/ $\Delta=70,6^\circ$			KRA	$\Delta=71,2^\circ$. Traces	
	NIE	eP	18 49 52		/Ch/	eP	12 26 14
		ePcP	50 22	11.XI		Iles Chagos, USCGS: 6,1°S, 71,4°E, H=18 ^h 00 ^m 00,7 ^s , h=33 km; mb=5,7 /USCGS/ $\Delta=70,7^\circ$	
	KRA	$\Delta=71,2^\circ$. Traces			NIE	eP	18 11 14 C
	/Ch/	eP	18 49 58	11.XI		Iles Chagos, USCGS: 6,0°S, 71,3°E, H=20 ^h 18 ^m 11,1 ^s , h=20 km; mb=5,4 /USCGS/ $\Delta=71,2^\circ$. Traces	
10.XI		Iles Kouriles, USCGS: 45,3°N, 149,8°E, H=20 ^h 48 ^m 25,7 ^s , h=95 km; mb=4,8 /USCGS/ $\Delta=76,1^\circ$			KRA	$\Delta=76,2^\circ$	
	NIE	eiP	21 00 04 C		/SKM/	eP	20 29 29
11.XI		Uganda, USCGS: 2,0°N, 31,5°E, H=02 ^h 26 ^m 45,8 ^s , h=33 km; mb=5,1 /USCGS/ $\Delta=48,6^\circ$. Traces		12.XI		Iles Kouriles, USCGS: 44,8°N, 149,8°E, H=02 ^h 27 ^m 16,6 ^s , h=41 km; mb=5,5 /USCGS/, mPV=5,6 /Niedzi- ca/ $\Delta=76,5^\circ$	
	KRA	eP	02 37 29 C		KRA	eiP	02 39 00 C
	/SKM/				/Ch/	$\Delta=76,5^\circ$	
11.XI		Tchécoslovaquie, explosion de 30,8 tonnes, Pruhonice: 50°35,2'N, 14°03,2'E, $\Delta=4^\circ 08'$			NIE	iP	02 39 03,5 C
	NIE	eZ	11 21 47,5			Z: 1,0 ^s ; 0,054 μ	
						eiPcP	15
						epP	22

Date	Station	Phase	G.M.T. h m s	Date	Station	Phase	G.M.T. h m s
12.XI	RAC /suite/ /SK/	$\Delta=76,7^\circ$ eP	02 39 04	13.XI	NIE	e	14 13 48
12.XI	NIE	Local Traces ePg _{NEZ} e _{NEZ}	10 34 33,5 53,5	14.XI		Inde, USCGS: 24,0°N, 91,5°E, H=00 ^h 04 ^m 17,8 ^s , h=33 km; mb=5,1 /USCGS/ NIE $\Delta=60,1^\circ$ eP	00 14 25,7
12.XI	KRA /Ch/	Région des Iles Tonga, USCGS: 17,2°S, 172,0°W, H=10 ^h 36 ^m 52,0 ^s , h=34 km; M=6-6 ¹ / ₄ /Pasadena/ $\Delta=146,1^\circ$ eiPKP ₁ ei	10 56 29 C 40	14.XI		Iles Tonga, USCGS: 18,0°S, 175,2°W, H=19 ^h 44 ^m 45,6 ^s , h=255 km; mb=4,4 /USCGS/ NIE $\Delta=146,5^\circ$ iPKP	20 03 58 C
	RAC /SK/	$\Delta=146,4^\circ$ ePKP ₁ e	10 56 32 42	15.XI		Chili, USCGS: 28,7°S, 71,2°W, H=21 ^h 31 ^m 51,5 ^s , h=15 km; mb=6,2 /USCGS/ KRA $\Delta=112,0^\circ$ ePKP	21 50 28
	NIE	$\Delta=146,6^\circ$ iPKP ₁ e ei	10 56 32,5 42 57 24		/SKM/ /GW/	ePP ePS eL	51 18 22 00 47 32,8
12.XI	NIE	Local Traces ePg _{NEZ}	11 16 47,5		NIE	$\Delta=112,1^\circ$ ePKP ePP ePKKP	21 50 28 51/16/ 22 01 18
12.XI	NIE	Région des Iles Loyauté, USCGS: 22,8°S, 170,7°E, H=17 ^h 24 ^m 31,9 ^s , h=26 km; mb=5,1 /USCGS/ $\Delta=144,8^\circ$ ePKP	17 44 08	10.XI		Région des Iles Fidji, USCGS: 20,7°S, 178,8°W, H=16 ^h 31 ^m 04 ^s , h=591 km; mb=4,5 /USCGS/ $\Delta=146,6^\circ$ ePKP ₁ ePKP ₂	16 49 43 47
	RAC /SK/	$\Delta=145,5^\circ$ ePKP	17 44 08		NIE	Crête médiane de l'Atlantique, DCIS: 28 ^h 1 ^m 0 ^s N, 43 ^h 4 ^m 0 ^s W, H=04 ^h 58 ^m 53 ^s ; mb=5,2 /USCGS/ $\Delta=52,1^\circ$ eP eS	05 08 03 15 25
12.XI	NIE	Région des Iles Fidji, USCGS: 25,2°S, 177,2°W, H=21 ^h 59 ^m 50,7 ^s , h=225 km; mb=4,9 /USCGS/ $\Delta=152,4^\circ$ ePKP	22 19 22	17.XI	KRA /GW/	$\Delta=52,1^\circ$ eP eS	05 08 03 15 25
	KRA /Ch/	$\Delta=152,1^\circ$. Traces ePKP	22 19 22 D		NIE	$\Delta=52,3^\circ$ eP	05 08 08
13.XI	NIK	eP ei	14 12 28 36	17.XI		Iles Salomon, USCGS: 6,3°S, 154,8°E, H=09 ^h 19 ^m 21,0 ^s , h= 60 km; mb=5,1 /USCGS/	

Date	Station	Phase	G.M.T. h m s	Date	Station	Phase	h m s
17.XI	NIE /suite/	$\Delta=122,6^\circ$ ePKP	09 38 33	19.XI	RAC	e _{NEZ} F	10 09 20 11
17.XI		Iles Nouvelles Hébrides, USCGS: 13,7°S, 167,3°E, H=10 ^h 10 ^m 04,7 ^s , h=215 km; mb=4,5 /USCGS/ NIE $\Delta=135,4^\circ$ ePKP	10 29 01		KRA /SKM/	eiPg _{NEZ} eSg _{NEZ}	10 08 48,5 D 09 04,7
18.XI		Méditerranée, BCIS: 35,0°N, 23,0°E, H=02 ^h 31 ^m 32 ^s ; MLH=5,1 /Strasbourg/, ML=4,7 /Athènes/ NIE $\Delta=14,2^\circ$ eP ePPP	02 34 56 35 27	19.XI		Près de la côte de Hondo, USCGS: 36,4°N, 141,1°E, H=12 ^h 06 ^m 59,5 ^s , h=41 km; mb=5,5 /USCGS/, MLH= 6,0 /Kraków/, mPV=5,6 /Niedzica/ $\Delta=79,8^\circ$ KRA /Ch/ /GW/	12 19 04 C eIP ePcP ePP Lm
	KRA /GW/	$\Delta=15,0^\circ$ eL	02 40,5		NIE	$\Delta=81,0^\circ$ iP Z: 1.0 ^s ; 0,051 μ iPcP ePP	12 19 05,2 C 12 22 00
18.XI		Crête, USCGS: 35,3°N, 23,0°E, H=03 ^h 33 ^m 34 ^s , h=33 km; mb=4,3 /USCGS/ NIE $\Delta=14,0^\circ$ eP ePPP	03 37 02,9 20,		RAC /SK/	$\Delta=80,4^\circ$ eiP e	12 19 08 20 05
18.XI	NIE	Traces eP e	22 50 46 52	19.XI		Région des Iles Loyauté, USCGS: 22,6°S, 170,9°E, H=17 ^h 29 ^m 20,9 ^s , h=33 km; mb=5,2 /USCGS/ $\Delta=144,7^\circ$ eiPKP	17 48 55
19.XI		Albanie, USCGS: 41,1°N, 20,5°E, H=01 ^h 30 ^m 25 ^s , h=32 km; mb=4,3 /USCGS/ NIE $\Delta=8,0^\circ$ eP ePPP	01 32 25 40		RAC /SK/	$\Delta=145,4^\circ$ ePKP	17 48 57
19.XI		Région frontière Tchecoslovaquie -Pologne NIE eiPg _{NEZ} ei/Sg _{NEZ} e _{NEZ} F	10 08 43,8 50 09 28,9 09,7		KRA /GW/	$\Delta=144,5^\circ$. Traces ePKP	17 48 53
	RAC /SK/	e _{NEZ} e _{NZ}	10 08 46 09 03	20.XI		Mer d'Okhotsk, USCGS: 51,2°N, 151,3°E, H=10 ^h 15 ^m 43,0 ^s , h= 426 km; mb=4,7 /USCGS/ $\Delta=71,6^\circ$. Traces eiP e	10 26 20 D 28 35
				20.XI		Mer d'Okhotsk, USCGS: 32,0°N, 140,9°E, H=10 ^h 48 ^m 31,8 ^s , h= 65 km; mb=5,0 /USCGS/. mPV=5,5 /Niedzica/	

Date	Station	Phase	G.M.T. h m s	Date	Station	Phase	G.M.T. h m s
20.XI	NIE	$\Delta=83,4^\circ$		22.XI	NIE	ei	15 40 10
/suite/	eiP		11 00 54	KRA	$\Delta=144,6^\circ$. Traces		
	Z: 1^S ; $0,043\mu$			ePKP		15 39 01	
	eipP		01 03	/Ch/	eppPKP	18	
	KRA	$\Delta=83,2^\circ$		RAC	$\Delta=145,4^\circ$		
/SKM/	iP		11 00 52,4 C	/SK/	ePKP	15 39 02	
	e		01 10				
	RAC	$\Delta=84,0^\circ$. Traces		23.XI			
/SK/	eP		11 00 56		Golfe d'Aden, USCGS: $14,5^\circ N$, $52,1^\circ E$, $H=08^h 35^m 49,5^s$, $h=3$ km; $mb=5,8$ /USCGS/, $MLH=6,4$ /Nie- dzica/, $5,5$ /Kraków/ $\Delta=43,2^\circ$		
20.XI		Proche		NIE	$\Delta=43,2^\circ$		
	NIE	Traces		eiP		08 43 56	
	eP		14 11 46,6	ei		45 58	
	e		12 01,6	iS		50 33	
				iSSS		54 15	
21.XI		Mer de Norvege, USCGS: $72,7^\circ N$, $8,5^\circ E$, $H=17^h 02^m 25,0^s$, $h=33$ km; $mb=5,5$ /USCGS/ $\Delta=23,5^\circ$		Lm		09 09 32	
	KRA			Lm	E: 12^S ; $21,4\mu$	43	
/GW/	eP		17 07 32	Lm	Z: 14^S ; $28,3\mu$	58	
	ePPP		08 05	Lm	N: 11^S ; $20,6\mu$		
	iS		11 47				
	RAC	$\Delta=23,3^\circ$		KRA	$\Delta=43,9^\circ$		
/SK/	eP		17 07 33	/SKM/	eP	08 44 02	
	ei		47	i		10	
	ePP		08 00	iPP		45 43	
/M/	ePPP		06	ei		46 02	
	ePPPP		10	eS		50 34	
	NIE	$\Delta=24,2^\circ$		Lm		09 05 35	
	eiP		17 07 37 C		NE: 10^S ; $8,5^S$; $27,1\mu$, $11,0\mu$		
	i		43	RAC	$\Delta=44,8^\circ$		
	i		58	/SK/	eP	08 44 10	
	ePPP		08 20	ePcP		45 45	
	eS		12 00	eL		56	
22.XI		Région des Iles Loyauté, USCGS: $23,2^\circ S$, $171,7^\circ E$. $H=03^h 25^m$ $33,1^s$, $h=58$ km; $mb=4,6$ /USCGS/ $\Delta=145,7^\circ$. Traces		23.XI			
	NIE				Région du Spitsberg, USCGS: $80,2^\circ N$, $1,0^\circ W$, $H=13^h 42^m 01,6^s$, $h=10$ km; $mb=5,8$ /USCGS/ $\Delta=31,1^\circ$		
	ePKP		03 45 06	RAC	$\Delta=31,1^\circ$		
				/SK/	eP	13 48 20	
				e		28	
22.XI		Région des Iles Loyauté, USCGS: $22,7^\circ S$, $170,9^\circ E$, $H=15^h 19^m 26,8^s$, $h=42$ km; $mb=5,2$ /USCGS/ $\Delta=144,8^\circ$		/M/	ePP	49 19	
	NIE			/SK/	ePPP	33	
	ePKP		15 39 00	/M/	eL	14 01	



Date	Station	Phase	G.M.T. h m s	Date	Station	Phase	G.M.T. h m s
23.XI	KRA	$\Delta=31,4^\circ$		26.XI	KRA	$\Delta=80,4^\circ$	
/suite//GW/	eP		13 48 21	/Ch/	eP		00 20 19 D
	i		26	ePcP		36	
	eiS		53 26	eL		52,3	
	Lm		14 12 45	Lm		59 06	
		NE: 5^S ; $4,4\mu$, $4,6\mu$				NE: 16^S ; $8,1\mu$, $8,1\mu$	
	NIE	$\Delta=32,0^\circ$		NIE	$\Delta=80,5^\circ$		
	iP		13 48 27,0 D	eiP		00 20 21	
	i		33	epP		32	
	e		49 12	RAC	$\Delta=81,3^\circ$		
	eiPP		35	/SK/	eP		00 20 23
	eS		53 42				
24.XI		Local		26.XI			
	NIE				Java, USCGS: $8,1^\circ S$, $112,9^\circ E$, $H=$ $02^h 53^m 57,8^s$, $h=80$ km; $mb=5,7$ /USCGS/ $\Delta=97,7^\circ$		
	iPg _{NEZ}		07 50 40 C	NIE	$\Delta=97,7^\circ$		
	iS _{NEZ}		50	eP		03 07 26	
	F		51 30	e		34	
	KRA			ei		08 05	
/Ch/	iPg _{NEZ}		07 50 53,4	eiPP		11 22	
	eiS _{NEZ}		51 12,4	KRA	$\Delta=98,0^\circ$		
	F		30	/SKM/	ePP		03 11 27
24.XI		Traces		26.XI			
	NIE				Grèce-Albanie, BCIS: $39,5^\circ N$, $20,6^\circ E$, $H=03^h 24^m 58^s$, $h=45$ km; $ML=4,0$ /Athènes/ $\Delta=9,6^\circ$		
	eP		09 01 49,0	NIE	$\Delta=9,6^\circ$		
	e		02 40,5	eiP		03 27 23 D	
24.XI		Local		ePP		33	
	NIE			KRA	$\Delta=10,3^\circ$. Traces		
	ePg _{NEZ}		07 25/17/	/SKM/	eP		03 27 31
	e _{NEZ}		22,0				
	ei/Sg _{NEZ}		29,0	26.XI			
25.XI					Région des Iles Kodiak, USCGS: $56,6^\circ N$, $152,2^\circ W$, $H=08^h 11^m 06,3^s$, $h=28$ km; $mb=4,9$ /USCGS/ $\Delta=73,8^\circ$. Traces		
	KRA			KRA	$\Delta=73,8^\circ$. Traces		
/Ch/	eP		12 20 34,5	/SKM/	eP		08 22 39
	ei		38	NIE	$\Delta=74,4^\circ$		
25.XI		Local		eiP		08 22 42	
	NIE			ipP		50	
	iP _{NEZ}		14 49 40,3	26.XI			
	iS _{NEZ}		44,3		Région des Iles Loyauté, USCGS: $22,9^\circ S$, $171,4^\circ E$, $H=11^h 55^m 53,3^s$, $h=58$ km; $mb=4,8$ /USCGS/ $\Delta=145,2^\circ$		
26.XI		Iles Riou-Kiou, USCGS: $28,6^\circ N$, $130,0^\circ E$, $H=00^h 08^m 09,8^s$, $h=33$ km; $mb=5,7$ /USCGS/, $MLH=6,2$ /Kraków		NIE	$\Delta=145,2^\circ$		

Date	Station	Phase	G.M.T. h m s	Date	Station	Phase	G.M.T. h m s
4.XII		Petites Carpathes, BCIS: 48,7°N, 17,4°E, H=08 ^h 54 ^m 39 ^s		6.XII	NIE		
	NIE	Δ=2,0°			iP		03 23 47,5 D
	ePP	NEZ	08 55 22,1	6.XII		Région des Iles Fidji, USCGS: 21,3°S, 178,8°W, H=05 ^h 03 ^m 40,8 ^s , h=559 km; mb=5,1 /USCGS/	
	eNEZ		56,1		KRA	Δ=147,9°	
	KRA	Δ=2,0°. Traces			/Ch/	ePKP ₁	05 22 23 D
	/Ch/	eSn _N	08 55 44,8			ePKP ₂	36
	RAC	Traces			RAC	Δ=148,5°. Traces	
	/SK/	NEZ	08 55-57		/SK/	ePKP ₁	05 22 26
4.XII		Région frontière URSS-Afghanistan USCGS: 36,1°N, 71,2°E, H=15 ^h 35 ^m 34,2 ^s , h=143 km; mb=4,9 /USCGS/		6.XII		Région de Hondo, USCGS: 40,9°N, 143,0°E, H=14 ^h 56 ^m 37,1 ^s , h=31 km; mb=4,6 /USCGS/	
	NIE	Δ=38,9°			NIE	Δ=77,1°	
	eP		15 42 49		eP		15 08 28
	ePP		44 17		ePoP		48
4.XII		Iles Riou-Kiou, USCGS: 27,5°N, 128,9°E, H=20 ^h 17 ^m 05,7 ^s , h=33 km; mb=4,8 /USCGS/		7.XII		Région des Iles Tonga, USCGS: 22,7°S, 175,2°W, H=07 ^h 40 ^m 09 ^s , h=33 km; mb=4,6 /USCGS/	
	NIE	Δ=80,7°. Traces			NIE	Δ=150,9°	
	eP		20 29 17		ePKP ₁		08 00 00
5.XII		Iles du Dodécane, BCIS: 36,4°N, 26,9°E, H=05 ^h 20 ^m 02 ^s , h=140 km; mb=4,6 /USCGS/		7.XII		Iles Tonga, USCGS: 16,7°S, 174,1°W, H=09 ^h 41 ^m 14,1 ^s , h=120 km; mb=5,0 /USCGS/	
	KRA	Δ=14,3°			RAC	Δ=145,1°. Traces	
	/SKM/	eiP	05 23 27		/SK/	eiPKP	10 00 40
	ePP		40		NIE	Δ=145,6°	
	ePPP		46		iPKP		10 00 40,3 C
	RAC	Δ=14,9°			epPKP		01 14
	/SK/	eP	05 23 32	7.XII		Région des Iles Hébrides, USCGS: 14,6°S, 167,3°E, H=09 ^h 49 ^m 37,0 ^s , h=151 km; mb=5,3 /USCGS/	
5.XII		Iles Aléoutiennes, USCGS: 51,6°N, 173,4°W, H=09 ^h 05 ^m 13,1 ^s , h=36 km; mb=5,3 /USCGS/			NIE	Δ=136,2°	
	NIE	Δ=78,9°			ePKP		10 08 42
	eP		09 17 12		epPKP		09 04
	ePoP		22	7.XII		Local	
6.XII		Albanie, USCGS: 41,3°N, 20,3°E, H=00 ^h 01 ^m 54 ^s , h=33 km; mb=4,4 /USCGS/			NIE		
	NIE	Δ=7,7°			ePg _{NEZ}		10 49 58
	eiP		00 03 53		i		50 01,5
	ePP		59		eSg		/10/
					F		51 40

Date	Station	Phase	G.M.T. h m s	Date	Station	Phase	G.M.T. h m s
7.XII	RAC	Traces		9.XII	KRA	Δ=148,1°	
	/suite/ /SK/	NEZ	10 49-51		/SKM/	ePKP ₁	05 47 20
7.XII		Frontière Yougoslavie-Albanie, BCIS: 41,2°N, 20,3°E, H=18 ^h 03 ^m 35 ^s ; mb=4,5 /USCGS/			NIE	Δ=148,4°	
	NIE	Δ=7,9°			ePKP ₁		05 47 21
	eP		18 05 33		ePKP ₂		34
	i		36		RAC	Δ=149,1°. Traces	
	iPP		42		/SK/	ePKP ₁	05 47 22
	KRA	Δ=8,6°. Traces			ePKP ₂		29
	/SKM/	eS	18 07 27	9.XII		Iles Tonga, USCGS: 15,2°S, 173,3°W, H=07 ^h 54 ^m 19,8 ^s , h=33 km; mb=5,0 /USCGS/	
7.XII		Iles Kermadec, USCGS: 30,8°S, 179,7°W, H=20 ^h 28 ^m 46,0 ^s , h=366 km; mb=4,5 /USCGS/			NIE	Δ=144,3°. Traces	
	NIE	Δ=156,2°			ePKP		08 13 52
	eP		20 48 26	9.XII			
8.XII		Kazakstan, USCGS: 49,8°N, 78,2°E, H=06 ^h 03 ^m 57,1 ^s ; M=5,4 /Uppsala/			NIE		
	KRA	Δ=36,8°			eP		08 23 23,5
	/Ch/	eiP	06 11 08	10.XII		Près de la côte de Californie, USCGS: 40,5°N, 124,6°W, H=12 ^h 06 ^m 50,3 ^s , h=5 km; mb=5,8 /USCGS/	
8.XII		Local			KRA	Δ=84,8°. Traces	
	NIE				/GW/	eP	12 19 27
	iPg _Z		08 59 30,2		eSKS		29 39
	eSg _{NEZ}		38,5		eL		54,6
9.XII		Mer Adriatique, BCIS: 42 ^h 00 ^m 16 ^s °N, 16 ^h 00 ^m 57 ^s °E, H=03 ^h 09 ^m 57 ^s , h=100 km; M=4,8 /Beograd/			NIE	Δ=85,5°	
	NIE	Δ=7,4°			eP		12 19 30
	ePn		03 11 58		i		38
	eiP ^x		12 15	10.XII		Chine, USCGS: 46,3°N, 81,9°E, H=15 ^h 34 ^m 57 ^s , h=48 km; mb=4,8 /USCGS/	
	RAC	Δ=7,8°			NIE	Δ=40,5°	
	/SK/	ePg	03 12 36		eP		15 42 36
	eS ^x		14 00	10.XII		Birmanie, USCGS: 22,5°N, 94,8°E, H=18 ^h 43 ^m 34,4 ^s , h=158 km; mb=5,2 /USCGS/	
	eSg		25		NIE	Δ=63,3°	
	KRA	Δ=8,0°			eP		18 53 49
	/SIKM/	iSn	03 13 41		e		54 42
	/GW/	eSg	14 30	10.XII		Inde, USCGS: 17,7°N, 73,9°E, H=22 ^h 51 ^m 24,3 ^s , h=33 km; MLH=6 ^h 2 /Pasadena/, 6,0 /Kraków/	
9.XII		Région des Iles Fidji, USCGS: 22,2°S, 179,4°W, H=05 ^h 28 ^m 38,9 ^s , h=588 km; mb=4,9 /USCGS/					

Date	Station	Phase	G.M.T. h m s	Date	Station	Phase	G.M.T. h m s
10.XII	NIE	$\Delta=53,2^{\circ}$		11.XII		mb=5,3 /USCGS/	
/suite/	eiP		23 00 41	KRA	$\Delta=148,2^{\circ}$		
	e		02 20	/Ch/	ePKP ₁	20 00 39 D	
	KRA	$\Delta=53,6^{\circ}$		NIE	$\Delta=149,2^{\circ}$		
/SKM/	eP		23 00 45 D	eiPKP ₁		20 00 41	
	eiS		08 24	iPKP ₂		52	
	i		22 03	RAC	$\Delta=149,1^{\circ}$		
	eL		24	/SK/	ePKP ₁	20 00 41	
	Lm		29 34	11.XII		Golfe d'Aden, BCIS: 13,6°N, 51,5°E, H=22 ^h 30 ^m 13 ^s ; MLH=5,1 /Pruhonice/	
	Lm	E: 11 ^s ; 4,1 μ		NIE	$\Delta=43,7^{\circ}$		
	Lm	N: 11 ^s ; 8,0 μ	39	eiP		22 38 24	
	RAC	$\Delta=54,7^{\circ}$		ei/PP/		40 15	
/SK/	eP		23 00 53	KRA	$\Delta=45,2^{\circ}$		
	ePcP		01 54	/Ch/	eP	22 38 29	
	eL		27	RAC	$\Delta=45,2^{\circ}$. Traces		
11.XII				/SK/	eP	22 38 34	
		Grisons, Suisse, BCIS: 46,8°N, 9,8°E, H=02 ^h 36 ^m 18 ^s		12.XII		Iles Loyauté, USCGS: 22,7°S, 171,1°E, H=05 ^h 06 ^m 06,7 ^s , h= 39 km; mb=4,9 /USCGS/	
KRA	$\Delta=7,4^{\circ}$			RAC	$\Delta=145,5^{\circ}$		
/Ch/	eSn		02 39 30	/SK/	ePKP ₁	08 25 52	
	eS ^x		40 03	ePKP ₂		26 06	
	eL		16	12.XII		Inde, USCGS: 17,4°N, 73,9°E, H=15 ^h 48 ^m 55,5 ^s , h=27 km; mb= 5,0 /USCGS/	
RAC	$\Delta=6,4^{\circ}$. Traces			KRA	$\Delta=53,8^{\circ}$. Traces		
/SK/	eS ^x		02 39 42	/SKM/	eP	15 58 18	
	eSg		58	12.XII		Frontière Albanie-Yougoslavie, BCIS: vers 41,1°N, 20 $\frac{1}{2}$ °E, H=20 ^h 04,5 ^m	
NIE	$\Delta=7,4^{\circ}$. Traces			NIE	$\Delta=8,0^{\circ}$		
	eSg		02 40 26	eiP		20 06 21,2	
11.XII				ei		08 02,2	
NIE				13.XII		Iles Kouriles, USCGS: 47,6°N, 152,6°E, H=10 ^h 38 ^m 23,4 ^s , h= 124 km; mb=5,5 /USCGS/	
/SK/	eP		11 21 05,5	KRA	$\Delta=74,7^{\circ}$		
11.XII				/Ch/	iP	10 49 49,7 C	
NIE	Local					Z: 1,0 ^s ; 0,33 μ	
	eP _{NEZ}		14 58 43			ePcP	56
	eS _{NEZ}		57				
11.XII							
		A l'Est du Golfe d'Aden, USCGS: 13,7°N, 51,6°E, H=19 ^h 48 ^m 43,3 ^s , h=33 km; mb=5,2 /USCGS/					
NIE	$\Delta=43,7^{\circ}$						
	eP		19 56 49				
11.XII							
		Iles Tonga, USCGS: 20,6°S, 174,3°W, H=19 ^h 40 ^m 53,3 ^s , h=33 km					

Date	Station	Phase	G.M.T. h m s	Date	Station	Phase	G.M.T. h m s
13.XII	NIE	$\Delta=75,1^{\circ}$		14.XII	KRA	$\Delta=44,8^{\circ}$	
/suite/	iP		10 49 52,0 C	/SKM/	eP	02 28 48	
	ePcP		50 00		ePP	30 34	
	epP		18	14.XII		Crête, BCIS: 34,4°N, 26,3°E, H=02 ^h 54 ^m 53 ^s	
	RAC	$\Delta=75,2^{\circ}$		NIE	$\Delta=15,4^{\circ}$. Traces		
/SK/	eiP		10 49 53	eP		02 58 34	
	ePcP		58	ePPP		59 04	
13.XII				KRA	$\Delta=16,1^{\circ}$		
		Local, Pruhonice: D = 1,6 ^s , eiPg 11 04 23,3 , eiSg 44,5		/SKM/	eP	02 58 46 D	
NIE					ePP	57	
	eP _{NEZ}		11 04 45,5	14.XII			
	e _{NEZ}		55,5	NIE			
13.XII							
		Mer d'Okhotsk, USCGS: 47,1°N, 145,7°E, H=17 ^h 47 ^m 51,2 ^s , h=312 km mb=4,8 /USCGS/					
NIE	$\Delta=73,1^{\circ}$						
	eiP		17 58 48 D				
13.XII				15.XII			
		Nouvelles Hébrides, USCGS: 19,1°S, 168,7°E, H=19 ^h 07 ^m 14,4 ^s , h=51 km; mb=5,7 /USCGS/		KRA	$\Delta=155,4^{\circ}$		
KRA	$\Delta=140,5^{\circ}$. Traces			/Ch/	ePKP ₁	20 07 00	
/SKM/	ePKP		19 26 34		epPKP ₁	13	
NIE	$\Delta=140,7^{\circ}$				ePKP ₂	27	
	eiPKP		19 26 36	NIE	$\Delta=155,7^{\circ}$		
	ePP		29 40		ePKP ₁	20 07 01	
13.XII					ePKP ₂	26	
		Région des Iles Fidji, USCGS: 17,7°S, 178,1°W, H=21 ^h 35 ^m 11,4 ^s , h=562 km; mb=4,6 /USCGS/		15.XII			
RAC	$\Delta=145,3^{\circ}$			NIE	Traces		
/SK/	ePKP		21 53 47		eP	21 26 34,7	
13.XII				16.XII			
		Région des Iles Loyauté, USCGS: 22,8°S, 171,5°E, H=23 ^h 09 ^m 37 ^s , h=43 km; mb=4,3 /USCGS/		KRA	$\Delta=73,2^{\circ}$		
NIE	$\Delta=145,2^{\circ}$. Traces			/SKM/	eP	21 05 27	
	eiPKP		23 29/08/	NIE	$\Delta=73,6^{\circ}$		
14.XII					eP	21 05 30	
		Golfe d'Aden, USCGS: 14,3°N, 53,7°E, H=02 ^h 20 ^m 27,9 ^s , h=33 km; mb=4,9 /USCGS/			eiPcP	44	
NIE	$\Delta=44,2^{\circ}$. Traces				i	06 06	
	eP		02 28 36	17.XII			
		Afghanistan, USCGS: 36,5°N, 71,4°E, H=00 ^h 25 ^m 15,1 ^s , h=82 km; mb=5,2 /USCGS/					

Date	Station	Phase	G.M.T. h m s	Date	Station	Phase	G.M.T. h m s
17.XII	NIE /suite/	$\Delta=38,8^\circ$ 1P Z: 1 ^s ; 0,026 μ	00 32 34,9 D	18.XII	KRA /SKM/	$\Delta=25,6^\circ$, Traces eiP	22 54 58 C
		epP ei	33 05 34 15	19.XII	KRA /SKM/	eP	01 12 43
	KRA /SKM/	$\Delta=39,1^\circ$ eiP ipP ePP	00 32 36 D 33 00 34 07	19.XII		Tadzhikistan, URSS; USCGS: 37,5 ^o N, 72,0 ^o E, H=03 ^h 23 ^m 49,6 ^s , h=89 km; mb=5,5 /USCGS/	
17.XII	NIE	Local Traces ePg _{NEZ} e/Sg/NE	10 39 49,4 40 03,0	NIE		$\Delta=38,6^\circ$ 1P ei eSS	03 31 06,0 13 39 36
18.XII		Iles Mariannes, USCGS: 12,0 ^o N, 143,8 ^o E, H=10 ^h 21 ^m 54,7 ^s , h=39 km; mb=5,3 /USCGS/		KRA /SKM/	$\Delta=38,8^\circ$ eiP eipP eiPP	03 31 08 C 36 32 38	
	NIE	$\Delta=101,5^\circ$. Traces eP	10 35 44	19.XII		Youngoslavie-Albanie, BCIS: 41,3 ^o N, 20,3 ^o E, H=08 ^h 32 ^m 28 ^s ; MLH=4,7 /Collm/, 4,4 /Beograd, Skopje/ $\Delta=7,8^\circ$	
18.XII	NIE	Local. Pruhonice: eiPg 12 01 13,7, ei/Sg/ 53		NIE		1Pn i	08 34 29,0 40
		1Pg _{NEZ} e _{NEZ} eSg _{NEZ}	12 00 38,1 41,6 57,6	KRA /GW/	$\Delta=8,5^\circ$ eP eSg	08 34 39 37 17	
	RAC /SK/	Traces e _{NEZ} e _{NZ} e _{NE} F	12 00 40 44 01 00 03	RAC /SK/	$\Delta=8,7^\circ$ eP eSg Lm	08 34 43 37 22 34	
	KRA /SKM/	1Pg _{NE} 1/Sg/NE	12 00 41 58,5		NE: 3 ^s ; 2,5 ^s ; 3 μ , 1,8 μ		
18.XII	NIE	Iles Kouriles, Moskva: 42,6 ^o N, 146,6 ^o E, H=19 ^h 12 ^m 27 ^s $\Delta=77,2^\circ$. Traces eP	19 24 20	19.XII	NIE	Local ePg _{NEZ} eSg _E e _{NEZ}	10 03 20,0 31 34,5
18.XII	NIE	Iran, USCGS: 33,6 ^o N, 46,9 ^o E, H=22 ^h 49 ^m 27,6 ^s , h=39 km; mb=5,0 /USCGS/, M=4,5 /Moskva/ $\Delta=25,1^\circ$. Traces eP	22 54 54	20.XII		Iles Andaman, USCGS: 11,8 ^o N, 93,0 ^o E, H=11 ^h 34 ^m 25,9 ^s , h=61 km; mb=5,4 /USCGS/	
				NIE		$\Delta=69,8^\circ$ eP	11 45 33

Date	Station	Phase	G.M.T. h m s	Date	Station	Phase	G.M.T. h m s
20.XII	NIE /suite/	i e	11 45 41 50	21.XII	RAC	ePS eL Lm	02 53 17 03 15 21 12
	KRA /Ch/	$\Delta=70,3^\circ$ eP ePcP	11 45 34 58			N: 23 ^s ; 417 μ Lm EZ: 20 ^s ; 219 μ , 192 μ	23,0
20.XII		Local. Pruhonice: eiPg 14 02 21,5, iSg 51,5		KRA /SKM/	$\Delta=106,3^\circ$ eP iPP	02 39 39 57	
	RAC /SK/	e _{NEZ} e _{NEZ} e _Z e _{NEZ} F	14 01 53 02 01 14 33 04	/GW/	1SKS iS iPS Lm	50 12 51 31 53 26 03 22 30	
	KRA /Ch/	e1Pg _{EZ} iSg _N	14 02 10,1 30,8		N: 25 ^s ; 193 μ Lm E: 28 ^s ; 110 μ	55	
	NIE	e1Pg _{NEZ} eSg _{NEZ}	14 02 15,2 38,2	NIE	$\Delta=106,4^\circ$ eP e e ePP eS Lm	02 39 39 53 40 09 44 00 53 27 03 21,0	
20.XII	KRA /Ch/	Local e/Sg/E ei/Sg/NZ	14 33 59,9 34 00,4		NEZ: 27 ^s ; 27 ^s ; 25 ^s ; 106 μ , 97 μ , 80 μ		
21.XII		Youngoslavie, BCIS: 42,0 ^o N, 21,0 ^o E, H=00 ^h 09 ^m 37 ^s ; M=4,4 /Skopje/ $\Delta=7,1^\circ$		21.XII		Colombie, USCGS: 7,0 ^o N, 72,1 ^o W, H=11 ^h 37 ^m 22,5 ^s , h=37 km; mb=5,4 /USCGS/ $\Delta=86,3^\circ$	
	NIE	iPn eP ⁿ eSn	00 11 28,5 C 48 12 45	NIE	eP	11 50 04	
	KRA /SKM/	$\Delta=8,1^\circ$ ePn eiPP eiSn	00 11 36 45 13 07	21.XII		Région des Iles Fidji, USCGS: 21,1 ^o S, 179,2 ^o W, H=11 ^h 42 ^m 25 ^s , h=606 km; mb=4,5 /USCGS/ $\Delta=148,0^\circ$	
21.XII		Près de la côte du Chili, USCGS: 21,8 ^o S, 70,0 ^o W, H=02 ^h 25 ^m 21,6 ^s , h=33 km; mb=6,3 /USCGS/, MLH=7,6 /Kraków/, 7,4 /Niedzica/ $\Delta=105,2^\circ$		NIE	ePKP ₁	12 01 03	
	RAC /SK/	eP ePP	02 39 28 43 53	21.XII		Iles Kouriles, USCGS: 49,2 ^o N, 156,2 ^o E, H=16 ^h 03 ^m 20,5 ^s , h=44 km; mb=4,5 /USCGS/ $\Delta=74,9^\circ$	
				NIE	eP	16 14 17	
				21.XII		Iles Kouriles, USCGS: 49,1 ^o N, 156,2 ^o E, H=16 ^h 12 ^m 30,7 ^s , h=53 km;	

Date	Station	Phase	G.M.T. h m s	Date	Station	Phase	G.M.T. h m s
27.XII	NIE	$\Delta=104,9^\circ$		29.XII		Près de la côte du Kamtchatka, USCGS: 56,3 ^o N, 163,9 ^o E, H=12 ^h 36 ^m 26,4 ^s , h=36 km; mb=4,6 /USCGS/	
/suite/		eP	09 31 51		NIE	$\Delta=70,6^\circ$	12 47 38
		e1	35 09			eP	48 10
		i/PP/	36 02				
27.XII		Région des Iles Tonga, USCGS: 22,3 ^o S, 174,8 ^o W, H=16 ^h 22 ^m 48,5 ^s , h=33 km; mb=6,1 /USCGS/		29.XII		Traces	
	KRA	$\Delta=150,2^\circ$		NIE		eP	14 47 20,0
/SIGM/		ePKP ₁	16 42 33				
		eiPKP ₂	38	29.XII		Local	
	NIE	$\Delta=150,6^\circ$		NIE		^e NEZ	17 02 28
		ePKP ₁	16 42 34			^e NEZ	52
		eiPKP ₂	39	29.XII		Albanie, USCGS: 41,5 ^o N, 20,4 ^o E, H=19 ^h 49 ^m 23,6 ^s , h=39 km; mb=4,7 /USCGS/	
		i	57		NIE	$\Delta=7,6^\circ$	19 51 21
		ePKS	46 15			ePn	24
	RAC	$\Delta=150,6^\circ$				iPP	55
/SK/		ePKP ₁	16 42 38			ePg	52 00
		ePKP ₂	48		KRA	$\Delta=8,3^\circ$	19 51 31 C
28.XII		Iles Tonga, USCGS: 16,4 ^o S, 174,0 ^o W, H=23 ^h 56 ^m 34 ^s , h=150 km; mb=4,2 /USCGS/			/SKM/	eiPn	53 00
	NIE	$\Delta=145,3^\circ$				ei	08
		ePKP	00 17 54			eiSn	
28.XII		Près de la côte de l'Orégon, USCGS: 44,2 ^o N, 128,8 ^o W, H=06 ^h 26 ^m 15,8 ^s , h=33 km; mb=5,4 /USCGS/			RAC	$\Delta=8,5^\circ$. Traces	
	KRA	$\Delta=82,5^\circ$. Traces		/SK/		ePn	19 51 37
/GW/		eP	06 38 40	29.XII		Région des Iles Tonga, USCGS: 22,8 ^o S, 175,3 ^o W, H=20 ^h 29 ^m 32,2 ^s , h=30 km; mb=5,3 /USCGS/	
		eSKS	48 58		KRA	$\Delta=150,5^\circ$. Traces	
	NIE	$\Delta=83,2^\circ$		/Ch/		ePKP ₁	20 49 16
		eP	06 38 41		RAC	$\Delta=151,0^\circ$. Traces	
		e	51	/SK/		ePKP ₁	20 49 23
28.XII		Local				ePKP ₂	35
NIE		Traces			NIE	$\Delta=150,9^\circ$	
		^e NEZ	14 44 26			iPKP ₁	20 49 23
		^e NEZ	34			i	25
28.XII		Afghanistan, USCGS: 37,2 ^o N, 71,8 ^o E, H=20 ^h 15 ^m 48,6 ^s , h=156 km mb=4,7 /USCGS/				ePKP ₂	39
	NIE	$\Delta=38,7^\circ$				ei	50 31
		eP	20 23 35				



Date	Station	Phase	G.M.T. h m s	Date	Station	Phase	G.M.T. h m s
29.XII		Région des Iles Tonga, USCGS: 22,7 ^o S, 175,2 ^o W, H=22 ^h 23 ^m 06,0 ^s , h=33 km; mb=5,1 /USCGS/		30.XII	NIE	iPg	04 21 39
	KRA	$\Delta=150,5^\circ$				i	56
/SKM/		ePKP ₁	22 42 56		KRA	$\Delta=7,4^\circ$	
	NIE	$\Delta=150,9^\circ$		/Ch/		eiPn	04 21 10,1 C
		eiPKP ₁	22 42 58 C	/GW/		eiPP	19
		eiSKSP	56 53			ePPP	25
30.XII		Italie, BCIS: 44,6 ^o N, 12,0 ^o E, H=04 ^h 19 ^m 19 ^s ; M=5 ⁷ / ₄ /Strasbourg/ MLH=6,1 /Racibórz/, 5,3 /Kraków/ $\Delta=6,6^\circ$				eP ^x	29
	RAC	$\Delta=6,6^\circ$				ePg	50
/SK/		iPn	04 20 59,0			eSn	22 41
		ePP	21 07			eSS	51
		eiP ^x	16			eiSSS	23 01
		eiPg	30			eiS ^x	05
		i	58			iSg	21
		eL	22,8			Lm	25 04
		Lm	23 38				NE: 9 ^s ; 30,8 μ , 15,4 μ
		NEZ: 3 ^s ; 3 ^s ; 1,5 ^s ; 66 μ , 54 μ , 8 μ		30.XII		Traces	
	NIE	$\Delta=7,2^\circ$			KRA	Traces	
		iPn	04 21 07,7 D	/Ch/		eiP	09 47 50,2
				31.XII			
					NIE	eP	20 04 40,0

RÉSULTATS DES ENREGISTREMENTS DES SECOUSSES
SOUTERRAINES PLUS FORTES EN HAUTE SILÉSIE

Date	Station	Phase	G.M.T. h m s	Date	Station	Phase	G.M.T. h m s
1967 J A N V I É R 1967							
2.I		H=06 ^h 11 ^m 12,0 ^s ; M=2,5 /Chorzów/; DGP/GIG/: 06 11 14,3		6.I	NIE	ei _E eiS _{GEZ} , iS _{GN} F	05 05 09,7 10,5 06
	CHZ	Δ=15 km eS _{NE} , eiS _Z e _Z e _N i _N Lm	06 11 17,5 16,5 19,5 21,9 26		9.I	ψ=50°21'; λ=18°52'; H=13 ^h 05 ^m 10,1 ^s ; M=2,2 /Chorzów, Dąbrowa/; BYT /GIG/: 13 05 13,6; DGP: eS _N 13 05 18,5, Lm _{NE} : 0,3μ, 0,3μ	
		NZ: 1,1 ^s ; 2,1μ, 1,4μ	12 30		CHZ	Δ=11 km eS _{EZ} e _N e _{NEZ} Lm	13 05 14,4 14,9 16,6 21
	KRA	Δ=69 km				EZ: 1,0 ^s ; 1,1μ, 1,0μ	
	/SKM/	iP _{GE} , eiP _{GZ} eP _{GN} e _N eS _{GEZ} F	06 11 24,3 24,8 32,2 33,6 13		KRA	Δ=85 km. Forte ag. mi.	
	NIE	Δ=132 km eiP _{GN} , eP _{GE} , iP _{GZ} ei _N ei _Z e _N eiS _{GE} , eS _{GZ} F	06 11 36,5 40,2 42,0 52,1 54,0 13 30		/Ch. SKM/	eP _{GE} ei _N eiS _{GE} , iS _{GZ} ei _N F	13 05 25,5 31,8 36,8 42,8 06 30
	RAC	Traces			RBN	Δ=38 km. Faible e _{NE} e _N F	13 05 28,0 29,4 06 30
	/SK/	Z	06 11 30-13 00		NIE	Δ=151 km. Faible eP _{NEZ} e _{NEZ} e _{NZ} e _{NEZ} F	13 05 37,7 49,5 56,5 06 06,0 07
6.I		H=05 ^h 04 ^m 31,5 ^s ; M=2,3 /Chorzów/		10.I		ψ=50°22,0'; λ=18°49,5'; H=12 ^h 45 ^m 23,4 ^s ; ZAB /GIG/: 12 45 26,3; BYT: eS _E 12 45 26,5; DGP: eS _N 12 45 32,7	
	CHZ	Δ=20 km eP _{EZ} e _N e _E e _Z Lm	05 04 35,7 36,2 37,6 39,7 45		CHZ	Δ=15 km e _{NE} eS _E e _N F	12 45 27,5 29,0 30,0 46
		Z: 1,5 ^s ; 0,9μ	05				
	KRA	Δ=54 km					
	/Ch/	eP _{NEZ} eiS _{NEZ} e _{NE} F	05 04 41,6 49,0 58,6 06				
	NIE	Δ=126 km eP _{NE} , eiP _{GZ}	05 04 54,0 C				

Date	Station	Phase	G.M.T. h m s	Date	Station	Phase	h m s
10.I	RBN	Δ=38 km. Faible		11.I	KRA	Faible	
/suite/		eS _{GN} e _N F	12 45 36,1 50,5 47		/SKM/	e _{NZ} e _{EZ} F	16 10 43,0 11 08,0 12
	KRA	Δ=89 km			NIE	Δ=151 km. Faible eP _{NE} , eiP _{GZ} e _Z F	16 10 49,2 11 03,7 30
	/SKM/	eP _{GZ} e _Z eiS _{GEZ} e _N F	12 45 38,8 40,7 50,1 46 02,1 47		12.I	H=07 ^h 47 ^m 36,4 ^s ; M=2,5 /Chorzów/; DGP /GIG/: 07 47 40,0	
	NIE	Δ=154 km. Faible			CHZ	Δ=11 km eP _{NE} , eiP _Z eS _E , iS _Z Lm	07 47 39,0 40,9 44
		eiP _{GZ} eP _{NE} eS _{GEZ} F	12 45 48,7 C 49,2 46 08,6 47			NEZ: 1,0 ^s ; 3,5μ, 1,5μ, 2,0μ	
	RAC	Traces			F		48 30
	/SK/	Z	12 45 30-47 00		KRA	Faible	
11.I		H=03 ^h 38 ^m 57,0 ^s ; M=2,0 /Chorzów/			/Ch/	eS _{NEZ} e _{NE} e _Z e _{NZ} F	07 47 57,7 48 04,2 05,0 12,7 49
	CHZ	Δ=5 km eP _{NE} , eiP _Z iS _Z Lm	03 38 58,9 39 00,1 02		RAC	Traces	
		NEZ: 1,0 ^s ; 2,0μ, 2,0μ, 2,0μ			/SK/	NEZ	07 47-49
	F		30		NIE	Traces	
	KRA	Δ=75 km			NEZ		07 48-49
	/SKM/	eP _{NEZ} eiS _{NEZ} e _{NEZ} F	03 39 10,5 20,5 40,5 40 30	12.I		ψ=50°19'; λ=19°01'; H=23 ^h 32 ^m 34,6 ^s ; M=2,8 /Chorzów/; DGP: eS _{NEZ} 23 32 39,8; BYT /GIG/: 23 32 40,0; ZAB: eS _E 23 32 40,2	
	NIE	Traces			CHZ	Δ=4 km iP _{NEZ} Lm	23 32 36,4 D 38
	RAC	Traces				Z: 0,8 ^s ; 7,6μ	
	/SK/	Z	03 39-40			Lm	39
						E: 0,8 ^s ; 9,0μ	
11.I		H=16 ^h 10 ^m 22,8 ^s ; M=2,2 /Chorzów/;			F		33 30
		BYT /GIG/: 16 10 24,0; ZAB /GIG/: 16 10 29,7			RBN	Δ=43 km e _{NE} eS _{NE} e _N e _Z F	23 32 44,4 48,4 58,0 33 03,0 34 30
	CHZ	Δ=11 km eP _{NE} , iP _Z eiS _{EZ} Lm	16 10 25,4 27,3 32			NEZ: 1,0 ^s ; 1,5μ, 1,0μ, 1,2μ	
					F		11

Date	Station	Phase	G.M.T. h m s	Date	Station	Phase	G.M.T. h m s
12.I	KRA	$\Delta = 73$ km		14.I	KRA	1S _{NEZ}	18 07 11,0
/suite/	/SKM/	e1P _{GEZ}	23 32 48,0 D			e1 _{NEZ}	31
		e1 _N	49,1			Lm	33
		eS _{GN} , e1S _{GZ}	57,7			EZ: 1,6 ^S ; 0,14 μ , 0,27 μ	
		e1S _{GE}	57,9			F	08 30
		e1 _Z	58,5		NIE	$\Delta = 137$ km. Forte ag.mi.	
		F	34 30			e1P _{GEZ}	18 07 13,5
	RAC	$\Delta = 64$ km				e _Z	29,0
/suite/	/SK/	eP _{GEZ}	23 32 46,2			F	09
		e _{NE}	51,0	14.I		$\psi = 50^{\circ}20,5'$; $\lambda = 18^{\circ}51,0'$;	
		e _{NEZ}	54,5			H=21 ^h 43 ^m 41,0 ^s ; M=2,5 /Chorzów/;	
		e _{NEZ}	33 06,0			ZAB: eP _E 21 43 42,6; DGP: eP _{EZ}	
		F	35			21 43 46,6, eS _{NEZ} 21 43 50,6	
	NIE	$\Delta = 140$ km			CHZ	$\Delta = 12$ km	
		e1P _{NEZ}	23 32 59,0			eP _{NE} , e1P _Z	21 43 43,5 C
		e1S _{NEZ}	33 17,8			e _E	43,9
		F	35			e1S _{NE}	45,5
14.I		$\psi = 50^{\circ}17'$; $\lambda = 19^{\circ}01'$; H=18 ^h 06 ^m				e1 _Z	46,8
		48,4 ^S ; M=2,2 /Chorzów/, 2,4				Lm	47
		/Dąbrowa Górnicza/; DGP: eP _{EZ}				EZ: 0,4 ^S ; 2,0 μ , 2,0 μ	
		18 06 51,7, Lm _{NE} 1,5 ^S ; 1,4 μ ,				Lm	51
		1,3 μ ; BYT: eS _E 18 06 52,4				Z: 0,9 ^S ; 1,4 μ	
	CHZ	$\Delta = 2$ km. N - illisible				F	44 30
		e1P _{EZ}	18 06 49,4 D		RBN	$\Delta = 36$ km	
		1S _{EZ}	50,2			eP _{NEZ}	21 43 49,0
		Lm	53			e _N	57,0
		EZ: 1,0 ^S ; 10,0 μ , 11,0 μ				e _Z	44 02,2
		F	08			F	45 30
	RBN	$\Delta = 41$ km			RAC	$\Delta = 54$ km	
		eS _N	18 07 01,4		/SK/	eP _{GN}	21 43 51,0
		e _{NEZ}	04,0			e _{EZ}	59,5
		e1 _N	05,9			e _{NE}	44 06,0
		e1 _Z	18,3			F	45 30
		F	09		KRA	$\Delta = 86$ km	
	RAC	$\Delta = 62$ km			/SKM/	eP _{NEZ}	21 43 55,6
/suite/	/SK/	e _{NEZ}	18 07 00,5			e _{EZ}	44 05,6
		eS _{NE}	07,5			e1S _{GEZ}	06,6
		e _Z	10,5			e1 _{EZ}	26,0
		e1 _{NE}	13,0			F	45 30
		F	09 30		NIE	$\Delta = 150$ km. Forte ag.mi.	
	KRA	$\Delta = 72$ km				eP _{GE} , e1P _{GEZ}	21 44 06,5 D
/suite/	/SKM/	eP _{GEZ}	18 07 01,5			e1 _Z	23,2
		i _{NEZ}	10,4				

Date	Station	Phase	G.M.T. h m s	Date	Station	Phase	G.M.T. h m s
14.I	NIE	e _{NE}	21 44 24,3	16.I	RAC	Traces	
/suite/		F	45 30	/SK/		NEZ	10 28 00-29 30
15.I		H=10 ^h 58 ^m 55,0 ^s ; M=2,2 /Chorzów/;		16.I		DGP /GIG/: 21 50 40,0	
		DGP /GIG/: 10 58 59,9			CHZ		
	CHZ	$\Delta = 11$ km				eP _N	21 50 38,2
		eP _{NEZ}	10 58 57,6			e1P _{EZ}	38,7
		i _N	59,4			Lm	39
		e1 _{EZ}	59,6			E: 0,2 ^S ; 6,5 μ	
		Lm	59 02			Lm	42
		E: 0,2 ^S ; 1,5 μ				NEZ: 0,5 ^S ; 3,0 μ , 1,8 μ	
		Lm	04			F	51 30
		Z: 0,8 ^S ; 1,0 μ			KRA	Faible	
		F	30	/Ch/		e _Z	21 50 49,0
	KRA	Traces				e _{NEZ}	51 09,0
	/Ch/	NEZ	10 59-11 00			e _{NEZ}	25,0
	NIE	Traces				F	52
		e _Z	10 59 21	17.I		BYT /GIG/: 19 21 19,4 ;	
		F	11 00			DGP /GIG/: 19 21 21,1	
16.I		H=10 ^h 27 ^m 30,1 ^s ; M=2,5 /Chorzów/		16.I	CHZ	Faible	
	CHZ	$\Delta = 17$ km				e _{NZ}	19 21 20,1
		eP _{EZ}	10 27 33,8			e _N	22,0
		eP _N	34,1			e1 _E , e _Z	22,5
		iS _E	36,3			F	22
		e1S _Z	36,8		NIE	Faible	
		i _Z	38,3			e _N , e1 _{EZ}	19 21 42,8
		Lm	42			e1 _N	22 01,5
		EZ: 1,0 ^S ; 1,5 μ , 1,5 μ				e1 _Z	03,0
		Lm	44			e1 _E	04,5
		N: 1,0 ^S ; 2,5 μ				F	23
		F	28 30		KRA	Faible	
	KRA	$\Delta = 62$ km		/Ch/		e _{EZ}	19 21 43,5
/suite/	/SKM/	eP _{GE} , e1P _{GEZ}	10 27 41,5			e1 _N	47,0
		e1 _N	43,0			F	23
		e _{EZ}	50,5		RBN	Traces	
		e _{NEZ}	51,1			NEZ	19 21-23
		F	29		RAC	Traces	
	NIE	$\Delta = 125$ km		/SK/		Z	19 21 30-23 00
		eP _{GE}	10 27 52,0	18.I		H=02 ^h 01 ^m 48,7 ^s ; DGP /GIG/: 02 00	
		e1P _{GNZ}	53,0			52,0	
		e1 _E	28 04,0		CHZ	$\Delta = 22$ km	
		e1 _{NZ}	10,0			eP _{NEZ}	02 00 53,0
		F	29				

Date	Station	Phase	G.M.T. h m s	Date	Station	Phase	G.M.T. h m s
18.I	CHZ	e_E, e_{iZ}	02 00 56,5	19.I	RAC	e_Z	09 29 11,3
/suite/		F	01 30			e_N	13,8
	KRA	$\Delta = 68$ km				e_{iN}, e_Z	32,5
/Ch/		$e_{Pg_{NEZ}}$	02 01 01,1			F	31
		e_{NEZ}	09,1		NIE	$\Delta = 130$ km	
		$e_{Sg_N}, e_{Sg_{EZ}}$	10,2			$e_{Pg_{NE}}, e_{iPg_Z}$	09 29 17,5
		F	02 30			e_N, e_{iZ}	27,0
	RBN					e_{iZ}	30,3
		e_N	02 01 08,0			e_N	31,5
		e_N	12,0			i_E, e_{iZ}	35,8
		F	03			F	31
	NIE	$\Delta = 133$ km		19.I		$\psi = 50^\circ 19'$; $\lambda = 19^\circ 00'$; $H = 19^h 40^m$	
		$e_{Pg_{NE}}, e_{iPg_Z}$	02 01 12,7			$23,2^S$; $M = 2,4$ /Chorzów/; DGP:	
		$e_{iSg_N}, e_{Sg_{EZ}}$	30,2			e_{P_N} 19 40 26,6	
		F	03		CHZ	$\Delta = 3$ km	
19.I		$\psi = 50^\circ 19'$; $\lambda = 19^\circ 11'$; $H = 09^h 28^m$				$e_{P_{NEZ}}$	19 40 24,6
		$55,1^S$; $M = 2,8$ /Chorzów, Kraków/;				$i_{S_{NEZ}}$	25,6
		BYT /GIG/: 09 29 06,0				Lm	27
	CHZ	$\Delta = 14$ km				NEZ: $0,2^S$; $2,0\mu$; $2,0\mu$; $2,0\mu$	
		$e_{P_N}, e_{iP_{EZ}}$	09 28 58,5 C			F	41
		e_{SZ}	29 00,8		KRA	$\Delta = 75$ km	
		e_{iZ}	01,3		/Ch/	$e_{iPg_{EZ}}$	19 40 37,0 D
		Lm	07			e_{NEZ}	46,0
		NEZ: $1,0^S$; $3,5\mu$; $3,5\mu$; $3,7\mu$				F	42
		F	30		NIE	$\Delta = 140$ km. Faible	
	KRA	$\Delta = 62$ km				$e_{Pg_{EZ}}$	19 40 47,6
/Ch/		$e_{Pg_{NEZ}}$	09 29 06,3 C			e_E	41 06,2
		e_{iN}, i_E	13,9			e_Z	06,8
		e_{iSg_Z}	14,7			F	30
		e_{iEZ}	15,7	20.I		$H = 04^h 28^m 15,0^S$; BYT /GIG/: 04 28	
		$e_{L_{NEZ}}$	27			$15,4$; DGP /GIG/: 04 28 20,0	
		Lm	37		CHZ	$\Delta = 10$ km	
		NEZ: $1,1^S$; $0,19\mu$; $0,16\mu$;				e_{P_Z}	04 28 17,5
		$0,23\mu$				$e_{S_{NEZ}}$	19,3
		F	31			F	29
	RBN	$\Delta = 54$ km			KRA		
		e_Z	09 29 08,7		/SKM/	e_{EZ}	04 28 31,0
		$e_{Sg_{NE}}$	12,0			$e_{Sg_{EZ}}$	38,8
		e_{NZ}	32,0			e_{iSg_N}	39,3
		F	30 30			e_{NEZ}	29 01,3
	RAC	$\Delta = 75$ km				F	30
/SK/		$e_{Pg_{NEZ}}$	09 29 09,0				

Date	Station	Phase	G.M.T. h m s	Date	Station	Phase	G.M.T. h m s	
20.I	NIE	Traces		21.I	NIE	$\Delta = 124$ km		
/suite/		e_Z	04 28 41,5			$e_{Pg_{NEZ}}$	18 05 46,0	
		F	29 30			$e_{iSg_{NEZ}}$	06 02,0	
						F	30	
21.I		$H = 18^h 05^m 22,7^S$; DGP /GIG/: 18 05		24.I		DGP: e_{P_Z} 12 31 27,2		
		$23,6$			KRA			
	CHZ	$\Delta = 17$ km. Faible		/Ch/		$e_{Sg_{EZ}}$	12 31 37,7	
		$e_{P_{NEZ}}$	18 05 26,4			e_N	41,3	
		e_N	29,1			e_{NEZ}	44,0	
		e_Z	30,6			Lm	48	
		e_E	31,2			NEZ: $1,8^S$; $0,08\mu$; $0,09\mu$;		
		F	06			$0,09\mu$		
	KRA	$\Delta = 54$ km			F		32 30	
/SKM/		$e_{Pg_{NZ}}, e_{iPg_E}$	18 05 32,7		NIE			
		$e_{iSg_{NEZ}}$	40,0			$e_{Pg_{NZ}}$	12 31 44,5	
		Lm	06 02			e_{iZ}	58,6	
		NZ: $1,3^S$; $0,05\mu$; $0,11\mu$				e_N	32 00,5	
		Lm	06			e_{EZ}	/01,5/	
		E: $1,2^S$; $0,05\mu$				e_{iN}	06	
		F	30			F	33	
1967				F É V R I E R				1967
3.II		$\psi = 50^\circ 18'$; $\lambda = 18^\circ 52'$; $H = 19^h 35^m$		3.II	RAC	e_Z	19 35 41,4	
		$22,8^S$; $M = 2,6$ /Dąbrowa Górnicza/;				e_{iZ}	43,6	
		BYT: $e_{iP_{NE}}$ 19 35 24,7; DGP: e_{P_D}				e_E	44,8	
		19 35 28,0; $e_{iS_{EZ}}$ 31,8; Lm _{NEZ}				F	38	
		$1,2\mu$; $0,9\mu$; $1,0\mu$			NIE	$\Delta = 147$ km		
	RBN	$\Delta = 34$ km. N - inactive				$e_{iPg_{NEZ}}$	19 35 49,8 D	
		$e_{S_{EZ}}$	19 35 34,0			$e_{i_{NE}}$	36 06,6	
		e_{EZ}	35,8			$i_{Sg_{NE}}, e_{iSg_Z}$	08,9	
		e_{i_E}	39,5			e_{NEZ}	12,6	
		e_Z	42,6			F	37 30	
		F	37	4.II		$\psi = 50^\circ 21'$; $\lambda = 18^\circ 54'$; $H = 04^h 19^m$		
	KRA	$\Delta = 83$ km				$29,0^S$; $M = 2,7$ /Bytom/, $2,5$ /Dąbro-		
/Ch/		e_{NEZ}	19 35 38,8			wa Górnicza/; BYT: $i_{P_{NE}}$ 04 19		
		$i_{Sg_{NEZ}}$	48,0			$30,0$; Lm _{NE}} $70,8\mu$; $70,0\mu$; DGP:		
		F	37 30			$e_{S_{NZ}}$ 04 19 37,0; Lm _Z $1,5^S$; $0,9\mu$		
	RAC	$\Delta = 53$ km			KRA	$\Delta = 83$ km		
/SK/		e_{NZ}	19 35 32,3		/Ch/	e_{Pg_E}	04 19 44,0	
		e_{Sg_N}, e_{iSg_Z}	39,2			e_{Pg_Z}	44,5	

Date	Station	Phase	G.M.T. h m s	Date	Station	Phase	G.M.T. h m s
4. II	KRA	e _{NE}	04 19 45,0	6. II	KRA		
/suite/		e _{NZ}	54,3	/Ch/	eP _{NEZ}		10 48 47,9
		eS _{gN} , e _{iS_{gE}}	55,0		e _{NEZ}		59,0
		e _{iEZ}	59,0		F		49 30
		F	21 30	NIE			
RAC	Faible				e _{iP_{gZ}}		10 48 56,5
/SK/		e _N	04 19 44,5		e _{NEZ}		49 14,5
		e _E	48,0		e _{iNE} , e _Z		16,0
		e _Z	20 02,0		F		30
		e _{iE}	05,0	7. II	DGP /GIG/:	03 58 51,4	
		F	21 30	CHZ			
NIE	Δ = 149 km. N - illisible				e _{P_{NEZ}}		03 58 49,1
	eP _{gE} , e _{iP_{gZ}}		04 19 54,7 C	Lm			53
	e _E		20 11,0		NEZ: 0,9 ^s ; 2,0μ, 1,0μ, 1,1μ		
	e _{EZ}		12,8		F		59
	F		21	KRA			
6. II		H=10 ^h 43 ^m 11,0 ^s ; M=2,0 /Chorzów/;		/SKM/	e _{NEZ}		03 59 11,0
		DGP /GIG/:	10 43 12,7		e _{NEZ}		16,5
CHZ	Δ = 12 km				e _{NEZ}		32,0
	e _{S_Z}		10 43 15,7		F		04 00
	e _{S_{NE}}		16,0	8. II			
	e _{NZ}		18,9		H=12 ^h 26 ^m 32,7 ^s ; DGP: eP _Z		12 26
	e _E		20,4		35,0		
	Lm		23	KRA	Δ = 75 km		
		Z: 1,4 ^s ; 0,9μ		/Ch/	eP _{gNEZ}		12 26 46,4
	F		44		eS _{gNEZ}		56,4
KRA	Δ = 71 km				F		27 30
/Ch/	eP _{gNEZ}		10 43 23,9	NIE	Faible		
	e _{iS_{gNEZ}}		33,4		e _{iP_{gZ}}		12 26 51,3
	F		44 30		e _{EZ}		56,5
NIE	Δ = 138 km				e _{iZ}		27 03,0
	eP _{gNE} , e _{iP_{gZ}}		10 43 35,5 D		e _{NE}		08,3
	e _Z		49,5		F		30
	e _N		52,0	10. II			
	e _{iS_{gPZ}}		53,5		ψ = 50°16' ; λ = 18°58' ; H=17 ^h		
	F		44 30		18 ^m 10,5 ^s ; M=2,1 /Chorzów/;		
6. II		DGP /GIG/:	10 48 37,2		2,3 /Dąbrowa Górnicza/; DGP:		
CHZ	Faible				eP _{NEZ}		17 18 14,7. eS _{EZ}
	e _Z		10 48 41,0		Lm _{NE}		1,2 ^s ; 0,5μ, 0,5μ;
	e _N		42,0		BYT /GIG/:		17 18 16,7
	e _E		46,0	CHZ	Δ = 4 km		
	F		49		e _{iP_{NEZ}}		17 18 12,0 D
					e _{iS_{EZ}}		13,1
					Lm		16
					Z: 1,0 ^s ; 3,1μ		
					F		30

Date	Station	Phase	G.M.T. h m s	Date	Station	Phase	G.M.T. h m s
10. II	KRA	Δ = 74 km		10. II	CHZ	Δ = 5 km	
/suite/	/Ch/	eP _{gEZ}	17 18 24,1 D		eP _{NEZ}		20 56 05,2 D
		eS _{gN} , e _{iS_{gEZ}}	34,1		e _{iS_E} , e _{iS_Z}		06,5
		e _{iEZ}	36,2		Lm		08
		e _N	45,0		NEZ: 1,0 ^s ; 4,5μ, 3,5μ, 2,5μ		
		F	19		F		57
	NIE	Δ = 137 km		KRA	Δ = 75 km		
		eP _{gNE} , e _{iP_{gZ}}	17 18 34,3 C	/Ch/	eP _{gNEZ}		20 56 17,1
		e _Z	38,5		e _{iEZ}		17,6
		e _{NE}	53,3		e _{iS_{gNEZ}}		27,1
		e _{iZ}	53,8		F		57 30
		F	19 30	RBN	Δ = 36 km		
10. II		H=17 ^h 18 ^m 23,0 ^s ; DGP /GIG/:	17 18		e _{NEZ}		20 56 19,0
		37,3			e _N		29,0
CHZ	Δ = 3 km				e _N		32,0
	e _{iP_{NE}} , e _{iP_Z}		17 18 24,7		F		57 30
	e _{iS_E} , e _{iS_Z}		25,3	NIE	Δ = 137 km		
	Lm		28		eP _{gNEZ}		20 56 28,3
	NEZ: 0,8 ^s ; 6,0μ, 2,5μ, 5,0μ				e _N		37,1
	F		19		e _{NEZ}		41,4
RBN	Δ = 37 km				eS _{gEZ}		46,4
	eP _{gNEZ}		17 18 30,0		eS _{gN}		46,9
	e _N		35,0		F		58
	e _{EZ}		37,0	13. II	BYT /GIG/:		18 27 23,7 ;
	F		20		DGP /GIG/:		18 29 26,0
KRA	Δ = 74 km			KRA	Faible		
/Ch/	eS _{gNEZ}		17 18 45,5	/SKM/	e _{NEZ}		18 27 46,5
	e _Z		53,3		e _{EZ}		28 08,5
	e _N		54,4		F		30
	F		19 30	NIE			
NIE	Δ = 138 km				e _{iEZ}		18 27 47,4
	eS _{gNE}		17 19/05,3/		e _{EZ}		28 06,7
	e _Z		10,0		F		30
	e _{NZ}		15,2	17. II	ZAB /GIG/:		21 28 51,5 ;
	e _{EZ}		23,3		BYT /GIG/:		21 28 52,0 ;
	F		20		DGP /GIG/:		21 28 57,9
RAC	Traces			RBN			
/SK/	NE		17 18 30-20 00		e _{NEZ}		21 29 15,3
10. II		ψ = 50°15' ; λ = 18°58' ; H=20 ^h 56 ^m			F		31 30
		03,8 ^s ; M=2,3 /Chorzów/; ZAB:		KRA	N - inactive		
		eP _E	20 56 06,4 ; DGP: eP _{NEZ}	/SKM/	e _{EZ}		21 29 16,0
		20 56 08,4, eS _{NZ} , e _{iS_E}	11,4		e _{EZ}		21,0

Date	Station	Phase	G.M.T. h m s	Date	Station	Phase	G.M.T. h m s
17.II	KRA	e ⁱ _{EZ}	21 29 38,0	21.II		DGP /GIG/: 03 43 53,0	
/suite/		F	31	CHZ	Faible		
20.II		$\psi = 50^{\circ}21'$; $\lambda = 18^{\circ}57'$; $H = 08^h55^m$			e _Z	03 43 55,9	
		01,8 ^s ; M=2,7 /Chorzów, Dąbrowa			e _N	58,4	
		Górnica/; BYT: e _{P_E} 08 55 02,7			e _E	44 03,8	
		DGP: e _{P_{EZ}} 08 55 06,5 . Lm ₂ 1,5 ^s			F	30	
	CHZ	1,5 μ		KRA	Faible		
		$\Delta = 8$ km		/SKM/	e _Z	03 44 02,4	
		e _{P_{NE}} , e _{iP_Z}	08 55 04,1 D		e _E	02,9	
		e _{iS_E} , i _{S_Z}	05,6		e _{S_{NEZ}}	09,3	
		Lm	07		e _Z	13,3	
		E: 1,0 ^s ; 3,0 μ			F	45	
		Lm	10	NIE			
		NZ: 0,5 ^s ; 3,0 μ , 3,2 μ			e _E , e _{iZ}	03 44 14,3	
		F	56		e _E	29,2	
	KRA	$\Delta = 80$ km			e _{iN} , e _Z	31,3	
/Ch/		e _{P_{GZ}}	08 55 15,9		F	45	
		e _N , e _{iEZ}	16,8	23.II		H=08 ^h 23 ^m 29,3 ^s ; DGP: e _{P_{NE}} 08 23	
		e _{S_{NEZ}}	26,5		34,4		
		e _E , e _{iZ}	28,3	CHZ	$\Delta = 2$ km		
		e _N	29,8		e _{P_{NEZ}}	08 23 30,2	
		F	56 30		Lm	32	
						NEZ: 0,6 ^s ; 2,0 μ , 3,5 μ , 2,0 μ	
	RBN	$\Delta = 43$ km. Forte ag.mi.			F	24	
		e _{NEZ}	08 55 19,0	KRA	$\Delta = 72$ km		
		e _N	22,0	/Ch/	e _{P_{GZ}}	08 23 42,4	
		e _N	29,0		e _{S_{EZ}}	52,0	
		F	57		e _{NE}	24 11,0	
	NIE	$\Delta = 146$ km			F	30	
		e _{iP_{NE}} , i _{P_{GZ}}	08 55 27,8 D	NIE	$\Delta = 133$ km		
		e _{EZ}	30,5		e _{P_{GZ}}	08 23 52,9	
		e _Z	43,6		e _E , e _{iZ}	53,4	
		e _{iS_{EZ}} , i _{S_{EN}}	47,0		e _N	55,4	
		F	57		e _{NZ}	24 12,2	
	RAC	Traces			F	25	
	/SK/	NE	08 55-57				

1967 M A R S 1967

1.III		$\psi = 50^{\circ}20'$; $\lambda = 16^{\circ}53'$; $H = 03^h13^m$		1.III	CHZ	$\Delta = 10$ km	
		52,7 ^s ; M=3,1 /Chorzów/; BYT:				e _{iP_{NE}} , i _{P_Z}	03 13 55,1 D
		e _{P_N} 03 13 54,3 ; DGP: e _{P_{NEZ}}				Lm	57
		03 13 57,5, e _{S_{EZ}} 14 01,0				NEZ: 0,5 ^s ; 6,5 μ , 6,2 μ , 5,5 μ	
						F	15

Date	Station	Phase	G.M.T. h m s	Date	Station	Phase	G.M.T. h m s
1.III	RBN	$\Delta = 37$ km		2.III	KRA	e _E , e _Z	19 53 30,5
/suite/		e _{NZ}	03 14 01,5			e _{S_{GZ}}	35,0
		e _E	02,5			e _E	37
		e _{EZ}	07,3			F	55
		e _{NZ}	08,2	NIE	$\Delta = 136$ km		
		F	16		e _{P_{NE}} , e _{iP_{GZ}}	19 53 34,4 C	
	RAC	$\Delta = 56$ km			e _{S_{EZ}}	52,1	
/suite/	/SK/	e _{P_{NE}}	03 14 03,0		e _N	55,0	
		e _{NZ}	05,5		F	55	
		e _{NE}	12,0	6.III		DGP /GIG/: 12 59 56,2	
		e _N	15,0	CHZ	Faible		
		e _E	22,5		e _{NEZ}	13 00 00,0	
		F	16		e _E	02,1	
	KRA	$\Delta = 84$ km			e _{NZ}	04,0	
/SKM/	/SKM/	e _{P_{NE}} , e _{iP_{GZ}}	03 14 07,3 C		F	30	
		i _{S_E} , i _{S_{GZ}}	18,0	KRA			
		Lm	45	/Ch/	e _{P_{NEZ}}	13 00 06,0	
		NZ: 1,2 ^s ; 0,05 μ , 0,12 μ			e _{iN} , e _Z	13,4	
		Lm	47		e _E	14,6	
		E: 1,0 ^s ; 0,06 μ			e _{iZ}	16,9	
		F	16		e _{L_{NEZ}}	24	
	NIE	$\Delta = 148$ km			F	01	
		e _{iP_{NEZ}}	03 14 17,2	NIE	Faible		
		e _{iN}	19,7		e _N , e _{iZ}	13 00 16,7	
		e _{iN}	31,2		e _{iE}	17,9	
		e _{NE}	34,2		e _{iE} , e _Z	32,2	
		e _{iS_{NEZ}}	36,0		e _{iN}	34,0	
		F	16		F	01	
2.III		H=19 ^h 53 ^m 10,2 ^s ; ZAB /GIG/: 19 53		10.III		H=23 ^h 56 ^m 30,3 ^s ; M=2,5 /Chorzów/	
		11,0 ; DGP /GIG/: 19 53 14,6				BYT /GIG/: 23 56 35,3	
CHZ		$\Delta = 8$ km. Faible		CHZ	$\Delta = 16$ km		
		e _{S_{EZ}}	19 53 13,5		e _{P_{EZ}}	23 56 33,7	
		e _{NZ}	15,7		e _N	35,1	
		e _E	22,0		e _{S_{NZ}}	36,2	
		F	54 30		e _E	36,7	
	RBN	$\Delta = 34$ km			Lm	45	
		e _{iP_N} , e _{P_E}	19 53 16,7			NE: 0,8 ^s ; 1,5 μ , 1,5 μ	
		e _Z	18,2			F	
		e _{S_E} , e _{iS_Z}	21,5			57 30	
		i _N , e _{iE}	23,2	RAC	$\Delta = 50$ km. Z - inactive		
		F	55	/SK/	e _{S_{NE}}	23 56 46,0	
	KRA	$\Delta = 79$ km			e _{NE}	55,1	
/SKM/	/SKM/	e _{iP_{EZ}}	19 53 24,5		F	59	

Date	Station	Phase	G.M.T. h m s	Date	Station	Phase	G.M.T. h m s
10.III	NIE	$\Delta=144$ km		13.III	NIE	$\Delta=133$ km	
/suite/		$e_i P_{NEZ}, e_P G_E$	23 56 55,8 C			$e_P G_N, e_i P_{GZ}$	01 21 45,1
		e_E	57 06,3			$e_S G_{NEZ}$	22 03,0
		$e_i N$	16,8			F	23
		$e_i Z$	21,5	14.III		$H=21^h 33^m 48,1^s$ DGP /GIG/: 21 33	
		F	58 30			52,4	
11.III		$\varphi=50^{\circ}18'$; $\lambda=19^{\circ}11'$; $H=16^h 43^m$			KRA	$\Delta=67$ km. N - illisible	
		$25,1^s$; $M=2,5$ /Chorzów/; DGP:		/SKM/		$e_P G_{EZ}$	21 34 00,4
		$i_P N, e_i P_{EZ}$ 16 43 26,5. $i_S NEZ$ 27,5				$e_i Z$	08,4
CHZ		$\Delta=14$ km				$e_i S_{G_{EZ}}$	09,4
		e_{NE}	16 43 28,9			$e_i EZ$	17,0
		$e_S NEZ$	29,5		NIE	Traces	
		e_{NEZ}	32,0			NEZ	21 34 00-35 30
		Lm	38	15.III		DGP /GIG/: 01 14 16,1 ;	
		NEZ: $0,9^s$; $1,5\mu$; $1,2\mu$; $1,9\mu$				BYT /GIG/: 01 14 16,2	
		F	44		KRA		
		$\Delta=62$ km		/SKM/		e_{NZ}	01 14 33,4
		$e_P G_{NEZ}$	16 43 36,3			e_{NZ}	36,4
		$e_i N$	43,6			e_{NEZ}	42,9
		$e_i S_{G_{NE}}, e_S G_Z$	44,6			$e_i NEZ$	57
		$e_i NEZ$	57,5			F	16
		F	45		NIE		
		$\Delta=131$ km				$e_P G_{NE}, e_i P_{GZ}$	01 14 34,7
		$e_i P_{GZ}$	16 43 48,2			e_Z	49,2
		e_{NEZ}	55,2			e_E	54,2
		$e_S NEZ$	44 06,0			$e_i N$	55,8
		F	45			F	16
13.III		$\varphi=50^{\circ}18'$; $\lambda=19^{\circ}08'$; $H=01^h 21^m$		18.III		$\varphi=50^{\circ}15'$; $\lambda=19^{\circ}01'$; $H=07^h 11^m$	
		$21,7^s$; $M=2,7$ /Dąbrowa Górnicza/;				$15,2^s$; $M=2,4$ /Chorzów, Dąbrowa	
		DGP: $e_i P_{NZ}, i_P E$ 01 21 23,8				Górnica/; DGP: $e_P NEZ$ 07 11	
		$i_S NEZ$ 25,3, Lm_Z $0,8^s$, $4,2\mu$				19,1, Lm_Z $1,0^s$, $0,7\mu$; BYT	
CHZ		$\Delta=10$ km. NE - inactives				/GIG/: 07 11 22,4	
		$e_S Z$	01 21 25,5	CHZ		$\Delta=5$ km	
		e_Z	28,8			$e_i P_{NE}, i_P Z$	07 11 16,6 C
		e_Z	30,0			$i_S Z$	17,6
		F	22			Lm	19
		$\Delta=66$ km				NEZ: $0,7^s$; $5,0\mu$; $6,5\mu$; $4,0\mu$	
/Ch/		$e_P G_{NEZ}$	01 21 33,7			F	12
		e_{NE}	41,2		KRA	$\Delta=70$ km	
		$e_S G_{EZ}$	42,5	/Ch/		$e_i P_{G_E}, e_P G_Z$	07 11 28,1 D
		$e_i N$	43,2			$e_i E$	34,2
		F	22 30				

Date	Station	Phase	G.M.T. h m s	Date	Station	Phase	G.M.T. h m s
18.III	KRA	$e_i S_{G_N}, e_S G_E$	07 11 37,5	21.III	CHZ	e_{EZ}	15 20 41,2
/suite/		e_E, i_Z	38,3			F	21
		$e_i N$	58,5		KRA		
		F	12 30	/Ch/		$e_P G_{EZ}$	15 20 47,2
	NIE	$\Delta=134$ km				$e_i N, e_Z$	54,5
		$e_P G_{NEZ}$	07 11 38,8 C			$e_i N$	59,2
		$e_i Z$	53,8			F	21 30
		$e_N, e_i E$	55,6		NIE	Traces	
		$e_i NZ$	57,3			EZ	15 20 30-22 00
		F	13	22.III		$H=00^h 04^m 24,0^s$; BYT /GIG/: 00 04	
	RAC	$\Delta=61$ km. Faible				$25,6$; DGP /GIG/: 00 04 29,4	
	/SK/			CHZ		$\Delta=12$ km	
		e_{NZ}	07 11 46,3			$e_P NEZ$	00 04 26,7
		e_{EZ}	55,2			$e_i S_E, e_S Z$	28,7
		F	13			F	05
20.III		$H=16^h 50^m 09,5^s$; $M=2,3$ /Chorzów/;			KRA	Faible	
		DGP /GIG/: 16 50 09,9		/SKM/		$e_P G_{NEZ}$	00 04 39,5
	CHZ	$\Delta=17$ km				e_{NEZ}	48,0
		$e_P EZ$	16 50 13,5			$e_i E$	57,0
		$e_P N$	13,7			F	05 30
		$e_S NEZ$	16,2				
		Lm	22	22.III		DGP /GIG/: 17 43 30,2	
		Z: $1,4^s$; $1,1\mu$		CHZ			
		F	51			$e_P NEZ$	17 43 30,8
	KRA	$\Delta=56$ km				e_E	32,8
/Ch/		$e_P G_{EZ}$	16 50 19,6 C			e_{NZ}	33,6
		e_N	20,2			Lm	38
		$e_i S_{G_N}, e_S G_Z$	27,2			EZ: $1,0^s$; $0,9\mu$; $0,9\mu$	
		$e_i NE$	28,8			F	44
		e_{EZ}	30,9		KRA	Faible	
		F	51 30	/SKM/		e_{NE}	17 43 47,1
	NIE	$\Delta=126$ km				e_{EZ}	47,7
		$e_i P_{G_N}, e_P G_E, i_P G_Z$	16 50 32,0			e_Z	52,5
		e_N	45,6			F	44 30
		$e_i S_{G_{NE}}$	48,5		NIE	Traces	
		e_Z	49,9			e_Z	17 43 49,1
		F	52			F	44 30
	RAC	Traces		23.III		$\varphi=50^{\circ}21'$; $\lambda=18^{\circ}55'$; $H=22^h 06^m$	
/SK/		Z	16 50-52			$15,2^s$; $M=2,9$ /Chorzów/; ZAB:	
						$e_S NE$ 22 06 19,9; DGP /GIG/:	
21.III		DGP /GIG/: 15 20 36,0				22 06 21,0	
	CHZ	Faible		CHZ		$\Delta=9$ km	
		$e_P Z$	15 20 39,2			$e_i P_E, i_P NZ$	22 06 17,6 C
		$e_P N$	39,7				

Date	Station	Phase	G.M.T. h m s	Date	Station	Phase	G.M.T. h m s
23.III	CHZ	eEZ	22 06 18,4	27.III	KRA	$\Delta = 82$ km	
/suite/	iEZ		19,4	/SKM/	ePgEZ		17 53 34,1
	Lm		21		eiN		34,6
		EZ: 0,4 ^S ; 3,5 μ ; 2,5 μ			eiN, eZ		43,7
	F		07		eISgNEZ		45,0
RBN	$\Delta = 40$ km. Faible				eiE		45,6
	eSgNEZ		22 06 27,7		eNEZ		55,1
	eN		43		F		55
	F		07	NIE	$\Delta = 148$ km. Forte ag.m1		
RAC	$\Delta = 59$ km. Faible				eiPgZ		17 53 44,8
/SK/	eEZ		22 06 27,7		eZ		54 04,3
	eZ		34,9		F		55
	eE		37,5	RAC	Traces		
	F			/SK/	NEZ		17 53-55
KRA	$\Delta = 82$ km			28.III	$\varphi = 50^{\circ}21'$; $\lambda = 18^{\circ}55'$; $H = 04^h34^m$		
/SKM/	ePgE, eiPgZ		22 06 30,2 D		41,4 ^S ; $M = 2,4$ /Chorzów/, BYT:		
	eN		31,5		ePNE 04 34 41,6		
	eiZ		38,5	CHZ	$\Delta = 9$ km		
	eSgN, eiSgZ		41,1		ePNE, eiPZ		04 34 43,7 D
	eE		42,8		iS _N , eiS _{EZ}		45,4
	F		08		iZ		46,7
NIE	$\Delta = 148$ km				Lm		50
	ePgN, eiPgEZ		22 06 39,6 D			NEZ: 1,0 ^S ; 3,0 μ ; 2,5 μ ; 2,0 μ	
	eN, eiZ		43,2		F		35 30
	eiE, eZ		57,7	KRA	$\Delta = 82$ km		
	eSgEZ		59,1	/SKM/	ePgEZ		04 34 56,1
	F		08		eSgNEZ		35 06,5
27.III		$\varphi = 50^{\circ}21'$; $\lambda = 18^{\circ}55'$; $H = 17^h53^m$			eNEZ		20,8
		19,8 ^S ; $M = 2,5$ /Chorzów/; DGP:			F		36
		ePE 17 53 24,9, eSEZ 28,3		NIE	$\Delta = 148$ km. Faible		
CHZ	$\Delta = 9$ km				ePgNEZ		04 35 06,3
	eiPN, iP _{EZ}		17 53 22,0 D		eiNEZ		22,8
	eZ		22,4		eiSgNE		25,6
	iS _Z		23,6		F		36 30
	Lm		26	RAC	Traces		
		NEZ: 0,8 ^S ; 4,0 μ ; 4,5 μ ; 2,0 μ		/SK/	NEZ		04.35-37
	F		54	30.III	$\varphi = 50^{\circ}21'$; $\lambda = 18^{\circ}51'$; $H = 10^h09^m$		
RBN	$\Delta = 40$ km				34,4 ^S ; $M = 3,0$ /Chorzów/; BYT:		
	eEZ		17 53 29,5		ePNE 10 09 37,0; DGP: ePEZ 10		
	eSgNZ		32,9		09 40,0, eS _{NZ} 44,1		
	eN		35,1	CHZ	$\Delta = 12$ km		
	eE		38,0		eiPZ		10 09 37,2 D
	F		55				

Date	Station	Phase	G.M.T. h m s	Date	Station	Phase	G.M.T. h m s
30.III	CHZ	eNE	10 09 37,6	30.III	RAC	$\Delta = 55$ km	
/suite/	eiSEZ		39,3	/SK/	iPgN, eiPgEZ		10 09 44,4 C
	iZ		41,3		eZ		49,6
	Lm		44		eN, eiE		50,6
		EZ: 0,3 ^S ; 2,0 μ ; 2,0 μ			eISgNE		52,0
	F		10 30		F		11
RBN	$\Delta = 37$ km			NIE	$\Delta = 151$ km		
	ePgNZ		10 09 41,5 C		eiPgNEZ		10 10 00,5 C
	eEZ		43,2		eZ		03,0
	eNE		49,0		eiN		20,9
	eZ		53,0		eiNE, iZ		21,5
	F		11		F		11 30
1967							
A V R I L							
1967							
4.IV		$H = 13^h52^m21^s$; DGP /GIG/: 13 52		4.IV	KRA	Lm	16 42 16,3
		30,1					EZ: 1,4 ^S ; 0,08 μ ; 0,09 μ
KRA	$\Delta = 80$ km				F		44
/Ch/	ePgEZ		13 52 35,4	NIE	$\Delta = 137$ km. NE - illisibles		
	eiSgN		45,9		ePgZ		16 42 46,6
	eSgEZ		46,3		eZ		43 02,1
	F		54		F		44 30
NIE	Traces			RBN	Traces		
	eiZ		13 52 49,7		NEZ		16 42-44
	F		54	RAC	Traces		
4.IV		$\varphi = 50^{\circ}14,5$; $\lambda = 18^{\circ}53,0'$;		/SK/	NEZ		16 42-45
		$H = 16^h42^m22,5^s$; $M = 2,9$ /Chorzów/;		5.IV		$H = 19^h58^m33,5^s$; $M = 1,9$ /Chorzów/;	
		2,7 /Kraków/; DGP: ePE 16 42				DGP /GIG/: 19 58 37,5	
		27,6; BYT: eSE 16 42 27,9		CHZ	$\Delta = 3$ km		
CHZ	$\Delta = 10$ km				eiPZ		19 58 34,5 D
	ePNE, eiPZ		16 42 24,7		eiPN		34,9
	iNE		25,7		iZ		35,6
	Lm		28		Lm		38
		EZ: 1,0 ^S ; 3,70 μ ; 6,3 μ				NEZ: 0,7 ^S ; 2,5 μ ; 2,5 μ ; 2,0 μ	
	F		43		F		59
KRA	$\Delta = 79$ km			KRA	$\Delta = 77$ km		
/Ch/	ePgNEZ		16 42 36,6	/SKM/	ePgEZ		19 58 47,5
	eZ		45,4		eSgEZ		57,5
	eiSgNEZ		46,9		F		20 00
	Lm		43 15,8				
		N: 1,3 ^S ; 0,07 μ					

Date	Station	Phase	G.M.T. h m s	Date	Station	Phase	G.M.T. h m s
5.IV	NIE	$\Delta = 134$ km. Traces		10.IV	CHZ	Lm	11 48 25
/suite/		$ePg_{NE}, eiPg_Z$	19 58 57,3			NEZ: $1,0^S; 2,5\mu, 2,0\mu, 1,2\mu$	
		F	20 00			F	49
	RBN	Traces			KRA	$\Delta = 60$ km	
		NEZ	19 58-20 00	/Ch/	$ePg_{NE}, eiPg_Z$		11 48 24,5
	RAC	Traces			$eiSg_N$		31,8
/SK/		NEZ	19 58-20 01		$eiEZ$		33,2
					F		49 30
8.IV		DGP /GIG/: 10 43 57			NIE	$\Delta = 128$ km	
	KRA				ePg_{NEZ}		11 48 36,3
/Ch/		ePg_{EZ}	10 44 06,6		eSg_{NEZ}		52,3
		e_N	07,7		F		50
		e_Z	12,6	13.IV		DGP /GIG/: 00 34 27,9	
		F	45		KRA	Traces	
9.IV		$\varphi = 50^{\circ}16'$; $\lambda = 18^{\circ}56'$; $H = 02^h 29^m$		/Ch/	$eiSg_{EZ}$		00 34 46,5
		$00,8^S$; $M = 2,7$ /Chorzów/; BYT:			F		35 30
		eS_N 02 29 05,0 ; DGP : ePg_{EZ} 02			NIE		
		29 05,2			ePg_Z		00 34 47,9
	CHZ	$\Delta = 5$ km			eSg_Z		35 07,5
		ePg_{NEZ}	02 29 02,3		F		36
		eiS_{EZ}	03,3	13.IV		DGP /GIG/: 13 50 20,3	
		Lm	05		KRA	Traces	
		NEZ: $0,2^S; 2,5\mu, 2,0\mu, 2,0\mu$		/Ch/	e_Z		13 50 27,2
		F	30		e_{NEZ}		30,0
	KRA	$\Delta = 75$ km			ei_N		36,8
/Ch/		$eiPg_{EZ}$	02 29 14,5		F		51 30
		eSg_{EZ}	24,6		NIE		
		F	30 30		ePg_{EZ}		13 50 42,0
	NIE	$\Delta = 136$ km			e_E		58,8
		ePg_Z	02 29 24,5		ei_N, e_Z		51 00
		e_Z	44,8		F		30
		e_N	45,1	14.IV		BYT /GIG/: 17 05 51,0 ;	
		e_{NZ}	50,7			DGP /GIG/: 17 06 00,0	
		F	31		NIE	Traces	
	RAC	Traces			e/Pg_Z		17 06 13,8
/SK/		NEZ	02 29-31		e_E		33,3
					e_{NEZ}		33,6
10.IV		$\varphi = 50^{\circ}19'$; $\lambda = 19^{\circ}12'$; $H = 11^h 48^m$			F		08
		$13,5^S$; $M = 2,4$ /Chorzów/; DGP:			KRA	Traces	
		iPg_{NEZ} 11 48 14,3		/SKM/	e_{NEZ}		17 06 28
	CHZ	$\Delta = 15$ km			e_{NEZ}		35
		ePg_{NZ}	11 48 17,0		F		08
		$eiEZ$	20,2				
		ei_N	20,7				



Date	Station	Phase	G.M.T. h m s	Date	Station	Phase	G.M.T. h m s
14.IV		DGP /GIG/: 18 05 35,2		16.IV		DGP /GIG/: 15 19 54,8	
		BYT /GIG/: 18 05 35,3			KRA	Traces	
	CHZ			/Ch/	ePg_{NEZ}		15 20/05,1/
		$eiPg_Z$	18 05 33,3 D		e_E		16,1
		ePg_{NE}	33,5		e_{NZ}		18,1
		Lm	36,0		F		21
		EZ: $0,8^S; 2,5\mu, 4,0\mu$			NIE		
		F	06		ePg_Z		15 20 17,8
	KRA	Traces			e_E		18,4
/Ch/		ePg_Z	18 05 45,4		e_E		34,6
		e_E	46,4		e_Z		36,8
		ei_Z	54,9		F		21 30
		F	07	24.IV		DGP /GIG/: 13 15 36,6	
	NIE				KRA	Traces	
		ePg_{EZ}	18 05 56,3	/Ch/	ePg_E		13 15 46,0
		e_{NZ}, ei	06 14,4		e_Z		47,5
		F	07		$e/Sg_{NE}, ei/Sg_Z$		53,9
15.IV		$\varphi = 50^{\circ}16,5'$; $\lambda = 19^{\circ}09,0'$; $H = 14^h$			F		17
		$23^m 43,5^S$; $M = 2,6$ /Chorzów/; DGP:			NIE	Traces	
		ePg_{NEZ} 14 23 45,5			ePg_Z		13 15 56,5
	CHZ	$\Delta = 11$ km			F		17 30
		ePg_{E}, iP_Z	14 23 46,1	26.IV		DGP /GIG/: 20 22 58,2	
		i_Z	48,7		KRA		
		Lm	52	/Ch/	ePg_{EZ}		20 23 07,4
		EZ: $1,0^S; 4,0\mu, 2,5\mu$			ei_{NEZ}		19,4
		F	24 30		F		24 30
	KRA	$\Delta = 61$ km			RBN		
/Ch/		$ePg_N, eiPg_{EZ}$	14 23 54,6		e_{NEZ}		20 23 08
		$eiSg_{EZ}$	24 02,7		e_{NE}		16
		F	25 30		F		25
	RAC	$\Delta = 71$ km. Traces			NIE		
/SK/		eEZ	14 24 04,9		ePg_{EZ}		20 23 17,9
		e_{NZ}	10,9		e_E		35,4
		F	26 30		e_N		38,4
	NIE	$\Delta = 126$ km			F		24 30
		$ePg_{NE}, eiPg_Z$	14 24 06,0 C		RAC	Traces	
		$eiSg_{NE}$	23,0	/SK/	NEZ		20 23-25
		ei_Z	25,5				
		F	26	27.IV		$H = 07^h 46^m 09,2^S$; $M = 2,2$ /Kraków/;	
	RBN	Traces				ZAB /GIG/: 07 46/11,2/; DGP:	
		NEZ	14 24-26			ePg_Z 07 48 14,7	

Date	Station	Phase	G.M.T. h m s	Date	Station	Phase	G.M.T. h m s
27. IV	RAC /suite/ /SK/	e _Z e _N , e _{1E} e _{NEZ} F	07 48 24,0 27,2 39,7 51	27. IV	RBN	e _{NEZ} F	19 30 00 32
	KRA /Ch/	Δ=85 km eP _{GNEZ} e _{1NEZ} e _{1S_{GNEZ}} Lm Z: 1,0 ^S ; 0,17μ Lm N: 1,0 ^S ; 0,14μ Lm E: 1,1 ^S ; 0,16μ F	07 48 24,5 27,0 36,0 49 10,5 11,5 12,0 50 30		NIE	Δ=127 km eP _{GZ} eP _{GE} e _{1Z} e _E e _{1Z} F	19 30 01,6 02,1 17,1 18,6 20,3 32
	NIE	Δ=147 km e _{1P_{GZ}} e _{1NEZ} F	07 48 35,2 56,2 51	29. IV	RAC /SK/	Traces NEZ	19 30-32
27. IV		ψ=50°18,5'; λ=19°12,0'; H=19 ^h 29 ^m 39 ^s ; M=2,8 /Chorzów/; DGP: iP _{NEZ} 19 29 40,2			CHZ	Δ=20 km eP _{EZ} e _{1N} e _{1S_{EZ}} Lm Z: 1,1 ^S ; 2,9μ F	20 42 14,2 16,3 17,3 24,4 43
	CHZ	Δ=15 km eP _{NE} , e _{1P_Z} e _{1Z} Lm EZ: 1,0 ^S ; 4,5μ, 2,5μ Lm N: 1,0 ^S ; 6,0μ F	19 29 42,3 D 45,2 51 53 30 30		KRA /Ch/	Δ=62 km eP _{GNEZ} e _{1N} e _{1S_{GNEZ}} Lm NZ: 1,3 ^S , 1,0 ^S ; 0,18μ, 0,11μ Lm E: 1,0 ^S ; 0,08μ F	20 42 21,3 28,7 29,5 44,3 44,8 44
	KRA /Ch/	Δ=59 km eP _{GNE} , e _{1P_{GZ}} e _{1NEZ} e _{1S_{GNEZ}} e _{1E} Lm N: 0,5 ^S ; 0,13μ Lm E: 0,9 ^S ; 0,10μ F	19 29 49,9 50,5 57,8 58,9 30 09 14,5 31 30		NIE	Δ=132 km iP _{GZ} e _{1P_{GNE}} e _{1S_{GNE}} F	20 42 33,4 33,7 49,8 45
	RBN	Δ=53 km e _{NEZ}	19 29 53		RBN	Traces NEZ	20 42-44
					RAC /SK/	Traces NEZ	20 42-45

Date	Station	Phase	G.M.T. h m s	Date	Station	Phase	G.M.T. h m s	
1967				M A I			1967	
2.V		ψ=50°20'; λ=18°56'; H=08 ^h 22 ^m 22,0 ^S ; M=2,6 /Chorzów/, 3,0 /Kraków/; ZAB: eP _E 08 22 24,2; DGP: eP _{EZ} 08 22 26,2			2.V	KRA /Ch/	Δ=61 km e _{1P_GEZ} e _{1N} e _{1S_GEZ} F	21 47 49,9 57,5 58,2 49 30
	CHZ	Δ=6 km eP _N , e _{1P_{EZ}} e _{1E} , e _{1Z} Lm Z: 1,1 ^S ; 6,5μ Lm E: 0,9 ^S ; 11,5μ Lm N: 0,8 ^S ; 11,1μ F	08 22 23,7 D 25,4 28,0 30,0 33,0 23		RBN	Δ=49 km. Traces e _N e _N F	21 48 00 04,9 50	
	RAC /SK/	Δ=59 km eP _{GZ} e _E F	08 22 32,7 34,0 25 30		RAC /SK/	Δ=72 km e _{1S_{GNEZ}} F	21 48 01 50	
	KRA /Ch/	Δ=78 km e _{1P_{GNEZ}} e _{1S_GEZ} Lm N: 1,3 ^S ; 0,25μ Lm EZ: 1,2 ^S ; 0,13μ, 0,27μ F	08 22 36,1 46,5 23 15,8 16,3 24 30		NIE	Δ=128 km eP _{GNE} , e _{1P_{GZ}} e _N , e _{1E} e _{1Z} F	21 48 01,1 17,7 20,4 50	
	NIE	Δ=141 km e _{1P_{GZ}} eP _{GNE} e _N , e _{1E} F	08 22 46,5 47,0 23 06,6 25		3.V	ψ=50°22,5'; λ=19°14,0'; H=11 ^h 36 ^m 00,7 ^s ; M=3,0 /Chorzów/; DGP: eP _{NEZ} 11 36 02,4		
2.V		ψ=50°18,0'; λ=19°09,5'; H=21 ^h 47 ^m 38,6 ^s ; M=2,4 /Chorzów/; DGP: eP _E 21 47 40,1			CHZ	Δ=19 km eP _N , iP _{EZ} e _{1Z} Lm Z: 1,1 ^S ; 3,7μ Lm NE: 1,0 ^S ; 7,5μ, 5,5μ F	11 36 04,4 C 07,6 13,5 14 37	
	CHZ	Δ=12 km eP _{NE} , e _{1P_Z} e _Z i _Z Lm Z: 1,0 ^S ; 1,5μ F	21 47 41,3 D 43,6 44,1 47 48 30		KRA /Ch/	Δ=62 km e _{1P_GNZ} , eP _{GE} e _{1S_GNZ} e _{1E} Lm NE: 1,2 ^S ; 0,08μ, 0,13μ F	11 36 11,9 20,1 20,7 37,2 38	
					RAC /SK/	Δ=80 km e _Z e _E e _N F	11 36 17,0 24,6 29,0 39	

Date	Station	Phase	G.M.T. h m s	Date	Station	Phase	G.M.T. h m s
3.V	RBN	$\Delta=58$ km. Traces		6.V	KRA	$\Delta=78$ km	
/suite/		e _Z	11 36 23,3	/Ch/	ePg _{NZ} , eiPg _E		03 39 19,2
		ei _{NZ}	29,4		eiSg _{NZ} , eSg _E		29,5
		F	38		F		41
	NIE	$\Delta=132$ km			NIE	$\Delta=144$ km	
		ePg _{NEZ}	11 36 23,5		eiPg _{NE} , iPg _Z		03 39 30,5 C
		ei _N , i _Z	24,7		eiSg _{NE}		49,9
		eiSg _{NE}	39,7		F		41
		F	38 30		RAC	Traces	
4.V				/SK/	e _N		03 39 32,5
	KRA				e _Z		41,8
/Ch/		ePg _Z	21 51 34,2		F		41 30
		ePg _{NE}	34,6	8.V		DGP /GIG/: 07 55 38,7	
		e _E	42,8		CHZ		
		e _Z	43,1		eP _{NE} , eiP _Z		07 55 38,8
		F	52 30		i _Z		41,8
	NIE				Lm		44,0
		eiPg _Z	21 51 46,7			N: 0,9 ^S ; 2,0 μ	
		e _N	52 04,6		Lm		45,0
		eiSg _{EZ}	05,7		F	EZ: 0,5 ^S ; 2,5 μ , 1,2 μ	
		F	53				56 30
5.V					NIE	NE - illisibles	
	KRA	Faible			eiPg _Z		07 56 57,8
/Ch/		ePg _Z	23 25 13,2		ei _Z		57 17,7
		e _{NZ}	15,2		F		58
		e _N	23,2		RBN	Traces	
		e _Z	23,8		NEZ		07 55-58
		F	26 30		RAC	Traces	
	NIE			/SK/	NEZ		07 56-58
		ePg _E , eiPg _Z	23 25 26,5	9.V			
		e _{NE}	42,0		RAC		
		e _Z	44,0	/SK/	eP _Z		05 33 12,5
		F	27		ei _E		16,0
	RAC	Traces			e _{NZ}		21,2
/SK/		Z	23 23-25		F		35
6.V					RBN		
	CHZ	H=03 ^h 39 ^m 05 ^s			e _{NEZ}		05 33 14
		$\Delta=8$ km			e _E		16
		eP _Z	03 39 07,0		e _{NEZ}		17
		eP _{NE}	07,4		F		34
		i _Z	08,9		NIE	N - illisible	
		F	40		eiPg _Z		05 33 35,2

Date	Station	Phase	G.M.T. h m s	Date	Station	Phase	G.M.T. h m s
9.V	NIE	e _Z	05 33 53,9	12.V	KRA		
/suite/		e _E	55,7	/Ch/	ePg _N , eiPg _{EZ}		02 12 54,5 D
		F	35		e _{NZ}		13 03,7
					e _{EZ}		05,1
9.V		H=22 ⁿ 19 ^m 38,3 ^s ; DGP /GIG/: 22 19 42,7			F		14 30
	KRA	$\Delta=76$ km			NIE		
/Ch/		ePg _{NEZ}	22 19 52,2		ePg _{NE} , eiPg _Z		02 13 05,2 D
		eiSg _{EZ}	20 02,4		e _E		22,8
		F	21		e _N		23,6
	NIE	$\Delta=138$ km			e _Z		25,8
		ePg _N , eiPg _Z	22 20 02,8 D		F		15
		eSg _{NZ}	20,8		RAC	Traces	
		ei _E	24,8	/SK/	NEZ		02 13-15
		F	21 30	16.V			
	RAC	Traces			CHZ	DGP /GIG/: 03 52 29,8	
	/SK/	NEZ	22 20-22				
10.V		$\gamma=50^{\circ}15,5'$; $\lambda=18^{\circ}58,5'$; H=13 ^h			e _{NEZ}		03 52 33,1
		51 ^m 08,5 ^s ; M=2,5 /Chorzów/;			ei _Z		37,4
		ZAB /GIG/: 13 51/12,3/; DGP: eP _{EZ}			Lm		42
		13 51 12,6				NEZ: 0,9 ^S ; 2,0 μ , 1,5 μ , 1,0 μ	
	CHZ	$\Delta=4$ km			F		53 30
		iP _{NEZ}	13 51 09,5 D		KRA	Forte ag.mi.	
		Lm	12,0	/Ch/	e _Z		03 52 49,0
		Z: 1,1 ^S ; 8,5 μ			F		54
		Lm	14,0		NIE		
		NE: 0,9 ^S ; 9,0 μ , 9,0 μ			ePg _{NE}		03 52 52,4
		F	53		eiSg _N , eSg _E		53 09,2
	RBN	$\Delta=36$ km			F		54
		e _N	13 51 17,2	16.V			
		eS _E	19,5		CHZ	H=12 ^h 54 ^m 50,5 ^s ; M=2,4 /Chorzów/	
		F	53		$\Delta=10$ km		
	RAC	$\Delta=58$ km. Traces			eP _{NZ}		12 54 53
/SK/		e _{EZ}	13 51 21,4		e _E		54
		e _E	25,8		Lm		55 02
		F	54			NEZ: 0,7 ^S ; 3,0 μ , 1,5 μ , 1,2 μ	
	KRA	$\Delta=72$ km			F		30
/Ch/		ePg _{EZ}	13 51 21,5		KRA	$\Delta=77$ km. Faible	
		eiSg _{NE} , iSg _Z	31,5	/Ch/	ePg _{NEZ}		12 55 04,5
		F	53		eSg _{NZ}		14,9
	NIE	$\Delta=133$ km			F		56
		ePg _Z	13 51 31,8		NIE	$\Delta=145$ km. NE- illisibles	
		e _N , ei _{EZ}	32,6		eiPg _Z		12 55 16,2
		ei _N , i _E	51,1				
		F	54				

Date	Station	Phase	G.M.T. h m s	Date	Station	Phase	G.M.T. h m s
16.V	NIE	e _Z	12 55 32,5	28.V		$\varphi = 50^{\circ}21'$; $\lambda = 18^{\circ}56'$; $H = 13^h 03^m$ 16,0 ^S ; $M = 3,2$ /Kraków/, 2,9 /Cho- rzów, Dąbrowa Górnicza/; BYT:	
/suite/	F		56 30			eP _{NE} 13 03 16,3 ; DGP: eP _{EZ} 13 03 19,8, Lm _Z : 1,3 ^S ; 2,5 μ	
19.V	KRA	e/Pg/ _N , ei/Pg/ _Z	06 08 17,3	CHZ	$\Delta = 8$ km	$\Delta = 8$ km	
/Ch/	e _N , ei _Z		24,3		1P _{NZ} , eiP _E		13 03 18,2
	i _E		24,8		Lm		23,0
	F		09 30		EZ: 1,0 ^S ; 7,5 μ , 7,5 μ		
	NIE			F			04 30
		eiPg _Z	06 08 28,9	RBN	$\Delta = 40$ km		
		ei _N	45,5		e _Z		13 03 26,3
		e _Z	46,6		e _{SNE}		28,4
		F	10		F		06
22.V				RAC	$\Delta = 60$ km		
		$\varphi = 50^{\circ}21,0'$; $\lambda = 18^{\circ}53,5'$; $H = 06^h 30^m 33^s$; $M = 2,4$ /Chorzów/; BYT: eP _N 06 30 33,4 ; ZAB /GIG/: 06 30 36,4; DGP: eP _{EZ} 06 30 37,8		/SK/	e _E		13 03 29,6
CHZ		$\Delta = 10$ km			eS _{NE}		35,0
		1P _{NZ} , eiP _E	06 30 35,3		e _N , ei _E		36,5
		Lm	42,0		F		06 30
		NEZ: 1,2 ^S ; 2,5 μ , 2,0 μ , 2,5 μ	31	KRA	$\Delta = 78$ km		
				/Ch/	eiPg _{NZ}		13 03 30,2
					eEZ		39,4
					eiS _{NE}		40,5
					Lm		04 07,8
					EZ: 1,1 ^S ; 0,20 μ , 0,28 μ		
					Lm		08,3
					N: 1,2 ^S ; 0,21 μ		
				F			05 30
				NIE	$\Delta = 143$ km		
					eiPg _{NEZ}		13 03 41,1 C
					iS _{NE}		04 00,7
					F		06 30
27.V				30.V			
		DGP /GIG/:	09 52 23,5		DGP /GIG/:		04 42 50,0
	KRA	Traces		KRA	Traces		
/Ch/	e _N		09 52 39,2	/Ch/	e _Z		04 42 59,0
	e _E , ei _Z		40,5		e _{NEZ}		43 07,1
	F		54		F		44
	NIE	NE - forte ag.mi.		NIE			
		ePg _Z	09 52 43,0		ePg _Z		04 43 10,1
		eSg _Z	53 00,3		eSg _N		27,5
		F	54		e _E		28,1
					F		45
				RAC	Traces		
				/SK/	NEZ		09 52-55
							04 43-45



Date	Station	Phase	G.M.T. h m s	Date	Station	Phase	G.M.T. h m s
30.V		ZAB /GIG/:	21 38 07,7 ;	30.V	KRA	e _Z	21 38 27,9
		DGP /GIG/:	21 38 09,4		F		39 30
	CHZ				NIE		
		e _E	21 38 05,5		e/Pg/ _Z		21 38 28,7
		ei _{NZ}	06,3		ei _{NE}		46,4
		i _E	06,6		e _Z		47,4
		F	38 30		F		40 30
	KRA	Traces		RAC	Traces. Z - inactive		
	/Ch/	ei _N	21 38 27,1	/SK/	NE		21 38-41
1967				J U I N			1967
6.VI		DGP /GIG/:	06 49 30,5	8.VI	KRA	Traces	
	KRA			/Ch/	e _{NZ}		17 01 28,9
	/Ch/	ePg _Z	06 49 40,3		F		02 30
		e _E	48,9	NIE	Traces		
		e _Z	49,2		e _{NE}		17 01 48,1
		F	51		F		02 30
	NIE	NE - illisibles		14.VI		H=01 ^h 05 ^m 56 ^s ; ZAB /GIG/:	01 05
		e _Z	06 49-52,9			56,9 ; DGP /GIG/:	01 06 01,3
		e _Z	50 11,5	KRA	$\Delta = 87$ km		
		F	51	/SKM/	ePg _{NEZ}		01 06 11,8
6.VI		DGP /GIG/:	13 23 01,5		eiS _{NEZ}		23,3
	KRA	Traces			F		07 30
	/Ch/	e _Z	13 23 09,1	NIE	$\Delta = 147$ km		
		e _Z	18,8		ePg _E , eiPg _Z		01 06 22,2
		F	24 30		ei _{NE}		42,0
	NIE	NE - illisibles			F		08
		ePg _Z	13 23 20,0	18.VI		H=10 ^h 37 ^m 19,5 ^s	
		eSg _Z	36,8	KRA	$\Delta = 60$ km		
		F	25	/SKM/	eiPg _{NEZ}		10 37 30,5
8.VI		BYT /GIG/:	17 01 04,0 ;		iSg _N		37,5
		ZAB /GIG/:	17 01 07,9 ;		iEZ		38,5
		DGP /GIG/:	17 01 09,5		F		38 30
	CHZ			NIE	$\Delta = 123$ km		
		e _{NEZ}	17 01 06		eiPg _Z		10 37 41,3
		i _E	08		e _E		42,7
		i _Z	09		e _Z		38 00,3
		Lm	12		ei _E		00,9
		NEZ: 1,0 ^S ; 1,5 μ , 2,0 μ , 1,2 μ			F		39
		F	02				

Date	Station	Phase	G.M.T. h m s	Date	Station	Phase	G.M.T. h m s
19.VI		H=20 ^h 39 ^m 03,2 ^s ; ZAB /GIG/: 20 39 06,6		27.VI	NIE		
	CHZ	$\Delta = 4$ km eP _{NEZ} Lm NEZ: 0,9 ^s ; 2,0 μ , 2,0 μ , 1,5 μ	20 39 04,6 08 30			eP _{NEZ} eS _{NEZ} , eIS _{NEZ} ei _N F	20 38 31,4 49,0 50,3 40
	KRA /Ch/	$\Delta = 73$ km. Traces eP _{NEZ} eS _{NEZ} F	20 39 16,4 26,1 40 30		RBN	Traces NZ	20 38-40
	NIE	$\Delta = 134$ km. Traces eP _{NEZ} F	20 39 27,0 41		RAC /SK/	Traces NEZ	20 38-40
20.VI		ZAB /GIG/: 12 57 35,0 ; BYT /GIG/: 12 57 35,3		28.VI			
	CHZ	eP _{NZ} e _N , ei _Z Lm NEZ: 0,8 ^s ; 2,0 μ , 2,5 μ , 1,4 μ	12 57 33,6 34,7 36		CHZ	eP _{NEZ} i _{NE} Lm NEZ: 0,7 ^s ; 2,5 μ , 2,5 μ , 1,5 μ	02 46 07,5 08,4 11 30
	RBN	Traces e _E e _{NZ} F	12 57 46,0 48,7 13 00		NIE	eP _{NEZ} e _{NEZ} F	02 46 30,5 50,7 48
	KRA /Ch/	eP _{NEZ} ei _N e _Z F	12 57 46,2 54,7 55,8 59		RAC /SK/	Traces EZ	02 46-48
	NIE	eP _{NEZ} ei _E ei _Z F	12 57 56,7 58 16,0 16,9 59 30	29.VI			
	RAC /SK/	Traces NEZ	12 58-13 00		CHZ	eP _{NEZ} ei _Z Lm NEZ: 0,8 ^s ; 2,0 μ , 3,0 μ , 2,0 μ	12 48 53,2 ; 12 48 53,5 12 48/53,7/ 56,7 49 02 30
27.VI		BYT /GIG/: 20 38 06,7			RBN	e _N e _N F	12 49 00,5 04,6 51 30
					RAC /SK/	e _N , ei _E e _E F	12 49 08,5 15,3 52
					KRA /Ch/	e _Z	12 48 08,5

Date	Station	Phase	G.M.T. h m s	Date	Station	Phase	G.M.T. h m s	
29.VI	KRA /suite/	e _{NEZ} Lm NZ: 1,1 ^s ; 1,3 ^s ; 0,09 μ , 0,15 μ Lm E: 1,1 ^s ; 0,10 μ F	12 48 17,5 53 53,7 50,5	30.VI	NIE	e _{NE} F	00 01 29,5 03 30	
				30.VI				
	NIE	eP _{NEZ} e _{NEZ} ei _{NEZ} F	12 48 16,5 22,0 37,5 51 30		CHZ	BYT /GIG/: 14 51 57,4 ; ZAB /GIG/: 14 51 58,5 eP _{NEZ} i _N , ei _{NEZ} Lm NEZ: 0,8 ^s ; 2,0 μ , 2,0 μ , 2,0 μ	14 51 58,6 52 00,6 05 30	
30.VI		BYT /GIG/: 00 01 46,2 ; ZAB /GIG/: 00 01 46,4			KRA /Ch/	e/P _{NEZ} e _Z eiS _{NEZ} F	14 52 11,3 21,2 23,5 53 30	
	KRA /SKM/	iP _{NEZ} iS _{NEZ} F	00 01 59,8 02 10,5 03 30		NIE	Traces eP _{NEZ} e _Z F	14 52 23 34 54	
	NIE	eiP _{NEZ}	00 01 10,4 D					
1967				J U I L L E T				1967
2.VII		DGP /GIG/: 18 16 44,2 ; ZAB /GIG/: 18 16 53,1		7.VII		$\varphi = 18^{\circ}46'$; $\lambda = 50^{\circ}18'$; H=09 ^h 01 ^m 14,8 ^s ; M=2,0 /Zabrze/, 2,3 /Bytom/; ZAB: eP _{NEZ} 09 01 15,9 , eiS _{NEZ} 16,7, Lm _{NEZ} 5,5 μ , 1,8 μ ; BYT: eP _{NEZ} 09 01 17,8 , Lm _{NEZ} 1,4 μ , 4,0 μ ; DGP: eP _{NEZ} 09 01 21,2 $\Delta = 151$ km. NE - forte ag.mi.		
	KRA /SKM/	e _{NEZ} ei _{NEZ} e _{NEZ} F	18 16 59,0 17 01,0 18,5 18		NIE	eP _{NEZ} e _Z F	09 01 15,9 09 01 17,8 09 01 21,2 09 01 40,8 02 20,0 03	
	RBN	Faible e _N e _Z e _N F	18 17 06,5 09,5 20,0 18 30		RBN	Traces Z	09 01 00-02 30	
	NIE	Traces NEZ	18 17-18		RAC /SK/	Traces Z	09 01-03	
3.VII		DGP /GIG/: 15 36 55,2		8.VII		DGP /GIG/: 12 21 25,1		
	KRA /SKM/	Faible e _{NEZ} e _{NEZ} F	15 37 13,5 27,0 38 30		KRA /Ch/	Faible e _{NEZ} e _{NEZ} e _Z F	12 21 37,7 43,0 46,0 22 30	



Date	Station	Phase	G.M.T. h m s	Date	Station	Phase	G.M.T. h m s
8.VII	NIE	Traces		11.VII			
/suite/	NZ		12 21 30-22 30			19,8, Lm _Z 1,0 ^S ; 1,3 ^μ ; ZAB: eP _N	
8.VII		H=22 ^h 02 ^m 00,4 ^S ; ZAB: eP _E , eIP _Z 22			KRA	04 31 20,4, Lm _{NE} 0,7 ^μ , 0,7 ^μ ;	
		02 02,5, eIS _Z 03,8; DGP: eP _Z 22			/SKM/	BYT: eP _{NE} 04 31 20,5	
		02 06,2, eS _{EZ} 10,7				Δ = 69 km	
	KRA	Δ = 74 km				eIP _{NEZ} 04 31 30,0	
	/SKM/	iP _{NEZ} 22 02 14,0				eIS _{NEZ} 39,5	
		eI _{NEZ} 26,5				Lm 32 05,5	
		Lm 52,5				N: 1,0 ^S ; 0,05 ^μ	
		N: 1,0 ^S ; 0,04 ^μ			RBN	F 33	
		Lm 54				Δ = 43 km. Faible	
		EZ: 1,1 ^S ; 1,5 ^S ; 0,03 ^μ , 0,16 ^μ				e _N 04 31 35,0	
		F 04				F 33	
	RBN	Faible			NIE	Δ = 134 km	
		e _N 22 02 17,0				eP _{NEZ} 04 31 41,3	
		e _{EZ} 19,0				e _{NEZ} 32 01,5	
		e _N 22,0				F 33 30	
		F 04			12.VII		
	NIE	Traces				φ = 50°17'; λ = 18°58'; H = 14 ^h 38 ^m	
		e _Z 22 02 26,0				08,1 ^S ; M = 2,4 /Dąbrowa Górnicza/;	
		F 04				DGP: eP _E 14 38 12,6, eS _E 15,7,	
						Lm _Z 0,8 ^S ; 0,6 ^μ ; ZAB /GIG/: 14	
	RAC	Traces				38 14,9	
	/SK/	NEZ	22 02 30-04 30		KRA	Δ = 75 km	
11.VII		H = 00 ^h 58 ^m 31,7 ^S			/SKM/	eIP _{NEZ} 14 38 21,5	
	RBN	Δ = 13 km				eS _{NEZ} 31,5	
		eP _Z 00 58 34,5				F 39 30	
		e _E 35,5			NIE	Δ = 142 km. Forte ag.mi.	
		eS _{NEZ} 36,6				eP _{EZ} 14 38 33,0	
		eI _{NE} 39,0				e _Z 50,5	
		eL _{NEZ} 45				F 39 30	
		F 59 30			RAC	Traces	
	RAC	Δ = 42 km			/SK/	EZ	14 38 30-40 00
	/SK/	eP _{NEZ} 00 58 40,0			13.VII		
		eS _{EZ} 45,8				H = 02 ^h 32 ^m 22,2 ^S ; M = 2,2 /Chorzów/;	
		e _N 52,3				DGP /GIG/: 02 32 25,2 ; ZAB /GIG/:	
		F 01 00				02 32 - traces	
	NIE	Traces			CHZ	Δ = 2 km	
		e _Z 00 58 57,7				eIP _{NE} , iP _Z 02 32 23,0	
		F 59 30				Lm 25,8	
						NEZ: 0,7 ^S ; 11,0 ^μ , 11,5 ^μ , 7,5 ^μ	
						F 33	
					KRA	Δ = 79 km	
11.VII		φ = 50°16'; λ = 19°03'; H = 04 ^h 31 ^m			/Ch/	eIP _{NEZ} 02 32 36,5	
		16,8 ^S ; M = 2,2 /Zabrze/, 2,4				eS _{NEZ} 47,0	
		/Dąbrowa Górnicza/; DGP: 04 31				F 33 30	

Date	Station	Phase	G.M.T. h m s	Date	Station	Phase	G.M.T. h m s
13.VII	NIE	Traces		20.VII	KRA	e _{NEZ}	11 01 40,2
/suite/	NEZ		02 32 30-33 30		F		02 30
15.VII		H = 23 ^h 41 ^m 36,2 ^S ; ZAB /GIG/: 23 41		21.VII		H = 01 ^h 08 ^m 04,5 ^S ; M = 2,6 /Chorzów/;	
		36,2; DGP: eP _{EZ} 23 41 38,8				DGP: eIP _{EZ} 01 08 07,1	
	KRA	Δ = 67 km			CHZ	Δ = 19 km	
	/SKM/	eP _{NEZ} 23 41 48,5				eP _Z 01 08 08,5	
		eS _{NEZ} 57,5				eP _{NE} 08,8	
		F 43				eIS _N , eS _Z 11,4	
	NIE	Δ = 130 km. NE - illisible				Lm 17	
		eP _{EZ} 23 41 59,7				Z: 1,0 ^S ; 1,0 ^μ	
		eS _{EZ} 42 16,7				Lm 19	
		F 43				NE: 0,8 ^S ; 1,5 ^μ , 2,0 ^μ	
	RBN	Traces				F 09	
		NZ	23 41 30-42 30		KRA	Δ = 63 km	
17.VII		H = 10 ^h 28 ^m 45,3 ^S ; DGP /GIG/: 10 27			/SKM/	eIP _{EZ} 01 08 16,2	
		50,6 ; ZAB /GIG/: 10 27 54,5				eIS _{NEZ} 24,7	
	KRA	Δ = 70 km				e _E 25,4	
	/Ch/	eP _{NEZ} 10 27 58,1				F 09 30	
		eI _N 28 06,4			NIE	Δ = 125 km	
		eIS _{NEZ} , eS _E 07,5				eP _{NEZ} 01 08 29,1 C	
		F 29 30				eIS _{EZ} 44,0	
	RBN	Faible				e _{NE} 45,4	
		e _N 10 28 07,0				F 10	
		e _{EZ} 13,5			RAC	Traces	
		e _{NZ} 19,0			/SK/	NEZ	01-08 30-10 00
		F 30			29.VII		
	NIE	Faible				φ = 50°14'; λ = 19°01'; H = 05 ^h 39 ^m	
		eP _{EZ} 10 28 10,2				10,1 ^S ; M = 2,8 /Chorzów, Bytom/;	
		e _{NZ} 15,2				BYT: eP _N 05 39 16,0, Lm _{NE} 8,0 ^μ ,	
		e _{EZ} 28,2				1,6 ^μ ; DGP: eP _{EZ} 05 39 17,1	
		F 29 30				CHZ	Δ = 7 km
	RAC	Faible				eP _N , eIP _{EZ} 05 39 12,0 C	
	/SK/	e _{NZ} 10 28 24,0				iS _Z 13,4	
		eI _N , e _E 29,2				Lm 18	
		e _Z 36,0				NEZ: 0,9 ^S ; 3,5 ^μ , 5,5 ^μ , 3,0 ^μ	
		e _{NEZ} 43,1				F 40	
		F 30			RBN	Δ = 39 km	
20.VII		BYT /GIG/: 11 01 13,1 ;				e _{NEZ} 05 39 19,2	
		DGP /GIG/: 11 01 15,9				eI _N , e _{EZ} 30,0	
	KRA					e _E 35,5	
	/SKM/	e _{NEZ} 11 01 33,7				e _{NZ} 37,0	
						F 41 30	
	RAC	Δ = 60 km					
	/SK/	eS _{EZ} 05 39 29,5					

Date	Station	Phase	G.M.T. h m s	Date	Station	Phase	G.M.T. h m s
29.VII	RAC	e _N	05 39 31,5	29.VII	NIE	Δ=135 km	
/suite/		e _N	37,0			eP _E NEZ	05 39 38,0
		e _Z	44,5			e _Z	53,8
		F	42			eIS _E NEZ	56,0
						e _Z	40 02,5
						F	41 30
1967				1967			
A O U T							
1.VIII		H=05 ^h 26 ^m 24,8 ^s ; BYT /GIG/: 05 26 25,8; DGP /GIG/: 05 26 27,9		5.VIII	CHZ	Δ=4 km. N - inactive	
	NIE	Δ=132 km				eP _Z	04 26 51,3 C
		eP _E EZ	05 26 48,3 D			eS _E , eIS _Z	52,2
		eIS _E NEZ	27 05,5			Lm	53
		F	28			EZ: 0,7 ^s ; 2,0 ^μ , 1,5 ^μ	
	RAC	Traces			NIE	Traces	
/SK/	NEZ	05 26 30-28 00				e _Z	04 27 14,3
						F	28 30
3.VIII		φ=50°16'; λ=18°54'; H=16 ^h 33 ^m 15,5 ^s ; M=2,4 /Bytom, Chorzów/; BYT: eS _E 16 33 20,2. Lm _{NE} 2,3 ^μ 0,8 ^μ ; DGP: eP _Z 16 33 20,6			RAC	Traces	
	CHZ	Δ=7 km		/SK/	Z	04 27 00-28 30	
		eP _{NEZ}	16 33 17,6	5.VIII		H=18 ^h 08 ^m 00,8 ^s ; M=2,5 /Chorzów/; ZAB /GIG/: 18 08 01,4; BYT /GIG/: 18 08 01,8; DGP /GIG/: 18 08 05,9	
		eS _E	18,9		CHZ	Δ=10 km. N - inactive	
		eS _{NZ}	19,1			eP _{EZ}	18 08 03,3
		Lm	20			eIS _E , eS _Z	05,1
		NEZ: 0,8 ^s ; 4,5 ^μ , 4,0 ^μ , 2,5 ^μ				Lm	09
		F	34			E: 0,8 ^s ; 3,6 ^μ	
	RBN	Traces				Lm	10
		e _Z	16 33 29,0			Z: 0,8 ^s ; 2,1 ^μ	
		F	34 30			F	09 30
	NIE	Δ=142 km. N - illisible			RBN	Δ=38 km	
		eP _E EZ	16 33 40,3 D			eP _{NEZ}	18 08 08,0
		e _Z	53,8			e _{NEZ}	13,0
		eS _E EZ	58,8			e _E	17,0
		F	35			e _{NZ}	26,0
	RAC	Traces				F	10 30
/SK/	NEZ	16 33 30-35 00			RAC		
				/SK/	e _{NEZ}	18 08 14,5	
5.VIII		H=04 ^h 26 ^m 50,1 ^s ; M=1,9 /Chorzów/; BYT /GIG/: 04 26 56,3			e _{NE}	24,5	

Date	Station	Phase	G.M.T. h m s	Date	Station	Phase	G.M.T. h m s
5.VIII	RAC	e _Z	18 08 38,4	6.VIII	RBN	e _{NE}	30 12 43,0
/suite/		F	11			F	14
	KRA	Faible			NIE	Δ=144 km	
/Ch/		e _Z	18 08 16,2			eIP _E EZ	20 12 41,1
		e _{INEZ}	17,0			e _{EZ}	59,0
		e _{INZ}	27,0			F	14 30
		i _{EZ}	27,7	11.VIII		H=20 ^h 54 ^m 10,6 ^s ; BYT /GIG/: 20 54 13,6; ZAB /GIG/: 20 54 15,2; DGP /GIG/: 20 54 18,1	
		F	10			Δ=88 km	
	NIE	Traces			KRA	eP _E NEZ	20 54 26,4
		e _Z	18 08 44,5	/SK/		eS _E NEZ	38,0
		F	11			e _{NEZ}	55 01,0
						F	56
6.VIII		BYT /GIG/: 02 45 36,4; DGP /GIG/: 02 45 39,5		14.VIII		BYT /GIG/: 03 22 26,0; DGP /GIG/: 03 22 29,1	
	CHZ	Faible			KRA	e _{NEZ}	03 22 50,0
		e _Z	02 45 36,8	/SK/		e _{NZ}	23 12,0
		e _E	37,8			F	24
		e _{IEZ}	38,6	16.VIII		H=04 ^h 38 ^m 38,7 ^s ; DGP /GIG/: 04 38 40,4	
		F	46		KRA	Δ=67 km	
	RBN	Faible		/SK/		eP _E E	04 38 51,0
		e _N	02 45 58,0			eP _E NZ	52,0
		e _N	46 03,0			eIS _E NEZ	39 00,0
		e _N	08,0			e _{INEZ}	13
		F	47			F	40 30
	NIE				NIE	Δ=138 km	
		eIP _E NEZ	02 46 00,7			eP _E NEZ	04 39 03,0
		e _{NEZ}	19,7			e _{NZ}	18,0
		F	47 30			eIS _E E	21,0
						F	40 30
6.VIII		φ=50°20'; λ=18°58'; H=20 ^h 12 ^m 17,6 ^s ; M=2,4 /Chorzów/; BYT: eP _N 20 12 19,4; DGP: eP _{EZ} 20 12 21,6		17.VIII		φ=50°22'; λ=18°54'; H=04 ^h 53 ^m 29,4 ^s ; M=2,6 /Zabrze/, 2,7 /Chorzów/, 2,9 /Bytom/; BYT: eP _N 04 53 30,1, Lm _{NE} 103,4 ^μ , 4,4 ^μ ; ZAB: eS _N 04 53 33,3, Lm _{NE} 4,8 ^μ , 3,0 ^μ ; DGP: eP _Z 04 53 34,8	
	CHZ	Δ=6 km. N - inactive				Δ=11 km	
		eP _{EZ}	20 12 18,1			eIP _{EZ}	04 53 32,1 D
		eIS _{EZ}	19,4				
		Lm	22				
		EZ: 0,5 ^s ; 4,5 ^μ , 1,9 ^μ					
		F	13				
	RAC	Δ=62 km. Faible					
/SK/		eP _E NEZ	20 12 28,0				
		F	14 30				
	RBN	Δ=42 km. Faible					
		eS _E N	20 12 31,0				
		e _Z	33,0				

Date	Station	Phase	G.M.T. h m s	Date	Station	Phase	G.M.T. h m s
27.VIII	NIE	$\Delta=130$ km		31.VIII	RAC	$\Delta=50$ km	
/suite/	ePgZ		04 39 01,2	/SK/	eNE		00 26 17,4
	eP _{NE}		01,7		eS _{NE}		22,4
	eS _{NEZ}		18,2		eNE		31,4
	eEZ		45,7		eZ		35,9
	F		41		F		29
31.VIII		$\varphi=50^{\circ}19'$; $\lambda=18^{\circ}48'$; $H=00^h26^m$ 05,6 ^s ; $M=2,4$ /Bytom, Chorzów/; ZAB: eP _N 00 26 06,6 ; BYT: eP _E 00 26 08,9 ; DGP : eP _{EZ} 00 26 12,1		RBN	$\Delta=32$ km. Faible		00 26 19,0
					eNZ		24,0
					eE		26,0
					eZ		28
					F		
	CHZ	$\Delta=14$ km		KRA	$\Delta=88$ km		00 26 20,6
	e1PZ		00 26 08,8	/SKM/	ePgEZ		21,3
	eE		09,3		e1NEZ		31,7
	eS _N , e1S _E , 1S _Z		11,3		e1S _{NE} , eS _{GEZ}		32,0
	i _N		13,8		e1EZ		50
	iEZ		14,3		e1NEZ		28
	i _N		17,7		F		
	Lm		18	NIE	$\Delta=152$ km		00 26 31,8
	EZ: 1,1 ^s ; 2,0 μ , 1,2 μ		25		ePgNEZ		51,0
	Lm		25		eS _{NEZ}		28 30
	N: 0,8 ^s ; 1,6 μ				F		
	F		27				

1967

SEPTEMBRE

1967

4.IX		$\varphi=50^{\circ}22'$; $\lambda=18^{\circ}50'$; $H=02^h36^m$ 05,1 ^s ; $M=2,5$ /Chorzów, Bytom/; BYT: eP _{NE} 02 36 06,7 ; Lm _{NE} 11,4 μ , 13,6 μ ; ZAB: eP _{NE} 02 36 07,3 ; DGP : eP _{EZ} 02 36 11,7 .		4.IX	RBN	e1 _N , eE	02 36 20,7
						eZ	25,0
						F	38
					RAC	$\Delta=55$ km	
				/SK/	ePgEZ		02 36 16,0
					e1E		21,2
					eNZ		25,0
					e1 _N , eE		31,0
					eEZ		37,2
					F		39
	CHZ	$\Delta=15$ km		KRA	$\Delta=88$ km		02 36 20,6 D
	1P _{NZ} , e1P _E		02 36 08,6 D	/SKM/	ePgNEZ		24,5
	1S _{NEZ}		11,3		e1NEZ		32,2
	iEZ		12,1		eS _{NEZ}		50
	Lm		14		eL _{NZ}		52
	N: 1,5 ^s ; 2,0 μ				eL _E		
	Lm		17				
	EZ: 1,5 ^s ; 2,0 μ , 2,0 μ						
	F		37				
	RBN	$\Delta=38$ km					
	eNZ		02 36 15,5				

Date	Station	Phase	G.M.T. h m s	Date	Station	Phase	G.M.T. h m s
17.VIII	CHZ	e1P _N	04 53 32,3	24.VIII		Lm _{NE} 3,8 μ , 2,0 μ ; DGP: eP _Z 20 38 16,4 ; eS _{EZ} 20,5	
/suite/	1S _Z		34,1	CHZ	$\Delta=12$ km		
	Lm		39		eS _N		20 38 15,5
	EZ: 0,7 ^s ; 4,0 μ , 2,5 μ				eEZ		16,6
	Lm		41		eZ		20,4
	N: 0,8 ^s ; 6,0 μ				e1E		20,8
	F		54 30		F		39
	RBN	$\Delta=41$ km. Faible		KRA	$\Delta=85$ km		
	eS _{NE}		04 53 42,5	/SKM/	ePgNEZ		20 38 25,5
	eNEZ		54 00,2		eN		35,5
	F		55		eS _{GEZ}		36,5
	KRA	$\Delta=84$ km			F		39 30
	/SKM/	ePgNEZ	04 53 44,7 D	RAC	Traces		
		eNE	53,6	/SK/	eZ		20 38 40,0
		e1S _{NEZ}	55,8		F		40 30
		Lm	54 25	RBN	Traces		
		NE: 1,2 ^s ; 0,11 μ , 0,07 μ		N			20 38 00-39 30
		mp	26				
		Z: 1,2 ^s ; 0,25 μ		27.VIII		H=04 ^h 38 ^m 36,4 ^s ; $M=2,8$ /Chorzów/; ZAB /GIG/: 04 38 41,5 ; BYT /GIG/ 04 38 43,2	
		F	55 30	CHZ	$\Delta=12$ km		
	RAC	$\Delta=59$ km			eP _N , e1P _Z		04 38 39,2 D
	/SK/	eEZ	04 53 42,5		eP _E		39,4
		eNZ	55,0		e1Z		40,3
		F	55		Lm		42
	NIE	$\Delta=150$ km			Z: 0,8 ^s ; 3,0 μ		
		e1PgNEZ	04 53 56,1 D		F		39
		e1S _{NE}	54 15,3	RBN	Faible		
		eZ	16,2		eZ		04 38 45,0
		F	55 30		F		40
19.VIII		DGP /GIG/:	05 57 13,2	RAC	Faible		
CHZ		1P _{NZ} , eP _E	05 57 10,1	/SK/	eZ		04 38/49,0/
		Lm	12		eN		55,0
		NEZ: 0,8 ^s ; 2,0 μ , 2,0 μ , 3,5 μ			eEZ		39 03
		F	58		F		41
	NIE			KRA	$\Delta=75$ km		
		ePgNEZ	05 57 32,3	/SKM/	ePgNEZ		04 38 50,0
		eS _{NEZ}	49,8		e1S _{NEZ}		39 00,0
		F	59		eL _{NZ}		20
24.VIII		$\varphi=50^{\circ}18'$; $\lambda=18^{\circ}50'$; $H=20^h38^m$ 10,6 ^s ; $M=2,1$ /Bytom/; ZAB: eP _N 20 38 11,4 ; BYT: eP _E 20 38 13,4			Lm		29
					NE: 1,3 ^s ; 0,04 μ , 0,05 μ		
					F		40 30

Date	Station	Phase	G.M.T. h m s	Date	Station	Phase	G.M.T. h m s
4. IX	KRA	Lm	02 37 06	12. IX		$\varphi = 50^{\circ}19'$; $\lambda = 19^{\circ}10'$; $H = 01^h04^m$ 36,6 ^S ; M=2,5 /Chorzów/; DGP: eiP _N , iP _{EZ} 01 04 37,1 ; BYT: eS _E 01 04 44,0	
/suite/		NEZ: 1,4 ^S ; 0,13 μ , 0,18 μ , 0,33 μ		CHZ	$\Delta = 13$ km		
	F		38	eP _E , eiP _Z		01 04 39,8	
	NIE	$\Delta = 154$ km		eP _N		40,0	
		eP _{NEZ}	02 36 31,0 C	iS _{NE}		42,0	
		iNEZ	31,8	iZ		42,8	
		eiNE, iZ	37,6	iNE		43,3	
		iS _N , eiS _{GEZ}	51,5	Lm		47	
	F		38 30	Lm			
7. IX		$\varphi = 50^{\circ}16'$; $\lambda = 18^{\circ}56'$; $H = 22^h15^m$ 49,8 ^S ; M=2,4 /Chorzów/, 2,7 /Dąbrowa Górnicza/, 2,8 /Bytom/; BYT: eP _N 22 15 52,4 , Lm _{NE} 17,6 μ 2,7 μ ; DGP: eiP _E 22 15 53,8 Lm _Z 1,5 μ ; ZAB: eS _{NE} 22 15 54,8		KRA	$\Delta = 64$ km		
	CHZ	$\Delta = 5$ km		/Ch/	eP _{NEZ}	01 04 47,0	
		eP _N , iP _{EZ}	22 15 51,9 D	eNEZ		54,7	
		iS _{EZ}	53,3	eiS _{NEZ}		55,5	
		iE	54,1	eiNEZ		57,0	
		Lm	56	F		06	
		EZ: 1,1 ^S ; 3,5 μ ; 5,3 μ		RBN	$\Delta = 52$ km. Faible		
	F		17	eZ		01 04 49,1	
	RBN	$\Delta = 35$ km. Faible		eNE		59,1	
		e _N	22 16 02,5	eN		05 10,0	
		eZ	09,5	F		06	
		eNE	13,5	NIE	$\Delta = 132$ km		
		e _N	17,5	eiP _{NE} , iP _{GZ}		01 04 59,3	
	F		17 30	eiZ		05 12,8	
	KRA	$\Delta = 77$ km		F		06 30	
	/Ch/	eiP _{NEZ}	22 16 03,3 D	RAC	Traces		
		eS _{NEZ}	13,5	/SK/	NEZ	01 04 30-07 00	
		eNEZ	15,0	13. IX	ZAB /GIG/: 00 31 53,4 ;		
		Lm	38	BYT /GIG/: 00 31 54,4 ;			
		N: 1,3 ^S ; 0,11 μ		DGP /GIG/: 00 31 56,2			
	F		17 30	CHZ	Faible		
	NIE	$\Delta = 140$ km		eP _N , iP _{EZ}		00 31 53,2	
		eP _{GEZ}	22 16 13,8 D	Lm		56	
		eNE, eiZ	14,3	NEZ: 1,2 ^S ; 1,7 μ , 1,7 μ , 1,0 μ			
		eS _{NEZ}	33,1	F		32 30	
	F		17 30	KRA	Faible		
	RAC	Traces		/SKM/	eiN, eEZ	00 32 13,5	
	/SK/	NEZ	22 16 00-18 30	eNEZ		16,5	
				eNEZ		35,5	
				F		33 30	

Date	Station	Phase	G.M.T. h m s	Date	Station	Phase	G.M.T. h m s
16. IX		$\varphi = 50^{\circ}18'$; $\lambda = 19^{\circ}11'$; $H = 05^h07^m$ 58,2 ^S ; M=2,6 /Chorzów/; BYT: eP _E 05 08 00,5		18. IX	RBN	ei _N	01 05 20,0
	CHZ	$\Delta = 2$ km		eZ		21,0	
		eP _{NEZ}	05 07/58,7/ 08 04	e _E		24,0	
		Lm		F		06	
		NEZ: 1,0 ^S ; 3,5 μ , 4,0 μ , 2,5 μ		RAC			
	F		30	/SK/	eP _{NEZ}	01 05 18,0	
	KRA	$\Delta = 73$ km		ei _E , eZ		21,0	
	/Ch/	eP _{NE} , eiP _{GZ}	05 08 11,5 D	ei _E , eZ		25,0	
		eEZ	18,0	eNE		30,0	
		eZ	20,5	F		07	
		eS _{NE}	21,2	18. IX		$\varphi = 50^{\circ}20'$; $\lambda = 19^{\circ}12'$; $H = 22^h49^m$ 41,2 ^S ; M=2,9 /Chorzów/; DGP: eP _{EZ} 22 49 43,4 , eiS _{NZ} 44,6 ; BYT /GIG/: 22 49 47,1 ; ZAB /GIG/: 22 49 47,6	
		eZ	35,5	CHZ	$\Delta = 16$ km		
	F		09 30	eP _E , eiP _Z		22 49 45,2 C	
	NIE	$\Delta = 138$ km		e _N , iZ		45,8	
		eP _{NEZ}	05 08 22,0	eS _{NEZ}		47,6	
		eNEZ	41,5	i _N , eiEZ		48,4	
		F	09 30	Lm		55	
	RAC	Traces		NEZ: 1,0 ^S ; 3,5 μ , 4,5 μ , 4,0 μ			
	/SK/	NEZ	05 08-10	F		50 30	
17. IX		DGP /GIG/: 23 08 34,7		KRA	$\Delta = 62$ km		
	CHZ			/SKM/	iP _{NEZ}	22 49 51,8 D	
		eP _{NEZ}	23 08 33,5	iS _{NEZ}		/59,9/	
		ei _N	35,0	eiL _{NEZ}		50 08,3	
		eZ	35,2	Lm		13	
		Lm	37	NEZ: 1,2 ^S ; 0,20 μ , 0,17 μ , 0,44 μ			
		NEZ: 1,0 ^S ; 2,0 μ , 2,0 μ , 1,5 μ		F		51	
		F	09	RBN	$\Delta = 54$ km		
	KRA			eZ		22 49 54,7	
	/Ch/	eP _{GEZ}	23 08 45,3	e _N		50 07,2	
		e _N	46,3	eEZ		09,7	
		eNEZ	56,8	eNZ		23,7	
		eNE	09 03,3	F		53	
		F	10	RAC	$\Delta = 77$ km. Faible		
	NIE	Faible		/SK/	eZ	22 49 56,1	
		eNEZ	23 08 55,5	eE		50 02,7	
		eNEZ	09 11,5	eS _{GNZ}		05,1	
		F	10	eNEZ		12,6	
18. IX				F		53	
	RBN						
		eP _{NEZ}	01 05 17,0				

Date	Station	Phase	G.M.T. h m s	Date	Station	Phase	G.M.T. h m s
18. IX	NIE	$\Delta=130$ km		21. IX	KRA	Faible	
/suite/	eip _{NEZ}		22 50 03,0	/Ch/	eEZ		.11 05 18,5
	i _{NEZ}		04,5		eNZ		29,0
	eNEZ		07,5		F		07
	iS _{NE}		20,3				
	iEZ		21,6	RAC			
	F		52 30	/SK/	eNEZ		11 05 24,0
19. IX		$\psi=50^{\circ}13'$; $\lambda=18^{\circ}57'$; $H=06^h23^m$ 54,1 ^s ; $M=2,5$ /Chorzów/, 2,4 /Dąbrowa Górnicza/; DGP: eP _{EZ} 06 23 59,5, Lm _Z 1,0 ^s ; 0,5 μ ; ZAB: eS _N 06 23 59,8; BYT: eS _E 06 24 00,1		25. IX	CHZ	H=09 ^h 15 ^m 16,8 ^s	
CHZ		$\Delta=9$ km			eZ		09 15 19,4
eP _{NE} , eip _Z			06 23 56,4		eNE		21,9
eis _N , iS _Z			58,0		F		16
Lm			24 00,6	RBN			
NEZ: 0,8 ^s ; 4,0 μ , 1,5 μ , 2,0 μ				eNEZ			09 15 25,0
F			30	eNEZ			29,0
KRA	$\Delta=74$ km			eNZ			34,0
/Ch/	eP _{NEZ}		06 24 08,0	F			17
	eS _N , eIS _{EZ}		18,0	RAC			
	F		25 30	/SK/	eNEZ		09 15 30,0
RBN	Traces			eEZ			43,0
N			06 24-25	eE			16 25,0
RAC	Traces			F			17 30
/SK/	NEZ		06 24-26	KRA	$\Delta=78$ km. Faible		
NIE	Traces			/Ch/	eip _{EZ}		09 15 31,0 D
Z			06 24 00-25 30		eE		34,0
21. IX		ZAB /GIG/: 11 05 03,7 ; DGP /GIG/: 11 05 10,3			eZ		35,0
CHZ	Faible				eN		36,0
eZ			11 05 06,8		eis _N , eS _Z		41,4
eEZ			09,5		F		17
eN			09,8	NIE	$\Delta=135$ km		
F			06	eP _{NEZ}			09 15 41,0
RBN				eNEZ			49,0
e _N , eEZ			11 05 14,0	eS _{NZ}			58,5
i _N , e _{EZ}			18,0	F			17
i _N			21,0	26. IX			
eE			23,0	ZAB /GIG/: 16 33 13,2 ;			
eZ			27,0	BYT /GIG/: 16 33 16,0 ;			
F			07	DGP /GIG/: 16 33 19,3			
				KRA	Faible		
				/Ch/	e _{NZ} , e _E		16 33 39,5
					e _{NE}		42,2

Date	Station	Phase	G.M.T. h m s	Date	Station	Phase	G.M.T. h m s	
26. IX	KRA	e _{iZ}	16 33 47,5	27. IX	KRA	e _{NEZ}	02 38 54,0	
/suite/	F		35	F			40	
27. IX		$\psi=50^{\circ}14'$; $\lambda=19^{\circ}08'$; $H=02^h38^m$ 14,7 ^s ; $M=2,4$ /Chorzów/, 2,5 /Dąbrowa Górnicza/; DGP: eP _{NEZ} 02 38 17,5, eS _{NE} 19,5, Lm _Z 1,5 μ ; ZAB: eP _Z 02 38 19,5, eS _{NE} 23,2 ; BYT /GIG/: 02 38/23,0/		RBN	$\Delta=46$ km. Faible			
	CHZ	$\Delta=12$ km		e _N			02 38 36,8	
	eip _{EZ}		02 38 17,8 D	e _{NZ}			39,6	
	eP _N		17,9	e _{NEZ}			44,8	
	eis _E , eS _Z		19,9	F			40	
	iZ		20,7	NIE	$\Delta=127$ km			
	Lm		22	eip _{EZ}			02 38 37,0 C	
	N: 0,7 ^s ; 2,0 μ			e _Z			49,5	
	Lm		24	e _Z			39 18,5	
	EZ: 1,0 ^s ; 2,5 μ , 1,5 μ			F			40	
	F		39	RAC	Traces			
KRA	$\Delta=62$ km			/SK/	NEZ		02 38 30-40 30	
/SKM/	eP _{NEZ} , eip _E		02 38 26,1	29. IX				
	eis _{NE}		34,4	DGP /GIG/: 16 10 34,0				
	e _{iZ}		35,0	KRA				
				/Ch/	e _{NEZ}		16 10 45,0	
				e _E			54,0	
				e _{NZ}			55,0	
				e _{NEZ}			11 06,0	
				F			12	
1967				OCTOBRE				1967
1. X	CHZ			3. X	CHZ	e _E	20 58 10,0	
						e _Z	10,5	
	eP _{NEZ}		10 02 50,0 D		Lm		13	
	Lm		55		NEZ: 0,7 ^s ; 2,5 μ , 2,0 μ , 1,5 μ		30	
	NEZ: 0,6 ^s ; 1,5 μ , 2,0 μ , 1,0 μ				F			
	F		03 30	KRA	$\Delta=75$ km			
	KRA			/SKM/	eP _{NEZ}		20 58 20,9	
	/Ch/	i _{EZ}	10 03 10,0		eis _{NEZ}		30,9	
	F		04		F		21 00 30	
	NIE	NE - inactives		4. X				
	eP _{EZ}		10 03 11,3		$\psi=50^{\circ}17'$; $\lambda=18^{\circ}52'$; $H=10^h29^m$ 19 ^s ; $M=3,8$ /Chorzów/, 3,5 /Kra- ków/; ZAB: eip _{NEZ} 10 29 30,6 ; BYT: eP _{NE} 10 29 31,2 ; DGP: eP _N , eip _{EZ} 10 29 34,0, eis _{NE} 37,4			
	eS _{EZ}		28,5		$\Delta=9$ km			
	F		04	CHZ				
3. X		H=20 58 07,2 ; $M=2,4$ /Chorzów/		eip _{NEZ}			10 29 31,7 D	
CHZ		$\Delta=9$ km						
	eP _{NEZ}		20 58 09,5					

Date	Station	Phase	G.M.T. h m s	Date	Station	Phase	G.M.T. h m s
4.X	CHZ	Lm	10 29 36	6.X	KRA	$\Delta = 77$ km	
/suite/		EZ: $1,0^S$; $38,0\mu$, $35,0\mu$		/Ch/	ePg _{EZ}		04 04 19,3
	Lm		45		eSg _{NEZ}		29,3
	F	N: $0,8^S$; $12,5\mu$		F	F		05 30
	RBN	$\Delta = 31$ km		NIE	$\Delta = 140$ km		
	e _Z		10 29 36,6	eip _{EZ}			04 04 30,2
	e _{NE}		37,2	eP _E			30,5
	e _{IEZ}		38,3	e _E			49,0
	F		33	F			05
	RAC	$\Delta = 52$ km		6.X	ZAB /GIG/:	15 42 09,2 ;	
/SK/	e _Z		10 29 39,8	BYT /GIG/:	15 42 11,1 ;		
	e _{IE}		40,7	DGP /GIG/:	15 42 15,2		
	e _N , e _{IZ}		41,6	KRA	Traces		
	F		33	/Ch/	e _N		15 42 33,8
	KRA	$\Delta = 80$ km		F	F		43 30
/Ch/	eip _{NE} , ip _{EZ}		10 29 43,4 C	NIE			
	iSg _{NZ}		53,3	eP _{EZ}			15 42 35,7
	e _{IE}		53,7	P			43 30
	Lm	N: $1,4^S$; $0,82\mu$		7.X	RBN		
	Lm		25	eip _{NEZ}			12 49 26,3
	F	EZ: $1,2^S$; $0,55\mu$, $0,43\mu$		i _{NEZ}			26,3
			32 30	i _{NEZ}			30,3
				F			50
4.X		H= $19^h49^m29,5^S$; DGP /GIG/:	19 49	12.X		H= $02^h59^m28^S$	
	KRA	$\Delta = 70$ km	32,6 ; BYT /GIG/:	KRA	$\Delta = 77$ km		
/Ch/	ePg _{NEZ}		19 49 42,3	/Ch/	ePg _{EZ}		02 59 42,0
	e _{ISgZ}		51,5		eSg _{EZ}		52,1
	e _{ISgNE}		51,9	F	F		03 01
	F		51	NIE	$\Delta = 138$ km		
	RAC	Traces		ePg _Z			02 59 52,4
/SK/	Z		19 49-52	e _E			03 00 10,9
				F			30
5.X	RBN			12.X		H= $08^h58^m40,5^S$; DGP /GIG/:	08
	iP _{NEZ}		15 07 18,5	58 44,7 ; BYT /GIG/:	08 58 46,0		
	i _{NZ}		20,5	CHZ	Z - illisible		
	i _{NEZ}		22,5	eP _{NE}			08 58/40,2/
	F		08	Lm			45
					NE: $0,7^S$; $4,5\mu$, $5,0\mu$		
6.X		H= $04^h04^m05,3^S$; BYT /GIG/:	04 04	F	F		59 30
			06,6				

Date	Station	Phase	G.M.T. h m s	Date	Station	Phase	G.M.T. h m s
12.X	KRA	$\Delta = 75$ km		12.X	RBN	Traces	
/suite/	/Ch/	ePg _{NZ}	08 58 54,2	NEZ			12 59-13 01
	eSg _E , e _{ISgZ}		59 04,1	RAC	Traces		
	Lm	E: $1,1^S$; $0,05\mu$	31,5	/SK/	NEZ		12 59-13 01
	Lm	N: $1,0^S$; $0,07\mu$	32,5	13.X	DGP /GIG/:	12 14 28,5	
	F		09 00	CHZ	Z - illisible		
	NIE	$\Delta = 138$ km		e _{NE}			12 14 29
	eP _{NE} , eip _{EZ}		08 59 05,0 C	Lm			32
	e _Z		09 00 08,5		NE: $0,8^S$; $2,0\mu$, $2,0\mu$		
	F		01	F			15
	RBN	Traces		KRA			
	NEZ		08 59-09 00	/Ch/	eP _E		12 14 36,3
	RAC	Traces		e _Z			44,6
/SK/	NEZ		08 59-09 01	e _{IE}			45,1
				Lm			15 09
					N: $1,1^S$; $0,07\mu$		
12.X		$\psi = 50^{\circ}17'$; $\lambda = 18^{\circ}49'$; H= $12^h58^m39,3^S$		Lm			14
		M=2,4 /Dąbrowa Górnicza/; ZAB:			EZ: $1,2^S$; $1,0^S$; $0,09\mu$,		
		e _{IP_{NE}} 12 58 39,9 ; BYT: e _{S_N} , e _{IS_E}		F			0,07 μ
		12 58 43,6; DGP: e _{P_{NE}} 12 58/45,2/					30
		e _{S_{EZ}} 49,3, Lm _Z $1,2^S$; $0,6\mu$		NIE			
	CHZ	$\Delta = 13$ km. Z - illisible		eP _{EZ}			12 14 46,3
	e _{P_{NE}}		12 58/42,6/	e _Z			15 00,9
	e _{NE}		45,2	e _{IE}			03,9
	Lm	E: $1,0^S$; $2,5\mu$	52	F			30
	Lm	N: $0,7^S$; $2,0\mu$	59	RBN	Traces		
	F		59 30	NEZ			12 14-16
	KRA	$\Delta = 83$ km		14.X	ZAB /GIG/:	20 21 11,9 ;	
/Ch/	ePg _{EZ}		12 58 54,8	DGP /GIG/:	20 21 16,3		
	e _N		59 04,9	KRA	Traces		
	eSg _E , e _{ISgZ}		05,8	/SKM/	eP _{NEZ}		20 21 24,5
	i _{NZ}		06,8	e _N			33,5
	Lm	N: $1,3^S$; $0,14\mu$	38,7	e/Sg/EZ			34,5
	F		13 00 30	F			22 30
	NIE	$\Delta = 143$ km		14.X			
	eP _{NE} , eip _{EZ}		12 59 04,9	$\psi = 50^{\circ}19,5'$; $\lambda = 18^{\circ}59,5'$;			
	e _{IE}		05,6	H= $23^h59^m31,7^S$; M=2,3 /Chorzów/;			
	e _{IE}		22,6	BYT: e _{P_E} 23 59 33,7 ; DGP: e _{P_Z}			
	F		13 01	23 59 35,3, e _{S_{NEZ}} 37,9			
				CHZ	$\Delta = 4$ km. Z - illisible		
				eP _N			23 59 33,2
				e _{IE}			34,0

Date	Station	Phase	G.M.T. h m s	Date	Station	Phase	G.M.T. h m s
14.X	CHZ	Lm	23 59 36	21.X	CHZ	Lm	16 15 16
/suite/		NE: 0,8 ^S ; 3,0 ^μ , 4,0 ^μ				EZ: 1,0 ^S ; 2,0 ^μ , 1,8 ^μ	
	F		00 00		Lm		17
KRA	Δ=73 km				F	N: 0,8 ^S ; 1,5 ^μ	16
/Ch/	ePg _{NEZ}		23 59 44,7	KRA	Δ=57 km		
	eS _{NE} , eIS _{GZ}		54,0	/Ch/	ePg _Z		16 15 12,8
	F		00 01		eS _{NZ}		20,3
NIE	Δ=138 km				e _E		21,5
	ePg _{NE} , eIP _{GZ}		23 59 56,2 D		Lm		36,1
	eIS _{NE} , eS _{GEZ}		00 00 15,3		Lm	N: 1,1 ^S ; 0,09 ^μ	48,5
	F		01		F	Z: 1,0 ^S ; 0,08 ^μ	17
21.X		φ=50°15,5'; λ=18°58,5'; H=00 ^h		NIE	ePg _{NEZ}		16 15/24,2/
		47 ^m 46 ^s ; M=3,1 /Kraków/; BYT /GIG/			e _Z		38,9
		00 47 48,3; ZAB: eP _{NZ} , eIP _E 00			eIS _{NE}		41,2
		47 48,7; eS _{NEZ} 51,1; DGP: eP _{EZ}			F		17
		00 47 49,8		RAC	Traces		
CHZ	Δ=4 km. Z - inactive			/SK/	Z		16 15-17
	eP _{NE}		00 47 47,4	22.X	BYT /GIG/:		20 09 32,9
	Lm		51	KRA	Faible		
	E: 0,8 ^S ; 30,0 ^μ			/Ch/	eEZ		20 09 45,6
	F		49 30		e _N		47,4
RBN	Δ=36 km				e _Z		55,6
	e _{NEZ}		00 47 54		F		11
	i _{NEZ}		56	NIE	ePg _{NE} , eIP _{GZ}		20 09 57,2 D
	i _{NEZ}		48 00		eS _{NZ} , eIS _{GE}		10 15,7
	F		51		F		11
RAC	Δ=58 km			24.X		φ=50°16,0'; λ=18°58,5';	
/SK/	ePg _Z		00 47 56,8			H=07 ^h 33 ^m 07 ^s ; BYT /GIG/:	07 33
	e _E		57,5			/09,9/; ZAB: eP _{NE} , eIP _Z 07 33	
	e _N , e _E		48 01,5			10,0; DGP: eP _{EZ} 07 33 11, eS _{NE} 14	
	F		51 30	RBN	Δ=36 km		
KRA	Δ=72 km				eP _Z		07 33 13,8
/SKM/	eIP _{NEZ}		00 47 59,2 D		e _Z		22,8
	iS _{NEZ}		48 08,3		e _{NE}		23,3
/Ch/	Lm		38,0		F		35 30
	NE: 1,2 ^S , 1,3 ^S ; 0,24 ^μ , 0,28 ^μ			RAC	Δ=59 km		
	F		51	/SK/	e _{NZ}		07 33 19,8
21.X		H=06 ^h 15 ^m 02,5 ^s ; M=2,8 /Chorzów/;					
		2,5 /Kraków/; DGP /GIG/:	16 15				
		04,4	06,5				
CHZ	Δ=19 km						
	eP _{EZ}		16 15 06,5				
	e _N		07,5				

Date	Station	Phase	G.M.T. h m s	Date	Station	Phase	G.M.T. h m s
24.X	RAC	e _N , e _{EZ}	07 33 31,5	31.X	BYT /GIG/:		06 24 40,1
/suite/	F		36	KRA	Traces		
	KRA	Δ=72 km		/Ch/	e _{EZ}		06 24 50,9
	/Ch/	ePg _Z	07 33 20,2		F		26
		i _N , e _Z	29,0	NIE	ePg _E , eIP _{GZ}		06 24 01,8 D
		eIS _{GZ}	29,9		e _Z		25,8
		F	35		F		26
NIE	Δ=134 km			RAC	Traces		
	eIP _{NEZ}		07 33 31,1 C	/SK/	NEZ		06 25-27
	e _Z		45,9	31.X	BYT /GIG/:		12 13 26,9
	eIS _{NE}		47,0	KRA			
	F		35 30	/SKM/	e _{NEZ}		12 13 46,2
25.X		ZAB /GIG/:	19 54 55,2 ;		F		15
		BYT /GIG/:	19 54 55,5 ;	NIE	ePg _{EZ}		12 13 48,5
		DGP /GIG/:	19 55 00,2		e _E		14 04,8
	KRA				e/S _{G/Z}		05,5
/Ch/	e _N		19 55 18,7		F		30
	e _{NE}		24,5	RBN	Traces		
	e _Z		30,5	N			12 13-15
	F		56	RAC	Traces		
NIE	Traces			/SK/	NEZ		12 13-16
	e _E		19 55 37,5				
	e _Z		39,5				
	F		56				

1967 NOVEMBRE 1967

2.XI	BYT /GIG/:		05 37 22,6	2.XI	NIE	ePg _E , eIP _{GZ}	05 37 47,5
CHZ					F		39
	e _{NEZ}		05 37 23,9	3.XI		φ=50°20,7'; λ=18°53,3'; H=01 ^h	
	i _E , e _Z		25,9			23 ^m 18,0 ^s ; M=3,0 /Chorzów/; BYT:	
	Lm		29			eIP _{NE} 01 23 19,2; ZAB: eIP _{EZ}	
	EZ: 1,0 ^S ; 2,5 ^μ , 1,0 ^μ					01 23 19,6; eIS _{NEZ} 21,4	
	Lm		33	CHZ	Δ=9 km		
	N: 0,9 ^S ; 2,0 ^μ				eIP _{NEZ}		01 23 20,3 D
	F		38		iS _Z		22,1
KRA	Traces				Lm		25
/Ch/	e _E		05 37 36,2		Lm	Z: 1,0 ^S ; 5,7 ^μ	26
	e _{NZ}		36,7			E: 1,0 ^S ; 11,5 ^μ	
	F		39				

Date	Station	Phase	G.M.T. h m s	Date	Station	Phase	G.M.T. h m s
3.XI	CHZ	Lm	01 23 29	10.XI	KRA		
/suite/		N: 0,8 ^S ; 13,0 ^μ		/Ch/	eP _g NEZ	13 54 40,5	
	F	24			e _i N	48,0	
RAC	Δ=58 km				e _i EZ	49,0	
/SK/	eP _g Z	01 23 28,7		F	56		
	e _i N	38,0		BAC	Traces		
	e _i E	39,0		/SK/	NEZ	13 55-57	
	F	26 30					
RBN	Δ=36 km			11.XI	RBN		
	e _S NEZ	01 23 29,6			e _i P _g NEZ	22 08 57,5	
	F	25 30			i _i NEZ	09 00,0	
KRA	Δ=81 km				i _i NEZ	03,5	
/SKM/	iP _g NEZ	01 23 32,6 C			F	10	
	e _i NZ	41,6		RAC			
	e _i NEZ	43,1		/SK/	iP _g NEZ	22 08 58	
/Ch/	Lm	24 13,1			e _i NEZ	09 01	
	N: 1,1 ^S ; 0,21 ^μ				e _i NEZ	05	
	Lm	14,2			Lm	28	
	E: 1,1 ^S ; 0,09 ^μ				Z: 1,5 ^S ; 2,5 ^μ		
	Lm	15,1			F	12	
	F	25 30		KRA			
NIE	Δ=141 km. NE - illisibles			/Ch/	e _i EZ	22 09 14,8	
	e _i P _g Z	01 23 42,9 C			e _i N	28,5	
	e _i Z	24 03,7			e _i E	29,4	
	F	25 30			F	10 30	
8.XI	BYT /GIG/: 19 04 13,8			NIE	e _i P _g NEZ	22 09 21,5 C	
KRA	Traces				e _i S _g EZ	41,0	
/Ch/	eS _g N	19 04 39,4			e _i N	42,0	
	F	05 30			F	11	
NIE	N - illisible			16.XI	DGP /GIG/: 12 12 23,1 ;		
	eP _g EZ	19 03 40,0			BYT /GIG/: 12 12 29,9		
	eEZ	57,5		CHZ			
	e _i Z	04 00,0			e _i F _g EZ	12 12 25,0	
	F	06			e _i Z	28,7	
10.XI	DGP /GIG/: 13 54 29,0				Lm	34	
CHZ					NEZ: 1,0 ^S ; 2,0 ^μ , 1,6 ^μ , 1,5 ^μ		
	eP _g EZ	13 54 32,3			F	13 30	
	e _i Z	36,0		KRA			
	Lm	40		/Ch/	eP _g NE, e _i P _g Z	12 42 31,8 D	
	NEZ: 1,0 ^S ; 2,0 ^μ , 2,0 ^μ , 1,0 ^μ				e _i NEZ	39,4	
	F	55 30			e _i /S _g /E, i/S _g /Z	40,8	
					F	14	

Date	Station	Phase	G.M.T. h m s	Date	Station	Phase	G.M.T. h m s
16.XI	NIE	Porte ag.mi.		18.XI		eP _Z 13 42 26,8	
/suite/	e _i NE	12 13 00,3		CHZ	Δ=4 km		
	e _i NZ, e _i E	04,4			eP _g , e _i P _Z	13 42 24,1	
	F	14			e _i SZ	25,1	
17.XI		BYT /GIG/: 17 43 41,5 ;			Lm	26	
	DGP /GIG/: 17 43 48,2				NEZ: 1,0 ^S ; 2,0 ^μ , 3,0 ^μ , 2,0 ^μ		
CHZ				F	44		
	e _i NEZ	17 43 43,2		KRA	Δ=72 km		
	Lm	48		/Ch/	eP _g EZ	13 42 35,7	
	NEZ: 1,0 ^S ; 2,0 ^μ , 2,0 ^μ , 2,0 ^μ				e _i S _g EZ	45,2	
	F	44 30			F	44	
KRA				NIE	Δ=133 km		
/Ch/	eS _g N	17 44 05,3			eP _g NEZ	13 42 46,4	
	e _i Z	06,2			e _i S _g N, eS _g Z	43 04,4	
	F	45			F	44	
RBN	Traces			RBN	Traces		
	N	17 43-45			NEZ	13 42-45	
RAC	Traces			18.XI	H=14 ^h 12 ^m 07,5 ^S ; M=2,6 /Chorzów/;		
/SK/	Z	17 44-47		DGP /GIG/: 14 12 13,4			
18.XI		H=06 ^h 09 ^m 23 ^S ; DGP /GIG/: 06 09		CHZ	Δ=11 km		
		25,1			eP _g NE, e _i P _Z	14 12 10,1 D	
KRA	Δ=67 km				Lm	13	
/Ch/	eP _g NEZ	06 09 35,2			NEZ: 1,1 ^S ; 2,5 ^μ , 2,5 ^μ , 2,6 ^μ		
	eS _g NZ	44,2			F	13	
	F	10 30		RBN			
18.XI	DGP /GIG/: 11 02 39,5				e _i NEZ	14 12 19	
RAC					F	14	
/SK/	iP _g NEZ	11 02 23		KRA	Δ=78 km		
	e _i Z	25		/Ch/	eP _g Z	14 12 21,6	
	e _i NEZ	30			iS _g EZ	32,0	
	F	06			F	14	
RBN				NIE	Δ=141 km		
	iP _g NEZ	11 02 24,6			eP _g N, e _i P _g Z	14 12 32,6 D	
	i _i NEZ	28,5			e _i NE	49,4	
	F	04			F	13 30	
KRA	Traces			RAC	Traces		
/Ch/	e _i Z	11 02 37,2		/SK/	Z	14 12-15	
	e _i E	38,4		18.XI	BYT /GIG/: 20 12 13,8 ;		
	e _i N	42,8			DGP /GIG/: 20 12 18,8		
	F	04		CHZ			
18.XI		φ=50°15'; λ=18°58'; H=13 ^h 42 ^m			eP _Z	20 12 16,8	
		22,7 ^S ; H=2,0 /Chorzów/, DGP:			e _i EZ	18,4	

Date	Station	Phase	G.M.T. h m s	Date	Station	Phase	G.M.T. h m s
8.XII	NIE	$\Delta=146$ km		10.XII	RAC		
/suite/	ePgZ		15 44 54,8	/SK/	eNEZ		15 14 55
	eiZ		59,5		eNEZ		15 08
	eiNZ		45 15,7		F		18
	F		46 30		NIE		
	RBN	Traces			eiPgNZ, ePgE		15 15 03,3
	NE		15 44-46		iN, eE		23,2
9.XII	ZAB:	iPz 09 30 13,5 ;			eiZ		24,3
	BYT /GIG/:	09 30 15,1 ;			F		17
	DGP /GIG/:	09 30 17,8		RBN	Traces		
	CHZ			NEZ			15 15-17
	ePZ		09 30 13,4	11.XII	H=16 ^h 42 ^m 05,5 ^s ; BYT /GIG/:		16 42
	eiE, eZ		14,9		10,0 ; DGP /GIG/:		16 42 11,1
	Lm		18	CHZ	$\Delta=10$ km		
	NEZ: 1,0 ^s ; 3,5 μ , 2,5 μ , 2,7 μ			eP _{NE} , eiPz			16 42 08,0
	F		31	iZ			09,5
	KRA			Lm			12
/Ch/	e/Pg/EZ		09 30 26,8 D		EZ: 1,0 ^s ; 2,0 μ , 1,5 μ		30
	eiSgN, eSgZ		35,6	KRA	$\Delta=76$ km		
	F		32	/SKM/	ePgNEZ		16 42 19,3
	RBN	Traces			eSgNEZ		29,3
	N		09 30-33		F		44 30
	RAC	Traces		NIE	Traces		
/SK/	EZ		09 30-33	eNEZ			16 42 09,5
				F			44
10.XII	CHZ			RBN	Traces		
	ePE		15 14 40,5	N			16 42-44
	eP _N , eiPz		40,9 D	11.XII	CHZ		
	iE		43,9		eP _{NE} , eiPz		19 12 10,5 D
	Lm		46		iZ		11,6
	N: 0,5 ^s ; 1,6 μ				Lm		14
	Lm		48		EZ: 0,9 ^s ; 2,0 μ , 1,6 μ		13
	EZ: 1,1 ^s ; 2,0 μ , 1,5 μ			KRA	Traces		
	F		16 30	/Ch/	eEZ		19 12 23,4
	KRA				eZ		33,9
/Ch/	ePgNEZ		15 14/51,8/		F		13 30
	eSgE, eiSgZ		15 04,1				
	Lm		40,8				
	Z: 1,3 ^s ; 0,14 μ						
	Lm		41,2				
	NE: 1,5 ^s , 1,2 ^s ; 0,12 μ , 0,08 μ						
	F		16 30				

Date	Station	Phase	G.M.T. h m s	Date	Station	Phase	G.M.T. h m s
12.XII	KRA			19.XII	KRA		
/Ch/	e/Pg/NEZ		05 24 37,0	/Ch/	ePgZ		20 49 26,5 D
	eNE		46,0		eNE		37,8
	eZ		46,5		eZ		38,5
	F		26		F		51
	NIE			NIE			
	ePgZ		05 24 47,9		ePgEZ		20 49 36,4
	ePgNE		48,3		eNE		56,5
	eN		25 04,6		eZ		50 05,0
	eiE, eZ		36,1		F		51
	F		26	RAC	Traces		
13.XII	BYT /GIG/:		21 22 33,1 ;	/SK/	NEZ		20 49-51
	DGP /GIG/:		21 22 36,1	RBN	Traces		
	KRA			N			20 49-51
/SKM/	eiSgNZ		21 22 55,7	22.XII	BYT /GIG/:		12 45 58,3 ;
	eiNEZ		58,7		ZAB /GIG/:		12 46 03,8
	F		24	CHZ			
	NIE	Traces			eP _{NEZ}		12 45/59,5/
	eP _{SEZ}		21 22 55,8		Lm		46 07
	eE		23 13,5		EZ: 0,7 ^s ; 2,0 μ , 1,5 μ		
	eiNZ		16,0		F		30
	F		24	KRA			
	RAC	Traces		/Ch/	ePgZ		12 46 14,0
/SK/	NEZ		21 23-25		eNZ		23,8
19.XII	CHZ				eEZ		24,6
	eiP _{NEZ}		15 30 19,4 D		eiN		25,2
	iZ		20,6		F		47 30
	Lm		23	NIE			
	EZ: 1,0 ^s ; 2,0 μ , 1,5 μ				eP _{NE} , eiP _{SEZ}		12 46 24,9 D
	F		31		eSgN, eiSgZ		44,4
	KRA				F		48 30
/Ch/	ePgEZ		15 30 31,7	RAC	Traces		
	eN		41,0	/SK/	NEZ		12 46-48
	eiE, eZ		43,4	22.XII	$\psi=50^{\circ}21'$; $\lambda=18^{\circ}49'$; H=19 ^h 09 ^m		
	F		32		19,8 ^s ; M=2,6 /Chorzów/, ZAB:		
	NIE	Traces			eP _{NZ} 19 09 21,3 ; BYT /GIG/:		
	ePgEZ		15 30 41,6		19 09/21,7/		
	eE		57,4	CHZ	$\Delta=14$ km		
	eN		31 00,5		ePEZ		19 09 23,1 D
	F		32		eiN		25,6

Date	Station	Phase	G.M.T. h m s	Date	Station	Phase	G.M.T. h m s
22.XII	CHZ	e ₁ EZ	19 09 25,9	24.XII	NIE	Δ=150 km	
/suite/		Lm	29			eP _{NE} , eIP _{GZ}	00 17 00,1 D
		N: 0,7 ^s ; 2,0μ				e _N	16,2
		Lm	32			e _E , e ₁ Z	18,1
		EZ: 1,1 ^s ; 2,0μ, 2,0μ				F	18 30
		F	10	24.XII		γ=50°19'; λ=18°51'; H=13 ^h 48 ^m	
RBN		Δ=34 km				24,6 ^s ; M=2,6 /Kraków/, 2,4 /Cho-	
		e ₁ E, e _Z	19 09 33,5			rzów/; ZAB: e ₁ P _{NEZ} 13 48 26,0 ,	
		e ₁ N	37,7			1S _E 27,2	
		eEZ	39,5	CHZ		Δ=10 km	
		F	12			eP _{NE} , eIP _Z	13 48 27,0 D
KRA		Δ=86 km				e ₁ S _Z	28,9
/Ch/		eP _{GEZ}	19 09 35,3 D			Lm	33
		eS _{NE} , e ₁ S _{GZ}	46,7			Z: 1,0 ^s ; 1,9μ	
		e ₁ NZ	47,9			Lm	35
		Lm	10 22			E: 0,8 ^s ; 2,0μ	
		NZ: 1,2 ^s , 1,1 ^s ; 0,11μ, 0,11μ				Lm	37
		F	11 30			N: 0,7 ^s ; 2,0μ	
RAC		Δ=54 km				F	14 00
/SK/		e _Z	19 09 35,6	RBN		Δ=33 km. Traces	
		eS _{NE}	37,0			e _Z	13 48 33,8
		F	12			eEZ	38,0
NIE		Δ=148 km				F	50 30
		e ₁ P _{NEZ}	19 09 46,1 D	KRA		Δ=82 km	
		e _Z	10 02,5	/Ch/		e ₁ P _{NEZ}	13 48 39,6
		e ₁ S _{GE}	05,4			eS _{GEZ}	50,6
		e ₁ Z	08,4			Lm	49 21
		F	11 30			NEZ: 1,3 ^s ; 0,05μ, 0,04μ,	
24.XII		H=00 ^h 16 ^m 33,5 ^s				0,06μ	
CHZ						F	50
		eEZ	00 16 39,4	NIE		Δ=144 km	
		i _{NE}	43,4			eP _{GN} , eIP _{GEZ}	13 48 50,2 D
		e ₁ Z	43,8			e ₁ S _{GEZ}	49 09,1
		Lm	47			F	50 30
		Z: 1,0 ^s ; 1,2μ		RAC		Traces	
		Lm	49	/SK/		Z	13 48-50
		NE: 1,0 ^s ; 2,0μ, 1,2μ		29.XII		BYT /GIG/: 20 06 24,9 ;	
		F	17 30			DGP /GIG/: 20 06 28,1	
KRA		Δ=75 km		KRA		Traces	
/Ch/		eP _{GEZ}	00 16 47,0	/Ch/		eP _{NEZ}	20 06 39,2
		iS _{GEZ}	56,8			F	08
		i _Z	57,8	NIE		eP _{GN} , eIP _{GZ}	20 06 49,7 D
		F	18				

Date	Station	Phase	G.M.T. h m s	Date	Station	Phase	G.M.T. h m s
29.XII	NIE	e _E	20 06 50,2	30.XII	NIE		
/suite/		e _E	07 06,9			e ₁ P _{GZ}	11 02 41,3
		F	08			e _{NZ} , e ₁ E	57,0
30.XII		DGP /GIG/: 11 02 19,3				e _Z	03 01,5
	KRA					F	04
	/Ch/	eP _{GZ}	11 02 29,7				
		e _E	35,7				
		F	03 30				

TABLE DES MATIÈRES

Introduction	3
Constantes des séismographes	4
Résultats des enregistrements des tremblements de terre distants	17
Résultats des enregistrements des secousses souterraines plus fortes en Haute Silésie	147

The Institute of Geophysics of the Polish Academy of Sciences wishes to announce that the „Bulletin Séismologique Préliminaire” for the years 1968, 1969 and 1970 should be treated as a final elaboration which will be supplemented later on by additional issues containing only the annual data on Upper Silesian earthquakes and the characteristics of the apparatus used. The complete set of issues for each year will appear under one cover.

The „Bulletin Séismologique Préliminaire” will cease publication at the end of 1970. Starting with 1971, data on distant earthquakes will be given only in quarterly bulletins, while those on the Upper Silesian earthquakes will be given in annual bulletins. All elaborations for each year will be published in bound volumes.